

# Trabajo Fin de Grado

## Grado en Ingeniería en Tecnologías Industriales

### Modelo computacional de grafeno basado en potenciales tipo Tight Binding

Autor: Tomás Villegas Dionisio

Tutora: María del Pilar Ariza Moreno

**Dep. Mecánica de Medios Continuos y Teoría de  
Estructuras**

**Escuela Técnica Superior de Ingeniería**

**Universidad de Sevilla**

Sevilla, 2017







Trabajo Fin de Grado  
Grado en Ingeniería en Tecnologías Industriales

# **Modelo computacional de grafeno basado en potenciales tipo Tight Binding**

Autor:  
Tomás Villegas Dionisio

Tutora:  
María del Pilar Ariza Moreno  
Catedrática de Universidad

Dep. Mecánica de Medios Continuos y Teoría de Estructuras  
Escuela Técnica Superior de Ingeniería  
Universidad de Sevilla  
Sevilla, 2017



Trabajo Fin de Grado: Modelo computacional de grafeno basado en potenciales tipo Tight Binding

Autor: Tomás Villegas Dionisio

Tutora: María del Pilar Ariza Moreno

El tribunal nombrado para juzgar el Proyecto arriba indicado, compuesto por los siguientes miembros:

Presidente:

Vocales:

Secretario:

Acuerdan otorgarle la calificación de:

El Secretario del Tribunal

Sevilla, 2017



# Agradecimientos

---

Quiero mostrar mi gratitud a todas las personas que han confiado en mí incluso en los momentos más difíciles. Gracias de corazón a profesores por darme el conocimiento, a mis compañeros por su apoyo y a mi familia por estar siempre ahí. Este trabajo es el cúmulo de todas estas experiencias. Gracias

*Tomás Villegas Dionisio*

*Sevilla, 2017*



# Resumen

---

El objetivo de este trabajo es añadir al lenguaje de programación C++ el potencial interatómico Tight Binding para el caso del grafeno.





# Abstract

---

The objective of this work is to add Tight Binding interatomic potential applied to graphene in C++.



Agradecimientos	vii
Resumen	ix
Abstract	xi
Índice	xii
Índice de Tablas	xv
Índice de Figuras	xvii
Notación	xxi
1 El grafeno	1
1.1. Modelo del grafeno	5
2 Introducción a los potenciales interatómicos	9
2.1. Introducción al formalismo del potencial Tight Binding	12
3 Modelo Lineal de Redes Cristalinas	15
4 Potencial TB linealizado en C++	19
4.1. Estructura de un programa en C++	19
4.2. Implementación del TB lineal: Parte de la energía repulsiva	20
4.3. Implementación del TB lineal: Parte de la energía de bandas	25
4.4. Implementación del TB lineal: Construcción de la matriz hamiltoniana del TB	27
4.4. Implementación del campo de fuerzas del potencial TB en C++	52
5 Análisis numérico del TB en C++	89
5.1. Tipos de datos en C++	89
5.2. Integrales numéricas	92
5.3. Análisis de la convergencia de resultados al variar el número de puntos de la ZB	103
6 Conclusiones y trabajos futuros	109
Anexo A: Funciones matemáticas	111
Anexo B: Derivadas de las distancias interatómicas	115
Anexo C: Derivadas de la función $\phi(r)$	117
Anexo D: Derivadas de las funciones $S(r)$	119
Anexo E: Derivadas de los cosenos directores	121
Anexo F: Derivadas de las funciones de salto y de la TBH	125
Anexo G: Script de Matlab para calcular las funciones analíticas de Green	143
Anexo H: Resultados Numéricos	145
Bibliografía	153



# ÍNDICE DE TABLAS

---

Tabla 4.1. Coeficientes para calcular la energía repulsiva	20
Tabla 4.2. Coeficientes y parámetros on-site y de salto	28
Tabla 4.3. Coeficiente para la función $S(r_q)$	28
Tabla 5.1. Tipos de datos en C++	89
Tabla 5.2. Resultados de Mathematica para la función $E_{\text{srd10d10}}$	94
Tabla 5.3. Resultados de Mathematica y C++ para $E_{\text{srd10d10}}$ . Límite inferior -30	95
Tabla 5.4. Tabla de errores relativos en tanto por ciento para $E_{\text{srd10d10}}$ . Límite inferior -30	95
Tabla 5.5. Resultados de Mathematica y C++ para $E_{\text{srd10d10}}$ . Límite inferior -70	95
Tabla 5.6. Tabla de errores relativos en tanto por ciento para $E_{\text{srd10d10}}$ . Límite inferior -70	95
Tabla 5.7. Resultados de Mathematica y C++ para $E_{\text{srd10d10}}$ . Límite inferior -205	95
Tabla 5.8. Tabla de errores relativos en tanto por ciento para $E_{\text{srd10d10}}$ . Límite inferior -205	95
Tabla 5.9. Resultados de Mathematica para la función $E_{\text{d10d35}}$	97
Tabla 5.10. Resultados de Mathematica y C++ para $E_{\text{d10d35}}$ . Límite inferior -10	98
Tabla 5.11. Tabla de errores relativos en tanto por ciento para $E_{\text{d10d35}}$ . Límite inferior -10	98
Tabla 5.12. Resultados de Mathematica y C++ para $E_{\text{d10d35}}$ . Límite inferior -30	98
Tabla 5.13. Tabla de errores relativos en tanto por ciento para $E_{\text{d10d35}}$ . Límite inferior -30	98
Tabla 5.14. Resultados de Mathematica y C++ para $E_{\text{d10d35}}$ . Límite inferior -60	98
Tabla 5.15. Tabla de errores relativos en tanto por ciento para $E_{\text{d10d35}}$ . Límite inferior -60	98
Tabla 5.16. Resultados de Mathematica para la función $E_{\text{d10d10p9}}$	99
Tabla 5.17. Resultados de Mathematica y C++ para $E_{\text{d10d35}}$ . Límite inferior -10	100
Tabla 5.18. Tabla de errores relativos en tanto por ciento para $E_{\text{d10d10p9}}$ . Límite inferior -10	100
Tabla 5.19. Resultados de Mathematica y C++ para $E_{\text{d10d10p9}}$ . Límite inferior -30	100
Tabla 5.20. Tabla de errores relativos en tanto por ciento para $E_{\text{d10d10p9}}$ . Límite inferior -30	100
Tabla 5.21. Resultados de Mathematica y C++ para $E_{\text{d10d10p9}}$ . Límite inferior -60	100
Tabla 5.22. Tabla de errores relativos en tanto por ciento para $E_{\text{d10d10p9}}$ . Límite inferior -60	100
Tabla 5.23. Coste computacional de $E_{\text{d10d35}}$ para alcanzar cada decimal de precisión	102
Tabla 5.24. Coste computacional de $E_{\text{d10d10p9}}$ para alcanzar cada decimal de precisión	102
Tabla 5.25. Evolución del número de puntos al decremetar factor	104
Tabla 5.26. Aplicación del criterio de convergencia para la variable factor	106



# ÍNDICE DE FIGURAS

---

Figura 1.1. Representación del grafito	1
Figura 1.2. Vista atómica del Carbono	2
Figura 1.3. Llenado de los electrones usando el diagrama de Moeller	2
Figura 1.4. Orbitales presentes en el carbono	2
Figura 1.5. Hibridación $sp^3$ junto con la geometría molecular que genera	2
Figura 1.6. Hibridación $sp^2$ junto con la geometría molecular que genera	3
Figura 1.7. Hibridación $sp^1$ junto con la geometría molecular que genera	3
Figura 1.8. Grafeno visto con el microscopio de fuerza atómica	3
Figura 1.9. Diagrama de celdas y tipos que hay en el modelo del grafeno	5
Figura 1.10. Tipo de celdas y tipos del modelo	5
Figura 1.11. Uso de vectores en la red para diferentes tipos de átomos	6
Figura 1.12. Numeración de los átomos del modelo	7
Figura 2.1. Potenciales interatómicos y fuerzas generadas en un modelo cualquiera	9
Figura 4.1. Sentencias preprocesador	21
Figura 4.2. Prototipos para la energía repulsiva	21
Figura 4.3. Funciones matematicas necesarias para toda la ejecución del programa	22
Figura 4.4. Funciones interatomicas necesarias para toda la ejecución del programa	22
Figura 4.5. Creación del modelo del grafeno en C++	23
Figura 4.6. Calculo del polinomio para la energía de repulsión	24
Figura 4.7. Función para la energía de repulsión $\phi_{ij}$	24
Figura 4.8. Formación de las bandas energía cuando dos átomos se unen	25
Figura 4.9. Bandas de energía. Bandas de valencia y conducción.	26
Figura 4.10. Representación de la función probabilista de Fermi-Dirac	26
Figura 4.11. Celda de Wigner-Seitz para un red hexagonal	29
Figura 4.12. Calculo de las zona de Brillouin para una red de panal de abejas	29
Figura 4.13. Primera zona de Brillouin para una red hexagonal	30
Figura 4.14. Prototipos para la función escalada para el termino de bandas	31
Figura 4.15. Prototipos para los parámetros de salto	31
Figura 4.16. Prototipos para los cosenos directores	32
Figura 4.17. Prototipos de la primera derivada del hamiltoniano	33
Figura 4.18. Prototipos de la segunda derivada del hamiltoniano	34
Figura 4.19. Llamada a las funciones que calculan los puntos y vectores de la ZB	35
Figura 4.20. Declaración y asignación de la TBH, átomos del mismo tipo	35
Figura 4.21. Declaración de la TBH, átomos de diferente tipo	36
Figura 4.22. Calculo de TBH para átomos de diferente tipo	37

Figura 4.23. Función fs	38
Figura 4.24. Función lx	38
Figura 4.25. Función hsssigma	38
Figura 4.26. Función tamano	39
Figura 4.27. Función kapeso	42
Figura 4.28. Función vectordematrixk	51
Figura 4.29. Representación gráfica de $\Psi_{ij}$	52
Figura 4.30. Enlaces $E_{d10d35}$ y $E_{d10d10p9}$	53
Figura 4.31. Prototipos de funciones repulsivas para calcular las constantes de fuerzas	54
Figura 4.32. Llamada a las funciones que calculan las constantes de fuerzas para la energía repulsiva	55
Figura 4.33. Función Erepulsiva11	56
Figura 4.34. Función Erepulsiva12	56
Figura 4.35. Prototipo de la función de Green	59
Figura 4.36. Prototipos de funciones de banda para calcular las constantes de fuerzas	59
Figura 4.37. Prototipos de funciones auxiliares para calcular las constantes de fuerzas	60
Figura 4.38. Llamada a la función integraenlace1	60
Figura 4.39. Llamada a la función integraenlace2	60
Figura 4.40. Función Gaa	61
Figura 4.41. Función integraenlace1	68
Figura 4.42. Función integraenlace2	73
Figura 4.43. Función auxiliarintegraenlace1	83
Figura 4.44. Función auxiliarintegraenlace2	88
Figura 5.1. Ejemplo de inestabilidad numérica	90
Figura 5.2. Resolución de la primera componente del tensor de Green en Mathematica	91
Figura 5.3. Resolución de la primera componente del tensor de Green en C++	91
Figura 5.4. Efectos del cero numérico sobre la primera componente del tensor de Green	91
Figura 5.5. Integrales numéricas. Metodo de Riehman	92
Figura 5.6. Visualización del enlace $E_{srd10d10}$	93
Figura 5.7. Visualización del enlace $E_{d10d35}$	93
Figura 5.8. Visualización del enlace $E_{d10d10p9}$	93
Figura 5.9. Tiempos de $E_{srd10d10}$ con diferentes pasos de integración y límites	96
Figura 5.10. Tiempos de $E_{d10d35}$ con diferentes pasos de integración y límites	101
Figura 5.11. Tiempos de $E_{d10d10p9}$ con diferentes pasos de integración y límites	101
Figura 5.12. Numero de puntos de la ZB variando factor	103
Figura 5.13. Situación espacial de los puntos dependiendo del termino factor	103
Figura 5.14. Respuesta de un sistema de segundo orden o subamortiguado	105
Figura 5.15. Esquema de tolerancias	105



Figura 5.16. Esquema de tolerancias en la piramide	105
Figura 5.17. Visualización del enlace $E_{srd10d10}$	106
Figura 5.18. Visualización del enlace $E_{d10d35}$ y $E_{d10d10p9}$	107
Figura 5.19. Cálculo en Mathematica del análisis de convergencia para $E_{d10d35}$	108
Figura 5.20. Cálculo en Mathematica del análisis de convergencia para $E_{d10d10p9}$	108
Figura B.1. Derivada de la posición	115
Figura B.2. Segunda derivada de la posición	115
Figura B.3. Derivada de la posición a la menos una	116
Figura B.4. Segunda derivada de la posición a la menos una	116
Figura C.1. Derivada de la posición $\phi(r)$	117
Figura C.2. Segunda derivada de la posición $\phi(r)$	118
Figura D.1. Derivada de la función $S(r)$	119
Figura D.2. Segunda derivada de la función $S(r)$	120
Figura E.1. Programación del coseno director $d_x$	121
Figura E.2. Programación del coseno director $d_x^2$	122
Figura E.3. Programación del producto de los cosenos directores de $d_x \cdot d_y$	123
Figura G.1. Salida de Matlab G(8,8)	144
Figura G.2. Edición de la salida de Matlab G(8,8)	144
Figura G.3. Mejora de rendimiento con la edición de la salida de Matlab para C++ G(8,8)	144
Figura G.4. Resultado de operaciones G(8,8)	144



# NOTACIÓN

---

TB	Potencial Tight Binding
TBH	Matriz hamiltoniana del potencial interatómico Tight Binding
ZB	Zona de Brillouin

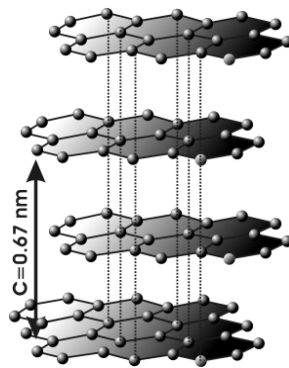


# 1.- El grafeno

El Carbono es un elemento químico que acompaña a la humanidad desde sus orígenes. Los procesos fisicoquímicos necesarios para la vida o su presencia en diferentes compuestos que lo contienen nos ha permitido usarlo en aplicaciones tan diversas y ancestrales como el fuego, la escritura o la ornamentación. Estas aplicaciones siguen hoy en día presentes en nuestras sociedades.

El Carbono presenta alotropía, esta es la propiedad de presentar diferentes formas con diferentes propiedades. El grafito y el diamante son dos de las formas alotropas más conocidas del Carbono, las cuales han sido usadas desde la antigüedad. Otras formas alotrópicas del Carbono han sido descubiertas recientemente como los fullerenos (1985), los nanotubos de carbono (1991) ó el grafeno (2004) están constituyendo avances por sus interesantes propiedades.

El grafeno está presente en el grafito, el cual está estructurado en varias capas de grafeno a una distancia determinada, en este sentido el grafito es grafeno tridimensional.



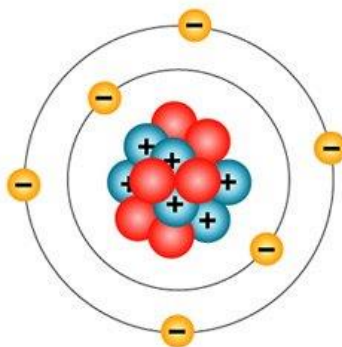
**Figura 1.1:** Muestra de grafito, en ella se ven cuatro láminas de grafeno.

Exfoliando el grafito se consiguió sintetizar el grafeno en 2004, valiéndoles a sus descubridores Andre Geim y Konstantin Novoselov el premio Nobel de Física en 2010. Este descubrimiento supuso romper con la idea vigente desde los años 30 que consideraba inviable termodinámicamente el grafeno por los investigadores Landau y Peierls. Estos últimos argumentaron que los gradientes térmicos de los cristales bidimensionales eran lo suficientemente elevados para destruir el cristal por las fuerzas interatómicas que se generaban.

El grafeno desde entonces es objeto de estudio y base de múltiples investigaciones. Este trabajo fin de grado se centra en él.

No hay que olvidar que el Carbono posibilita las formas alotrópicas anteriormente mencionadas por su particular química. Se expone a continuación una breve introducción sobre él.

El Carbono es el cuarto elemento más abundante del universo y decimoquinto del planeta tierra. Tiene un número másico 12 y número atómico 6 lo que garantiza su estabilidad nuclear y además tiene una configuración electrónica que permite su hibridación.



**Figura 1.2:** El carbono, vista atómica.

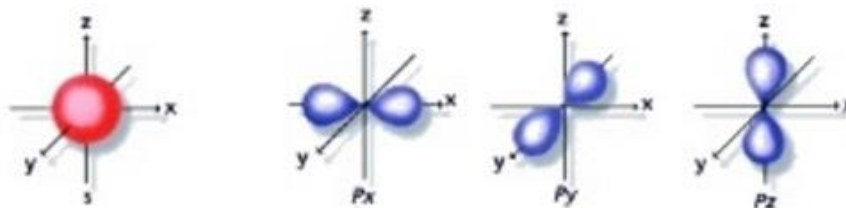
La hibridación es un proceso por el que los orbitales atómicos forman diferentes geometrías espaciales (Linus Pauling, 1939. Premio Nobel de Química en 1954) para un mismo enlace químico. Este hecho explica la alotropía y el polimorfismo de estructuras. En este caso se presentan tres tipos de hibridación para el Carbono partiendo de una misma configuración electrónica  $1s^2 2s^2 2p^2$ . La hibridación además explica la geometría molecular por la teoría y modelo de la capa de valencia.

La forma general de llenado de las capas electrónicas del Carbono es:

↑	↓	↑	↓	↑	↑	
1s	2s	2px	2py	2pz		
		p				

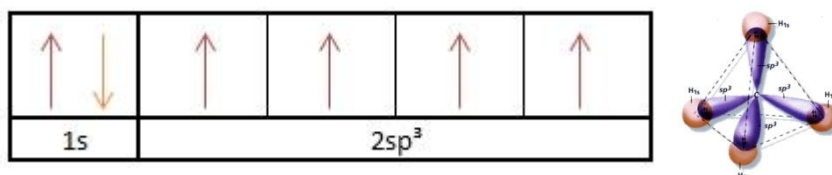
**Figura 1.3:** Relleno de electrones siguiendo el diagrama de Moeller.

La distribución espacial de estos orbitales es:



**Figura 1.4:** Distribución espacial de los orbitales s y p.

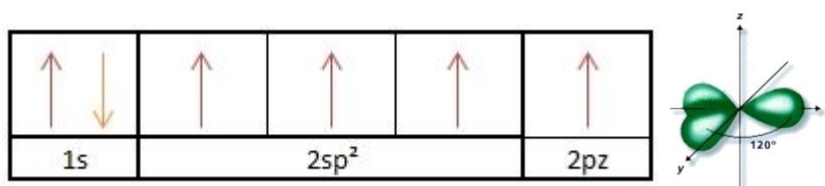
-Hibridación  $sp^3$  o tetraédrica: La hibridación forma cuatro enlaces simples siendo predominante el orbital p que aporta más carácter a esta hibridación que los sucesivos tipos de hibridación. El ángulo que forma es de  $109.5^\circ$



**Figura 1.5:** Hibridación  $sp^3$  junto con la geometría molecular que genera.

-Hibridación  $sp^2$  o trigonal: Esta hibridación es la que presenta el grafeno. Tiene dos enlaces simples y un enlace doble. El electrón libre es el que le otorga las excelentes propiedades eléctricas y de transporte en el sentido transversal de la red, constituyendo un enlace químico covalente tipo  $\pi$  en toda la nube. Longitudinalmente tiene tres enlaces covalentes, dos de ellos son del tipo  $\sigma$  y el restante lo constituyen los enlaces covalentes  $\sigma$  y  $\pi$ .

Esto justifica la distancia interatómica entre los carbonos en el grafeno de forma basal de 0.142 nm si los comparamos con los que se producirían entre un enlace de dos carbonos simples ó dobles con 0.154 nm y 0.134 nm de distancia respectivamente. El ángulo que forma esta hibridación es de  $120^\circ$



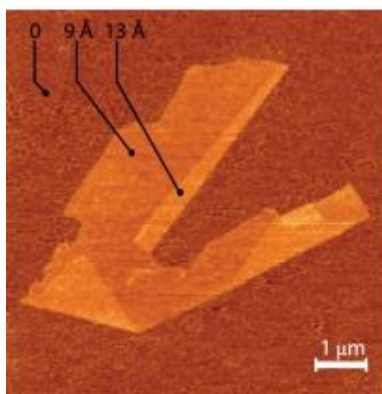
**Figura 1.6:** Hibridación  $sp^2$  junto con la geometría molecular que genera.

-Hibridación  $sp^1$  o diagonal: La hibridación de esta forma es la que presenta dos enlaces triples. Es la que tiene un carácter más del orbital s. El ángulo que forma es de  $180^\circ$



**Figura 1.7:** Hibridación  $sp$  junto la geometría molecular que genera.

Actualmente, el grafeno no es un material que haya dejado de ser válido fuera de los laboratorios al no existir un método de fabricación industrial. El experimento de Geim y Novoselov sobre la exfoliación consistió en escribir con un lápiz y exfoliar el grafeno del grafito depositado sobre un papel utilizando una cinta adhesiva. Posteriormente se trasladó y depositó en cristales de Silicio, y mediante procesos reiterativos se hizo crecer ese cristal bidimensional. La ventaja de este método es conseguir un número bajo de defectos en la red, no obstante, está siendo mejorado e investigado.



**Figura 1.8:** Grafeno visto con el microscopio de fuerza atómica. Geim y Novoselov.

Los esfuerzos en el presente, se basan en conseguir unos métodos de fabricación en los que se pueda controlar su pureza a un coste significativamente bajo para empezar una producción en serie. Destacan en especial los métodos de deposición química de vapor que consiguen amplias láminas de grafeno con una calidad controlable por los parámetros del proceso de fabricación a un coste reducido. Otros tipos de producción son desde otras formas alótropas, exfoliaciones químicas para el grafito o incluso con otros compuestos derivados del carbono como el coque. Independientemente de cuál sea el proceso que queramos mencionar no sabremos que tecnología y método será finalmente la que permita llevar al grafeno a su escala industrial.

Las propiedades<sup>[1.1]</sup> que tiene el grafeno son múltiples y ya se han comentado de forma indirecta. En primer lugar tiene unas propiedades específicas muy superiores al resto de sus competidores en diferentes áreas, por ejemplo en el ámbito mecánico por los enlaces tipo  $\sigma$ , siendo ellos los enlaces más fuertes en sustancias covalentes, alcanzan en el grafeno un módulo de Young de  $1\text{ TPa}$  y una resistencia a rotura de  $42\text{ N/m}$ ; las propiedades eléctricas y de transporte se producen por la nube de electrones que rodean la lámina siendo superior a  $1500\text{ cm}^2/\text{Vs}$  presentando además el efecto fotoeléctrico y el efecto Hall cuántico. El grafeno de forma basal no es magnético, pero introduciendo hidrogeno en él permite obtener el fenómeno del magnetismo<sup>[1.2]</sup>.

No hay que olvidar que la obtención y usos del grafeno darán acceso a todas las formas alótropas. Un nanotubo es grafeno enrollado, un fullereno es grafeno esférico. Además, la introducción de defectos sobre el grafeno como el oxígeno genera óxidos de grafeno (GO) que tienen un potencial enorme sobre aplicaciones biomédicas<sup>[1.3]</sup>. Otros dopados pueden ser añadidos por lo que su plasticidad en las aplicaciones electrónicas es infinita.

Sin embargo, toda euforia sobre cualquier nuevo material no es buena más aún sobre el Carbono, donde se reportan casos de toxicidad en algunas de sus formas, incluyéndose el grafeno y derivados, por eso es necesario evaluar los posibles daños a las personas y al medio ambiente en este material u otros de reciente descubrimiento<sup>[1.4]</sup>.

Este material que posee unas propiedades fantásticas tiene el honor de ser candidato para cambiar la ingeniería de materiales. En primer lugar, por los avances que está suscitando para su obtención y que redundará en beneficio de más materiales y obviamente por sus grandes cualidades de adaptación a cualquier campo de aplicación e industria: Aeronáutico, eléctrico, ambiental, medico, etc...

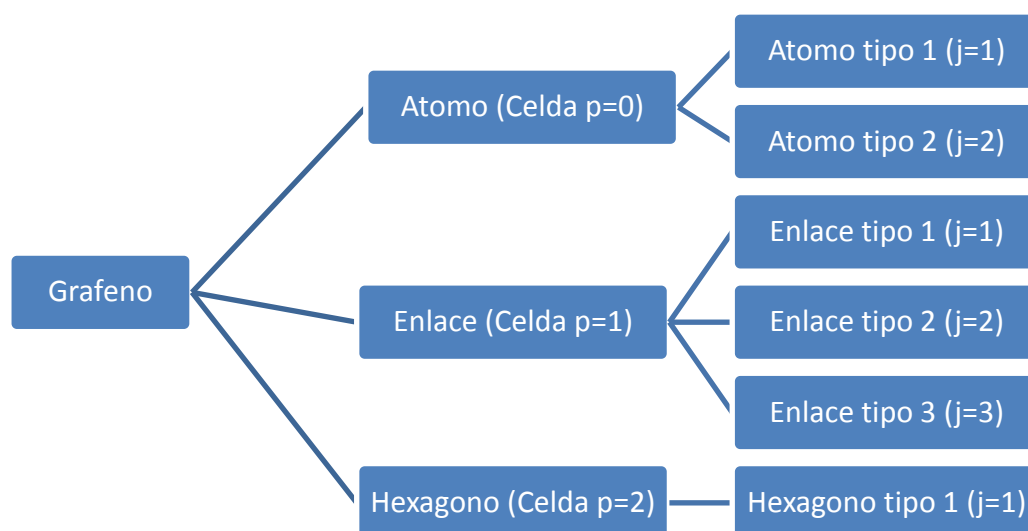


## 1.1.- Modelo del grafeno <sup>[1.5]</sup>

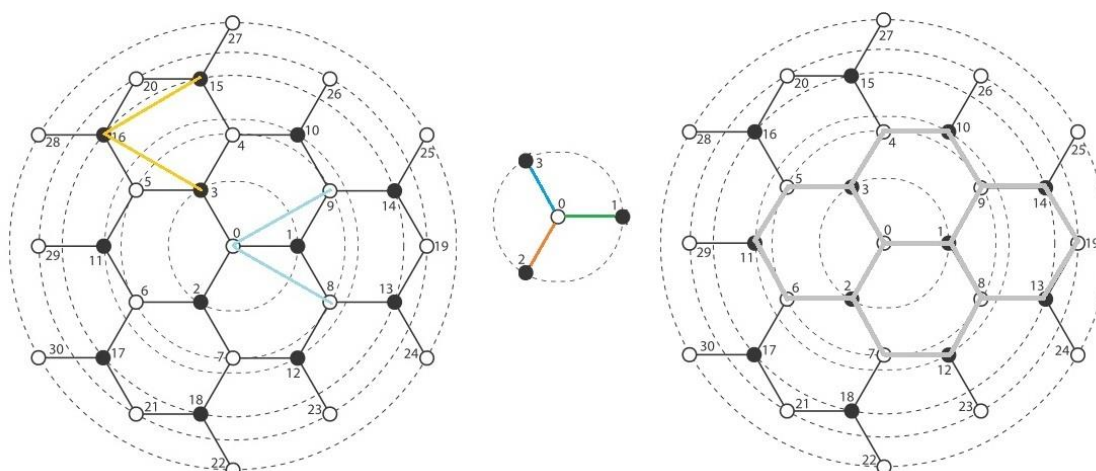
Un vector de una red de Bravais es aquel que definido en el ámbito local de un cristal nos permite llegar a todos los elementos de su red y por tanto define íntegramente la estructura en su celda unidad. No es el caso del grafeno y su particular estructura de panal de abejas.

Para superar este inconveniente Ariza & Ortiz en 2010 agruparon la red del grafeno en celdas dependiendo si son átomos ( $p = 0$ ), enlaces ( $p = 1$ ) ó hexágonos ( $p = 2$ ). Al aplicar este concepto de celdas queda definida completamente la red permitiendo llegar a cualquier átomo, enlace y hexágono si consideramos el enlace como celda básica de la estructura cristalina.

Cada celda tiene diferentes tipos dependiendo de su recurrencia en la red tal y como se muestra en el diagrama e imagen:



**Figura 1.9:** Diagrama de celdas y tipos que hay en el modelo del grafeno.



**Figura 1.10:** De izquierda a derecha. Dos Tipos de átomos: colores blancos y negros; Tres tipos de enlace: colores verde, naranja y azul; Un Tipo de hexágono: color gris.

Notar que solo se puede acceder al mismo tipo al aplicar los vectores de Bravais.

Finalmente y para encapsular la información necesitamos “ $\mathbf{l}$ ” que es una coordenada entera de Bravais y determina el desplazamiento que estamos haciendo entre las celdas respecto a una referencia. Esto significa que si  $\mathbf{l}$  es igual a uno implica que estamos hablando de los primeros vecinos (respecto a la referencia), si fuese dos serían los segundos vecinos... (Nota: Los superíndices de la ecuación 1.1 no son exponentes)

$$\mathbf{l}^i = (l^1, l^2) \quad 1.1$$

Finalmente, la encapsulación tiene esta forma

$$e_p(\mathbf{l}, j) \quad 1.2$$

Sirva como ejemplo  $e_1(\mathbf{l}, j)$  el cual significa que nos referimos a todos los enlaces ( $p=1$ ) de tipo cualquiera ( $j=1, 2$  y  $3$ ) en toda la red cristalina  $\mathbf{l} = (1, 2, 3 \dots n)$  siendo “ $n$ ” el  $n$ -ésimo vecino.

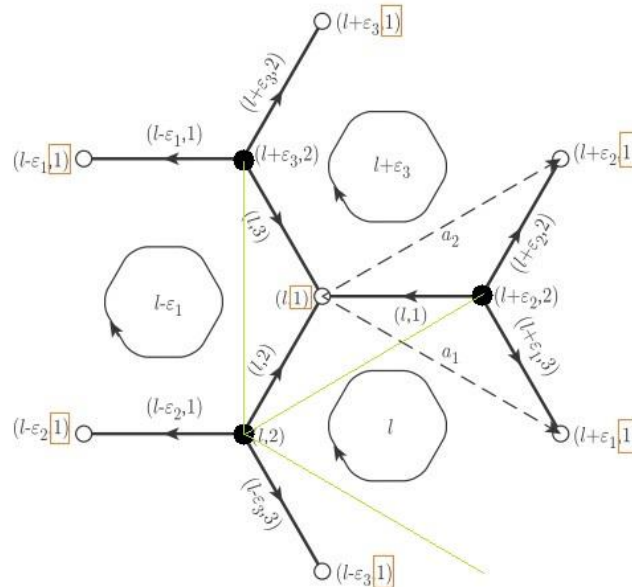
Si queremos utilizar la notación anterior para expresar un vector dentro de la red, entonces podemos usar una base vectorial de dos coordenadas independientes (Idea similar a la base canónica cartesiana  $\vec{i} = (1, 0, 0)$  ;  $\vec{j} = (0, 1, 0)$  ;  $\vec{k} = (0, 0, 1)$ ) siendo linealmente independientes.

$$\epsilon_1 = (1, 0, 0) ; \epsilon_2 = (0, 1, 0) \quad 1.3$$

$$\epsilon_3 = \epsilon_2 - \epsilon_1 \quad 1.4$$

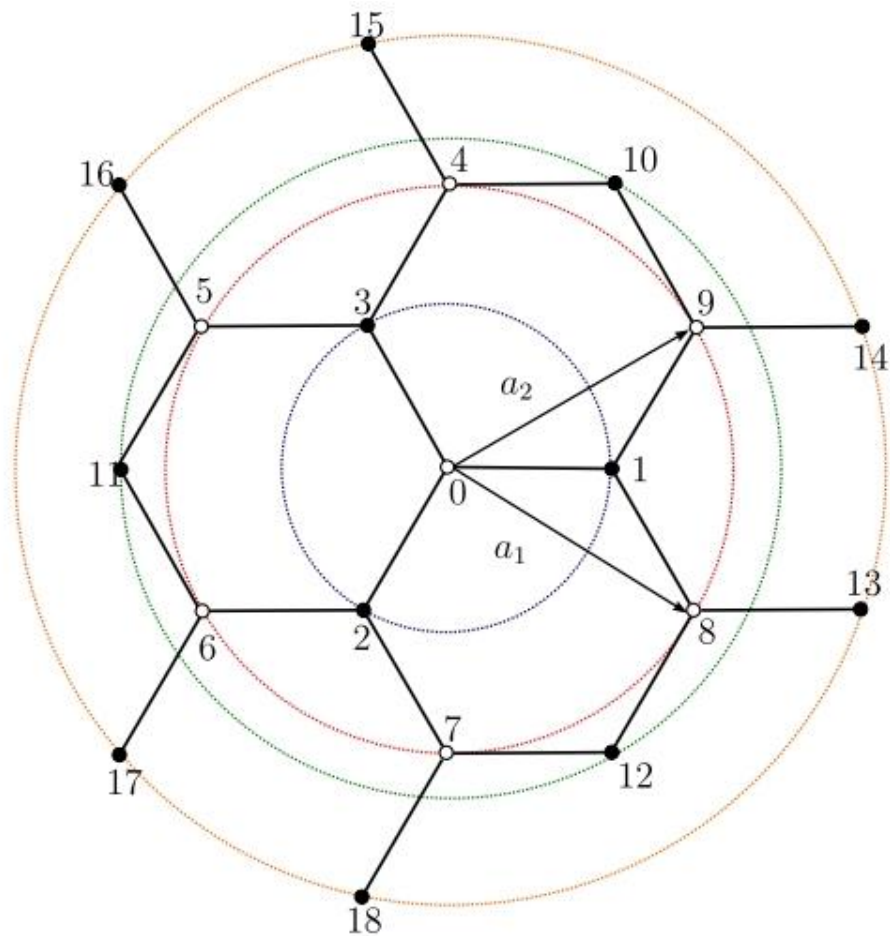
y el vector sería de la forma:

$$x = a_i \cdot l^i = a_1 \cdot l^1 + a_2 \cdot l^2 = \left( \frac{3a}{2}, \frac{-\sqrt{3}}{2}a, 0 \right) \cdot l^1 + \left( \frac{3a}{2}, \frac{\sqrt{3}a}{2}, 0 \right) \cdot l^2 \quad 1.5$$



**Figura 1.11:** Uso de vectores en la red para diferentes tipos de átomos.

En el modelo se incluye la numeración de los átomos que será necesaria posteriormente.



**Figura 1.12:** Numeración de los átomos presente en este trabajo. Las circunferencias indican a que vecino pertenece el átomo respecto a un átomo de referencia de la red así el color azul son sus primeros vecinos, el rojo los segundos vecinos, el verde los terceros vecinos y el dorado los cuartos vecinos.

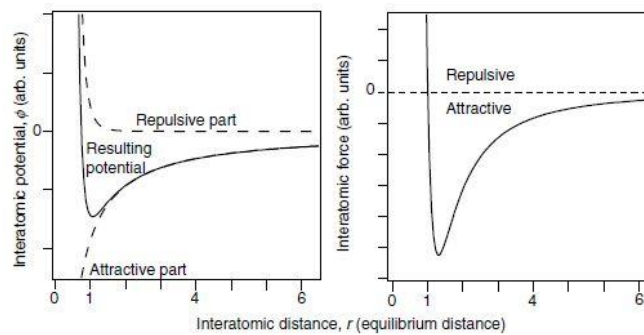


## 2.- Introducción a los potenciales interatómicos

Un potencial es una magnitud escalar o vectorial que se utiliza para ver la evolución de otra magnitud de estudio en un sistema conservativo. En este sentido un potencial interatómico consiste en una serie de funciones desarrolladas por el área de la física de la materia condensada cuyo objetivo es calcular la energía potencial de los átomos con el fin de conseguir un modelo de fuerzas.

$$F = \nabla U$$

2.1



**Figura 2.1:** Potenciales interatómicos disgregados en energía de atracción y repulsión, y las fuerzas que genera entre los átomos vecinos de un modelo cualquiera.

Hay que mencionar que existe otra forma de resolver un problema de dinámica molecular diferente a la de los potenciales interatómicos. Consiste en emplear los principios generales de la mecánica cuántica cuya solución es exacta teóricamente utilizando por ejemplo la ecuación de Schrödinger dependiente del tiempo 2.2, sin embargo, el nivel de complejidad numérica y computacional de este problema es elevado tanto es así que justifica el empleo de potenciales interatómicos y el error que contengan.

$$i \frac{\hbar}{2\pi} \frac{\partial}{\partial t} \psi = \hat{H} \psi \quad 2.2$$

Centrándonos en los potenciales interatómicos, la forma general de los potenciales es un sumatorio:

$$U(r_n) = \sum_i U_1(r_i) + \sum_i \sum_{j>i} U_2(r_i, r_j) + \sum_i \sum_{j>i} \sum_{k>j} U_3(r_i, r_j, r_k) + [...] \quad 2.3$$

$$r_n = (r_1, r_2, r_3, r_4, \dots)$$

Los términos de la expresión tienen el siguiente significado:

$U_1(r_i)$  - Hace referencia a un campo externo. Si no existe el campo, el término es cero puesto que no existe ninguna fuerza capaz de mover los átomos fuera del dominio.

$U_2(r_i, r_j)$  - Representa la interacción entre dos átomos cualesquiera.

$U_3(r_i, r_j, r_k)$  - Representa la interacción entre tres átomos cualesquiera.

La expresión se puede reescribir si no existe el primer término en función de las posiciones relativas. En ese caso

$$U(r_{ij}, r_{ik}, \theta_{ijk}) = \sum_{i,j}^N U_2(r_{ij}) + \sum_{i,j,k}^N U_3(r_{ij}, r_{ik}, \theta_{ijk}) + [\dots] \quad 2.4$$

$r_{ij}, r_{ik}, \theta_{ijk}$  - Posiciones entre los átomos i-j, i-k y el ángulo que se forman entre los enlaces respectivamente.

Una vez introducido el concepto de potencial es hora de enumerar los posibles tipos que hay. Estos se pueden dividir en dos grupos bien diferenciados <sup>[2.1]</sup>:

-El primer grupo de potenciales interatómicos son los denominados empíricos y su ajuste viene de resultados experimentales el potencial. Su precisión variará según los parámetros que se empleen para su construcción junto con la validez de su modelo.

-Un segundo grupo modelará el potencial utilizando parcialmente los principios de la mecánica cuántica.

Los potenciales más simples son los que tienen en consideración dos objetos como puede ser la ley universal de la gravedad o la ley de Coulomb usados en la física general. En el mundo de los potenciales interatómicos existen varios y reciben el nombre de sus creadores como son Lennar-Jones (1931), el potencial de Morse (1929) o el potencial de Buckingham (1938). Estos potenciales no son buenos en cuanto se le sube el nivel de dificultad al problema al añadir defectos o simular las constantes elásticas en algunos metales, puesto que solo incluyen hasta el termino  $U_2(r_i, r_j)$ . Por tanto, están en desuso para simular dinámica molecular de alta complejidad, sin embargo, pueden usarse para gases inertes y en menor medida para la interacción en materiales orgánicos donde las fuerzas de van der Waals son dominantes, la ecuación 2.5 ejemplifica los potenciales de dos cuerpos (Lennard-Jones).

$$U_{LJ} = 4\varepsilon \left[ \left( \frac{\sigma}{r} \right)^{12} - \left( \frac{\sigma}{r} \right)^6 \right] \quad 2.5$$

Sólo tiene tres dependencias:  $\varepsilon$  es la profundidad del potencial,  $\sigma$  distancia (finita) en la que el potencial entre partículas es cero y  $r$  distancia entre partículas.

Los potenciales multicuerpo añaden interacciones entre tres o más entidades  $U_{3\dots n}(r_i, r_j)$  produciendo una mejora considerable en la precisión. Existen varios de ellos su aplicación dependerá de cómo se han construido y para qué tipos de elementos.

Dentro de los potenciales multicuerpo, los más complejos son los que siguen las teorías de Linus Pauling y el concepto de orden de enlace. Su principal ventaja es que pueden incluir reacciones químicas e interacciones electromagnéticas ya que cuentan con la estructura del enlace y su naturaleza. Adicionalmente se apoyan sobre la DFT o Teoría del funcional de densidad que es un cálculo variacional alternativo a la solución de la ecuación de Schrödinger donde la energía electrónica es minimizada respecto a la densidad electrónica permitiendo un cálculo que se apoya en la mecánica cuántica.

Se mencionan a continuación una serie de ellos, agrupados según el carácter químico <sup>[2.2], [2.3]</sup>:

-Metálico: El potencial EAM (1984), potenciales del método del átomo embebido, útiles para modelar la interacción para metales de transición tipo FCC, aunque se pueden usar con cualquier metal incluso a las tierras raras con otro tipo de estructuras cristalinas <sup>[2.4]</sup>. Este potencial se mejoró y puede usarse con los metales de transición de estructura cristalina BCC con una modificación del potencial llamándose MEAM al que se le añade fuerzas angulares.

$$U_{EAM} = \sum_{a=1}^N \left[ \frac{D}{2} \sum_b \phi(r_{ab}) + F(\rho_a) \right] \quad 2.6$$

El primer término se corresponde a la interacción entre pares de átomos y el segundo término representa la cohesión dependiente de la densidad electrónica.

Otros potenciales usados para representar metales son el Glue Model <sup>[2.5]</sup> (1986), Finnis-Sinclair (1984) o versiones mejoradas como las de Ackland-Thetford (1987), TBSM (Tight Binding Second Moment) en cualquiera de su particularización por ejemplo la de Cleri-Rosato (1993), CEM (Corrected Effective Medium) DePristo (1991) ... etc.

-Covalentes: El potencial Stillinger-Webber (1985) desarrollado originalmente para el Silicio y extendido para los cristales covalentes con base de Silicio; el potencial de Tersoff (1988) usado para materiales donde predomina el enlace covalente y una vez más estudiado en profundidad para el Silicio; Brenner (1990) que corrige el potencial de Tersoff para añadirle efectos de radicales y no locales en pequeños hidrocarburos; EDIP (1998) que incluye en su potencial una modelización de la mayoría de los defectos y desorden entre fases y mejoran el potencial de Stillinger-Webber sin añadir mayor coste computacional... etc.

-Como ejemplo de potencial iónico se mencionará el potencial de Born.

Por último, es posible mezclar varias formas de crear un potencial interatómico. Es el caso del potencial ReaxFF útil para hidrocarburos, cuyo origen es la química del enlace y puede modelar la ruptura de enlaces conteniendo además las propiedades de los potenciales basados en el orden de enlace anteriormente mencionados.

Pueden encontrarse más potenciales con una explicación detallada de su construcción y para qué materiales se emplea en Interatomic Potentials Repository Project (Repositorio de Potenciales Interatómicos) dependiente de la National Institute of Standards and Technology (Instituto Nacional de Estándares y Tecnología) del gobierno estadounidense.

Consecuentemente y después de esta introducción sobre potenciales interatómicos podemos centrarnos en el Carbono y el grafeno en sí. Este puede modelarse principalmente con dos tipos de potenciales:

-El potencial REBO (Brenner, 1990) basado en el potencial de Tersoff (1988) incluía mejoras para los radicales y efectos no locales, sin embargo, era insuficiente al no contar con los efectos torsionales y con las interacciones de enlace. Esto propicio el potencial *AIREBO* creado por Stuart et al (2000) al añadir la torsión y contar con la interacción de larga distancia. Otras versiones más modernas que derivan del REBO y diferente a *AIREBO* son *LBOPII*

exclusivamente válidas para el Carbono, añaden distintas fases líquido-sólido y recalculan los términos de largo y corto alcance.

-El potencial *Tight Binding* es un potencial interatómico que mezcla los principios cuánticos con la velocidad de resolución que originaron los potenciales. Su inicio es la ecuación de Schrödinger, tras operar y simplificar se obtiene el potencial en términos de atracción y repulsión entre los enlaces. Los parámetros de las funciones provienen de los primeros principios y de medios empíricos.

## 2.1.- Introducción al formalismo del potencial Tight Binding

Los Tight Binding <sup>[2.1]</sup> pueden ser clasificados en ortogonales y no ortogonales. La diferencia radica en la disposición de los electrones y los átomos que modifica el tratamiento matemático que se recibe para su construcción. La mayoría de los potenciales basados en Tight Binding son de base ortogonal, en el caso del grafeno se usan el particularizados para el Carbono realizado por Xu et al. (1992) y mejorados por Tang et al. (1996) los cuales han sido probados y mejorados por múltiples equipos de investigación en todo el mundo reiteradamente.

No es objeto de este trabajo fin de grado discutir cada parte del potencial interatómico del TB en su formulación, pero se incluye a continuación una pequeña explicación para entender su origen:

Partimos de la ecuación de Schrödinger independiente del tiempo (estacionaria)

$$E\psi = \hat{H}\psi; \hat{H} = \frac{-\hbar^2}{4\pi m} \nabla^2 + V(\mathbf{r}) \quad 2.7$$

$\psi$  es la función de onda (Solución de la ecuación de la mecánica cuántica que representa el estado de las partículas)

$\hat{H}$  es el operador hamiltoniano que se relaciona con el observable de la energía. Éste depende de la energía potencial,  $V(\mathbf{r})$ ; la masa,  $m$  y la constante de Planck,  $\hbar$ .

La función de onda puede expresarse como una combinación lineal de orbitales atómicos (Linear Combination of Atomic Orbitals)

$$\psi(\mathbf{r}) = \sum_{\substack{j=1,\dots,N \text{ (numero del atomo)} \\ \beta=s,p_x,p_y,p_z \text{ (Diferentes orbitales)}}} c_{j\beta} \phi_{j\beta}(\mathbf{r} - \mathbf{R}_j) \quad 2.8$$

Para resolver 2.7 se ha de minimizar 2.9:

$$E = \frac{\int \psi^* \hat{H} \psi d\mathbf{r}}{\int \psi^* \psi d\mathbf{r}} \quad 2.9$$

Obteniendo:

$$\mathbf{H} \cdot \mathbf{c} = E \mathbf{S} \cdot \mathbf{c} \quad 2.10$$

$\mathbf{H}$ : Es el hamiltoniano para el TB.

$\mathbf{S}$ : Es la matriz de solapamiento, en un TB ortogonal es la matriz identidad.



En un cristal periódico podemos establecer una función de onda que sirva para todo el cristal, esto es provocado por la simetría de una celda sobre el resto y es lo que se conoce como teorema de Bloch.

$$T_{a_i} \Upsilon = e^{i k a_i} \Upsilon \quad 2.11$$

$a_i$  representa el vector de la red cristalina (red de Bravais) sea cual sea su dirección.

$k$  el vector de onda.

$T_{a_i}$  es el operador de la translación según la dirección  $a_i$ .

$\Upsilon$  es una función de onda cualquiera de la red.

Este teorema al incluirse en las funciones de onda anteriormente mencionada provoca la simplificación:

$$\mathbf{H}(k) \cdot c(k) = E(k) \mathbf{S}(k) \cdot c(k) \xrightarrow{\text{Ortogonal}} \mathbf{H}(k) \cdot c(k) = E(k) \mathbf{I} \cdot c(k) \quad 2.12$$



### 3.- Modelo Lineal de Redes Cristalinas

Una red cristalina que se modela con un potencial interatómico puede ser desarrollada con una serie de Taylor

$$E = E_0 + \frac{\partial E}{\partial u} du + \frac{1}{2!} \frac{\partial^2 E}{\partial u^2} du \cdot du + \frac{1}{3!} \frac{\partial^3 E}{\partial u^3} du \cdot du \cdot du + [\dots] \quad 3.1$$

Esta forma de representar el potencial puede dividirse en dos partes. La parte lineal y la parte no lineal. La parte lineal es aquella donde la energía depende hasta el cuadrado de su desplazamiento

$$E_{Lineal} = E_0 + \frac{\partial E}{\partial u} du + \frac{1}{2} \frac{\partial^2 E}{\partial u^2} du \cdot du \quad 3.2$$

$E_0$  - Es la referencia del potencial de la red perfecta, por lo que es despreciada para un análisis de variaciones energéticas entre diferentes estados de la red

$\frac{\partial E}{\partial u} du$  - Representa las fuerzas y como la red debe estar en equilibrio, si la red es perfecta su valor es cero.

$\frac{1}{2} \frac{\partial^2 E}{\partial u^2} du \cdot du$  - Es el termino principal de la energía lineal. Aquí se almacena la energía que guardan los átomos entre ellos, así como toda perturbación lineal como las dislocaciones

La parte no lineal es aquella donde la energía depende más allá del cuadrado de su desplazamiento. Aquí es donde se almacenan los efectos producidos, por ejemplo, por la temperatura.

$$E_{No Lineal} = \frac{1}{3!} \frac{\partial^3 E}{\partial u^3} du \cdot du \cdot du + [\dots] \quad 3.3$$

En este sentido puede verse fácilmente como la energía puede escribirse en dos términos separados

$$E = E_{Lineal} + E_{No Lineal} \quad 3.4$$

Esta energía lineal es independiente de una traslación o rotación por lo que sufre invarianza traslacional y rotacional <sup>[3.1]</sup> razón por la cual es independiente de la celda analizada.

$$E(x + y) = E(x) \quad 3.5$$

$$E(Rx) = E(x) \quad 3.6$$

Introduciendo una analogía con la mecánica clásica, vamos a construir ecuaciones con el potencial interatómico que recuerden a las primeras. Empezaremos con la Ley de Hooke

$$F = kx \quad 3.7$$

La teoría de la elasticidad define un campo de desplazamientos como:

$$u(e_0) = y(e_0) - x(e_0) \quad 3.8$$

La energía lineal expresada como una serie de Taylor en versión débil o variacional

$$E(u) = \int_{E_1} \int_{E_1} \int_{E_1} \int_{E_1} \frac{1}{2} C(e_1, e'_1, e''_1, e'''_1) \varepsilon(e_1, e'_1) \varepsilon(e''_1, e'''_1) \quad 3.9$$

$C(e_1, e'_1, e''_1, e'''_1)$  - Son las constantes que miden la fortaleza de las celdas. Notar que este término goza de simetría del campo de deformaciones por tanto es indiferente el orden de entrada de las etiquetas.

$\varepsilon(e_1, e'_1) = \frac{1}{2} [du(e_1) \cdot dx(e'_1) + dx(e_1) \cdot du(e'_1)]$  - Deformación producida por el campo de deformaciones

De aquí obtenemos

$$\sigma(e_1, e'_1) = \int_{E_1} \int_{E_1} C(e_1, e'_1, e''_1, e'''_1) \varepsilon(e''_1, e'''_1) \quad 3.10$$

Se puede comprobar que la ecuación 3.10 y la ecuación 3.7 son equivalentes estableciendo por tanto una satisfactoria relación.

Continuando con la analogía a la mecánica clásica, puede relacionarse la fuerza con el trabajo o potencia

$$W = \mathbf{F} \cdot \mathbf{x} \quad 3.11$$

$$P = \mathbf{F} \cdot \dot{\mathbf{x}} \quad 3.12$$

Sin perder generalidad un campo de deformaciones discreto es invariante bajo desplazamientos de sólido rígido lo cual provoca que la energía también lo sea.

Introduciendo la deformación en la energía obtenemos:

$$E(u) = \int_{E_1} \int_{E_1} \frac{1}{2} du(e_1) \cdot B(e_1, e'_1) du(e'_1) \quad 3.13$$

$$B(e_1, e'_1) = \int_{E_1} \int_{E_1} C(e_1, e'_1, e''_1, e'''_1) dx(e''_1) \otimes dx(e'''_1) \quad 3.14$$

Las ecuaciones 3.13 y 3.14 escritas en celdas de enlace pueden construirse con otro tipo de celda utilizando la derivada exterior 3.15. Aplicando esto último, las ecuaciones en términos de celda de átomos equivalentes son 3.16 y 3.17

$$d\alpha(e_{p+1}) = \sum_{e_p \in E_p} L(e_p, e_{p+1}) \alpha(e_p) \quad 3.15$$

$$E(u) = \int_{E_1} \int_{E_1} \frac{1}{2} u(e_0) \cdot A(e_0, e'_0) u(e'_0) \quad 3.16$$

$$A(e_0, e'_0) = \int_{E_1} \int_{E_1} L(e_0, e_1) L(e'_0, e'_1) B(e_1, e'_1) \quad 3.17$$

Finalmente podemos obtener el campo de constantes de fuerzas de una red utilizando el potencial interatómico. <sup>[3.2]</sup>

$$(\mathbf{B}d\mathbf{u})_i(\mathbf{l}, \alpha) = \sum_{m \in \mathbb{Z}^n} \sum_{\beta=1}^{N_1} \Psi_{ij} \left( \begin{smallmatrix} \mathbf{l} - \mathbf{m} \\ \alpha \quad \beta \end{smallmatrix} \right) du_j(\mathbf{m}, \beta) \equiv (\Psi * d\mathbf{u})_i(\mathbf{l}, \alpha) \quad 3.18$$

$$(\mathbf{A}d\mathbf{u})_i(\mathbf{l}, \alpha) = \sum_{m \in \mathbb{Z}^n} \sum_{\beta=1}^{N_0} \Phi_{ij} \left( \begin{smallmatrix} \mathbf{l} - \mathbf{m} \\ \alpha \quad \beta \end{smallmatrix} \right) u_j(\mathbf{m}, \beta) \equiv (\Phi * \mathbf{u})_i(\mathbf{l}, \alpha) \quad 3.19$$

$\Psi_{ij} \left( \begin{smallmatrix} \mathbf{l} - \mathbf{m} \\ \alpha \quad \beta \end{smallmatrix} \right)$  es la matriz de constantes de fuerzas en los enlaces reducida y representa la energía de interacción que resulta de un desplazamiento diferencia unitario en la  $j$ -ésima respecto a la  $i$ -ésima componente para la celda tipo  $e_1(\mathbf{l}, \alpha - \beta)$

$\Phi_{ij} \left( \begin{smallmatrix} \mathbf{l} - \mathbf{m} \\ \alpha \quad \beta \end{smallmatrix} \right)$  es la matriz de constantes de fuerzas en los átomos reducida y representa la energía de interacción que resulta de un desplazamiento diferencia unitario en la  $j$ -ésima respecto a la  $i$ -ésima componente para la celda tipo  $e_0(\mathbf{l}, \alpha - \beta)$

Usando los teoremas de convolución y la identidad de Parseval las ecuaciones 3.18 y 3.19 pueden transformarse en 3.20 y 3.21 respectivamente. Llegando finalmente a su equivalente clásico 3.11:

$$\mathbf{B}d\mathbf{u} = \Psi * d\mathbf{u} \rightarrow E(u) = \frac{1}{(2\pi)^n} \int_{[-\pi, \pi]^n} \frac{1}{2} \langle \hat{\Psi}(\theta) P^*(\theta) \hat{u}(\theta), P(\theta) \hat{u}^*(\theta) \rangle d\theta \quad 3.20$$

$$\mathbf{A}d\mathbf{u} = \Phi * d\mathbf{u} \rightarrow E(u) = \frac{1}{(2\pi)^n} \int_{[-\pi, \pi]^n} \frac{1}{2} \langle \hat{\Phi}(\theta) \hat{u}(\theta), \hat{u}^*(\theta) \rangle d\theta \quad 3.21$$

La notación empleada en 3.20 y 3.21 es:

$$\langle a, b \rangle = \int_{D_a} \int_{D_b} ab \quad 3.22$$

Además, podemos relacionar los campos de fuerzas en diferentes celdas gracias a la identidad

$$\hat{\phi}_{ij} = Q_1^T \hat{\Psi}_{ij} Q_1^* \quad 3.23$$

$Q_1^*$  y  $Q_1^T$  son los operadores que contienen el cambio de tipos de celda y utilizan la transformada discreta de Fourier. Sus superíndices se refieren al conjugado y al traspuesto de la matriz  $Q_1$  respectivamente

Para el término de la potencia 3.12 es simplemente introducir el concepto de velocidad de deformación

$$\dot{E} = \int_{E_1} \int_{E_1} \sigma(e_1, e'_1) \dot{e}(e_1, e'_1) \quad 3.24$$



## 4.- Potencial TB linealizado en C++

### 4.1.- Estructura de un programa en C++

Un programa en C/C++ tiene una estructura fija que se ha de seguir:

- Las directivas del pre-procesador: Son aquellas que el compilador necesita y busca antes del proceso de compilación del programa. Aquí se incluyen bibliotecas e instrucciones "define". En nuestro programa utilizamos bibliotecas del estándar y los "defines" serán las constantes del modelo.
- Declaración de variables globales: No se han utilizado en nuestro modelo.
- Prototipos de funciones y clases: Si una operación es recurrente en un programa se realiza una función, en nuestro caso se han empleado funciones para cada una de las partes del programa. Esta es la base de la programación modular.
- Función principal: Sentencias que invocan a las funciones y realizan operaciones no recurrentes.
- Definición de funciones y clases: Desarrollan los prototipos de las funciones.

El objetivo es realizar la programación en C++ de la linealización del TB para ello en este capítulo mostraremos la teoría por una parte y el código que se ha generado en otra.

El potencial TB lineal puede escribirse de la forma

$$E = E_{repulsion} + E_{bandas} \quad 4.1$$

Esto conduce a que se pueda estudiar el potencial en dos partes.

Entrando más en detalle en la programación del potencial, ambas partes comparten funciones y características comunes. Una de ellas es la utilización de las funciones matemáticas presentes en el Anexo A.

Otra es la derivación que se hace para el espacio no para el tiempo. Esto se traduce en que dada una posición sus derivadas son vectores y las segundas derivadas son matrices. La justificación puede obtenerse al pensar en un átomo cualquiera en una red cualquiera. Este átomo tendrá, por ejemplo una energía determinada, si nosotros realizamos un movimiento infinitesimal en el espacio (definición de derivada) en sus tres dimensiones posibles se obtendrá tres números cada uno referido al espacio correspondiente, es decir, un vector. Si aplicamos la derivada de nuevo se obtiene una matriz. En el Anexo B puede encontrarse el código auxiliar para las distancias interatómicas de la red.

$$\frac{\partial r_q}{\partial \mathbf{r}_q} = \frac{\mathbf{r}_q}{r_q} \quad 4.2$$

$$\frac{\partial^2 r_q}{\partial^2 \mathbf{r}_q} = \frac{1}{r_q} \mathbb{I} - \frac{1}{r_q^3} \cdot \mathbf{r}_q \otimes \mathbf{r}_q \quad 4.3$$

Por último, se debe recordar que puede consultarse íntegramente el desarrollo teórico del potencial en la bibliografía recomendada para este capítulo. <sup>[4.1]</sup>

## 4.2.- Implementación del TB lineal: Parte de la energía repulsiva.

El primer término solo tiene efectos de corto alcance.

$$E_{repulsion} = \sum_i X \left( \sum_j \phi(r_{ij}) \right) \quad 4.3$$

Los términos de esta ecuación son una función polinomial de 4º grado descrita en 4.4 y  $\phi(r_{ij})$  en 4.5

$$X = c_0x^0 + c_1x^1 + c_2x^2 + c_3x^3 + c_4x^4 \rightarrow X' = \frac{\partial X}{\partial x} ; X'' = \frac{\partial^2 X}{\partial x^2} \quad 4.4$$

$$\phi(r_{ij}) = \phi_0 \left( \frac{d_0}{r} \right)^m \cdot e^{m \left[ + \left( \frac{d_0}{d_c} \right)^{m_c} - \left( \frac{r}{d_c} \right)^{m_c} \right]} \quad 4.5$$

La función  $\phi(r)$  tiene un segundo término que tiende a cero y su validez es desde los segundos vecinos hasta los terceros. Las primeras y segundas derivadas se encuentran en el Anexo C.

Los coeficientes para este término de la energía son:

Tabla 4.1: Coeficientes para calcular la energía repulsiva.

Parámetros	Valor
$c_0$	-2.5909765118191
$c_1$	0.5721151498619
$c_2$	-0.0017896349903996
$c_3$	-0.000023539221516757
$c_4$	0.000000124251169551587
$\phi_0$ (eV)	8.18555
$d_0$ (Å)	1.64
$d_c$ (Å)	2.1052
$m$	3.30304
$m_c$	8.6655

En el programa desarrollado y siguiendo con la estructura típica del lenguaje, esta parte del potencial se encuentra en:

-Instrucciones preprocesador: En la figura 4.1 se muestran las constantes necesarias para el término repulsivo (Tabla 4.1) y otras, también se muestran las bibliotecas imprescindibles para el programa en toda su ejecución.

-Prototipos de funciones: Son funciones que se necesitan para ejecutar la energía repulsiva (Figura 4.2) y corresponden a la ecuación 4.5. Además, estas funciones necesitan otras para su funcionamiento, estas son las funciones matemáticas (Figura 4.3) y las distancias interatómicas (Figura 4.4). Su programación se puede encontrar en los anexos A y B respectivamente.



-Programa principal: Para el cálculo de la parte de la energía repulsiva previamente se necesita calcular la posición atómica de cada uno de los átomos (Figura 4.5) para posteriormente calcular el polinomio de la ecuación 4.4 (Figura 4.6).

-Definición de funciones: Se muestra como ejemplo la función programada *phiiij* en detalle, las derivadas puede consultarte directamente sobre los anexos, en este caso el C. (Figura 4.7).

```

3  #include <iostream>
4  #include <cstdlib>
5  #include <cmath>
6  #include <ccomplex>
7  #include <CFLOAT>
8  #include <ctime>
9  using namespace std;
10
11 //Definicion de constantes y parametros para el calculo
12
13 #define es0 -2.99          /**< Parametros para construir la matriz
hamiltoniana correspondiente a los parametros on-site*/
14 #define ep0 3.71          /**< Parametros para construir la matriz
hamiltoniana correspondiente a los parametros on-site*/
15 #define vssigma -5        /**< Parametros para construir la matriz
hamiltoniana correspondiente a los parametros de salto*/
16 #define vppsigma 5.5      /**< Parametros para construir la matriz
hamiltoniana correspondiente a los parametros de salto*/
17 #define vpsigma 4.7       /**< Parametros para construir la matriz
hamiltoniana correspondiente a los parametros de salto*/
18 #define vpppi -1.55       /**< Parametros para construir la matriz
hamiltoniana correspondiente a los parametros de salto*/
19 #define s0 1              /**< Parametros de los primeros principios*/
20 #define r0 1.536329       /**< Parametros de los primeros principios*/
21 #define rc 2.18          /**< Parametros de los primeros principios*/
22 #define n 2              /**< Parametros de los primeros principios*/
23 #define nc 6.5           /**< Parametros de los primeros principios*/
24 #define phi0 8.18555      /**< Coeficientes para phiiij*/
25 #define d0 1.64          /**< Coeficientes para phiiij*/
26 #define dc 2.1052        /**< Coeficientes para phiiij*/
27 #define m 3.30304        /**< Coeficientes para phiiij*/
28 #define mc 8.6655        /**< Coeficientes para phiiij*/
29 #define c0 -2.5909765118191 /**< Coeficientes para Erep*/
30 #define c1 0.5721151498619 /**< Coeficientes para Erep*/
31 #define c2 -0.0017896349903996 /**< Coeficientes para Erep*/
32 #define c3 0.000023539221516757 /**< Coeficientes para Erep*/
33 #define c4 -0.000000124251169551587 /**< Coeficientes para Erep*/
34 #define PI 3.14159265358979323846 /**< Numero PI*/
35 #define factor 1.0        /**< Factor que se emplea para la Zona de
Brillouin. Importante: Hay que ponerlo en forma racional NO en forma entero.*/
36 #define NOMBRE "factor1-0.txt" /**< Archivo de salida que almacena matrices*/
37 #pragma warning(disable:4996) // Evitar errores del compilador al ejecutar el
archivo de salida en el compilador Visual Studio

```

Figura 4.1: Sentencias preprocesador. Incluyen las bibliotecas y constantes necesarias para la ejecución del programa.

```

91 //Definicion de funciones para Erepulsivas
92
93 /**Funcion phi que se emplea para calcular la segunda derivada de la energia
repulsiva */
94 double phiiij(double r[3]);
95 /**Primera derivada de la funcion phi que se emplea para calcular la segunda
derivada de la energia repulsiva*/
96 void phiijdr(double r[3], double rdevuelta[3]);
97 /**Segunda derivada de la funcion phi que se emplea para calcular la segunda
derivada de la energia repulsiva*/
98 void phiijdrdr(double r[3], double mdevuelta[3][3]);

```

Figura 4.2: Prototipos que se utilizan para ejecutar esta parte de la energía.

```

39 //Definicion de funciones Matematicas
40
41 /**Funcion de giro*/
42 void giro(double MatA[3][3], double grados);
43 /**Muestra un vector en pantalla de tamaño 3*/
44 void mostrarvect(double Q[3]);
45 /**Muestra una matriz en pantalla de tamaño 3x3*/
46 void mostrarmatr(double Q[3][3]);
47 /**Muestra una matriz por pantalla del tamaño 4x4 compleja*/
48 void mostrarGxx(complex<double>A[4][4]);
49 /**Limpia o inicializa un vector de tamaño 3*/
50 void limpiarvec(double r[3]);
51 /**Limpia o inicializa una matriz de tamaño 3x3*/
52 void limpiarmat(double MatA[3][3]);
53 /** Realiza la transpuesta de una matriz A*/
54 void transpuesta(double MatA[3][3], double MatB[3][3]);
55 /** Multiplica una matriz de 3x3 por un vector de tamaño 3*/
56 void matrizvector(double MatA[3][3], double vec[3], double vecdevuelta[3]);
57 /**Multiplicacion de una matriz por otra matriz de tamaño 3x3 */
58 void multmatriz(double MatA[3][3], double MatB[3][3], double MatC[3][3]);
59 /** Multiplicacion de tres matrices*/
60 void trimultmatriz(double MatA[3][3], double MatB[3][3], double MatC[3][3], double
MatD[3][3]);
61 /** Suma de dos matrices 3x3*/
62 void sumamatriz(double MatA[3][3], double MatB[3][3], double MatC[3][3]);
63 /** Suma de tres matrices 3x3*/
64 void trisumamatriz(double MatA[3][3], double MatB[3][3], double MatC[3][3], double
MatD[3][3]);
65 /** Multiplicacion de un escalar por una matriz 3x3*/
66 void escmat(double E, double M[3][3], double matvuelta[3][3]);
67 /** Multiplicacion de un escalar por un vector 3*/
68 void escvec(double E, double r[3], double vecvuelta[3]);
69 /** Norma euclidea de un vector*/
70 double normal(double r[3]);
71 /**Producto escalar de dos vectores */
72 double escalar(double x[3], double y[3]); //En Mathematica es x.y
73 /**Producto tensorial de dos tensores de orden 1 */
74 void outer(double v1[3], double v2[3], double mat[3][3]);
75 /**Resta de dos vectores de dimension 3 */
76 void restavector(double v1[3], double v2[3], double v3[3]);
77 /**Suma de dos vectores de dimension 3 */
78 void sumavector(double v1[3], double v2[3], double v3[3]);

```

Figura 4.3: Funciones matemáticas que son necesarias en toda la ejecución del programa. La programación está en el Anexo A

```

80 //Definicion de funciones de distancia entre atomos
81
82 /**Derivada del vector rij siendo rij el vector que va desde i hasta j */
83 void rijdr(double r[3], double rdevuelta[3]);
84 /**Segunda derivada del vector rij siendo rij el vector que va desde i hasta j*/
85 void rijdrdr(double r[3], double mdevuelta[3][3]);
86 /** Derivada del vector a la menos uno del modulo rij siendo rij el vector que va
desde i hasta j*/
87 void rijmldr(double r[3], double rdevuelta[3]);
88 /**Segunda derivada del vector a las menos uno del modulo rij siendo rij el vector
que va desde i hasta j*/
89 void rijmldrdr(double r[3], double mdevuelta[3][3]);

```

Figura 4.4: Funciones de posición atómica que son necesarias en toda la ejecución del programa. Las ecuaciones teóricas y su programación están en el Anexo B

```

320 int main()
321 {
322     //Vectores y matrices auxiliares para el calculo
323
324     int i;
325     double modulo;
326     complex<double> auxi1, auxi2, auxi3;
327     double vaux1[3] = { 0 }, vaux2[3] = { 0 }, vaux3[3] = { 0 }, vaux4[3] = { 0 },
    vaux5[3] = { 0 }, vaux6[3] = { 0 }, vaux7[3] = { 0 };
328
329
330     //Matrices de Giro
331
332     double Q60[3][3];           /**<Matriz de giro a 60 grados*/
333     double Q90[3][3];           /**<Matriz de giro a 90 grados*/
334     double Q120[3][3];          /**<Matriz de giro a 120 grados*/
335     double Q180[3][3];          /**<Matriz de giro a 180 grados*/
336     double Q240[3][3];          /**<Matriz de giro a 240 grados*/
337     double Q300[3][3];          /**<Matriz de giro a 300 grados*/
338     double T120[3][3];          /**<Matriz transpuesta de 120*/
339     double T240[3][3];          /**<Matriz transpuesta de 240*/
340     giro(Q60, 60);
341     giro(Q90, 90);
342     giro(Q120, 120);
343     giro(Q180, 180);
344     giro(Q240, 240);
345     giro(Q300, 300);
346     transpuesta(Q120, T120);
347     transpuesta(Q240, T240);
348
349     //Posiciones atomicas
350
351     double d = 1.42;             /**<Distancia interatomica*/
352     double r00[3] = { 0,0,0 };   /**<Posicion de referencia del atomo*/
353     double r01[3] = { d,0,0 };   /**<Posicion atomica de un primer vecino*/
354     double r02[3];               /**<Posicion atomica de un primer vecino*/
355     double r03[3];               /**<Posicion atomica de un primer vecino*/
356     matrizvector(Q240, r01, r02);
357     matrizvector(Q120, r01, r03);
358     double r04[3] = { 0,0,0 };   /**<Posicion atomica de un segundo vecino*/
359     r04[1] = d*sqrt(3);
360     double r05[3];               /**<Posicion atomica de un segundo vecino*/
361     double r06[3];               /**<Posicion atomica de un segundo vecino*/
362     double r07[3];               /**<Posicion atomica de un segundo vecino*/
363     double r08[3];               /**<Posicion atomica de un segundo vecino*/
364     double r09[3];               /**<Posicion atomica de un segundo vecino*/
365     matrizvector(Q60, r04, r05);
366     matrizvector(Q120, r04, r06);
367     matrizvector(Q180, r04, r07);
368     matrizvector(Q240, r04, r08);
369     matrizvector(Q300, r04, r09);
370     double r10[3] = { d,0,0 };   /**<Posicion atomica de un tercer vecino*/
371     r10[1] = d*sqrt(3);
372     double r11[3];               /**<Posicion atomica de un tercer vecino*/
373     double r12[3];               /**<Posicion atomica de un tercer vecino*/
374     matrizvector(Q120, r10, r11);
375     matrizvector(Q240, r10, r12);
376     double r13[3];               /**<Posicion atomica de un cuarto vecino*/
377     r13[0] = d + r08[0];
378     r13[1] = r08[1];
379     r13[2] = r08[2];
380     double r14[3];               /**<Posicion atomica de un cuarto vecino*/
381     r14[0] = d + r09[0];
382     r14[1] = r09[1];
383     r14[2] = r09[2];
384     double r15[3];               /**<Posicion atomica de un cuarto vecino*/
385     double r16[3];               /**<Posicion atomica de un cuarto vecino*/
386     double r17[3];               /**<Posicion atomica de un cuarto vecino*/
387     double r18[3];               /**<Posicion atomica de un cuarto vecino*/

```

Continúa en la siguiente página

```

388     matrizvector(Q120, r13, r15);
389     matrizvector(Q120, r14, r16);
390     matrizvector(Q120, r15, r17);
391     matrizvector(Q120, r16, r18);
392     double r23[3];           /**<Posicion atomica de un quinto vecino*/
393     double r26[3];           /**<Posicion atomica de un quinto vecino*/
394     double r29[3];           /**<Posicion atomica de un quinto vecino*/
395     restavector(r12, r03, r23);
396     restavector(r10, r02, r26);
397     restavector(r11, r01, r29);

```

Figura 4.5: Cálculo de los primeros, segundos, terceros, cuartos y quintos vecinos utilizando la simetría particular del grafeno.

```

400     //ENERGIA REPULSIVA
401
402     double X;                /**<Funcion polinomial de 4 orden usada para la Erepulsiva
de corto rango*/
403     double Xdr;              /**<Derivada de la funcion polinomial de 4 orden usada para
la Erepulsiva de corto rango*/
404     double Xdrdr;            /**<Segunda derivada de la funcion polinomial de 4 orden
usada para la Erepulsiva de corto rango*/
405
406     restavector(r00, r01, vaux1);
407     restavector(r00, r02, vaux2);
408     restavector(r00, r03, vaux3);
409
410     X = phiiij(vaux1) + phiiij(vaux2) + phiiij(vaux3);
411     Xdr = (c1 + 2 * X*c2 + 3 * X*X*c3 + 4 * X*X*X*c4);
412     Xdrdr = (2 * c2 + 6 * c3*X + 12 * c4*X*X);
413     limpiarvec(vaux1);
414     limpiarvec(vaux2);
415     limpiarvec(vaux3);

```

Figura 4.6: Cálculo del polinomio necesario para la ecuación 4.3

```

1916     double phiiij(double r[3])
1917     {
1918         /**
1919         \details Junto con CnX^n definen totalmente esta funcion. CnX^n se encuentra en
el main. Utiliza la funcion normal(r) y la libreria Math.
1920         *Los argumentos que recibe provienen de los primeros principios.
1921         \param r vector de distancia entre atomos
1922         \return Un numero de doble precision.
1923         */
1924         //Cuidado con la exponencial. La base no puede ser negativa y el exponente un
numero irracional
1925         double norm;
1926         norm = normal(r);
1927         return (phi0*pow((d0 / norm), m)*exp((-m*pow((norm / dc), mc)) + (m*pow((d0 / dc), mc))));

```

Figura 4.7: Función en detalle de *phiiij* correspondiente a la ecuación 4.5. Sus derivadas y programación están en el Anexo C



### 4.3.- Implementación del TB lineal: Parte de la energía de bandas.

El segundo término de 4.1 es la energía de enlace que corresponde a la energía asociada a las bandas, la cual representa las energías de atracción y es igual a la suma de los autovalores del electrón de los estados ocupados, obtenidos por la matriz empírica hamiltoniana del TBH.

$$E_{bandas} = \sum_i f_i \cdot \epsilon_i ; f(\epsilon_i) = \frac{1}{1 + e^{\frac{\epsilon_i - E_f}{k_b T}}} \quad 4.6$$

$\epsilon_i$  es la energía de estado del electrón,  $f_i$  es la función de Fermi-Dirac e implica cual es la probabilidad de que un electrón este en una banda de energía superior al que le corresponde estar. Sus coeficientes son:  $k_b$  constante de Boltzmann-Stefan,  $T$  temperatura,  $\epsilon$  energía del estado y  $E_f$  Energía de Fermi, para explicar un poco mejor este término se resume qué son las bandas de energía.<sup>[4.2]</sup>

Las bandas de energía es el resultado de la incapacidad de la física clásica para resolver el movimiento de los electrones y es resultado directo de la aplicación de la mecánica cuántica. Se dan dos ideas fundamentales, la primera de ellas se basa en que la energía esta cuantizada (niveles de energía) y la segunda es el principio de exclusión de Pauli.

Dos átomos al juntarse forman un enlace entre sus núcleos, pero ¿Qué ocurre con las nubes de electrones de ambos átomos? Estas deben de unirse y como se ha dicho anteriormente sus electrones no pueden ocupar un espacio cualquiera (Cuantización de la energía) sino que deben establecerse unos niveles dentro de los orbitales que les corresponda, además se tiene que garantizar que un electrón del mismo tipo no comparta el mismo nivel energético con otro de su mismo spin (Exclusión de Pauli). La solución a ello fue el modelo de bandas.

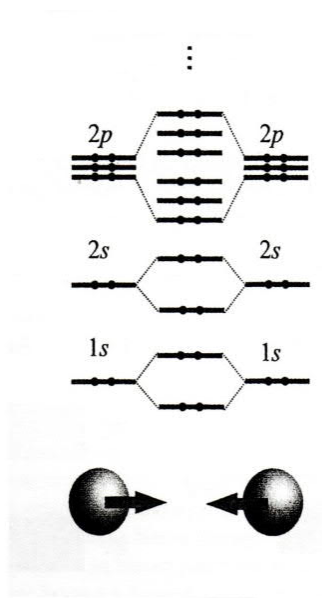


Figura 4.8: Los dos átomos se están uniendo en un enlace, sus electrones que ocupan sus espacios orbitales tienen que unirse en una nube compartida.

Respecto a las bandas se pueden distinguir dos, es importante decir que una no excluye a la otra, sino que pueden darse a la vez como muestra la figura 4.9.

-La primera banda es la de valencia y es en la que están los electrones con mayor energía (más externos) incluso a 0  $k$ .

-La segunda es la banda de conducción y es en la que a 0  $k$  existen huecos que pueden participar en la conducción.

-La Energía de Fermi es la que corresponde al estado ocupado de más alta energía a 0  $k$  medido desde el borde inferior de la banda.

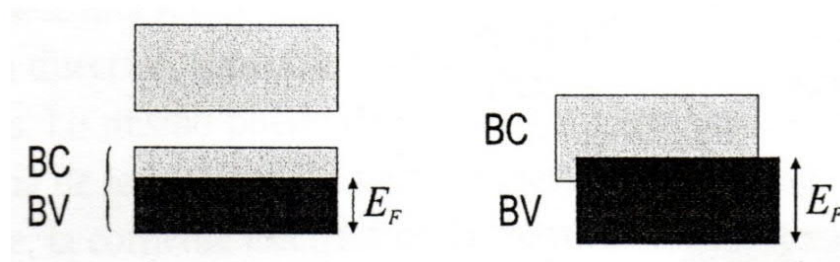


Figura 4.9: Ejemplo de bandas para un material conductor. La imagen de la derecha muestra un solapamiento entre bandas como se advirtió en el párrafo anterior.

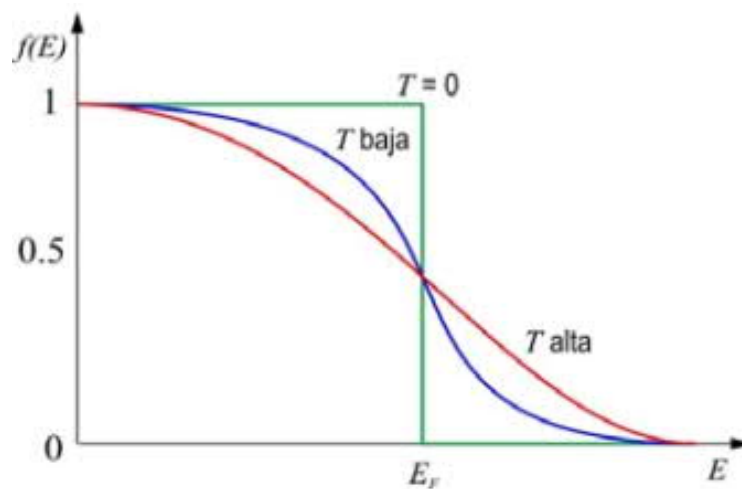


Figura 4.10: Representación de la función probabilista de Fermi-Dirac. Ecuación 4.6.

## 4.4- Implementación del TB lineal: Construcción de la matriz hamiltoniana del TB

El tensor TBH puede escribirse como:

$$TBH_{ij} = \begin{pmatrix} \mathbf{H}_{1\alpha,1\beta} & \dots & \dots & \dots & \mathbf{H}_{1\alpha,N\beta} \\ \vdots & \dots & \mathbf{H}_{i\alpha,j\beta} & \dots & \vdots \\ \mathbf{H}_{N\alpha,1\beta} & \dots & \dots & \dots & \mathbf{H}_{N\alpha,N\beta} \end{pmatrix} \quad 4.7$$

$i, j$  son los átomos involucrados siendo origen el primero y final el segundo.

$\alpha, \beta$  son los orbitales que en nuestro caso serán  $s, p_x, p_y$  y  $p_z$ .

Donde cada componente de este tensor es:

$$\mathbf{H}_{i\alpha,j\beta} = E_\alpha \delta_{ij} \delta_{\alpha\beta} + h_{i\alpha,j\beta} (1 - \delta_{ij} \delta_{\alpha\beta}) \quad 4.8$$

Disgregando ambos términos de 4.8 obtenemos 4.9 y 4.10. El primero de ellos son términos constantes y el segundo es un producto de funciones por lo que al derivar se tendrá que utilizar la regla de la cadena.

$$\mathbf{H}_{i\alpha,j\beta}^{i=j} = \begin{pmatrix} h_{is,is} & 0 & 0 & 0 \\ 0 & h_{ip_x,ip_x} & 0 & 0 \\ 0 & 0 & h_{ip_y,ip_y} & 0 \\ 0 & 0 & 0 & h_{ip_z,ip_z} \end{pmatrix} = \begin{pmatrix} E_s & 0 & 0 & 0 \\ 0 & E_{p_x} & 0 & 0 \\ 0 & 0 & E_{p_y} & 0 \\ 0 & 0 & 0 & E_{p_z} \end{pmatrix} \quad 4.9$$

$$\mathbf{H}_{i\alpha,j\beta}^{i \neq j} = \begin{pmatrix} h_{is,js} & h_{is,jp_x} & h_{is,jp_y} & h_{is,jp_z} \\ h_{ip_x,js} & h_{ip_x,jp_x} & h_{ip_x,jp_y} & h_{ip_x,jp_z} \\ h_{ip_y,js} & h_{ip_y,jp_x} & h_{ip_y,jp_y} & h_{ip_y,jp_z} \\ h_{ip_z,js} & h_{ip_z,jp_x} & h_{ip_z,jp_y} & h_{ip_z,jp_z} \end{pmatrix}; h_{i\alpha,j\beta}^{i \neq j} = h_{\alpha\beta} S(r_{ij}) \quad 4.10$$

En el capítulo anterior usamos el teorema de Bloch, recuperando ese concepto nos permite simplificar enormemente el esfuerzo computacional al utilizar la existente simetría traslacional de las celdas del grafeno en el que hay dos tipos de átomos entonces la matriz del TBH puede transformarse en:

$$\mathbf{H}(\mathbf{k}) = \begin{pmatrix} \mathbf{H} \begin{pmatrix} \mathbf{k} \\ 11 \end{pmatrix} & \mathbf{H} \begin{pmatrix} \mathbf{k} \\ 12 \end{pmatrix} \\ \mathbf{H} \begin{pmatrix} \mathbf{k} \\ 21 \end{pmatrix} & \mathbf{H} \begin{pmatrix} \mathbf{k} \\ 22 \end{pmatrix} \end{pmatrix} \xleftrightarrow{\text{Es equivalente}} \mathbf{H}(\mathbf{k}) = \begin{pmatrix} \mathbf{H}_{i\alpha,j\beta}^{i=j} & \mathbf{H}_{i\alpha,j\beta}^{i \neq j} \\ \mathbf{H}_{i\alpha,j\beta}^{i \neq j} & \mathbf{H}_{i\alpha,j\beta}^{i=j} \end{pmatrix} \quad 4.11$$

Los términos de la diagonal principal son los correspondientes a la interacción entre átomos del mismo tipo y la diagonal secundaria es la que corresponde a interacciones entre átomos de distinto tipo, siendo el primero conjugada del segundo y viceversa. El espacio de esta matriz es de 8x8 que se corresponde al tener 2 tipos de átomos y 4 tipos de orbitales.

La matriz 4.9 depende exclusivamente de los parámetros on-site que corresponden a la energía de los orbitales atómicos  $E_s$  y  $E_{p_i}$  y la matriz 4.10 depende de las funciones de salto ortogonales  $h_{i\alpha,j\beta}$ . Ambos parámetros se encuentran en la tabla 4.2

Tabla 4.2: Coeficientes y parámetros on-site ( $E_s$  y  $E_{p_i}$ ) y de salto ( $h_{\alpha\beta}$ )

Parámetros	Valor (eV)
$E_s$	-2.99
$E_{p_i}$	+3.71
$V_{ss\sigma}$	-5.0
$V_{sp\sigma}$	+4.7
$V_{pp\sigma}$	+5.5
$V_{pp\pi}$	-1.55

Por otra parte, la matriz 4.10 depende de otra función  $S(r_{ij})$  que es una función escalada que a su vez tiene otros parámetros ajustados de los primeros principios que se detallan en la tabla 4.3 y sus derivadas están recogidas en el Anexo D. La función tiene un segundo término que tiende a cero y su validez es desde los segundos vecinos hasta los terceros vecinos.

$$S(r) = \left(\frac{r_0}{r}\right)^n \cdot e^{\{n[-(\frac{r}{r_c})^{n_c} + (\frac{r_0}{r_c})^{n_c}]\}} \quad 4.12$$

Tabla 4.3: Coeficientes y parámetros de  $S(r_q)$

Parámetros	Valor
$n$	2.0
$n_c$	6.5
$r_c$ (eV)	2.18
$r_0$ (Å)	1.536329
$r_1$ (Å)	2.45

La matriz 4.10 también depende de las funciones de salto ortogonal  $h_{i\alpha,j\beta}$ . Estas funciones se han desarrollado en 4.13 para cada componente, resultando una función que depende de cosenos directores ( $d_x, d_y, d_z$ ) y parámetros de salto ( $V_{ss\sigma}, V_{sp\sigma}, V_{pp\sigma}, V_{pp\pi}$ ). Sus derivadas están recogidas en el Anexo E y F.

$$H_{i\alpha,j\beta}^{i \neq j} = \begin{pmatrix} V_{ss\sigma} & d_x V_{sp\sigma} & d_y V_{sp\sigma} & d_z V_{sp\sigma} \\ -d_x V_{sp\sigma} & d_x^2 V_{pp\sigma} + d_y^2 V_{pp\pi} & d_x d_y (V_{pp\sigma} - V_{pp\pi}) & d_z d_x (V_{pp\sigma} - V_{pp\pi}) \\ -d_y V_{sp\sigma} & d_x d_y (V_{pp\sigma} - V_{pp\pi}) & d_x^2 V_{pp\sigma} + (1 - d_y^2) V_{pp\pi} & d_z d_y (V_{pp\sigma} - V_{pp\pi}) \\ -d_z V_{sp\sigma} & d_z d_x (V_{pp\sigma} - V_{pp\pi}) & d_z d_y (V_{pp\sigma} - V_{pp\pi}) & d_z^2 V_{pp\sigma} + (1 - d_z^2) V_{pp\pi} \end{pmatrix} S(r_{ij}) \quad 4.13$$

En el anexo F también se recogen las primeras y segundas derivadas de 4.13 junto con su programación, es decir, las primeras y segundas derivadas del hamiltoniano de cada componente.

Para finalizar la teoría se deben introducir dos conceptos teóricos:

-Validez del modelo: El rango de validez de este término del potencial Tight Binding solo incluye la interacción de los primeros vecinos.



-Zona de Brillouin: <sup>[4.3]</sup> Estrictamente las Zonas de Brillouin representan los límites de los planos de Bragg que difractan ondas que tienen vectores de onda particulares de modo que causen interferencia constructiva. Otra definición más clara es que la ZB se define como la celda primitiva de Wigner-Seitz de la red recíproca.

La importancia de la ZB radica en la descripción de las ondas que se propagan en un medio periódico y pueden ser descritas a partir de ondas de Bloch dentro de ella misma. En la primera zona de Brillouin se encuentra toda la información útil del cristal necesaria para el potencial.

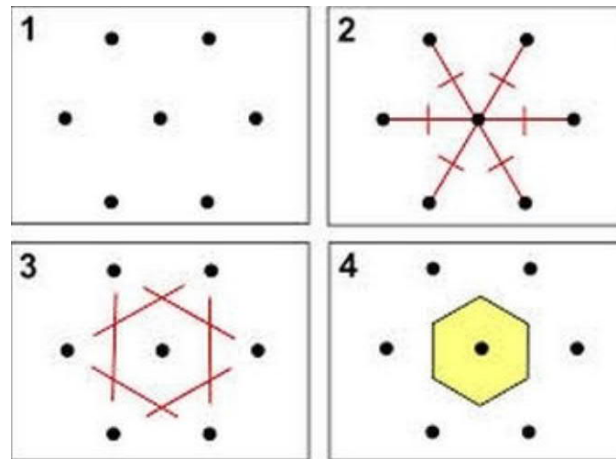


Figura 4.11: Celda de Wigner-Seitz para una red hexagonal.

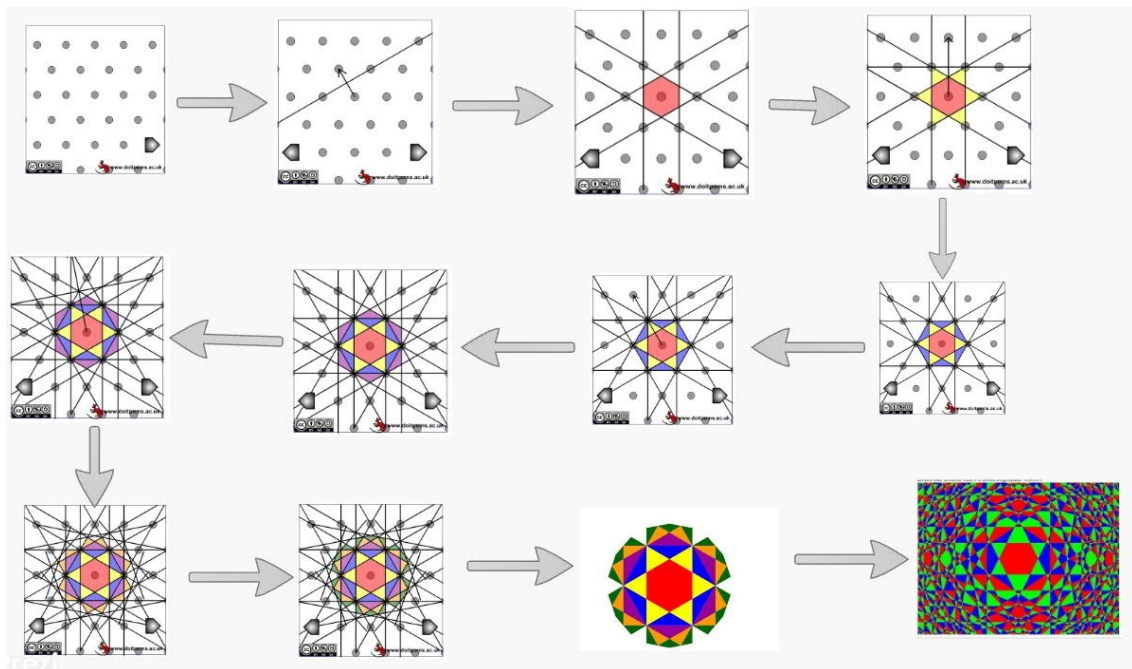


Figura 4.12: Cálculo de las zonas de Brillouin para una red de panal de abejas.

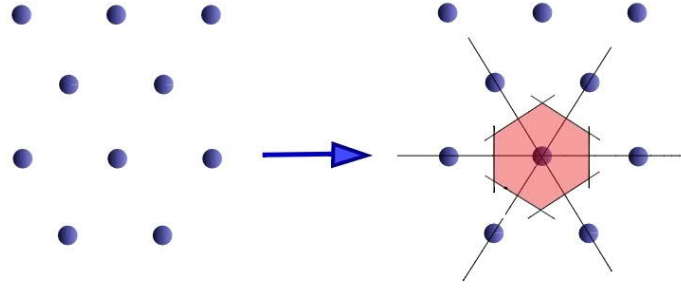


Figura 4.13: Primera zona de Brillouin para una red hexagonal.

Por ello y para ejemplificar la teoría si aplicamos todo lo anterior a la matriz 4.7:

$$\mathbf{TBH}_{15} \xrightarrow{\text{Ec. 4.10}} \mathbf{H}_{i\alpha,j\beta}^{i \neq j} = h_{is,js}(r_{01}) + h_{is,js}(r_{02}) + h_{is,js}(r_{03}) \quad 4.14$$

Y aplicando sobre este espacio la primera ZB con la expresión 4.15

$$\sum_k^N \mathbf{H}_{i\alpha,j\beta}^{i \neq j} \cdot e^{i \cdot k \cdot r_{ij}} \quad 4.15$$

$i$  es la unidad imaginaria.

$k$  es el vector de cada punto de la ZB.

$r_{ij}$  es la distancia interatómica.

Quedará finalmente:

$$\mathbf{TBH}_{15} = h_{is,js}(r_{01}) \cdot e^{i \cdot k \cdot (r_{01})} + h_{is,js}(r_{02}) \cdot e^{i \cdot k \cdot (r_{02})} + h_{is,js}(r_{03}) \cdot e^{i \cdot k \cdot (r_{03})} \quad 4.16$$

Nota: Las primeras y segundas derivadas del tensor hamiltoniano del potencial no necesitan utilizar los puntos y los vectores asociados a la Zona de Brillouin.

En el programa desarrollado y siguiendo con la estructura típica del lenguaje, esta parte del potencial se encuentra en:

-Instrucciones preprocesador: En la figura 4.1 se muestran las constantes necesarias para los términos de funciones de salto ortogonales  $h_{i\alpha,j\beta}$  (Tabla 4.2), la función escalada  $S(r_{ij})$  (Tabla 4.3) y otras presentes en el programa, también se muestran las bibliotecas imprescindibles para el programa en toda su ejecución.

-Prototipos de funciones: Son funciones que se necesitan para calcular la TBH y sus derivadas. Estas son la función escalada  $S(r_{ij})$ , la función  $h_{\alpha\beta}$  y los cosenos directores  $d_i$  (Figuras 4.14, 4.15 y 4.16) Además estas funciones necesitan otras como las funciones matemáticas (Figura 4.3) y las distancias interatómicas (Figura 4.4).

-Programa principal: Siguiendo con el estilo documental se calcula la TBH en este punto. Para ese propósito se construye el tensor 4.11, el cual en su diagonal principal será 4.9 y a efectos de programación se realiza en la figura 4.20. La diagonal secundaria de 4.11 donde su detalle teórico se vio en 4.13 y 4.16, su programación se encuentra en la figura 4.21.

-Definición de funciones: Se muestra como ejemplo la función programada "*fs*" que equivale  $S(r_{ij})$ , "*lx*" que equivale  $d_x$ , "*hssigma*" que equivale  $V_{ss\sigma}$ , las demás puede consultarse directamente sobre los Anexos D, E y F respectivamente. También se incluyen las funciones de la ZB que calculan el número de puntos de esta zona y los vectores asociados a cada punto además esta última necesita de una función auxiliar. Figuras 4.23, 4.24, 4.25, 4.26, 4.27 y 4.28 respectivamente.

```

106  /**Funcion escalar S que se emplea para construir el tensor hamiltoniano de orden
    cero, uno y dos*/
107  double fs(double r[3]);
108  /**Primera derivada de una funcion escalar S que se emplea para construir el tensor
    hamiltoniano de orden cero, uno y dos*/
109  void fsdr(double r[3], double rdevuelta[3]);
110  /**Segunda derivada de una funcion escalar S que se emplea para construir el tensor
    hamiltoniano de orden cero, uno y dos*/
111  void fsdrdr(double r[3], double mdevuelta[3][3]);

```

Figura 4.14: Prototipos para la función escalada  $S(r)$ . En el Anexo D están sus derivadas y su programación.

```

112  /**Funciones de salto para construir el TBH*/
113  double hssigma(double r[3]);
114  /**Primera derivada de las funciones de salto para construir el TBH*/
115  void hssigmadr(double r[3], double rdevuelta[3]);
116  /**Segunda derivada de las funciones de salto para construir el TBH*/
117  void hssigmadrdr(double r[3], double mdevuelta[3][3]);
118  /**Funciones de salto para construir el TBH*/
119  double hppsigma(double r[3]);
120  /**Primera derivada de las funciones de salto para construir el TBH*/
121  void hppsigmadr(double r[3], double rdevuelta[3]);
122  /**Segunda derivada de las funciones de salto para construir el TBH*/
123  void hppsigmadrdr(double r[3], double mdevuelta[3][3]);
124  /**Funciones de salto para construir el TBH*/
125  double hpsigma(double r[3]);
126  /**Primera derivada de las funciones de salto para construir el TBH*/
127  void hpsigmadr(double r[3], double rdevuelta[3]);
128  /**Segunda derivada de las funciones de salto para construir el TBH*/
129  void hpsigmadrdr(double r[3], double mdevuelta[3][3]);
130  /**Funciones de salto para construir el TBH*/
131  double hpppi(double r[3]);
132  /**Segunda derivada de las funciones de salto para construir el TBH*/
133  void hpppidr(double r[3], double rdevuelta[3]);
134  /**Segunda derivada de las funciones de salto para construir el TBH*/
135  void hpppidrdr(double r[3], double mdevuelta[3][3]);

```

Figura 4.15: Prototipos para los parámetros de salto  $h_{\alpha\beta}$ . En el Anexo F están su ecuaciones y programación.

```

136  /**Cosenos directores segun los vectores cartesianos para construir el TBH */
137  double lx(double r[3]);
138  /**Derivada primera de los cosenos directores segun los vectores cartesianos para
139  construir el TBH */
140  void lxdr(double r[3], double vuelta[3]);
141  /**Derivada segunda de los cosenos directores segun los vectores cartesianos para
142  construir el TBH */
143  void lxdrdr(double r[3], double mdevuelta[3][3]);
144  /**Cosenos directores segun los vectores cartesianos para construir el TBH */
145  double ly(double r[3]);
146  /**Derivada primera de los cosenos directores segun los vectores cartesianos para
147  construir el TBH */
148  void lydr(double r[3], double vuelta[3]);
149  /**Derivada segunda de los cosenos directores segun los vectores cartesianos para
150  construir el TBH */
151  void lydrdr(double r[3], double mdevuelta[3][3]);
152  /**Cosenos directores segun los vectores cartesianos al cuadrado necesario para
153  construir el TBH */
154  double lx2(double r[3]);
155  /**Derivada primera de los cosenos directores segun los vectores cartesianos al
156  cuadrado necesario para construir el TBH */
157  void lx2dr(double r[3], double vuelta[3]);
158  /**Derivada segunda de los cosenos directores segun los vectores cartesianos al
159  cuadrado necesario para construir el TBH */
160  void lx2drdr(double r[3], double vuelta[3][3]);
161  /**Cosenos directores segun los vectores cartesianos al cuadrado necesario para
162  construir el TBH */
163  double ly2(double r[3]);
164  /**Derivada primera de los cosenos directores segun los vectores cartesianos al
165  cuadrado necesario para construir el TBH */
166  void ly2dr(double r[3], double vuelta[3]);
167  /**Derivada segunda de los cosenos directores segun los vectores cartesianos al
168  cuadrado necesario para construir el TBH */
169  void ly2drdr(double r[3], double vuelta[3][3]);
170  /**Cosenos directores segun los vectores cartesianos al cuadrado necesario para
171  construir el TBH */
172  double lz2(double r[3]);
173  /**Derivada primera de los cosenos directores segun los vectores cartesianos al
174  cuadrado necesario para construir el TBH */
175  void lz2dr(double r[3], double vuelta[3]);
176  /**Derivada segunda de los cosenos directores segun los vectores cartesianos al
177  cuadrado necesario para construir el TBH */
178  void lz2drdr(double r[3], double vuelta[3][3]);
179  /**Cosenos directores segun los vectores cartesianos para construir el TBH */
180  double lzlz(double r[3]);
181  /**Derivada primera de los cosenos directores segun los vectores cartesianos para
182  construir el TBH */
183  void lzlzdr(double r[3], double vuelta[3]);
184  /**Derivada segunda de los cosenos directores segun los vectores cartesianos para
185  construir el TBH */
186  void lzlzdrdr(double r[3], double vuelta[3][3]);
187  /**Cosenos directores segun los vectores cartesianos para construir el TBH */
188  double lzly(double r[3]);
189  /**Derivada primera de los cosenos directores segun los vectores cartesianos para
190  construir el TBH */
191  void lzlydr(double r[3], double vuelta[3]);
192  /**Derivada segunda de los cosenos directores segun los vectores cartesianos para
193  construir el TBH */
194  void lzlydrdr(double r[3], double vuelta[3][3]);
195  /**Cosenos directores segun los vectores cartesianos para construir el TBH */
196  double lxly(double r[3]);
197  /**Derivada primera de los cosenos directores segun los vectores cartesianos para
198  construir el TBH */
199  void lxlydr(double r[3], double vuelta[3]);
200  /**Derivada segunda de los cosenos directores segun los vectores cartesianos para
201  construir el TBH */
202  void lxlydrdr(double r[3], double vuelta[3][3]);

```

Figura 4.16: Prototipos para los cosenos directores. En el Anexo E están sus ecuaciones y programación.



```

192  /**Primera derivada del hamiltoniano, vector de dimension 3, que pertenece a un
193  tensor de segundo orden cuya componente es Hdr(1,1) */
194  void H15dr(double r[3], double rdevuelta[3]);
195  /**Primera derivada del hamiltoniano, vector de dimension 3, que pertenece a un
196  tensor de segundo orden cuya componente es Hdr(1,2) */
197  void H16dr(double r[3], double rdevuelta[3]);
198  /**Primera derivada del hamiltoniano, vector de dimension 3, que pertenece a un
199  tensor de segundo orden cuya componente es Hdr(1,3) */
200  void H17dr(double r[3], double rdevuelta[3]);
201  /**Primera derivada del hamiltoniano, vector de dimension 3, que pertenece a un
202  tensor de segundo orden cuya componente es Hdr(1,4) */
203  void H18dr(double r[3], double rdevuelta[3]);
204  /**Primera derivada del hamiltoniano, vector de dimension 3, que pertenece a un
205  tensor de segundo orden cuya componente es Hdr(2,1) */
206  void H25dr(double r[3], double rdevuelta[3]);
207  /**Primera derivada del hamiltoniano, vector de dimension 3, que pertenece a un
208  tensor de segundo orden cuya componente es Hdr(2,2) */
209  void H26dr(double r[3], double rdevuelta[3]);
210  /**Primera derivada del hamiltoniano, vector de dimension 3, que pertenece a un
211  tensor de segundo orden cuya componente es Hdr(2,3) */
212  void H27dr(double r[3], double rdevuelta[3]);
213  /**Primera derivada del hamiltoniano, vector de dimension 3, que pertenece a un
214  tensor de segundo orden cuya componente es Hdr(2,4) */
215  void H28dr(double r[3], double rdevuelta[3]);
216  /**Primera derivada del hamiltoniano, vector de dimension 3, que pertenece a un
217  tensor de segundo orden cuya componente es Hdr(3,1) */
218  void H35dr(double r[3], double rdevuelta[3]);
219  /**Primera derivada del hamiltoniano, vector de dimension 3, que pertenece a un
220  tensor de segundo orden cuya componente es Hdr(3,2) */
221  void H36dr(double r[3], double rdevuelta[3]);
222  /**Primera derivada del hamiltoniano, vector de dimension 3, que pertenece a un
223  tensor de segundo orden cuya componente es Hdr(3,3) */
224  void H37dr(double r[3], double rdevuelta[3]);
225  /**Primera derivada del hamiltoniano, vector de dimension 3, que pertenece a un
226  tensor de segundo orden cuya componente es Hdr(3,4) */
227  void H38dr(double r[3], double rdevuelta[3]);
228  /**Primera derivada del hamiltoniano, vector de dimension 3, que pertenece a un
229  tensor de segundo orden cuya componente es Hdr(4,1) */
230  void H45dr(double r[3], double rdevuelta[3]);
231  /**Primera derivada del hamiltoniano, vector de dimension 3, que pertenece a un
232  tensor de segundo orden cuya componente es Hdr(4,2) */
233  void H46dr(double r[3], double rdevuelta[3]);
234  /**Primera derivada del hamiltoniano, vector de dimension 3, que pertenece a un
235  tensor de segundo orden cuya componente es Hdr(4,3) */
236  void H47dr(double r[3], double rdevuelta[3]);
237  /**Primera derivada del hamiltoniano, vector de dimension 3, que pertenece a un
238  tensor de segundo orden cuya componente es Hdr(4,4) */
239  void H48dr(double r[3], double rdevuelta[3]);
240
241  //Habdr[r_] := {{H15dr[r], H16dr[r], H17dr[r], H18dr[r]},
242  //              {H25dr[r], H26dr[r], H27dr[r], H28dr[r]},
243  //              {H35dr[r], H36dr[r], H37dr[r], H38dr[r]},
244  //              {H45dr[r], H46dr[r], H47dr[r], H48dr[r]}};
245  //
246  //
247  //Hbdr[r_] := {{H51dr[r], H52dr[r], H53dr[r], H54dr[r]},
248  //              {H61dr[r], H62dr[r], H63dr[r], H64dr[r]},
249  //              {H71dr[r], H72dr[r], H73dr[r], H74dr[r]},
250  //              {H81dr[r], H82dr[r], H83dr[r], H84dr[r]}};

```

Figura 4.17: Prototipos de la primera derivada del hamiltoniano. En el Anexo F están su ecuaciones y programación.

```

236  /**Segunda derivada del hamiltoniano, matriz de dimension 3x3, que pertenece a un
237  tensor de segundo orden cuya componente es Hdrdr(1,1) */
238  void H15drdr(double r[3], double mdevuelta[3][3]);
239  /**Segunda derivada del hamiltoniano, matriz de dimension 3x3, que pertenece a un
240  tensor de segundo orden cuya componente es Hdrdr(1,2) */
241  void H16drdr(double r[3], double mdevuelta[3][3]);
242  /**Segunda derivada del hamiltoniano, matriz de dimension 3x3, que pertenece a un
243  tensor de segundo orden cuya componente es Hdrdr(1,3) */
244  void H17drdr(double r[3], double mdevuelta[3][3]);
245  /**Segunda derivada del hamiltoniano, matriz de dimension 3x3, que pertenece a un
246  tensor de segundo orden cuya componente es Hdrdr(1,4) */
247  void H18drdr(double r[3], double mdevuelta[3][3]);
248  /**Segunda derivada del hamiltoniano, matriz de dimension 3x3, que pertenece a un
249  tensor de segundo orden cuya componente es Hdrdr(2,1) */
250  void H25drdr(double r[3], double mdevuelta[3][3]);
251  /**Segunda derivada del hamiltoniano, matriz de dimension 3x3, que pertenece a un
252  tensor de segundo orden cuya componente es Hdrdr(2,2) */
253  void H26drdr(double r[3], double mdevuelta[3][3]);
254  /**Segunda derivada del hamiltoniano, matriz de dimension 3x3, que pertenece a un
255  tensor de segundo orden cuya componente es Hdrdr(2,3) */
256  void H27drdr(double r[3], double mdevuelta[3][3]);
257  /**Segunda derivada del hamiltoniano, matriz de dimension 3x3, que pertenece a un
258  tensor de segundo orden cuya componente es Hdrdr(2,4) */
259  void H28drdr(double r[3], double mdevuelta[3][3]);
260  /**Segunda derivada del hamiltoniano, matriz de dimension 3x3, que pertenece a un
261  tensor de segundo orden cuya componente es Hdrdr(3,1) */
262  void H35drdr(double r[3], double mdevuelta[3][3]);
263  /**Segunda derivada del hamiltoniano, matriz de dimension 3x3, que pertenece a un
264  tensor de segundo orden cuya componente es Hdrdr(3,2) */
265  void H36drdr(double r[3], double mdevuelta[3][3]);
266  /**Segunda derivada del hamiltoniano, matriz de dimension 3x3, que pertenece a un
267  tensor de segundo orden cuya componente es Hdrdr(3,3) */
268  void H37drdr(double r[3], double mdevuelta[3][3]);
269  /**Segunda derivada del hamiltoniano, matriz de dimension 3x3, que pertenece a un
270  tensor de segundo orden cuya componente es Hdrdr(3,4) */
271  void H38drdr(double r[3], double mdevuelta[3][3]);
272  /**Segunda derivada del hamiltoniano, matriz de dimension 3x3, que pertenece a un
273  tensor de segundo orden cuya componente es Hdrdr(4,1) */
274  void H45drdr(double r[3], double mdevuelta[3][3]);
275  /**Segunda derivada del hamiltoniano, matriz de dimension 3x3, que pertenece a un
276  tensor de segundo orden cuya componente es Hdrdr(4,2) */
277  void H46drdr(double r[3], double mdevuelta[3][3]);
278  /**Segunda derivada del hamiltoniano, matriz de dimension 3x3, que pertenece a un
279  tensor de segundo orden cuya componente es Hdrdr(4,3) */
280  void H47drdr(double r[3], double mdevuelta[3][3]);
281  /**Segunda derivada del hamiltoniano, matriz de dimension 3x3, que pertenece a un
282  tensor de segundo orden cuya componente es Hdrdr(4,4) */
283  void H48drdr(double r[3], double mdevuelta[3][3]);
284
285  //Habdrdr[r_] := {{H15drdr[r], H16drdr[r], H17drdr[r], H18drdr[r]},
286  // {H25drdr[r], H26drdr[r], H27drdr[r], H28drdr[r]},
287  // {H35drdr[r], H36drdr[r], H37drdr[r], H38drdr[r]},
288  // {H45drdr[r], H46drdr[r], H47drdr[r], H48drdr[r]}};
289
290  //Hbdrdr[r_] := {{H51drdr[r], H52drdr[r], H53drdr[r], H54drdr[r]},
291  // {H61drdr[r], H62drdr[r], H63drdr[r], H64drdr[r]},
292  // {H71drdr[r], H72drdr[r], H73drdr[r], H74drdr[r]},
293  // {H81drdr[r], H82drdr[r], H83drdr[r], H84drdr[r]}};

```

Figura 4.18: Prototipos de la segunda derivada del hamiltoniano. En el anexo F están sus ecuaciones y programación.

```

569      /**Calculo de la matriz TBH*/
570
571      /** Calculo del tensor del hamiltoniano 2x2, cada termino de el es una matriz 4x4
572      *H(1,1) y H(2,2) representan la interaccion de atomos del mismo tipo para la
573      matriz TBH
574      *H(1,2) y H(2,1) representan la interaccion entre atomos de diferente tipo para
575      la matriz TBH
576      *H(1,1)=H(2,2) A ambos se les llama Haa
577      *H(1,2)!=H(2,1) Uno es la conjugada del otro.
578      *A H(1,2) se le llama Hab y a H(2,1) se le llama Hba
579      */
580
581      /**Calculo del tamaño del espacio de Brillouin, necesario para TBH y la
582      transformada de green al espacio real*/
583      int tam;
584      tam = tamano(Q60, Q120, Q180, Q240, Q300);
585      /**Matriz K de la ZB. Esta formada por un array unidimensional*/
586      double *k;
587      k = new double[tam * 3];
588      /**Pesos correspondientes a cada fila de la matriz K de la ZB. Esta formada por
589      un array unidimensional*/
590      double *pesos63;
591      pesos63 = new double[tam];
592      kapeso(k, pesos63, Q60, Q120, Q180, Q240, Q300);

```

Figura 4.19: Llamada a las funciones que calculan los puntos y vectores asociados a la ZB.

```

593      //Haa
594      complex<double> H11;
595      complex<double> H22;
596      complex<double> H33;
597      complex<double> H44;
598      complex<double> H12 = 0;
599      complex<double> H13 = 0;
600      complex<double> H14 = 0;
601      complex<double> H21 = 0;
602      complex<double> H23 = 0;
603      complex<double> H24 = 0;
604      complex<double> H31 = 0;
605      complex<double> H32 = 0;
606      complex<double> H34 = 0;
607      complex<double> H41 = 0;
608      complex<double> H42 = 0;
609      complex<double> H43 = 0;

```

Figura 4.20: Programación de la matriz 4.9. Es la diagonal principal del tensor 4.11.

```

611 //Hab
612 complex<double> *H15;
613 H15 = new complex<double>[tam];
614 complex<double> *H16;
615 H16 = new complex<double>[tam];
616 complex<double> *H17;
617 H17 = new complex<double>[tam];
618 complex<double> H18 = 0;
619
620 complex<double> *H25;
621 H25 = new complex<double>[tam];
622 complex<double> *H26;
623 H26 = new complex<double>[tam];
624 complex<double> *H27;
625 H27 = new complex<double>[tam];
626 complex<double> H28 = 0;
627
628 complex<double> *H35;
629 H35 = new complex<double>[tam];
630 complex<double> *H36;
631 H36 = new complex<double>[tam];
632 complex<double> *H37;
633 H37 = new complex<double>[tam];
634 complex<double> H38 = 0;
635
636 complex<double> H45 = 0;
637 complex<double> H46 = 0;
638 complex<double> H47 = 0;
639 complex<double> *H48;
640 H48 = new complex<double>[tam];
641
642
643 //Hba (Es la conjugada de Hab)
644 complex<double> *H51;
645 H51 = new complex<double>[tam];
646 complex<double> *H52;
647 H52 = new complex<double>[tam];
648 complex<double> *H53;
649 H53 = new complex<double>[tam];
650 complex<double> H54 = 0;
651
652 complex<double> *H61;
653 H61 = new complex<double>[tam];
654 complex<double> *H62;
655 H62 = new complex<double>[tam];
656 complex<double> *H63;
657 H63 = new complex<double>[tam];
658 complex<double> H64 = 0;
659
660 complex<double> *H71;
661 H71 = new complex<double>[tam];
662 complex<double> *H72;
663 H72 = new complex<double>[tam];
664 complex<double> *H73;
665 H73 = new complex<double>[tam];
666 complex<double> H74 = 0;
667
668 complex<double> H81 = 0;
669 complex<double> H82 = 0;
670 complex<double> H83 = 0;
671 complex<double> *H84;
672 H84 = new complex<double>[tam];

```

Figura 4.21: Matriz 4.10. Es la diagonal secundaria del tensor 4.11 y es imprescindible conocer el tamaño de la zona de Brillouin por ese motivo se emplea la memoria dinámica.



```

675  /**Bucle para la asignacion de valores de TBH en la posicion de equilibrio*/
676  H11 = es0;
677  H22 = ep0;
678  H33 = ep0;
679  H44 = ep0;
680  for (i = 0; i < tam; i++)
681  {
682      vectordematrixk(k, vaux1, i);
683      modulo = 1;
684      auxi1 = polar(modulo, escalar(r01, vaux1));
685      auxi2 = polar(modulo, escalar(r02, vaux1));
686      auxi3 = polar(modulo, escalar(r03, vaux1));
687      H15[i] = hsssigma(r01)*auxi1 + hsssigma(r02)*auxi2 + hsssigma(r03)*auxi3;
688      H16[i] = (lx(r01)*hspsigma(r01)*auxi1) + (lx(r02)*hspsigma(r02)*auxi2) + (lx(r03)*hspsigma(r03)*auxi3);
689      H17[i] = (ly(r01)*hspsigma(r01)*auxi1) + (ly(r02)*hspsigma(r02)*auxi2) + (ly(r03)*hspsigma(r03)*auxi3);
690      H25[i] = (-lx(r01)*hspsigma(r01)*auxi1) + (-lx(r02)*hspsigma(r02)*auxi2) + (-lx(r03)*hspsigma(r03)*auxi3);
691      H26[i] = ((lx(r01)*lx(r01)*hppsiga(r01) + ly(r01)*ly(r01)*hpppi(r01))*auxi1) + ((lx(r02)*lx(r02)*hppsiga(r02) + ly(r02)*ly(r02)*hpppi(r02))*auxi2) + ((lx(r03)*lx(r03)*hppsiga(r03) + ly(r03)*ly(r03)*hpppi(r03))*auxi3);
692      H27[i] = (lx(r01)*ly(r01)*(hppsiga(r01) - hpppi(r01))*auxi1) + (lx(r02)*ly(r02)*(hppsiga(r02) - hpppi(r02))*auxi2) + (lx(r03)*ly(r03)*(hppsiga(r03) - hpppi(r03))*auxi3);
693      H35[i] = (-ly(r01)*hspsigma(r01)*auxi1) + (-ly(r02)*hspsigma(r02)*auxi2) + (-ly(r03)*hspsigma(r03)*auxi3);
694      H36[i] = (lx(r01)*ly(r01)*(hppsiga(r01) - hpppi(r01))*auxi1) + (lx(r02)*ly(r02)*(hppsiga(r02) - hpppi(r02))*auxi2) + (lx(r03)*ly(r03)*(hppsiga(r03) - hpppi(r03))*auxi3);
695      H37[i] = ((ly(r01)*ly(r01)*hppsiga(r01) + lx(r01)*lx(r01)*hpppi(r01))*auxi1) + ((ly(r02)*ly(r02)*hppsiga(r02) + lx(r02)*lx(r02)*hpppi(r02))*auxi2) + ((ly(r03)*ly(r03)*hppsiga(r03) + lx(r03)*lx(r03)*hpppi(r03))*auxi3);
696      H48[i] = (hpppi(r01)*auxi1) + (hpppi(r02)*auxi2) + (hpppi(r03)*auxi3);
697      H51[i] = conj(H15[i]);
698      H61[i] = conj(H16[i]);
699      H71[i] = conj(H17[i]);
700      H52[i] = conj(H25[i]);
701      H62[i] = conj(H26[i]);
702      H72[i] = conj(H27[i]);
703      H53[i] = conj(H35[i]);
704      H63[i] = conj(H36[i]);
705      H73[i] = conj(H37[i]);
706      H84[i] = conj(H48[i]);
707  }

```

Figura 4.22: Cálculo del hamiltoniano presente en 4.10, se comprueba que se calcula igual que las ecuaciones 4.13 y 4.16.

```

2058 double fs(double r[3])
2059 {
2060     /**
2061     \details Se usa para obtener la matriz del hamiltoniano en el potencial
interatomico (TBH). h(ia,jb)=V(ab)*S(rij), donde V(ab) han sido definidos en las
macros vssigma,...
2062     *Para su calculo utiliza los parametros dados por los primeros principios. La
libreria Math y la funcion normal
2063     \param r vector de distancia entre atomos
2064     \return Un numero de doble precision.
2065     */
2066     return(s0*pow((r0 / normal(r)), n)*exp(-n*pow((normal(r) / rc), nc) + n*pow((r0 /
rc), nc)));
2067 }

```

Figura 4.23: Función en detalle de  $S(r)$ . Pueden encontrarse sus derivadas en el Anexo D junto con su programación.

```

2273 double lx(double r[3])
2274 {
2275     /**
2276     \details dx=x*r/|r|
2277     \param r vector de distancia entre atomos
2278     \return Un numero de doble precision.
2279     */
2280     double x[3] = { 1.0,0,0 };
2281     return(escalar(r, x) / normal(r));
2282 }

```

Figura 4.24: Función en detalle de los cosenos directores. Las demás ecuaciones pueden encontrarse en el anexo E junto con su programación.

```

2134 double hssigma(double r[3])
2135 {
2136     /**
2137     \details Esta funciones son necesarias para calcular la matriz TBH.
2138     *Dependen de los orbitales atomicos. Para su calculo se emplea V(ab) han sido
definidos en las macros vssigma,... y la S(rij) que en este programa se conoce
como fs(r)
2139     \param r vector de distancia entre atomos
2140     \return Un numero de doble precision.
2141     */
2142     return(vssigma*fs(r));
2143 }

```

Figura 4.25: Función en detalle de parámetros de salto. Las demás ecuaciones pueden encontrarse en el anexo F junto con su programación.

```

3360 //ZBrillouin
3361 int tamano(double Q60[3][3], double Q120[3][3], double Q180[3][3], double Q240[3][3],
double Q300[3][3])
3362 {
3363     /**
3364     \details Esta funcion utiliza la memoria dinamica y la macro factor. Calcula el
numero de puntos de la ZB
3365     \return tamano es el numero de puntos que habra en la ZB. Se devuelve por valor.
3366     */
3367
3368     //Variables auxiliares
3369     int i, j, b, l, auxil;
3370     double aux1[3];
3371     double aux2[3];
3372
3373     //Vector para PTO
3374     double ptoi[3];
3375     limpiarvec(ptoi);
3376     ptoi[0] = 4.0 / 54.0;
3377     escvec(factor, ptoi, ptoi);
3378
3379     //Vector para VEC
3380     double VEC[3];
3381     VEC[0] = 2.0 / 18.0;
3382     VEC[1] = 2.0 / 18.0 / sqrt(3);
3383     VEC[2] = 0;
3384     escvec(factor, VEC, VEC);
3385
3386     //Vector para DES
3387     double DES[3];
3388     escvec(3.0, ptoi, DES);
3389
3390     //Creacion de matrices. creal y crea2 son el numero de filas que ha de contener,
el numero de columnas es 3
3391     double dimens1;
3392     double dimens2;
3393     int creal;
3394     int crea2;
3395     dimens1 = (4.0 / 3 - ptoi[0]) / DES[0]; //En el caso 300, sale 3.66
3396     dimens2 = (4.0 / 3 - 2 * ptoi[0]) / DES[0]; // En el caso 300, sale 3.33
3397
3398     if ((ceil(dimens1) - dimens1)<0.00000000001) //Asignacion de 0.999=1, problemas
de inestabilidad numerica
3399     {
3400         //cout << "hay inestabilidad" << endl;
3401         dimens1 = ceil(dimens1);
3402     }
3403     else
3404     {
3405         //cout << "No hay inestabilidad" << endl;
3406     }
3407
3408     if ((ceil(dimens2) - dimens2)<0.00000000001) //Asignacion de 0.999=1, problemas
de inestabilidad numerica
3409     {
3410         //cout << "hay inestabilidad" << endl;
3411         dimens2 = ceil(dimens2);
3412     }
3413     else
3414     {
3415         //cout << "No hay inestabilidad" << endl;
3416     }
3417
3418
3419     if (dimens1 >= 0)
3420     {
3421         creal = dimens1; //Nos quedamos con la parte entera 3
3422         ++creal; // 3+1=4
3423     }

```

Continúa en la página siguiente

```

3424     else
3425     {
3426         creal = 0;
3427     }
3428
3429     if (dimens2 >= 0)
3430     {
3431         crea2 = dimens2; //Nos quedamos con la parte entera 3
3432         ++crea2; // 3+1=4
3433     }
3434     else
3435     {
3436         crea2 = 0;
3437     }
3438
3439
3440     //Creacion de los punteros para crear las matrices.
3441     double **p1, **p2; //Punteros dobles - array de dos dimensiones
3442
3443         //Usando punteros
3444     p1 = new double *[creal]; //Numeros de filas
3445     for (i = 0; i < creal; i++)
3446     {
3447         p1[i] = new double[3]; //Numero de columnas
3448     }
3449
3450     p2 = new double *[crea2];
3451     for (i = 0; i < crea2; i++)
3452     {
3453         p2[i] = new double[3];
3454     }
3455
3456     for (i = 0; i<creal; i++)
3457     {
3458         escvec(i, DES, aux1);
3459         sumavector(ptoi, aux1, aux1);
3460         p1[i][0] = aux1[0];
3461         p1[i][1] = aux1[1];
3462         p1[i][2] = aux1[2];
3463     }
3464
3465     for (i = 0; i<crea2; i++)
3466     {
3467         escvec(i, DES, aux1);
3468         escvec(2, ptoi, aux2);
3469         sumavector(aux1, aux2, aux1);
3470         p2[i][0] = aux1[0];
3471         p2[i][1] = aux1[1];
3472         p2[i][2] = aux1[2];
3473     }
3474
3475     int crea3;
3476     crea3 = creal + crea2;
3477
3478     //Creacion de los punteros para crear las matrices.
3479     double **ini; //Punteros dobles - array de dos dimensiones
3480     ini = new double *[crea3]; //Numeros de filas
3481     for (i = 0; i < crea3; i++)
3482     {
3483         ini[i] = new double[3]; //Numero de columnas
3484     }
3485
3486     for (i = 0, j = 0; i<crea3; i++)
3487     {
3488         if (i<creal)
3489         {
3490             ini[i][0] = p1[i][0];
3491             ini[i][1] = p1[i][1];
3492             ini[i][2] = p1[i][2];

```

Continúa en la página siguiente

```

3493     }
3494     else
3495     {
3496         ini[i][0] = p2[j][0];
3497         ini[i][1] = p2[j][1];
3498         ini[i][2] = p2[j][2];
3499         j++;
3500     }
3501 }
3502
3503 //Creacion de los punteros para crear el vector.
3504 double *number; //Punteros unico - array de una dimension
3505 number = new double[crea3]; //Numeros de array
3506
3507 for (i = 0; i < crea3; i++)
3508 {
3509     number[i] = (4.0 - 3.0*ini[i][0]) / 4.0 / VEC[0];
3510 }
3511
3512 int crea4 = 0;
3513 for (i = 0; i < crea3; i++)
3514 {
3515     crea4 = number[i] + crea4;
3516 }
3517
3518 //Creacion de los punteros para crear las matrices.
3519 double **puntos; //Punteros dobles - array de dos dimensiones
3520 puntos = new double *[crea4]; //Numeros de filas
3521 for (i = 0; i < crea4; i++)
3522 {
3523     puntos[i] = new double[3]; //Numero de columnas
3524 }
3525
3526 for (l = 0, b = 0; b < crea3; b++)
3527 {
3528     if ((ceil(number[b]) - number[b]) < 0.0000000001) //Asignacion de 0.999=1,
3529         //problemas de inestabilidad numerica
3530     {
3531         auxil = ceil(number[b]);
3532     }
3533     else
3534     {
3535         auxil = number[b];
3536     }
3537     for (i = 0; i < auxil; i++)
3538     {
3539         escvec((i + 1), VEC, auxil);
3540
3541         for (j = 0; j < 2; j++)
3542         {
3543             puntos[i + 1][j] = ini[b][j] + auxil[j]; //ini depende de n y j
3544             puntos[i + 1][2] = 0;
3545         }
3546         l = i + 1;
3547     }
3548     return((crea4 + crea3) * 12);
3549
3550 //Liberamos memoria cuando terminemos la ejecucion
3551 delete[] p1;
3552 delete[] p2;
3553 delete[] ini;
3554 delete[] number;
3555 delete[] puntos;
3556 }
3557 }
3558

```

Figura 4.26: Función que calcula el número de puntos de la ZB. Tiene un parámetro de entrada denominado “factor” que es una constante y se controla con las macros (Figura 4.1)

```

3559
3560 void kapeso(double *k, double *pesos63, double Q60[3][3], double Q120[3][3], double
Q180[3][3], double Q240[3][3], double Q300[3][3])
3561 {
3562     /**
3563     \details Esta funcion utiliza la memoria dinamica, la macro factor y math.
3564     \param Q60 Matriz de giro a 60°
3565     \param Q120 Matriz de giro a 120°
3566     \param Q180 Matriz de giro a 180°
3567     \param Q300 Matriz de giro a 300°
3568     \return k es el array de dimension 3 que se devuelve. Se hace por referencia.
3569     Contiene una matriz (para su uso precisa de la funcion vectordematrixk)
3570     \return pesos63 es el array de dimension 3 que se devuelve. Se hace por
3571     referencia. Contiene un vector.
3572     */
3573     //Variables auxiliares
3574     int i, j, b, l, auxil;
3575     double auxild, auxi2d;
3576     double auxl[3];
3577     double aux2[3];
3578     //Vector para PTO
3579     double ptoi[3];
3580     limpiarvec(ptoi);
3581     ptoi[0] = 4 / 54.0;
3582     escvec(factor, ptoi, ptoi);
3583
3584     //Vector para VEC
3585     double VEC[3];
3586     VEC[0] = 2 / 18.0;
3587     VEC[1] = 2 / 18.0 / sqrt(3);
3588     VEC[2] = 0;
3589     escvec(factor, VEC, VEC);
3590
3591     //Vector para DES
3592     double DES[3];
3593     escvec(3.0, ptoi, DES);
3594
3595     //Creacion de matrices. creal y crea2 son el numero de filas que ha de contener,
3596     el numero de columnas es 3
3597     double dimens1;
3598     double dimens2;
3599     int creal;
3600     int crea2;
3601     dimens1 = (4.0 / 3 - ptoi[0]) / DES[0]; //En el caso 300, sale 3.66
3602     dimens2 = (4.0 / 3 - 2 * ptoi[0]) / DES[0]; // En el caso 300, sale 3.33
3603
3604     if ((ceil(dimens1) - dimens1)<0.0000000001) //Asignacion de 0.999=1, problemas
3605     de inestabilidad numerica
3606     {
3607         //cout << "hay inestabilidad" << endl;
3608         dimens1 = ceil(dimens1);
3609     }
3610     else
3611     {
3612         //cout << "No hay inestabilidad" << endl;
3613     }
3614
3615     if ((ceil(dimens2) - dimens2)<0.0000000001) //Asignacion de 0.999=1, problemas
3616     de inestabilidad numerica
3617     {
3618         //cout << "hay inestabilidad" << endl;
3619         dimens2 = ceil(dimens2);
3620     }
3621     else
3622     {
3623         //cout << "No hay inestabilidad" << endl;
3624     }

```

Continúa en la página siguiente



```

3622
3623
3624     if (dimens1 >= 0)
3625     {
3626         creal = dimens1; //Nos quedamos con la parte entera 3
3627         ++creal; // 3+1=4
3628     }
3629     else
3630     {
3631         creal = 0;
3632     }
3633
3634     if (dimens2 >= 0)
3635     {
3636         crea2 = dimens2; //Nos quedamos con la parte entera 3
3637         ++crea2; // 3+1=4
3638     }
3639     else
3640     {
3641         crea2 = 0;
3642     }
3643
3644
3645     //Creacion de los punteros para crear las matrices.
3646     double **p1, **p2; //Punteros dobles - array de dos dimensiones
3647
3648         //Usando punteros
3649     p1 = new double *[creal]; //Numeros de filas
3650     for (i = 0; i < creal; i++)
3651     {
3652         p1[i] = new double[3]; //Numero de columnas
3653     }
3654
3655     p2 = new double *[crea2];
3656     for (i = 0; i < crea2; i++)
3657     {
3658         p2[i] = new double[3];
3659     }
3660
3661     for (i = 0; i<creal; i++)
3662     {
3663         escvec(i, DES, aux1);
3664         sumavector(ptoi, aux1, aux1);
3665         p1[i][0] = aux1[0];
3666         p1[i][1] = aux1[1];
3667         p1[i][2] = aux1[2];
3668     }
3669
3670     for (i = 0; i<crea2; i++)
3671     {
3672         escvec(i, DES, aux1);
3673         escvec(2, ptoi, aux2);
3674         sumavector(aux1, aux2, aux1);
3675         p2[i][0] = aux1[0];
3676         p2[i][1] = aux1[1];
3677         p2[i][2] = aux1[2];
3678     }
3679
3680     int crea3;
3681     crea3 = creal + crea2;
3682
3683     //Creacion de los punteros para crear las matrices.
3684     double **ini; //Punteros dobles - array de dos dimensiones
3685     ini = new double *[crea3]; //Numeros de filas
3686     for (i = 0; i < crea3; i++)
3687     {
3688         ini[i] = new double[3]; //Numero de columnas
3689     }
3690

```

Continúa en la página siguiente

```

3691     for (i = 0, j = 0; i<crea3; i++)
3692     {
3693         if (i<creal)
3694         {
3695             ini[i][0] = p1[i][0];
3696             ini[i][1] = p1[i][1];
3697             ini[i][2] = p1[i][2];
3698         }
3699         else
3700         {
3701             ini[i][0] = p2[j][0];
3702             ini[i][1] = p2[j][1];
3703             ini[i][2] = p2[j][2];
3704             j++;
3705         }
3706     }
3707
3708     //Creacion de los punteros para crear el vector.
3709     double *number; //Punteros unico - array de una dimension
3710     number = new double[crea3]; //Numeros de array
3711
3712     for (i = 0; i<crea3; i++)
3713     {
3714         number[i] = (4.0 - 3.0*ini[i][0]) / 4.0 / VEC[0];
3715     }
3716
3717     int crea4 = 0;
3718     for (i = 0; i<crea3; i++)
3719     {
3720         crea4 = number[i] + crea4;
3721     }
3722
3723     //Creacion de los punteros para crear las matrices.
3724     double **puntos; //Punteros dobles - array de dos dimensiones
3725     puntos = new double *[crea4]; //Numeros de filas
3726     for (i = 0; i < crea4; i++)
3727     {
3728         puntos[i] = new double[3]; //Numero de columnas
3729     }
3730
3731
3732     for (l = 0, b = 0; b < crea3; b++)
3733     {
3734         if ((ceil(number[b]) - number[b])<0.00000000001) //Asignacion de 0.999=1,
3735             //problemas de inestabilidad numerica
3736         {
3737             auxil = ceil(number[b]);
3738         }
3739         else
3740         {
3741             auxil = number[b];
3742         }
3743         for (i = 0; i < auxil; i++)
3744         {
3745             escvec((i + 1), VEC, auxil);
3746
3747             for (j = 0; j < 2; j++)
3748             {
3749                 puntos[i + 1][j] = ini[b][j] + auxil[j]; //ini depende de n y j
3750                 puntos[i + 1][2] = 0;
3751             }
3752             l = i + 1;
3753         }
3754     }
3755     int crea5;
3756     crea5 = crea4 + crea3;
3757
3758     //Creacion del array de dos dimensiones puntostotales
3759     double **puntostotales;

```

Continúa en la página siguiente



```

3759     puntostotales = new double *[crea5];
3760     for (i = 0; i < crea5; i++)
3761     {
3762         puntostotales[i] = new double[3];
3763     }
3764
3765     for (i = 0, j = 0; i < crea5; i++)
3766     {
3767         if (i < crea3)
3768         {
3769             puntostotales[i][0] = ini[i][0];
3770             puntostotales[i][1] = ini[i][1];
3771             puntostotales[i][2] = ini[i][2];
3772         }
3773         else
3774         {
3775             puntostotales[i][0] = puntos[j][0];
3776             puntostotales[i][1] = puntos[j][1];
3777             puntostotales[i][2] = puntos[j][2];
3778             j++;
3779         }
3780     }
3781
3782     //Calculo de pesos
3783     int total;
3784     total = crea3 + 2 * crea4;
3785
3786     //Creacion de los punteros para crear las vectores.
3787     double *pesosfinales; //Punteros unico - array de una dimension
3788     pesosfinales = new double[crea5]; //Numeros de array
3789
3790     for (i = 0; i < crea3; i++)
3791     {
3792         pesosfinales[i] = 1.0 / (total * 12);
3793     }
3794     for (i = crea3; i < crea5; i++)
3795     {
3796         pesosfinales[i] = 2.0 / (total * 12);
3797     }
3798
3799     //Creacion de los punteros para crear las vectores.
3800     l = 12 * crea5;
3801     double *pesos; //Punteros unico - array de una dimension
3802     pesos = new double[l]; //Numeros de array
3803
3804     //Calculo de pesos
3805
3806     for (i = 0, j = 0; i < l; i++, j++)
3807     {
3808         if (j == crea5)
3809         {
3810             j = 0;
3811         }
3812         pesos[i] = pesosfinales[j];
3813     }
3814
3815     //Creacion de la ZB
3816     l = 12 * crea5 * 3;
3817     //Creacion de los punteros para crear las vectores.
3818     double *ka; //Punteros unico - array de una dimension
3819     ka = new double[l]; //Numeros de array
3820
3821
3822
3823
3824
3825
3826
3827

```

Continúa en la página siguiente

```

3828
3829
3830 //Creacion de los punteros para crear las matrices.
3831 double **finalpointsc1; //Punteros dobles - array de dos dimensiones
3832 finalpointsc1 = new double *[crea5]; //Numeros de filas
3833 for (i = 0; i < crea5; i++)
3834 {
3835     finalpointsc1[i] = new double[3]; //Numero de columnas
3836 }
3837
3838 //Creacion de los punteros para crear las matrices.
3839 double **finalpoints60c1; //Punteros dobles - array de dos dimensiones
3840 finalpoints60c1 = new double *[crea5]; //Numeros de filas
3841 for (i = 0; i < crea5; i++)
3842 {
3843     finalpoints60c1[i] = new double[3]; //Numero de columnas
3844 }
3845
3846 //Creacion de los punteros para crear las matrices.
3847 double **finalpoints120c1; //Punteros dobles - array de dos dimensiones
3848 finalpoints120c1 = new double *[crea5]; //Numeros de filas
3849 for (i = 0; i < crea5; i++)
3850 {
3851     finalpoints120c1[i] = new double[3]; //Numero de columnas
3852 }
3853
3854 //Creacion de los punteros para crear las matrices.
3855 double **finalpoints180c1; //Punteros dobles - array de dos dimensiones
3856 finalpoints180c1 = new double *[crea5]; //Numeros de filas
3857 for (i = 0; i < crea5; i++)
3858 {
3859     finalpoints180c1[i] = new double[3]; //Numero de columnas
3860 }
3861
3862 //Creacion de los punteros para crear las matrices.
3863 double **finalpoints240c1; //Punteros dobles - array de dos dimensiones
3864 finalpoints240c1 = new double *[crea5]; //Numeros de filas
3865 for (i = 0; i < crea5; i++)
3866 {
3867     finalpoints240c1[i] = new double[3]; //Numero de columnas
3868 }
3869
3870 //Creacion de los punteros para crear las matrices.
3871 double **finalpoints300c1; //Punteros dobles - array de dos dimensiones
3872 finalpoints300c1 = new double *[crea5]; //Numeros de filas
3873 for (i = 0; i < crea5; i++)
3874 {
3875     finalpoints300c1[i] = new double[3]; //Numero de columnas
3876 }
3877
3878
3879
3880 //Creacion de los punteros para crear las matrices.
3881 double **finalpointsc2; //Punteros dobles - array de dos dimensiones
3882 finalpointsc2 = new double *[crea5]; //Numeros de filas
3883 for (i = 0; i < crea5; i++)
3884 {
3885     finalpointsc2[i] = new double[3]; //Numero de columnas
3886 }
3887
3888 //Creacion de los punteros para crear las matrices.
3889 double **finalpoints60c2; //Punteros dobles - array de dos dimensiones
3890 finalpoints60c2 = new double *[crea5]; //Numeros de filas
3891 for (i = 0; i < crea5; i++)
3892 {
3893     finalpoints60c2[i] = new double[3]; //Numero de columnas
3894 }
3895
3896 //Creacion de los punteros para crear las matrices.

```

Continúa en la página siguiente

```

3897     double **finalpoints120c2; //Punteros dobles - array de dos dimensiones
3898     finalpoints120c2 = new double *[crea5]; //Numeros de filas
3899     for (i = 0; i < crea5; i++)
3900     {
3901         finalpoints120c2[i] = new double[3]; //Numero de columnas
3902     }
3903
3904     //Creacion de los punteros para crear las matrices.
3905     double **finalpoints180c2; //Punteros dobles - array de dos dimensiones
3906     finalpoints180c2 = new double *[crea5]; //Numeros de filas
3907     for (i = 0; i < crea5; i++)
3908     {
3909         finalpoints180c2[i] = new double[3]; //Numero de columnas
3910     }
3911
3912     //Creacion de los punteros para crear las matrices.
3913     double **finalpoints240c2; //Punteros dobles - array de dos dimensiones
3914     finalpoints240c2 = new double *[crea5]; //Numeros de filas
3915     for (i = 0; i < crea5; i++)
3916     {
3917         finalpoints240c2[i] = new double[3]; //Numero de columnas
3918     }
3919
3920     //Creacion de los punteros para crear las matrices.
3921     double **finalpoints300c2; //Punteros dobles - array de dos dimensiones
3922     finalpoints300c2 = new double *[crea5]; //Numeros de filas
3923     for (i = 0; i < crea5; i++)
3924     {
3925         finalpoints300c2[i] = new double[3]; //Numero de columnas
3926     }
3927
3928     //Finalpointsc1
3929     for (i = 0; i < crea5; i++)
3930     {
3931         auxi1d = puntostotales[i][0];
3932         auxi2d = puntostotales[i][1];
3933
3934         finalpointsc1[i][0] = (sqrt(3) / 2 * auxi1d - 0.5*auxi2d)*(PI / (sqrt(3)*1.42));
3935         finalpointsc1[i][1] = (0.5*auxi1d + sqrt(3) / 2 * auxi2d)*(PI / (sqrt(3)*1.42));
3936         finalpointsc1[i][2] = 0;
3937     }
3938     // finalpointsc2
3939     for (i = 0; i < crea5; i++)
3940     {
3941         finalpointsc2[i][0] = puntostotales[i][1] * (PI / (sqrt(3)*1.42));
3942         finalpointsc2[i][1] = puntostotales[i][0] * (PI / (sqrt(3)*1.42));
3943         finalpointsc2[i][2] = 0;
3944     }
3945
3946     //finalpoints60c1
3947     for (i = 0; i < crea5; i++)
3948     {
3949         aux1[0] = finalpointsc1[i][0];
3950         aux1[1] = finalpointsc1[i][1];
3951         aux1[2] = finalpointsc1[i][2];
3952         matrizvector(Q60, aux1, aux1);
3953         finalpoints60c1[i][0] = aux1[0];
3954         finalpoints60c1[i][1] = aux1[1];
3955         finalpoints60c1[i][2] = aux1[2];
3956     }
3957     //finalpoints120c1
3958     for (i = 0; i < crea5; i++)
3959     {
3960         aux1[0] = finalpointsc1[i][0];
3961         aux1[1] = finalpointsc1[i][1];
3962         aux1[2] = finalpointsc1[i][2];
3963         matrizvector(Q120, aux1, aux1);

```

Continúa en la página siguiente

```

3964         finalpoints120c1[i][0] = aux1[0];
3965         finalpoints120c1[i][1] = aux1[1];
3966         finalpoints120c1[i][2] = aux1[2];
3967     }
3968     //finalpoints180c1
3969     for (i = 0; i < crea5; i++)
3970     {
3971         aux1[0] = finalpointsc1[i][0];
3972         aux1[1] = finalpointsc1[i][1];
3973         aux1[2] = finalpointsc1[i][2];
3974         matrizvector(Q180, aux1, aux1);
3975         finalpoints180c1[i][0] = aux1[0];
3976         finalpoints180c1[i][1] = aux1[1];
3977         finalpoints180c1[i][2] = aux1[2];
3978     }
3979     //finalpoints240c1
3980     for (i = 0; i < crea5; i++)
3981     {
3982         aux1[0] = finalpointsc1[i][0];
3983         aux1[1] = finalpointsc1[i][1];
3984         aux1[2] = finalpointsc1[i][2];
3985         matrizvector(Q240, aux1, aux1);
3986         finalpoints240c1[i][0] = aux1[0];
3987         finalpoints240c1[i][1] = aux1[1];
3988         finalpoints240c1[i][2] = aux1[2];
3989     }
3990     //finalpoints300c1
3991     for (i = 0; i < crea5; i++)
3992     {
3993         aux1[0] = finalpointsc1[i][0];
3994         aux1[1] = finalpointsc1[i][1];
3995         aux1[2] = finalpointsc1[i][2];
3996         matrizvector(Q300, aux1, aux1);
3997         finalpoints300c1[i][0] = aux1[0];
3998         finalpoints300c1[i][1] = aux1[1];
3999         finalpoints300c1[i][2] = aux1[2];
4000     }
4001     //finalpoints60c2
4002     for (i = 0; i < crea5; i++)
4003     {
4004         aux1[0] = finalpointsc2[i][0];
4005         aux1[1] = finalpointsc2[i][1];
4006         aux1[2] = finalpointsc2[i][2];
4007         matrizvector(Q60, aux1, aux1);
4008         finalpoints60c2[i][0] = aux1[0];
4009         finalpoints60c2[i][1] = aux1[1];
4010         finalpoints60c2[i][2] = aux1[2];
4011     }
4012     //finalpoints120c2
4013     for (i = 0; i < crea5; i++)
4014     {
4015         aux1[0] = finalpointsc2[i][0];
4016         aux1[1] = finalpointsc2[i][1];
4017         aux1[2] = finalpointsc2[i][2];
4018         matrizvector(Q120, aux1, aux1);
4019         finalpoints120c2[i][0] = aux1[0];
4020         finalpoints120c2[i][1] = aux1[1];
4021         finalpoints120c2[i][2] = aux1[2];
4022     }
4023     //finalpoints180c2
4024     for (i = 0; i < crea5; i++)
4025     {
4026         aux1[0] = finalpointsc2[i][0];
4027         aux1[1] = finalpointsc2[i][1];
4028         aux1[2] = finalpointsc2[i][2];
4029         matrizvector(Q180, aux1, aux1);
4030         finalpoints180c2[i][0] = aux1[0];
4031         finalpoints180c2[i][1] = aux1[1];
4032         finalpoints180c2[i][2] = aux1[2];

```

Continúa en la página siguiente

```

4033     }
4034     //finalpoints240c2
4035     for (i = 0; i < crea5; i++)
4036     {
4037         aux1[0] = finalpointsc2[i][0];
4038         aux1[1] = finalpointsc2[i][1];
4039         aux1[2] = finalpointsc2[i][2];
4040         matrizvector(Q240, aux1, aux1);
4041         finalpoints240c2[i][0] = aux1[0];
4042         finalpoints240c2[i][1] = aux1[1];
4043         finalpoints240c2[i][2] = aux1[2];
4044     }
4045     //finalpoints300c2
4046     for (i = 0; i < crea5; i++)
4047     {
4048         aux1[0] = finalpointsc2[i][0];
4049         aux1[1] = finalpointsc2[i][1];
4050         aux1[2] = finalpointsc2[i][2];
4051         matrizvector(Q300, aux1, aux1);
4052         finalpoints300c2[i][0] = aux1[0];
4053         finalpoints300c2[i][1] = aux1[1];
4054         finalpoints300c2[i][2] = aux1[2];
4055     }
4056
4057     //Asignacion a ka
4058
4059
4060     for (i = 0, j = 0, b = 0; i < l; i = i + 3, j++)
4061     {
4062         if (j == crea5)
4063         {
4064             b++;
4065             j = 0;
4066         }
4067         switch (b)
4068         {
4069
4070             case 0:
4071                 ka[i + 0] = finalpointsc1[j][0];
4072                 ka[i + 1] = finalpointsc1[j][1];
4073                 ka[i + 2] = finalpointsc1[j][2];
4074                 break;
4075             case 1:
4076                 ka[i + 0] = finalpoints60c1[j][0];
4077                 ka[i + 1] = finalpoints60c1[j][1];
4078                 ka[i + 2] = finalpoints60c1[j][2];
4079                 break;
4080             case 2:
4081                 ka[i + 0] = finalpoints120c1[j][0];
4082                 ka[i + 1] = finalpoints120c1[j][1];
4083                 ka[i + 2] = finalpoints120c1[j][2];
4084                 break;
4085             case 3:
4086                 ka[i + 0] = finalpoints180c1[j][0];
4087                 ka[i + 1] = finalpoints180c1[j][1];
4088                 ka[i + 2] = finalpoints180c1[j][2];
4089                 break;
4090             case 4:
4091                 ka[i + 0] = finalpoints240c1[j][0];
4092                 ka[i + 1] = finalpoints240c1[j][1];
4093                 ka[i + 2] = finalpoints240c1[j][2];
4094                 break;
4095             case 5:
4096                 ka[i + 0] = finalpoints300c1[j][0];
4097                 ka[i + 1] = finalpoints300c1[j][1];
4098                 ka[i + 2] = finalpoints300c1[j][2];
4099                 break;
4100             case 6:
4101                 ka[i + 0] = finalpointsc2[j][0];

```

Continúa en la página siguiente



```

4102         ka[i + 1] = finalpointsc2[j][1];
4103         ka[i + 2] = finalpointsc2[j][2];
4104         break;
4105     case 7:
4106         ka[i + 0] = finalpoints60c2[j][0];
4107         ka[i + 1] = finalpoints60c2[j][1];
4108         ka[i + 2] = finalpoints60c2[j][2];
4109         break;
4110     case 8:
4111         ka[i + 0] = finalpoints120c2[j][0];
4112         ka[i + 1] = finalpoints120c2[j][1];
4113         ka[i + 2] = finalpoints120c2[j][2];
4114         break;
4115     case 9:
4116         ka[i + 0] = finalpoints180c2[j][0];
4117         ka[i + 1] = finalpoints180c2[j][1];
4118         ka[i + 2] = finalpoints180c2[j][2];
4119         break;
4120     case 10:
4121         ka[i + 0] = finalpoints240c2[j][0];
4122         ka[i + 1] = finalpoints240c2[j][1];
4123         ka[i + 2] = finalpoints240c2[j][2];
4124         break;
4125     case 11:
4126         ka[i + 0] = finalpoints300c2[j][0];
4127         ka[i + 1] = finalpoints300c2[j][1];
4128         ka[i + 2] = finalpoints300c2[j][2];
4129         break;
4130     }
4131 }
4132 //Copia de lo calculado a los parametros que se devuelven por referencia
//devolucion al main), sino lo hiciese crearia una nuevo parametro (error) al
intentar unir
//el main con la funcion
4133
4134
4135 for (i = 0; i < crea5 * 12; i++)
4136 {
4137     pesos63[i] = pesos[i];
4138 }
4139 for (i = 0; i < crea5 * 12 * 3; i++)
4140 {
4141     k[i] = ka[i];
4142 }
4143
4144 //Liberamos memoria cuando terminemos la ejecucion
4145 delete[] p1;
4146 delete[] p2;
4147 delete[] ini;
4148 delete[] number;
4149 delete[] puntos;
4150 delete[] puntostotales;
4151 delete[] pesosfinales;
4152 delete[] finalpointsc1;
4153 delete[] finalpoints60c1;
4154 delete[] finalpoints120c1;
4155 delete[] finalpoints180c1;
4156 delete[] finalpoints240c1;
4157 delete[] finalpoints300c1;
4158 delete[] finalpointsc2;
4159 delete[] finalpoints60c2;
4160 delete[] finalpoints120c2;
4161 delete[] finalpoints180c2;
4162 delete[] finalpoints240c2;
4163 delete[] finalpoints300c2;
4164 delete[] pesos;
4165 delete[] ka;
4166

```

Figura 4.27: Función que calcula el vector asociado a cada punto de la ZB. Tiene un parámetro de entrada denominado “factor” que es una constante y se controla con las macros (Figura 4.1). Su programación tiene el estilo de la comunidad C++ la cual recomienda utilizar matrices linealizadas. Necesita de una función auxiliar para devolverle el estilo matricial cuando se use por el programa principal.

```
5727 void vectordematrixk(double *vectork, double vector[3], int fila)
5728 {
5729     /**
5730     \param matriz Matriz que contiene el espacio de Brillouin
5731     \param vector Devolucion de la operacion tras la extraccion
5732     \param fila Fila del espacio de Brillouin la cual se quiere extraer
5733     \return vector es el array de dimension 3 que se devuelve. Se hace por referencia.
5734     */
5735
5736     vector[0] = vectork[(fila * 3) + 0];
5737     vector[1] = vectork[(fila * 3) + 1];
5738     vector[2] = vectork[(fila * 3) + 2];
5739 }
```

Figura 4.28: Función auxiliar que ayuda a procesar la anterior. Es necesaria por la recomendación de la comunidad C++ donde se recomienda que todas las matrices físicas sean linealizadas en forma de vector por lo que esta función calcula un array para que pueda ser utilizado en el programa principal por las funciones matemáticas.

## 4.5.- Implementación del campo de fuerzas del potencial TB lineal en C++

Finalmente llegamos al objetivo principal de este trabajo. En el capítulo 3 dijimos que  $\Psi_{ij}$  y  $\Phi_{ij}$  se emplean para calcular las constantes de fuerzas de enlaces y atómicas respectivamente. En este epígrafe usaremos el potencial TB descrito, sin embargo, es extensible a cualquier potencial interatómico usando 4.17.

$$\Psi_{ij} \left( \begin{smallmatrix} \mathbf{l} - \mathbf{l}' \\ ab \quad cd \end{smallmatrix} \right) = \frac{\partial^2 E}{\partial r(\mathbf{l}', cd)_j \partial r(\mathbf{l}, ab)_i} \quad 4.17$$

$r(\mathbf{l}, ab)_i$  es la i-ésima componente del vector correspondiente al enlace atómico entre los átomos a y b utilizando la coordenada entera de bravais  $\mathbf{l}$

$r(\mathbf{l}', ab)_j$  es la j-ésima componente del vector correspondiente al enlace atómico entre los átomos a y b utilizando la coordenada entera de bravais  $\mathbf{l}'$

Por ejemplo  $\Psi_{ij} \left( \begin{smallmatrix} \mathbf{0} - \epsilon_3 \\ 10 \quad 34 \end{smallmatrix} \right)$  sería la representación naranja en la imagen siguiente:

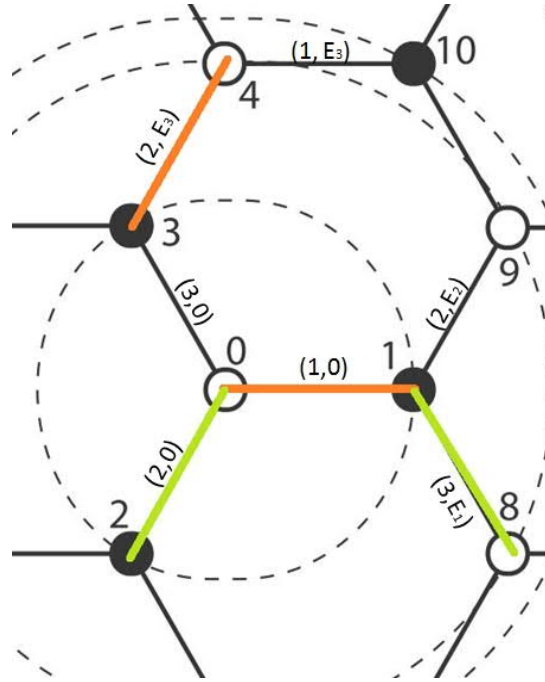


Figura 4.29: Representación gráfica de  $\Psi_{ij}$  para los ejemplos mencionados.

También podemos representarlo en función de las celdas tipo 1.

Enlace	1-0	2-0	3-0	1-8	1-9	2-6	2-7	3-4	3-5
1-0	$\Psi_{ij} \left( \begin{smallmatrix} \mathbf{0} \\ 11 \end{smallmatrix} \right)$	$\Psi_{ij} \left( \begin{smallmatrix} \mathbf{0} \\ 12 \end{smallmatrix} \right)$	$\Psi_{ij} \left( \begin{smallmatrix} \mathbf{0} \\ 13 \end{smallmatrix} \right)$	$\Psi_{ij} \left( \begin{smallmatrix} \mathbf{0} - \epsilon_1 \\ 13 \end{smallmatrix} \right)$	$\Psi_{ij} \left( \begin{smallmatrix} \mathbf{0} - \epsilon_2 \\ 12 \end{smallmatrix} \right)$	$\Psi_{ij} \left( \begin{smallmatrix} \epsilon_2 \\ 11 \end{smallmatrix} \right)$	$\Psi_{ij} \left( \begin{smallmatrix} \epsilon_3 \\ 13 \end{smallmatrix} \right)$	$\Psi_{ij} \left( \begin{smallmatrix} \mathbf{0} - \epsilon_3 \\ 12 \end{smallmatrix} \right)$	$\Psi_{ij} \left( \begin{smallmatrix} \epsilon_1 \\ 11 \end{smallmatrix} \right)$
2-0	$\Psi_{ij} \left( \begin{smallmatrix} \mathbf{0} \\ 21 \end{smallmatrix} \right)$	$\Psi_{ij} \left( \begin{smallmatrix} \mathbf{0} \\ 22 \end{smallmatrix} \right)$	$\Psi_{ij} \left( \begin{smallmatrix} \mathbf{0} \\ 23 \end{smallmatrix} \right)$	$\Psi_{ij} \left( \begin{smallmatrix} \mathbf{0} - \epsilon_1 \\ 23 \end{smallmatrix} \right)$	$\Psi_{ij} \left( \begin{smallmatrix} \mathbf{0} - \epsilon_2 \\ 22 \end{smallmatrix} \right)$	$\Psi_{ij} \left( \begin{smallmatrix} \epsilon_2 \\ 21 \end{smallmatrix} \right)$	$\Psi_{ij} \left( \begin{smallmatrix} \epsilon_3 \\ 23 \end{smallmatrix} \right)$	$\Psi_{ij} \left( \begin{smallmatrix} \mathbf{0} - \epsilon_3 \\ 22 \end{smallmatrix} \right)$	$\Psi_{ij} \left( \begin{smallmatrix} \epsilon_1 \\ 21 \end{smallmatrix} \right)$
3-0	$\Psi_{ij} \left( \begin{smallmatrix} \mathbf{0} \\ 31 \end{smallmatrix} \right)$	$\Psi_{ij} \left( \begin{smallmatrix} \mathbf{0} \\ 32 \end{smallmatrix} \right)$	$\Psi_{ij} \left( \begin{smallmatrix} \mathbf{0} \\ 33 \end{smallmatrix} \right)$	$\Psi_{ij} \left( \begin{smallmatrix} \mathbf{0} - \epsilon_1 \\ 33 \end{smallmatrix} \right)$	$\Psi_{ij} \left( \begin{smallmatrix} \mathbf{0} - \epsilon_2 \\ 32 \end{smallmatrix} \right)$	$\Psi_{ij} \left( \begin{smallmatrix} \epsilon_2 \\ 31 \end{smallmatrix} \right)$	$\Psi_{ij} \left( \begin{smallmatrix} \epsilon_3 \\ 33 \end{smallmatrix} \right)$	$\Psi_{ij} \left( \begin{smallmatrix} \mathbf{0} - \epsilon_3 \\ 32 \end{smallmatrix} \right)$	$\Psi_{ij} \left( \begin{smallmatrix} \epsilon_1 \\ 31 \end{smallmatrix} \right)$

Utilizando el mismo ejemplo que antes  $\Psi_{ij} \left( \begin{smallmatrix} \mathbf{0} - \epsilon_3 \\ 10 \quad 34 \end{smallmatrix} \right)$  sería equivalente a decir  $\Psi_{ij} \left( \begin{smallmatrix} \mathbf{0} - \epsilon_3 \\ 12 \end{smallmatrix} \right)$ . Otro ejemplo es  $\Psi_{ij} \left( \begin{smallmatrix} \mathbf{0} - \epsilon_1 \\ 23 \end{smallmatrix} \right)$  representado de color verde, es decir, el enlace  $e_1(2,0)$  entre  $e_1(3, \epsilon_1)$



En nuestro programa la notación difiere un poco dado que no existen letras griegas en un programa de programación, para superar este inconveniente lo que se ha hecho es establecer las relaciones entre enlaces separándolos con una letra "d" si son hasta segundos vecinos y "p" si ya incluyen algún átomo dentro de los terceros vecinos.

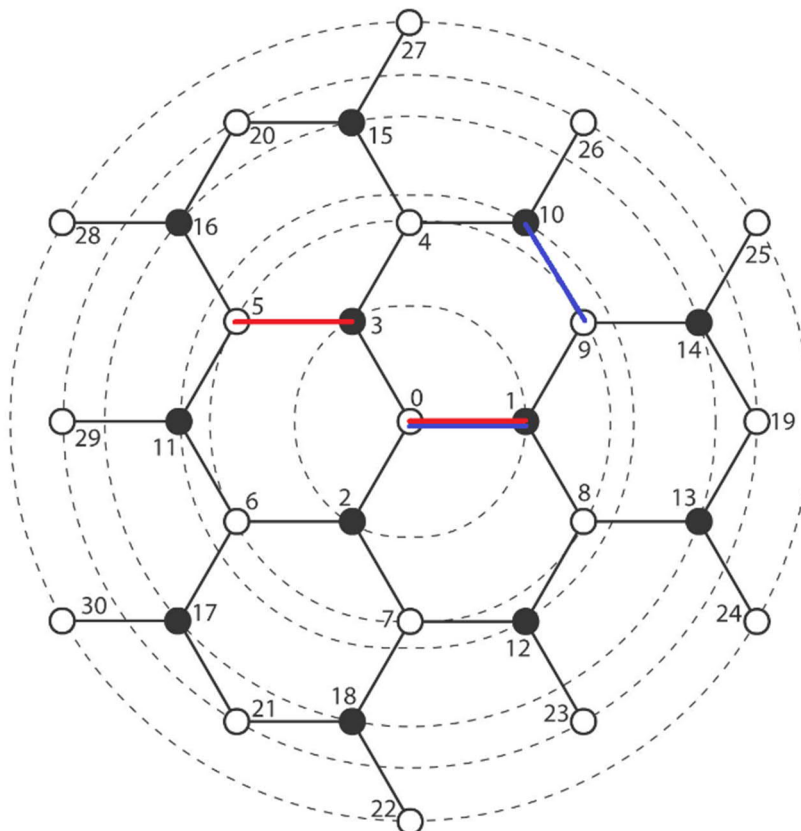


Figura 4.30: En rojo y enlaces paralelos  $Ed10d35$  y en azul y enlaces a  $120^\circ$   $Ed10d10p9$ . Obsérvese que el primer grupo son dos enlaces que no llegan a los terceros vecinos frente al segundo que si tiene un átomo dentro de los terceros por ese motivo los enlaces son 1-0 por un lado y 10-9 por otro.

Utilizando 4.1 e introduciéndolo en 4.17 obtenemos dos partes diferenciadas. La primera parte no supone un gran coste computacional porque está basada en simples pares de parejas escritas en términos de distancias interatómicas, sin embargo, la dificultad computacional llega a su mayor grado en la realización del término linealizado de bandas que además necesita la definición de la función de Green de Pollmann & Pantelides

$$\Psi_{ij} \begin{pmatrix} \mathbf{l} - \mathbf{l}' \\ ab \quad cd \end{pmatrix} = \frac{\partial^2 (E_{repulsion} + E_{bandas})}{\partial r(\mathbf{l}', cd)_j \partial r(\mathbf{l}, ab)_i} \quad 4.18$$

Desarrollando la parte repulsiva de 4.18 su derivada y su implementación en el programa será

$$\begin{aligned} \frac{\partial^2 E_{repulsion}}{\partial \mathbf{r}_l \partial \mathbf{r}_q} = & \sum_i \sum_{n=2}^4 n \cdot (n-1) \cdot c_n \cdot \left( \sum_j \phi(r_{ij}) \right)^{n-2} \cdot \frac{\partial \sum_j \phi(r_{ij})}{\partial \mathbf{r}_q} \otimes \frac{\partial \sum_j \phi(r_{ij})}{\partial \mathbf{r}_l} \\ & + \sum_i \sum_{n=1}^4 n \cdot c_n \cdot \left( \sum_j \phi(r_{ij}) \right)^{n-1} \cdot \frac{\partial^2 \sum_j \phi(r_{ij})}{\partial \mathbf{r}_l \partial \mathbf{r}_q} \end{aligned} \quad 4.19$$

Obsérvese que todos los datos están calculados previamente en la sección 4.2 de este documento.

Instrucciones preprocesador: No precisa de forma explícita más allá de lo mencionado anteriormente.

Prototipos de funciones: Son funciones que se necesitan para ejecutar la segunda derivada de la energía repulsiva, en este caso como se han de calcular los enlaces una y otra vez la ecuación 4.19 fueron hechas funciones. Figura 4.31

Programa principal: Llamada de las funciones anteriores o utilización de la simetría existente para su cálculo. Figura 4.32

Definición de funciones: Código en detalle de las funciones que calculan la segunda derivada de la energía repulsiva. La figura 4.33 para enlaces del mismo tipo y 4.34 para aquellos de distinto tipo.

```

99  /**Funcion que calcula la segunda derivada de la energia repulsiva entre enlaces del
    mismo tipo */
100 void Erepulsiva11(double devmatriz[3][3], double r00[3], double r[3], double X,
    double Xdr, double Xdrdr);
101 /**Funcion que calcula la segunda derivada de la energia repulsiva entre enlaces de
    diferente tipo */
102 void Erepulsiva12(double devmatriz[3][3], double r00a[3], double r1[3], double r00b[3],
    double r2[3], double X, double Xdr, double Xdrdr);

```

Figura 4.31: Prototipos de la segunda derivada de la energía repulsiva para el cálculo de sus constantes de fuerzas.

```

417     /**CALCULO Erep*/
418
419     /**Segunda derivada de la energia de repulsion entre enlaces de tipo 1-1*/
420     double Erepd10d10[3][3] = { { 0,0,0 }, { 0,0,0 }, { 0,0,0 } };
421     Erepulsival1(Erepd10d10, r00, r01, X, Xdr, Xdrdr);
422     /**Segunda derivada de la energia de repulsion entre enlaces de tipo 1-1*/
423     double Erepd10d35[3][3] = { { 0,0,0 }, { 0,0,0 }, { 0,0,0 } }; //No hay aportacion
424     /**Segunda derivada de la energia de repulsion entre enlaces de tipo 1-1*/
425     double Erepd10d26[3][3] = { { 0,0,0 }, { 0,0,0 }, { 0,0,0 } }; //No hay aportacion
426
427     grabar_matriz(Erepd10d10, "Erepd10d10");
428     grabar_matriz(Erepd10d35, "Erepd10d35");
429     grabar_matriz(Erepd10d26, "Erepd10d26");
430
431
432     /**Segunda derivada de la energia de repulsion entre enlaces de tipo 2-2
433     *Se puede hacer por simetria (en este caso) o utilizando las funciones de la
434     *Erepulsion - Erepulsival1(Erepd20d20, r00, r02, X, Xdr, Xdrdr);
435     */
436     double Erepd20d20[3][3];
437     trimultmatriz(T120, Erepd10d10, Q120, Erepd20d20);
438     /**Segunda derivada de la energia de repulsion entre enlaces de tipo 2-2*/
439     double Erepd20d19[3][3]; //No hay aportacion
440     trimultmatriz(T120, Erepd10d35, Q120, Erepd20d19);
441     /**Segunda derivada de la energia de repulsion entre enlaces de tipo 2-2*/
442     double Erepd20d34[3][3]; //No hay aportacion
443     trimultmatriz(T120, Erepd10d26, Q120, Erepd20d34);
444
445     grabar_matriz(Erepd20d20, "Erepd20d20");
446     grabar_matriz(Erepd20d19, "Erepd20d19");
447     grabar_matriz(Erepd20d34, "Erepd20d34");
448
449     /**Segunda derivada de la energia de repulsion entre enlaces de tipo 3-3
450     *Se puede hacer por simetria (en este caso) o utilizando las funciones de la
451     *Erepulsion - Erepulsival1(Erepd30d30, r00, r03, X, Xdr, Xdrdr);
452     */
453     double Erepd30d30[3][3];
454     trimultmatriz(T240, Erepd10d10, Q240, Erepd30d30);
455     /**Segunda derivada de la energia de repulsion entre enlaces de tipo 3-3*/
456     double Erepd30d27[3][3]; //No hay aportacion
457     trimultmatriz(T240, Erepd10d35, Q240, Erepd30d27);
458     /**Segunda derivada de la energia de repulsion entre enlaces de tipo 3-3*/
459     double Erepd30d18[3][3]; //No hay aportacion
460     trimultmatriz(T240, Erepd10d26, Q240, Erepd30d18);
461
462     grabar_matriz(Erepd30d30, "Erepd30d30");
463     grabar_matriz(Erepd30d27, "Erepd30d27");
464     grabar_matriz(Erepd30d18, "Erepd30d18");
465
466
467     /**Segunda derivada de la energia de repulsion entre enlaces de tipo 1-2*/
468     double Erepd10d20[3][3] = { { 0,0,0 }, { 0,0,0 }, { 0,0,0 } };
469     Erepulsival2(Erepd10d20, r00, r01, r00, r02, X, Xdr, Xdrdr);
470     /**Segunda derivada de la energia de repulsion entre enlaces de tipo 1-2*/
471     double Erepd10d19[3][3] = { { 0,0,0 }, { 0,0,0 }, { 0,0,0 } };
472     Erepulsival2(Erepd10d19, r00, r01, r09, r01, X, Xdr, Xdrdr);
473     /**Segunda derivada de la energia de repulsion entre enlaces de tipo 1-2*/
474     double Erepd10d34[3][3] = { { 0,0,0 }, { 0,0,0 }, { 0,0,0 } }; //No hay aportacion
475
476     grabar_matriz(Erepd10d20, "Erepd10d20");
477     grabar_matriz(Erepd10d19, "Erepd10d19");
478     grabar_matriz(Erepd10d34, "Erepd10d34");

```

Figura 4.32: Cálculo de las segundas derivadas de la energía repulsiva. Notar que algunos enlaces pueden hacerse por simetría o llamando a las funciones.

```

2010 void Erepulsiva1(double devmatriz[3][3], double r00[3], double r[3], double X,
2011 double Xdr, double Xdrdr)
2012 {
2013     /**
2014     \details Utiliza para ello phiijdr - Xdrdr y phiijdrdr - Xdr. Ademas usa las
2015     funciones auxiliares limpiavec, limpiamat, restavector, escmat, outer y sumamatriz
2016     \param r00 vector de referencia
2017     \param r vector de posicion a los primeros vecinos
2018     \param X Llamada por valor de este parametro calculado en la funcion principal
2019     (main)
2020     \param Xdr Llamada por valor de este parametro calculado en la funcion principal
2021     (main). Es un numero (derivada de una funcion polinomial evaluada)
2022     \param Xdrdr Llamada por valor de este parametro calculado en la funcion
2023     principal (main). Es un numero (segunda derivada de una funcion polinomial
2024     evaluada)
2025     \param devmatriz Devolucion de la operacion
2026     \return devmatriz es el array de dimension 3x3 que se devuelve. Se hace por
2027     referencia.
2028     */
2029     double vaux1[3] = { 0 }, vaux2[3] = { 0 }, vaux3[3] = { 0 };
2030     double maux1[3][3] = { 0 }, maux2[3][3] = { 0 };
2031
2032     restavector(r00, r, vaux3);
2033     phiijdr(vaux3, vaux1);
2034     outer(vaux1, vaux1, maux2);
2035     escmat(2 * Xdrdr, maux2, maux2);
2036     phiijdrdr(vaux3, maux1);
2037     escmat(2 * Xdr, maux1, maux1);
2038     sumamatriz(maux1, maux2, devmatriz);
2039 }

```

Figura 4.33: Detalle de programación de la segunda derivada de la energía repulsiva que se emplea para enlaces del mismo tipo.

```

2033 void Erepulsiva2(double devmatriz[3][3], double r00a[3], double r1[3], double r00b[3],
2034 double r2[3], double X, double Xdr, double Xdrdr)
2035 {
2036     /**
2037     \details Utiliza para ello phiijdr - Xdrdr. Ademas usa las funciones auxiliares
2038     limpiavec, limpiamat, restavector, escmat, outer
2039     \param r00a vector de referencia para el enlace A
2040     \param r1 vector de posicion a los primeros vecinos para el enlace A
2041     \param r00b vector de referencia para el enlace B
2042     \param r2 vector de posicion a los primeros vecinos para el enlace B
2043     \param X Llamada por valor de este parametro calculado en la funcion principal
2044     (main)
2045     \param Xdr Llamada por valor de este parametro calculado en la funcion principal
2046     (main). Es un numero (derivada de una funcion polinomial evaluada). En este caso
2047     no se usa.
2048     \param Xdrdr Llamada por valor de este parametro calculado en la funcion
2049     principal (main). Es un numero (segunda derivada de una funcion polinomial
2050     evaluada)
2051     \param devmatriz Devolucion de la operacion
2052     \return devmatriz es el array de dimension 3x3 que se devuelve. Se hace por
2053     referencia.
2054     */
2055     double maux[3][3] = { 0 };
2056     double vaux1[3] = { 0 }, vaux2[3] = { 0 }, vaux3[3] = { 0 }, vaux4[3] = { 0 };
2057
2058     restavector(r00a, r1, vaux3);
2059     restavector(r00b, r2, vaux4);
2060     phiijdr(vaux3, vaux1);
2061     phiijdr(vaux4, vaux2);
2062     outer(vaux1, vaux2, maux);
2063     escmat(Xdrdr, maux, devmatriz);
2064 }

```

Figura 4.34: Detalle de programación de la segunda derivada de la energía repulsiva que se emplea para enlaces de distinto tipo.

Para la segunda parte de 4.18 se muestra a continuación la ecuación necesaria para el cálculo de las constantes de fuerzas.

$$\Psi_{ij} \begin{pmatrix} l-l' \\ ab \quad cd \end{pmatrix} = \frac{-2}{\pi} \int_{-\infty}^{E_f} \text{Im} \left[ \text{Tr} \left[ G^0(E) \cdot \frac{\partial^2 H}{\partial r_j(l', cd) \partial r_i(l, ab)} + G^0(E) \cdot \frac{\partial H}{\partial r_i(l, ab)} \cdot G^0(E) \cdot \frac{\partial H}{\partial r_j(l', cd)} \right] \right] \partial E \quad 4.20$$

$G^0$  es la matriz de Green evaluada en equilibrio

La ecuación 4.20 también puede ser escrita

$$\Psi_{ij} \begin{pmatrix} l-l' \\ ab \quad cd \end{pmatrix} = \frac{-2}{\pi} \int_{-\infty}^{E_f} \text{Im} \left[ \sum_{\alpha\beta} \sum_{e,f} G_{e\alpha, f\beta}^0(E) \cdot \frac{\partial^2 H_{f\beta, e\alpha}}{\partial r_j(l', cd) \partial r_i(l, ab)} + \sum_{\alpha\beta\delta\gamma} \sum_{e,f,g,h} G_{e\alpha, f\beta}^0(E) \cdot \frac{\partial H_{f\beta, g\delta}}{\partial r_i(l, ab)} \cdot G_{g\delta, h\gamma}^0(E) \cdot \frac{\partial H_{h\gamma, e\alpha}}{\partial r_j(l', cd)} \right] \partial E \quad 4.21$$

En ambas formas se pueden distinguir dos términos: El primero que solo es válido hasta los primeros vecinos, término de corta distancia, y un segundo término que permite llegar hasta el enésimo vecino. Ariza et al. (2011) demostró que un modelo efectivo es suficiente considerar hasta los terceros vecinos.

La función de Green se define:

$$G^0(E) = \frac{1}{(\| (E + i0^+) - H_0 \rangle)} \quad 4.22$$

Utilizando el teorema de Bloch e introduciendo la ZB de manera similar a 4.15, la función de Green de 4.22 se transforma:

$$G^0(E, k) = \sum_n \frac{C_n^\dagger(k) \cdot C_n(k)}{E + i0^+ - E_n(k)} \xrightarrow{\text{Zona de Brillouin}} G^0(E, k) = \frac{1}{N} \sum_k \sum_n \frac{C_n^\dagger(k) \cdot C_n(k)}{E + i0^+ - E_n(k)} \cdot e^{i \cdot k \cdot (r_e - r_f)} \quad 4.23$$

Por motivos computacionales el término  $i0^+$  es un número pequeño e imaginario " $\epsilon i$ ". Este número en el programa tiene un valor de  $\epsilon = 0.05$ .  $C_n(k)$  son los autovectores y  $E_n(k)$  son sus correspondientes autovalores,  $E$  es equivalente a  $L$  en programa y es la variable de la transformada a la función de Green.

La función de Green es un tensor de orden 2 cuyas componentes son números complejos. Este tensor puede agruparse

$$G = \begin{pmatrix} g_{11} & g_{12} & g_{13} & g_{14} & g_{15} & g_{16} & g_{17} & g_{18} \\ g_{21} & g_{22} & g_{23} & g_{24} & g_{25} & g_{26} & g_{27} & g_{28} \\ g_{31} & g_{32} & g_{33} & g_{34} & g_{35} & g_{36} & g_{37} & g_{38} \\ g_{41} & g_{42} & g_{43} & g_{44} & g_{45} & g_{46} & g_{47} & g_{48} \\ g_{51} & g_{52} & g_{53} & g_{54} & g_{55} & g_{56} & g_{57} & g_{58} \\ g_{61} & g_{62} & g_{63} & g_{64} & g_{65} & g_{66} & g_{67} & g_{68} \\ g_{71} & g_{72} & g_{73} & g_{74} & g_{75} & g_{76} & g_{77} & g_{78} \\ g_{81} & g_{82} & g_{83} & g_{84} & g_{85} & g_{86} & g_{87} & g_{88} \end{pmatrix} = \begin{pmatrix} G_{aa} & G_{ab} \\ G_{ba} & G_{bb} \end{pmatrix} \quad 4.24$$

Por ejemplo para el caso de  $G_{aa}$ ,

$$G_{aa} = \begin{pmatrix} g_{11} & \cdots & g_{14} \\ \vdots & g_{\alpha\beta} & \vdots \\ g_{41} & \cdots & g_{44} \end{pmatrix}; \alpha, \beta \{1, 2, 3, 4\} \quad 4.25$$

La programación de esta parte del término de fuerzas asociada a las bandas es:

Instrucciones preprocesador: No precisa de forma explícita más allá de lo mencionado anteriormente.

Prototipos de funciones: Son funciones que se necesitan para ejecutar la segunda derivada de la energía enlace. En este caso como se han de calcular las funciones de Green en la figura 4.35, las segundas derivadas de la energía de enlace a corto y a largo alcance figura 4.36 y unas funciones opcionales que se pueden emplear para la función que calcula la segunda derivada a corto alcance figura 4.37

Programa principal: Llamada de las funciones para calcular las segundas derivadas de la energía de enlace a corto alcance (Figura 4.38) y de largo alcance (Figura 4.39)

Definición de funciones: Son necesarias las funciones mencionadas anteriormente, aumentando la explicación de la función de Green y sus submatrices, deben hacerse con una inversa conteniendo una variable compleja. Esto es un problema doble: El primero es el esfuerzo computacional elevado que tendría hacer el programa cada vez que se invoque debido a que C++ es un lenguaje no simbólico, refiriéndome con ello a que no almacena en memoria la expresión analítica como lo podemos hacer nosotros al escribirlo en papel u otros lenguajes de programación como Mathematica o Matlab, y en segundo lugar el uso de una variable incrementa el problema sobre el lenguaje simbólico.

Estos dos problemas se han solucionado usando un script de Matlab (Anexo G) el cual nos da una expresión analítica de la inversa del hamiltoniano de forma que el prototipo de la función será solamente el hamiltoniano llamado desde la función principal, la variable compleja "L", los puntos de la zona de Brillouin y sus vectores, y la matriz que devolvemos por referencia. Toda esta función se encuentra en la figura 4.40.

Las funciones *integraenlace1* e *integraenlace2*, son las que se han programado para hacer las ecuaciones 4.26 y 4.27 siguientes.

$$\Psi_{ij} \begin{pmatrix} l & -l' \\ ab & cd \end{pmatrix} = \frac{-2}{\pi} \int_{-\infty}^{E_f} \text{Im} \left[ \text{Tr} \left[ G^0(E) \cdot \frac{\partial^2 H}{\partial r_j(l', cd) \partial r_i(l, ab)} + \right] \right] \partial E \quad 4.26$$

$$\Psi_{ij} \begin{pmatrix} l & -l' \\ ab & cd \end{pmatrix} = \frac{-2}{\pi} \int_{-\infty}^{E_f} \text{Im} \left[ \text{Tr} \left[ G^0(E) \cdot \frac{\partial H}{\partial r_i(l, ab)} \cdot G^0(E) \cdot \frac{\partial H}{\partial r_j(l', cd)} \right] \right] \partial E \quad 4.27$$

Las dos son ecuaciones que exigen la realización de una integral definida con límites abiertos con las particularidades que tienen cada una. El paso de la integral, sus límites inferiores y su programación se modifican desde dentro y se discuten sus valores en el capítulo siguiente, son las funciones más costosas que hay en toda la ejecución. Figuras 4.41 y 4.42 respectivamente.

Las funciones *auxiliarintegraenlace1* y *auxiliarintegraenlace2* calculan la transformada al espacio real de Green de forma alternativa para la ecuación 4.26. Su objetivo es bajar el tiempo de computación. La primera es aproximada y la segunda es exacta. Figuras 4.43 y 4.44 respectivamente.



```

288 //Definicion de funciones para la funcion de Green
289 /**Transformada al espacio real de la funcion de green de la matriz Gaa*/
290 void Gaa(int tam, double r[3], complex<double> g[4][4], double *k, double *pesos63,
complex<double> L, complex<double> H11, complex<double> H22, complex<double> H33,
complex<double> H44, complex<double> *H15, complex<double> *H16, complex<double> *H17
, complex<double> *H25, complex<double> *H26, complex<double> *H27, complex<double> *
H35, complex<double> *H36, complex<double> *H37, complex<double> *H48, complex<double>
> *H51, complex<double> *H52, complex<double> *H53, complex<double> *H61, complex<
double> *H62, complex<double> *H63, complex<double> *H71, complex<double> *H72,
complex<double> *H73, complex<double> *H84);
291 /**Transformada al espacio real de la funcion de green de la matriz Gab*/
292 void Gab(int tam, double r[3], complex<double> g[4][4], double *k, double *pesos63,
complex<double> L, complex<double> H11, complex<double> H22, complex<double> H33,
complex<double> H44, complex<double> *H15, complex<double> *H16, complex<double> *H17
, complex<double> *H25, complex<double> *H26, complex<double> *H27, complex<double> *
H35, complex<double> *H36, complex<double> *H37, complex<double> *H48, complex<double>
> *H51, complex<double> *H52, complex<double> *H53, complex<double> *H61, complex<
double> *H62, complex<double> *H63, complex<double> *H71, complex<double> *H72,
complex<double> *H73, complex<double> *H84);
293 /**Transformada al espacio real de la funcion de green de la matriz Gba*/
294 void Gba(int tam, double r[3], complex<double> g[4][4], double *k, double *pesos63,
complex<double> L, complex<double> H11, complex<double> H22, complex<double> H33,
complex<double> H44, complex<double> *H15, complex<double> *H16, complex<double> *H17
, complex<double> *H25, complex<double> *H26, complex<double> *H27, complex<double> *
H35, complex<double> *H36, complex<double> *H37, complex<double> *H48, complex<double>
> *H51, complex<double> *H52, complex<double> *H53, complex<double> *H61, complex<
double> *H62, complex<double> *H63, complex<double> *H71, complex<double> *H72,
complex<double> *H73, complex<double> *H84);
295 /**Transformada al espacio real de la funcion de green de la matriz Gbb*/
296 void Gbb(int tam, double r[3], complex<double> g[4][4], double *k, double *pesos63,
complex<double> L, complex<double> H11, complex<double> H22, complex<double> H33,
complex<double> H44, complex<double> *H15, complex<double> *H16, complex<double> *H17
, complex<double> *H25, complex<double> *H26, complex<double> *H27, complex<double> *
H35, complex<double> *H36, complex<double> *H37, complex<double> *H48, complex<double>
> *H51, complex<double> *H52, complex<double> *H53, complex<double> *H61, complex<
double> *H62, complex<double> *H63, complex<double> *H71, complex<double> *H72,
complex<double> *H73, complex<double> *H84);
297

```

Figura 4.35: Prototipos para la función de Green. Tensor 4.24.

```

298 // Definicion de funciones para Ee enlace
299
300 /**Funcion que calcula la segunda derivada de la energia de enlace primer termino de
la linealizacion de la segunda derivada de la energia*/
301 void integraenlace1(int tam, double r[3], double devmatriz[3][3], double *k, double *
pesos63, complex<double>H11, complex<double>H22, complex<double>H33, complex<double>
H44, complex<double>*H15, complex<double>*H16, complex<double>*H17, complex<double>*
H25, complex<double>*H26, complex<double>*H27, complex<double>*H35, complex<double>*
H36, complex<double>*H37, complex<double>*H48, complex<double>*H51, complex<double>*
H52, complex<double>*H53, complex<double>*H61, complex<double>*H62, complex<double>*
H63, complex<double>*H71, complex<double>*H72, complex<double>*H73, complex<double>*
H84);
302 /**Funcion que calcula la segunda derivada de la energia de enlace segundo termino
de la linealizacion de la segunda derivada de la energia*/
303 void integraenlace2(int tam, double rhGbbPa[3], double rGbbPa[3], double rhGaabaPab2[
3], double rGaaPa[3], double rGbaPb2[3], double rhGbaPb1[3], double rGbaPb1[3],
double devmatriz[3][3], double *k, double *pesos63, complex<double>H11, complex<
double>H22, complex<double>H33, complex<double>H44, complex<double>*H15, complex<
double>*H16, complex<double>*H17, complex<double>*H25, complex<double>*H26, complex<
double>*H27, complex<double>*H35, complex<double>*H36, complex<double>*H37, complex<
double>*H48, complex<double>*H51, complex<double>*H52, complex<double>*H53, complex<
double>*H61, complex<double>*H62, complex<double>*H63, complex<double>*H71, complex<
double>*H72, complex<double>*H73, complex<double>*H84);
304

```

Figura 4.36: Prototipo de las segundas derivadas de la energía de bandas que se necesitan para calcular las constantes de fuerzas. Ecuaciones 4.26 y 4.27.

```

305 //Funciones auxiliares para integraenlace1
306
307 /**Aproxima el calculo de integraenlace1 por ordenes de magnitud*/
308 void auxiliarintegraenlace1(complex<double>a[4][4], complex<double>b[4][4]);
309 /**Calcula integraenlace1 de forma exacta utilizando menos calculos*/
310 void auxiliarintegraenlace2(int tam, double r[3], complex<double>Gab[4][4], complex<
double> g[4][4], double *k, double *pesos63, complex<double> L, complex<double> H11,
complex<double> H22, complex<double> H33, complex<double> H44, complex<double> *H15,
complex<double> *H16, complex<double> *H17, complex<double> *H25, complex<double> *
H26, complex<double> *H27, complex<double> *H35, complex<double> *H36, complex<double> *
H37, complex<double> *H48, complex<double> *H51, complex<double> *H52, complex<
double> *H53, complex<double> *H61, complex<double> *H62, complex<double> *H63,
complex<double> *H71, complex<double> *H72, complex<double> *H73, complex<double> *
H84);
311

```

Figura 4.37: Funciones auxiliares usadas por la función *integraenlace1* que tienen como objetivo bajar el tiempo de computación al hacer un cálculo alternativo de la transformada de Green al espacio real.

```

720 double Ebsrd10d10[3][3];
721 integraenlace1(tam, r01, Ebsrd10d10, k, pesos63, H11, H22, H33, H44, H15, H16,
H17, H25, H26, H27, H35, H36, H37, H48, H51, H52, H53, H61, H62, H63, H71, H72,
H73, H84);
722
723 /**Calculo de la segunda derivada de la energia de enlace. Primer termino de la
ecuacion. Tipo 2-2
724 *Se hace por simetria (ahorrar tiempo computacional) Tambien puede hacerse por
la funcion integraenlace1
725 */
726 double Ebsrd20d20[3][3];
727 trimultmatriz(T120, Ebsrd10d10, Q120, Ebsrd20d20);
728
729 /**Calculo de la segunda derivada de la energia de enlace. Primer termino de la
ecuacion. Tipo 3-3
730 *Se hace por simetria (ahorrar tiempo computacional) Tambien puede hacerse por
la funcion integraenlace1
731 */
732 double Ebsrd30d30[3][3];
733 trimultmatriz(T240, Ebsrd10d10, Q240, Ebsrd30d30);
734
735 grabar_matriz(Ebsrd10d10, "Ebsrd10d10");
736 grabar_matriz(Ebsrd20d20, "Ebsrd20d20");
737 grabar_matriz(Ebsrd30d30, "Ebsrd30d30");

```

Figura 4.38: Detalle de programación de la segunda derivada de la energía de bandas para el corto alcance. Ecuación 4.26.

```

764 /**Calculo de la segunda derivada de la energia de enlace. Segundo termino de la
ecuacion. Tipo 1-1. Primer Vecino*/
765 double Ebd10d35[3][3];
766
767 restavector(r01, r03, vaux1); //Grealbb Parte A1
768 restavector(r05, r00, vaux2); //Grealaa Parte A2
769 restavector(r00, r03, vaux3); //Grealba1 Parte B1
770 restavector(r05, r01, vaux4); //Grealba2 Parte B2
771 restavector(r00, r01, vaux5); //Habdr para GrealBB Parte A1
772 restavector(r03, r05, vaux6); //Habdr para GrealAA Parte A2 y B2
773 restavector(r01, r00, vaux7); //Habdr para Grealba B1
774
775 integraenlace2(tam, vaux5, vaux1, vaux6, vaux2, vaux4, vaux7, vaux3, Ebd10d35, k,
pesos63, H11, H22, H33, H44, H15, H16, H17, H25, H26, H27, H35, H36, H37, H48,
H51, H52, H53, H61, H62, H63, H71, H72, H73, H84);
776
777 limpiarvec(vaux1);
778 limpiarvec(vaux2);
779 limpiarvec(vaux3);
780 limpiarvec(vaux4);
781 limpiarvec(vaux5);
782 limpiarvec(vaux6);
783 limpiarvec(vaux7);
784 grabar_matriz(Ebd10d35, "Ebd10d35");

```

Figura 4.39: Detalle de programación de la segunda derivada de la energía de bandas para largo alcance. Ecuación 4.27.



```

5740 //Green
5741 void Gaa(int tam, double r[3], complex<double> g[4][4], double *k, double *pesos63,
complex<double> L, complex<double> H11, complex<double> H22, complex<double> H33,
complex<double> H44, complex<double> *H15, complex<double> *H16, complex<double> *H17
, complex<double> *H25, complex<double> *H26, complex<double> *H27, complex<double> *
H35, complex<double> *H36, complex<double> *H37, complex<double> *H48, complex<double> *
> *H51, complex<double> *H52, complex<double> *H53, complex<double> *H61, complex<
double> *H62, complex<double> *H63, complex<double> *H71, complex<double> *H72,
complex<double> *H73, complex<double> *H84)
5742 {
5743     /**
5744     \details Esta funcion recibe como parametros el tensor del hamiltoniano
H=[H(1,1), H(1,2); H(2,1), H(2,2)] termino a termino (solo elementos distintos
de cero)
5745     *posteriormente gracias a un script en lenguaje Matlab (se adjunta en la
documentacion) se realiza la inversion de la matriz de green
5746     *Este resultado de dicha matriz es el que constituye este grupo de funciones
(g11, g12...) al cual tambien se le realiza esta en el espacio real
5747     *Finalmente el resultado de este grupo de funciones (g11,g12...) podra ser
encapsulado en funciones Greal(1,1), Greal(1,2), Greal(2,1) y Greal(2,2)
5748     *Gaa encapsula a:
Gaa=[g11,g12,g13,g14;g21,g22,g23,g24;g31,g32,g33,g34;g41,g42,g43,g44]
5749     *a imagen y semejanza del tensor hamiltoniano. Esto ocurre en las funciones que
integran la Eeolace (integraenlace1 e integraenlace2)
5750     *Resumiendo. Esta funcion incluye las operaciones de la inversion de la matriz
de green y su posterior paso al espacio real.
5751     *Esta funcion utiliza la libreria complex
5752     \param tam Tamaño del numero de puntos de la zona de Brillouin
5753     \param r vector de distancia entre enlaces
5754     \param k Zona de Brillouin
5755     \param pesos63 Pesos de la zona de Brillouin
5756     \param L Variable de la funcion
5757     \param H11 Hamiltoniano de orden 0, Haa
5758     \param H22 Hamiltoniano de orden 0, Haa
5759     \param H33 Hamiltoniano de orden 0, Haa
5760     \param H44 Hamiltoniano de orden 0, Haa
5761     \param H15 Hamiltoniano de orden 0, Hab
5762     \param H16 Hamiltoniano de orden 0, Hab
5763     \param H17 Hamiltoniano de orden 0, Hab
5764     \param H25 Hamiltoniano de orden 0, Hab
5765     \param H26 Hamiltoniano de orden 0, Hab
5766     \param H27 Hamiltoniano de orden 0, Hab
5767     \param H35 Hamiltoniano de orden 0, Hab
5768     \param H36 Hamiltoniano de orden 0, Hab
5769     \param H37 Hamiltoniano de orden 0, Hab
5770     \param H48 Hamiltoniano de orden 0, Hab
5771     \param H51 Hamiltoniano de orden 0, Hba
5772     \param H52 Hamiltoniano de orden 0, Hba
5773     \param H53 Hamiltoniano de orden 0, Hba
5774     \param H61 Hamiltoniano de orden 0, Hba
5775     \param H62 Hamiltoniano de orden 0, Hba
5776     \param H63 Hamiltoniano de orden 0, Hba
5777     \param H71 Hamiltoniano de orden 0, Hba
5778     \param H72 Hamiltoniano de orden 0, Hba
5779     \param H73 Hamiltoniano de orden 0, Hba
5780     \param H84 Hamiltoniano de orden 0, Hba
5781     \return g es el array de dimension 3x3 que se devuelve. Se hace por referencia.
Es Un numero de doble precision complejo que es el resultado
5782     *de la funcion evaluada en el punto L
5783     */
5784     int i, j, l;
5785     for (l = 0; l<4; l++)
5786     {
5787         for (j = 0; j < 4; j++)
5788         {
5789             g[l][j] = 0;
5790         }
5791     }
5792     double vaux[3] = { 0,0,0 };

```

Continúa en la siguiente página

```

5793     double modulo = 1.0;
5794     complex<double> L2;
5795     complex<double> L3;
5796     complex<double> L4;
5797     complex<double> L5;
5798     complex<double> L6;
5799     complex<double> H11C;
5800     complex<double> H22C;
5801     complex<double> H33C;
5802     complex<double> H44C;
5803     L2 = L*L;
5804     L3 = L*L*L;
5805     L4 = L*L*L*L;
5806     L5 = L*L*L*L*L;
5807     L6 = L*L*L*L*L*L;
5808     H11C = H11*H11;
5809     H22C = H22*H22;
5810     H33C = H33*H33;
5811     H44C = H44*H44;
5812     double dos = 2.0;
5813     double cuatro = 4.0;
5814     double ocho = 8.0;
5815     complex<double> numerador[4][4];
5816     complex<double> denominador;
5817     complex<double> denominador44;
5818     complex<double> resultado[4][4];
5819
5820     for (i = 0; i<tam; i++)
5821     {
5822         numerador[0][0] = (H11*L4 + dos*H22*L4 + dos*H33*L4 - L5 - H22C * L3 - H33C *
            L3 - dos*H11*H22*L3 - dos*H11*H33*L3 - cuatro*H22*H33*L3 + H25[i] * H52[i] *
            L3 + H26[i] * H62[i] * L3 + H35[i] * H53[i] * L3 + H27[i] * H72[i] * L3 +
            H36[i] * H63[i] * L3 + H37[i] * H73[i] * L3 + H11*H22C * H33C + H11*H22C * L2
            + H11*H33C * L2 + dos*H22*H33C * L2 + dos*H22C * H33*L2 - H22C * H33C * L -
            H11*H26[i] * H33C * H62[i] - H22*H25[i] * H33C * H52[i] - H11*H22C * H37[i] *
            H73[i] - H22C * H33*H35[i] * H53[i] + cuatro*H11*H22*H33*L2 - dos*H11*H22*
            H33C * L - dos*H11*H22C * H33*L - H11*H26[i] * H62[i] * L2 - H22*H25[i] * H52
            [i] * L2 - H11*H27[i] * H72[i] * L2 - H11*H36[i] * H63[i] * L2 - dos*H22*H35[
            i] * H53[i] * L2 - dos*H25[i] * H33*H52[i] * L2 + H25[i] * H33C * H52[i] * L
            + H22C * H35[i] * H53[i] * L - H11*H37[i] * H73[i] * L2 - H22*H27[i] * H72[i]
            * L2 - H22*H36[i] * H63[i] * L2 - dos*H26[i] * H33*H62[i] * L2 + H26[i] *
            H33C * H62[i] * L - H33*H35[i] * H53[i] * L2 - dos*H22*H37[i] * H73[i] * L2 -
            H27[i] * H33*H72[i] * L2 - H33*H36[i] * H63[i] * L2 + H22C * H37[i] * H73[i]
            * L - H11*H22*H27[i] * H33*H72[i] - H11*H22*H33*H36[i] * H63[i] + H11*H26[i]
            * H37[i] * H62[i] * H73[i] - H11*H26[i] * H37[i] * H63[i] * H72[i] - H11*H27
            [i] * H36[i] * H62[i] * H73[i] + H11*H27[i] * H36[i] * H63[i] * H72[i] + H22*
            H25[i] * H37[i] * H52[i] * H73[i] - H22*H25[i] * H37[i] * H53[i] * H72[i] -
            H22*H27[i] * H35[i] * H52[i] * H73[i] + H22*H27[i] * H35[i] * H53[i] * H72[i]
            + H25[i] * H33*H36[i] * H52[i] * H63[i] - H25[i] * H33*H36[i] * H53[i] * H62
            [i] - H26[i] * H33*H35[i] * H52[i] * H63[i] + H26[i] * H33*H35[i] * H53[i] *
            H62[i] + H11*H22*H27[i] * H72[i] * L + H11*H22*H36[i] * H63[i] * L + dos*H11*
            H26[i] * H33*H62[i] * L + dos*H22*H25[i] * H33*H52[i] * L + dos*H11*H22*H37[i
            ] * H73[i] * L + H11*H27[i] * H33*H72[i] * L + H11*H33*H36[i] * H63[i] * L +
            dos*H22*H33*H35[i] * H53[i] * L + H22*H27[i] * H33*H72[i] * L + H22*H33*H36[i
            ] * H63[i] * L - H25[i] * H36[i] * H52[i] * H63[i] * L + H25[i] * H36[i] *
            H53[i] * H62[i] * L + H26[i] * H35[i] * H52[i] * H63[i] * L - H26[i] * H35[i]
            * H53[i] * H62[i] * L - H25[i] * H37[i] * H52[i] * H73[i] * L + H25[i] * H37
            [i] * H53[i] * H72[i] * L + H27[i] * H35[i] * H52[i] * H73[i] * L - H27[i] *
            H35[i] * H53[i] * H72[i] * L - H26[i] * H37[i] * H62[i] * H73[i] * L + H26[i]
            * H37[i] * H63[i] * H72[i] * L + H27[i] * H36[i] * H62[i] * H73[i] * L - H27
            [i] * H36[i] * H63[i] * H72[i] * L);
5823     numerador[0][1] = -(H15[i] * H52[i] * L3 + H16[i] * H62[i] * L3 + H17[i] *
            H72[i] * L3 - H11*H16[i] * H33C * H62[i] - H15[i] * H22*H33C * H52[i] - H11*
            H16[i] * H62[i] * L2 - H15[i] * H22*H52[i] * L2 - H11*H17[i] * H72[i] * L2 -
            dos*H15[i] * H33*H52[i] * L2 + H15[i] * H33C * H52[i] * L - dos*H16[i] * H33*
            H62[i] * L2 + H16[i] * H33C * H62[i] * L - H17[i] * H22*H72[i] * L2 - H17[i]
            * H33*H72[i] * L2 - H11*H17[i] * H22*H33*H72[i] + H11*H16[i] * H37[i] * H62[i]
            ] * H73[i] - H11*H16[i] * H37[i] * H63[i] * H72[i] - H11*H17[i] * H36[i] *
            H62[i] * H73[i] + H11*H17[i] * H36[i] * H63[i] * H72[i] + H15[i] * H22*H37[i]

```

Continúa en la siguiente página



```

    * H52[i] * H73[i] - H15[i] * H22*H37[i] * H53[i] * H72[i] + H15[i] * H33*H36
    [i] * H52[i] * H63[i] - H15[i] * H33*H36[i] * H53[i] * H62[i] - H16[i] * H33*
    H35[i] * H52[i] * H63[i] + H16[i] * H33*H35[i] * H53[i] * H62[i] - H17[i] *
    H22*H35[i] * H52[i] * H73[i] + H17[i] * H22*H35[i] * H53[i] * H72[i] + dos*
    H11*H16[i] * H33*H62[i] * L + H11*H17[i] * H22*H72[i] * L + dos*H15[i] * H22*
    H33*H52[i] * L + H11*H17[i] * H33*H72[i] * L + H17[i] * H22*H33*H72[i] * L -
    H15[i] * H36[i] * H52[i] * H63[i] * L + H15[i] * H36[i] * H53[i] * H62[i] * L
    + H16[i] * H35[i] * H52[i] * H63[i] * L - H16[i] * H35[i] * H53[i] * H62[i]
    * L - H15[i] * H37[i] * H52[i] * H73[i] * L + H15[i] * H37[i] * H53[i] * H72[
    i] * L + H17[i] * H35[i] * H52[i] * H73[i] * L - H17[i] * H35[i] * H53[i] *
    H72[i] * L - H16[i] * H37[i] * H62[i] * H73[i] * L + H16[i] * H37[i] * H63[i]
    * H72[i] * L + H17[i] * H36[i] * H62[i] * H73[i] * L - H17[i] * H36[i] * H63
    [i] * H72[i] * L);
5824   numerador[0][2] = -(H15[i] * H53[i] * L3 + H16[i] * H63[i] * L3 + H17[i] *
    H73[i] * L3 - H11*H17[i] * H22C * H73[i] - H15[i] * H22C * H33*H53[i] - H11*
    H16[i] * H63[i] * L2 - dos*H15[i] * H22*H53[i] * L2 + H15[i] * H22C * H53[i]
    * L - H11*H17[i] * H73[i] * L2 - H15[i] * H33*H53[i] * L2 - H16[i] * H22*H63[
    i] * L2 - H16[i] * H33*H63[i] * L2 - dos*H17[i] * H22*H73[i] * L2 + H17[i] *
    H22C * H73[i] * L - H11*H16[i] * H22*H33*H63[i] - H11*H16[i] * H27[i] * H62[i]
    * H73[i] + H11*H16[i] * H27[i] * H63[i] * H72[i] + H11*H17[i] * H26[i] *
    H62[i] * H73[i] - H11*H17[i] * H26[i] * H63[i] * H72[i] - H15[i] * H22*H27[i]
    * H52[i] * H73[i] + H15[i] * H22*H27[i] * H53[i] * H72[i] - H15[i] * H26[i]
    * H33*H52[i] * H63[i] + H15[i] * H26[i] * H33*H53[i] * H62[i] + H16[i] * H25[
    i] * H33*H52[i] * H63[i] - H16[i] * H25[i] * H33*H53[i] * H62[i] + H17[i] *
    H22*H25[i] * H52[i] * H73[i] - H17[i] * H22*H25[i] * H53[i] * H72[i] + H11*
    H16[i] * H22*H63[i] * L + H11*H16[i] * H33*H63[i] * L + dos*H11*H17[i] * H22*
    H73[i] * L + dos*H15[i] * H22*H33*H53[i] * L + H16[i] * H22*H33*H63[i] * L +
    H15[i] * H26[i] * H52[i] * H63[i] * L - H15[i] * H26[i] * H53[i] * H62[i] * L
    - H16[i] * H25[i] * H52[i] * H63[i] * L + H16[i] * H25[i] * H53[i] * H62[i]
    * L + H15[i] * H27[i] * H52[i] * H73[i] * L - H15[i] * H27[i] * H53[i] * H72[
    i] * L - H17[i] * H25[i] * H52[i] * H73[i] * L + H17[i] * H25[i] * H53[i] *
    H72[i] * L + H16[i] * H27[i] * H62[i] * H73[i] * L - H16[i] * H27[i] * H63[i]
    * H72[i] * L - H17[i] * H26[i] * H62[i] * H73[i] * L + H17[i] * H26[i] * H63
    [i] * H72[i] * L);
5825   numerador[0][3] = 0;
5826   numerador[1][0] = -(H25[i] * H51[i] * L3 + H26[i] * H61[i] * L3 + H27[i] *
    H71[i] * L3 - H11*H26[i] * H33C * H61[i] - H22*H25[i] * H33C * H51[i] - H11*
    H26[i] * H61[i] * L2 - H22*H25[i] * H51[i] * L2 - H11*H27[i] * H71[i] * L2 -
    dos*H25[i] * H33*H51[i] * L2 + H25[i] * H33C * H51[i] * L - H22*H27[i] * H71[
    i] * L2 - dos*H26[i] * H33*H61[i] * L2 + H26[i] * H33C * H61[i] * L - H27[i]
    * H33*H71[i] * L2 - H11*H22*H27[i] * H33*H71[i] + H11*H26[i] * H37[i] * H61[i]
    * H73[i] - H11*H26[i] * H37[i] * H63[i] * H71[i] - H11*H27[i] * H36[i] *
    H61[i] * H73[i] + H11*H27[i] * H36[i] * H63[i] * H71[i] + H22*H25[i] * H37[i]
    * H51[i] * H73[i] - H22*H25[i] * H37[i] * H53[i] * H71[i] - H22*H27[i] * H35
    [i] * H51[i] * H73[i] + H22*H27[i] * H35[i] * H53[i] * H71[i] + H25[i] * H33*
    H36[i] * H51[i] * H63[i] - H25[i] * H33*H36[i] * H53[i] * H61[i] - H26[i] *
    H33*H35[i] * H51[i] * H63[i] + H26[i] * H33*H35[i] * H53[i] * H61[i] + H11*
    H22*H27[i] * H71[i] * L + dos*H11*H26[i] * H33*H61[i] * L + dos*H22*H25[i] *
    H33*H51[i] * L + H11*H27[i] * H33*H71[i] * L + H22*H27[i] * H33*H71[i] * L -
    H25[i] * H36[i] * H51[i] * H63[i] * L + H25[i] * H36[i] * H53[i] * H61[i] * L
    + H26[i] * H35[i] * H51[i] * H63[i] * L - H26[i] * H35[i] * H53[i] * H61[i]
    * L - H25[i] * H37[i] * H51[i] * H73[i] * L + H25[i] * H37[i] * H53[i] * H71[
    i] * L + H27[i] * H35[i] * H51[i] * H73[i] * L - H27[i] * H35[i] * H53[i] *
    H71[i] * L - H26[i] * H37[i] * H61[i] * H73[i] * L + H26[i] * H37[i] * H63[i]
    * H71[i] * L + H27[i] * H36[i] * H61[i] * H73[i] * L - H27[i] * H36[i] * H63
    [i] * H71[i] * L);
5827   numerador[1][1] = (dos*H11*L4 + H22*L4 + dos*H33*L4 - L5 - H11C * L3 - H33C *
    L3 - dos*H11*H22*L3 - cuatro*H11*H33*L3 - dos*H22*H33*L3 + H15[i] * H51[i] *
    L3 + H16[i] * H61[i] * L3 + H17[i] * H71[i] * L3 + H35[i] * H53[i] * L3 +
    H36[i] * H63[i] * L3 + H37[i] * H73[i] * L3 + H11C * H22*H33C + H11C * H22*L2
    + dos*H11*H33C * L2 + dos*H11C * H33*L2 - H11C * H33C * L + H22*H33C * L2 -
    H11*H16[i] * H33C * H61[i] - H15[i] * H22*H33C * H51[i] - H11C * H22*H37[i] *
    H73[i] - H11C * H33*H36[i] * H63[i] + cuatro*H11*H22*H33*L2 - dos*H11*H22*
    H33C * L - dos*H11C * H22*H33*L - H11*H16[i] * H61[i] * L2 - H15[i] * H22*H51
    [i] * L2 - H11*H17[i] * H71[i] * L2 - H11*H35[i] * H53[i] * L2 - dos*H15[i] *
    H33*H51[i] * L2 + H15[i] * H33C * H51[i] * L - dos*H11*H36[i] * H63[i] * L2
    - dos*H16[i] * H33*H61[i] * L2 + H16[i] * H33C * H61[i] * L - H17[i] * H22*
    H71[i] * L2 - H22*H35[i] * H53[i] * L2 + H11C * H36[i] * H63[i] * L - dos*H11
    *H37[i] * H73[i] * L2 - H17[i] * H33*H71[i] * L2 - H33*H35[i] * H53[i] * L2 +

```

Continúa en la siguiente página

```

H11C * H37[i] * H73[i] * L - H22*H37[i] * H73[i] * L2 - H33*H36[i] * H63[i]
* L2 - H11*H17[i] * H22*H33*H71[i] - H11*H22*H33*H35[i] * H53[i] + H11*H16[i]
* H37[i] * H61[i] * H73[i] - H11*H16[i] * H37[i] * H63[i] * H71[i] - H11*H17
[i] * H36[i] * H61[i] * H73[i] + H11*H17[i] * H36[i] * H63[i] * H71[i] + H15[
i] * H22*H37[i] * H51[i] * H73[i] - H15[i] * H22*H37[i] * H53[i] * H71[i] +
H15[i] * H33*H36[i] * H51[i] * H63[i] - H15[i] * H33*H36[i] * H53[i] * H61[i]
- H16[i] * H33*H35[i] * H51[i] * H63[i] + H16[i] * H33*H35[i] * H53[i] * H61
[i] - H17[i] * H22*H35[i] * H51[i] * H73[i] + H17[i] * H22*H35[i] * H53[i] *
H71[i] + dos*H11*H16[i] * H33*H61[i] * L + H11*H17[i] * H22*H71[i] * L + H11*
H22*H35[i] * H53[i] * L + dos*H15[i] * H22*H33*H51[i] * L + H11*H17[i] * H33*
H71[i] * L + H11*H33*H35[i] * H53[i] * L + dos*H11*H22*H37[i] * H73[i] * L +
dos*H11*H33*H36[i] * H63[i] * L + H17[i] * H22*H33*H71[i] * L + H22*H33*H35[i
] * H53[i] * L - H15[i] * H36[i] * H51[i] * H63[i] * L + H15[i] * H36[i] *
H53[i] * H61[i] * L + H16[i] * H35[i] * H51[i] * H63[i] * L - H16[i] * H35[i]
* H53[i] * H61[i] * L - H15[i] * H37[i] * H51[i] * H73[i] * L + H15[i] * H37
[i] * H53[i] * H71[i] * L + H17[i] * H35[i] * H51[i] * H73[i] * L - H17[i] *
H35[i] * H53[i] * H71[i] * L - H16[i] * H37[i] * H61[i] * H73[i] * L + H16[i]
* H37[i] * H63[i] * H71[i] * L + H17[i] * H36[i] * H61[i] * H73[i] * L - H17
[i] * H36[i] * H63[i] * H71[i] * L);
5828 numerador[1][2] = -(H25[i] * H53[i] * L3 + H26[i] * H63[i] * L3 + H27[i] *
H73[i] * L3 - H11C * H22*H27[i] * H73[i] - H11C * H26[i] * H33*H63[i] - H11*
H25[i] * H53[i] * L2 - dos*H11*H26[i] * H63[i] * L2 - H22*H25[i] * H53[i] *
L2 + H11C * H26[i] * H63[i] * L - dos*H11*H27[i] * H73[i] * L2 - H25[i] * H33
*H53[i] * L2 + H11C * H27[i] * H73[i] * L - H22*H27[i] * H73[i] * L2 - H26[i]
* H33*H63[i] * L2 - H11*H22*H25[i] * H33*H53[i] + H11*H16[i] * H27[i] * H61[
i] * H73[i] - H11*H16[i] * H27[i] * H63[i] * H71[i] - H11*H17[i] * H26[i] *
H61[i] * H73[i] + H11*H17[i] * H26[i] * H63[i] * H71[i] + H15[i] * H22*H27[i]
* H51[i] * H73[i] - H15[i] * H22*H27[i] * H53[i] * H71[i] + H15[i] * H26[i]
* H33*H51[i] * H63[i] - H15[i] * H26[i] * H33*H53[i] * H61[i] - H16[i] * H25[
i] * H33*H51[i] * H63[i] + H16[i] * H25[i] * H33*H53[i] * H61[i] - H17[i] *
H22*H25[i] * H51[i] * H73[i] + H17[i] * H22*H25[i] * H53[i] * H71[i] + H11*
H22*H25[i] * H53[i] * L + H11*H25[i] * H33*H53[i] * L + dos*H11*H22*H27[i] *
H73[i] * L + dos*H11*H26[i] * H33*H63[i] * L + H22*H25[i] * H33*H53[i] * L -
H15[i] * H26[i] * H51[i] * H63[i] * L + H15[i] * H26[i] * H53[i] * H61[i] * L
+ H16[i] * H25[i] * H51[i] * H63[i] * L - H16[i] * H25[i] * H53[i] * H61[i]
* L - H15[i] * H27[i] * H51[i] * H73[i] * L + H15[i] * H27[i] * H53[i] * H71[
i] * L + H17[i] * H25[i] * H51[i] * H73[i] * L - H17[i] * H25[i] * H53[i] *
H71[i] * L - H16[i] * H27[i] * H61[i] * H73[i] * L + H16[i] * H27[i] * H63[i]
* H71[i] * L + H17[i] * H26[i] * H61[i] * H73[i] * L - H17[i] * H26[i] * H63
[i] * H71[i] * L);
5829 numerador[1][3] = 0;
5830 numerador[2][0] = -(H35[i] * H51[i] * L3 + H36[i] * H61[i] * L3 + H37[i] *
H71[i] * L3 - H11*H22C * H37[i] * H71[i] - H22C * H33*H35[i] * H51[i] - H11*
H36[i] * H61[i] * L2 - dos*H22*H35[i] * H51[i] * L2 + H22C * H35[i] * H51[i]
* L - H11*H37[i] * H71[i] * L2 - H22*H36[i] * H61[i] * L2 - H33*H35[i] * H51[
i] * L2 - dos*H22*H37[i] * H71[i] * L2 - H33*H36[i] * H61[i] * L2 + H22C *
H37[i] * H71[i] * L - H11*H22*H33*H36[i] * H61[i] - H11*H26[i] * H37[i] * H61
[i] * H72[i] + H11*H26[i] * H37[i] * H62[i] * H71[i] + H11*H27[i] * H36[i] *
H61[i] * H72[i] - H11*H27[i] * H36[i] * H62[i] * H71[i] - H22*H25[i] * H37[i]
* H51[i] * H72[i] + H22*H25[i] * H37[i] * H52[i] * H71[i] + H22*H27[i] * H35
[i] * H51[i] * H72[i] - H22*H27[i] * H35[i] * H52[i] * H71[i] - H25[i] * H33*
H36[i] * H51[i] * H62[i] + H25[i] * H33*H36[i] * H52[i] * H61[i] + H26[i] *
H33*H35[i] * H51[i] * H62[i] - H26[i] * H33*H35[i] * H52[i] * H61[i] + H11*
H22*H36[i] * H61[i] * L + dos*H11*H22*H37[i] * H71[i] * L + H11*H33*H36[i] *
H61[i] * L + dos*H22*H33*H35[i] * H51[i] * L + H22*H33*H36[i] * H61[i] * L +
H25[i] * H36[i] * H51[i] * H62[i] * L - H25[i] * H36[i] * H52[i] * H61[i] * L
- H26[i] * H35[i] * H51[i] * H62[i] * L + H26[i] * H35[i] * H52[i] * H61[i]
* L + H25[i] * H37[i] * H51[i] * H72[i] * L - H25[i] * H37[i] * H52[i] * H71[
i] * L - H27[i] * H35[i] * H51[i] * H72[i] * L + H27[i] * H35[i] * H52[i] *
H71[i] * L + H26[i] * H37[i] * H61[i] * H72[i] * L - H26[i] * H37[i] * H62[i]
* H71[i] * L - H27[i] * H36[i] * H61[i] * H72[i] * L + H27[i] * H36[i] * H62
[i] * H71[i] * L);
5831 numerador[2][1] = -(H35[i] * H52[i] * L3 + H36[i] * H62[i] * L3 + H37[i] *
H72[i] * L3 - H11C * H22*H37[i] * H72[i] - H11C * H33*H36[i] * H62[i] - H11*
H35[i] * H52[i] * L2 - dos*H11*H36[i] * H62[i] * L2 - H22*H35[i] * H52[i] *
L2 + H11C * H36[i] * H62[i] * L - dos*H11*H37[i] * H72[i] * L2 - H33*H35[i] *
H52[i] * L2 + H11C * H37[i] * H72[i] * L - H22*H37[i] * H72[i] * L2 - H33*
H36[i] * H62[i] * L2 - H11*H22*H33*H35[i] * H52[i] + H11*H16[i] * H37[i] *
H61[i] * H72[i] - H11*H16[i] * H37[i] * H62[i] * H71[i] - H11*H17[i] * H36[i]

```

Continúa en la siguiente página



```

    * H61[i] * H72[i] + H11*H17[i] * H36[i] * H62[i] * H71[i] + H15[i] * H22*H37
    [i] * H51[i] * H72[i] - H15[i] * H22*H37[i] * H52[i] * H71[i] + H15[i] * H33*
    H36[i] * H51[i] * H62[i] - H15[i] * H33*H36[i] * H52[i] * H61[i] - H16[i] *
    H33*H35[i] * H51[i] * H62[i] + H16[i] * H33*H35[i] * H52[i] * H61[i] - H17[i]
    * H22*H35[i] * H51[i] * H72[i] + H17[i] * H22*H35[i] * H52[i] * H71[i] + H11
    *H22*H35[i] * H52[i] * L + H11*H33*H35[i] * H52[i] * L + dos*H11*H22*H37[i] *
    H72[i] * L + dos*H11*H33*H36[i] * H62[i] * L + H22*H33*H35[i] * H52[i] * L -
    H15[i] * H36[i] * H51[i] * H62[i] * L + H15[i] * H36[i] * H52[i] * H61[i] *
    L + H16[i] * H35[i] * H51[i] * H62[i] * L - H16[i] * H35[i] * H52[i] * H61[i]
    * L - H15[i] * H37[i] * H51[i] * H72[i] * L + H15[i] * H37[i] * H52[i] * H71
    [i] * L + H17[i] * H35[i] * H51[i] * H72[i] * L - H17[i] * H35[i] * H52[i] *
    H71[i] * L - H16[i] * H37[i] * H61[i] * H72[i] * L + H16[i] * H37[i] * H62[i]
    * H71[i] * L + H17[i] * H36[i] * H61[i] * H72[i] * L - H17[i] * H36[i] * H62
    [i] * H71[i] * L);
5832 numerador[2][2] = (dos*H11*L4 + dos*H22*L4 + H33*L4 - L5 - H11C * L3 - H22C *
    L3 - cuatro*H11*H22*L3 - dos*H11*H33*L3 - dos*H22*H33*L3 + H15[i] * H51[i] *
    L3 + H16[i] * H61[i] * L3 + H25[i] * H52[i] * L3 + H17[i] * H71[i] * L3 +
    H26[i] * H62[i] * L3 + H27[i] * H72[i] * L3 + H11C * H22C * H33 + dos*H11*
    H22C * L2 + dos*H11C * H22*L2 - H11C * H22C * L + H11C * H33*L2 + H22C * H33*
    L2 - H11*H17[i] * H22C * H71[i] - H15[i] * H22C * H33*H51[i] - H11C * H22*H27
    [i] * H72[i] - H11C * H26[i] * H33*H62[i] + cuatro*H11*H22*H33*L2 - dos*H11*
    H22C * H33*L - dos*H11C * H22*H33*L - H11*H16[i] * H61[i] * L2 - H11*H25[i] *
    H52[i] * L2 - dos*H15[i] * H22*H51[i] * L2 + H15[i] * H22C * H51[i] * L -
    H11*H17[i] * H71[i] * L2 - dos*H11*H26[i] * H62[i] * L2 - H15[i] * H33*H51[i]
    * L2 - H16[i] * H22*H61[i] * L2 - H22*H25[i] * H52[i] * L2 + H11C * H26[i] *
    H62[i] * L - dos*H11*H27[i] * H72[i] * L2 - H16[i] * H33*H61[i] * L2 - dos*
    H17[i] * H22*H71[i] * L2 + H17[i] * H22C * H71[i] * L - H25[i] * H33*H52[i] *
    L2 + H11C * H27[i] * H72[i] * L - H22*H27[i] * H72[i] * L2 - H26[i] * H33*
    H62[i] * L2 - H11*H16[i] * H22*H33*H61[i] - H11*H22*H25[i] * H33*H52[i] + H11
    *H16[i] * H27[i] * H61[i] * H72[i] - H11*H16[i] * H27[i] * H62[i] * H71[i] -
    H11*H17[i] * H26[i] * H61[i] * H72[i] + H11*H17[i] * H26[i] * H62[i] * H71[i]
    + H15[i] * H22*H27[i] * H51[i] * H72[i] - H15[i] * H22*H27[i] * H52[i] * H71
    [i] + H15[i] * H26[i] * H33*H51[i] * H62[i] - H15[i] * H26[i] * H33*H52[i] *
    H61[i] - H16[i] * H25[i] * H33*H51[i] * H62[i] + H16[i] * H25[i] * H33*H52[i]
    * H61[i] - H17[i] * H22*H25[i] * H51[i] * H72[i] + H17[i] * H22*H25[i] * H52
    [i] * H71[i] + H11*H16[i] * H22*H61[i] * L + H11*H22*H25[i] * H52[i] * L +
    H11*H16[i] * H33*H61[i] * L + dos*H11*H17[i] * H22*H71[i] * L + H11*H25[i] *
    H33*H52[i] * L + dos*H15[i] * H22*H33*H51[i] * L + dos*H11*H22*H27[i] * H72[i]
    * L + dos*H11*H26[i] * H33*H62[i] * L + H16[i] * H22*H33*H61[i] * L + H22*
    H25[i] * H33*H52[i] * L - H15[i] * H26[i] * H51[i] * H62[i] * L + H15[i] *
    H26[i] * H52[i] * H61[i] * L + H16[i] * H25[i] * H51[i] * H62[i] * L - H16[i]
    * H25[i] * H52[i] * H61[i] * L - H15[i] * H27[i] * H51[i] * H72[i] * L + H15
    [i] * H27[i] * H52[i] * H71[i] * L + H17[i] * H25[i] * H51[i] * H72[i] * L -
    H17[i] * H25[i] * H52[i] * H71[i] * L - H16[i] * H27[i] * H61[i] * H72[i] * L
    + H16[i] * H27[i] * H62[i] * H71[i] * L + H17[i] * H26[i] * H61[i] * H72[i]
    * L - H17[i] * H26[i] * H62[i] * H71[i] * L);
5833 numerador[2][3] = 0;
5834 numerador[3][0] = 0;
5835 numerador[3][1] = 0;
5836 numerador[3][2] = 0;
5837 numerador[3][3] = -(H44 - L);
5838
5839 denominador = (dos*H11*L5 + dos*H22*L5 + dos*H33*L5 - L6 - H11C * L4 - H22C *
    L4 - H33C * L4 - H11C * H22C * H33C - H11C * H22C * L2 - H11C * H33C * L2 -
    H22C * H33C * L2 - cuatro*H11*H22*L4 - cuatro*H11*H33*L4 - cuatro*H22*H33*L4
    + H15[i] * H51[i] * L4 + H16[i] * H61[i] * L4 + H25[i] * H52[i] * L4 + H17[i]
    * H71[i] * L4 + H26[i] * H62[i] * L4 + H35[i] * H53[i] * L4 + H27[i] * H72[i]
    ] * L4 + H36[i] * H63[i] * L4 + H37[i] * H73[i] * L4 + dos*H11*H22C * L3 +
    dos*H11C * H22*L3 + dos*H11*H33C * L3 + dos*H11C * H33*L3 + dos*H22*H33C * L3
    + dos*H22C * H33*L3 + H15[i] * H22C * H33C * H51[i] + H11C * H26[i] * H33C *
    H62[i] + H11C * H22C * H37[i] * H73[i] - cuatro*H11*H22*H33C * L2 - cuatro*
    H11*H22C * H33*L2 + dos*H11*H22C * H33C * L - cuatro*H11C * H22*H33*L2 + dos*
    H11C * H22*H33C * L + dos*H11C * H22C * H33*L + H15[i] * H22C * H51[i] * L2 +
    H15[i] * H33C * H51[i] * L2 + H11C * H26[i] * H62[i] * L2 + H16[i] * H33C *
    H61[i] * L2 + H17[i] * H22C * H71[i] * L2 + H25[i] * H33C * H52[i] * L2 +
    H11C * H27[i] * H72[i] * L2 + H11C * H36[i] * H63[i] * L2 + H22C * H35[i] *
    H53[i] * L2 + H26[i] * H33C * H62[i] * L2 + H11C * H37[i] * H73[i] * L2 +
    H22C * H37[i] * H73[i] * L2 + ocho*H11*H22*H33*L3 - H11*H16[i] * H61[i] * L3
    - H11*H25[i] * H52[i] * L3 - dos*H15[i] * H22*H51[i] * L3 - H11*H17[i] * H71[

```

Continúa en la siguiente página

```

i] * L3 - dos*H11*H26[i] * H62[i] * L3 - H11*H35[i] * H53[i] * L3 - dos*H15[i]
] * H33*H51[i] * L3 - H16[i] * H22*H61[i] * L3 - H22*H25[i] * H52[i] * L3 -
dos*H11*H27[i] * H72[i] * L3 - dos*H11*H36[i] * H63[i] * L3 - dos*H16[i] *
H33*H61[i] * L3 - dos*H17[i] * H22*H71[i] * L3 - dos*H22*H35[i] * H53[i] * L3
- dos*H25[i] * H33*H52[i] * L3 - dos*H11*H37[i] * H73[i] * L3 - H17[i] * H33
*H71[i] * L3 - H22*H27[i] * H72[i] * L3 - H22*H36[i] * H63[i] * L3 - dos*H26[
i] * H33*H62[i] * L3 - H33*H35[i] * H53[i] * L3 - dos*H22*H37[i] * H73[i] *
L3 - H27[i] * H33*H72[i] * L3 - H33*H36[i] * H63[i] * L3 + H11*H16[i] * H22*
H33C * H61[i] + H11*H22*H25[i] * H33C * H52[i] + H11*H17[i] * H22C * H33*H71[
i] + H11*H22C * H33*H35[i] * H53[i] + H11C * H22*H27[i] * H33*H72[i] + H11C *
H22*H33*H36[i] * H63[i] - H15[i] * H26[i] * H33C * H51[i] * H62[i] + H15[i]
* H26[i] * H33C * H52[i] * H61[i] + H16[i] * H25[i] * H33C * H51[i] * H62[i]
- H16[i] * H25[i] * H33C * H52[i] * H61[i] - H15[i] * H22C * H37[i] * H51[i]
* H73[i] + H15[i] * H22C * H37[i] * H53[i] * H71[i] + H17[i] * H22C * H35[i]
* H51[i] * H73[i] - H17[i] * H22C * H35[i] * H53[i] * H71[i] - H11C * H26[i]
* H37[i] * H62[i] * H73[i] + H11C * H26[i] * H37[i] * H63[i] * H72[i] + H11C
* H27[i] * H36[i] * H62[i] * H73[i] - H11C * H27[i] * H36[i] * H63[i] * H72[i]
+ H11*H16[i] * H22*H61[i] * L2 + H11*H22*H25[i] * H52[i] * L2 + dos*H11*H16
[i] * H33*H61[i] * L2 - H11*H16[i] * H33C * H61[i] * L + dos*H11*H17[i] * H22
*H71[i] * L2 - H11*H17[i] * H22C * H71[i] * L + dos*H11*H22*H35[i] * H53[i] *
L2 + dos*H11*H25[i] * H33*H52[i] * L2 - H11*H25[i] * H33C * H52[i] * L - H11
*H22C * H35[i] * H53[i] * L + cuatro*H15[i] * H22*H33*H51[i] * L2 - dos*H15[i]
] * H22*H33C * H51[i] * L - dos*H15[i] * H22C * H33*H51[i] * L + H11*H17[i] *
H33*H71[i] * L2 + dos*H11*H22*H27[i] * H72[i] * L2 + dos*H11*H22*H36[i] *
H63[i] * L2 + cuatro*H11*H26[i] * H33*H62[i] * L2 - dos*H11*H26[i] * H33C *
H62[i] * L + H11*H33*H35[i] * H53[i] * L2 + dos*H16[i] * H22*H33*H61[i] * L2
- H16[i] * H22*H33C * H61[i] * L + dos*H22*H25[i] * H33*H52[i] * L2 - H22*H25
[i] * H33C * H52[i] * L - H11C * H22*H27[i] * H72[i] * L - H11C * H22*H36[i]
* H63[i] * L - dos*H11C * H26[i] * H33*H62[i] * L + cuatro*H11*H22*H37[i] *
H73[i] * L2 + dos*H11*H27[i] * H33*H72[i] * L2 + dos*H11*H33*H36[i] * H63[i]
* L2 - dos*H11*H22C * H37[i] * H73[i] * L + dos*H17[i] * H22*H33*H71[i] * L2
- H17[i] * H22C * H33*H71[i] * L + dos*H22*H33*H35[i] * H53[i] * L2 - dos*
H11C * H22*H37[i] * H73[i] * L - H11C * H27[i] * H33*H72[i] * L - H11C * H33*
H36[i] * H63[i] * L - H22C * H33*H35[i] * H53[i] * L - H15[i] * H26[i] * H51[
i] * H62[i] * L2 + H15[i] * H26[i] * H52[i] * H61[i] * L2 + H16[i] * H25[i] *
H51[i] * H62[i] * L2 - H16[i] * H25[i] * H52[i] * H61[i] * L2 + H22*H27[i] *
H33*H72[i] * L2 + H22*H33*H36[i] * H63[i] * L2 - H15[i] * H27[i] * H51[i] *
H72[i] * L2 + H15[i] * H27[i] * H52[i] * H71[i] * L2 - H15[i] * H36[i] * H51[
i] * H63[i] * L2 + H15[i] * H36[i] * H53[i] * H61[i] * L2 + H16[i] * H35[i] *
H51[i] * H63[i] * L2 - H16[i] * H35[i] * H53[i] * H61[i] * L2 + H17[i] * H25
[i] * H51[i] * H72[i] * L2 - H17[i] * H25[i] * H52[i] * H71[i] * L2 - H15[i]
* H37[i] * H51[i] * H73[i] * L2 + H15[i] * H37[i] * H53[i] * H71[i] * L2 -
H16[i] * H27[i] * H61[i] * H72[i] * L2 + H16[i] * H27[i] * H62[i] * H71[i] *
L2 + H17[i] * H26[i] * H61[i] * H72[i] * L2 - H17[i] * H26[i] * H62[i] * H71[
i] * L2 + H17[i] * H35[i] * H51[i] * H73[i] * L2 - H17[i] * H35[i] * H53[i] *
H71[i] * L2 - H25[i] * H36[i] * H52[i] * H63[i] * L2 + H25[i] * H36[i] * H53
[i] * H62[i] * L2 + H26[i] * H35[i] * H52[i] * H63[i] * L2 - H26[i] * H35[i]
* H53[i] * H62[i] * L2 - H16[i] * H37[i] * H61[i] * H73[i] * L2 + H16[i] *
H37[i] * H63[i] * H71[i] * L2 + H17[i] * H36[i] * H61[i] * H73[i] * L2 - H17[
i] * H36[i] * H63[i] * H71[i] * L2 - H25[i] * H37[i] * H52[i] * H73[i] * L2 +
H25[i] * H37[i] * H53[i] * H72[i] * L2 + H27[i] * H35[i] * H52[i] * H73[i] *
L2 - H27[i] * H35[i] * H53[i] * H72[i] * L2 - H26[i] * H37[i] * H62[i] * H73
[i] * L2 + H26[i] * H37[i] * H63[i] * H72[i] * L2 + H27[i] * H36[i] * H62[i]
* H73[i] * L2 - H27[i] * H36[i] * H63[i] * H72[i] * L2 - H11*H16[i] * H22*H37
[i] * H61[i] * H73[i] + H11*H16[i] * H22*H37[i] * H63[i] * H71[i] - H11*H16[i]
] * H27[i] * H33*H61[i] * H72[i] + H11*H16[i] * H27[i] * H33*H62[i] * H71[i]
+ H11*H17[i] * H22*H36[i] * H61[i] * H73[i] - H11*H17[i] * H22*H36[i] * H63[i]
] * H71[i] + H11*H17[i] * H26[i] * H33*H61[i] * H72[i] - H11*H17[i] * H26[i]
* H33*H62[i] * H71[i] - H11*H22*H25[i] * H37[i] * H52[i] * H73[i] + H11*H22*
H25[i] * H37[i] * H53[i] * H72[i] + H11*H22*H27[i] * H35[i] * H52[i] * H73[i]
- H11*H22*H27[i] * H35[i] * H53[i] * H72[i] - H11*H25[i] * H33*H36[i] * H52[
i] * H63[i] + H11*H25[i] * H33*H36[i] * H53[i] * H62[i] + H11*H26[i] * H33*
H35[i] * H52[i] * H63[i] - H11*H26[i] * H33*H35[i] * H53[i] * H62[i] - H15[i]
* H22*H27[i] * H33*H51[i] * H72[i] + H15[i] * H22*H27[i] * H33*H52[i] * H71[
i] - H15[i] * H22*H33*H36[i] * H51[i] * H63[i] + H15[i] * H22*H33*H36[i] *
H53[i] * H61[i] + H16[i] * H22*H33*H35[i] * H51[i] * H63[i] - H16[i] * H22*
H33*H35[i] * H53[i] * H61[i] + H17[i] * H22*H25[i] * H33*H51[i] * H72[i] -
H17[i] * H22*H25[i] * H33*H52[i] * H71[i] + H15[i] * H26[i] * H37[i] * H51[i]
* H62[i] * H73[i] - H15[i] * H26[i] * H37[i] * H51[i] * H63[i] * H72[i] -

```

Continúa en la siguiente página



```

] * H25[i] * H36[i] * H52[i] * H61[i] * H73[i] + H17[i] * H25[i] * H36[i] *
H52[i] * H63[i] * H71[i] + H17[i] * H25[i] * H36[i] * H53[i] * H61[i] * H72[i]
] - H17[i] * H25[i] * H36[i] * H53[i] * H62[i] * H71[i] - H17[i] * H26[i] *
H35[i] * H51[i] * H62[i] * H73[i] + H17[i] * H26[i] * H35[i] * H51[i] * H63[i]
] * H72[i] + H17[i] * H26[i] * H35[i] * H52[i] * H61[i] * H73[i] - H17[i] *
H26[i] * H35[i] * H52[i] * H63[i] * H71[i] - H17[i] * H26[i] * H35[i] * H53[i]
] * H61[i] * H72[i] + H17[i] * H26[i] * H35[i] * H53[i] * H62[i] * H71[i] -
dos*H11*H16[i] * H22*H33*H61[i] * L - dos*H11*H22*H25[i] * H33*H52[i] * L -
dos*H11*H17[i] * H22*H33*H71[i] * L - dos*H11*H22*H33*H35[i] * H53[i] * L -
dos*H11*H22*H27[i] * H33*H72[i] * L - dos*H11*H22*H33*H36[i] * H63[i] * L +
H11*H16[i] * H27[i] * H61[i] * H72[i] * L - H11*H16[i] * H27[i] * H62[i] *
H71[i] * L - H11*H17[i] * H26[i] * H61[i] * H72[i] * L + H11*H17[i] * H26[i]
] * H62[i] * H71[i] * L + H11*H25[i] * H36[i] * H52[i] * H63[i] * L - H11*H25[i]
] * H36[i] * H53[i] * H62[i] * L - H11*H26[i] * H35[i] * H52[i] * H63[i] * L
+ H11*H26[i] * H35[i] * H53[i] * H62[i] * L + H15[i] * H22*H27[i] * H51[i] *
H72[i] * L - H15[i] * H22*H27[i] * H52[i] * H71[i] * L + H15[i] * H22*H36[i]
] * H51[i] * H63[i] * L - H15[i] * H22*H36[i] * H53[i] * H61[i] * L + dos*H15[i]
] * H26[i] * H33*H51[i] * H62[i] * L - dos*H15[i] * H26[i] * H33*H52[i] * H61
[i] * L - H16[i] * H22*H35[i] * H51[i] * H63[i] * L + H16[i] * H22*H35[i] *
H53[i] * H61[i] * L - dos*H16[i] * H25[i] * H33*H51[i] * H62[i] * L + dos*H16
[i] * H25[i] * H33*H52[i] * H61[i] * L - H17[i] * H22*H25[i] * H51[i] * H72[i]
] * L + H17[i] * H22*H25[i] * H52[i] * H71[i] * L + H11*H16[i] * H37[i] * H61
[i] * H73[i] * L - H11*H16[i] * H37[i] * H63[i] * H71[i] * L - H11*H17[i] *
H36[i] * H61[i] * H73[i] * L + H11*H17[i] * H36[i] * H63[i] * H71[i] * L +
H11*H25[i] * H37[i] * H52[i] * H73[i] * L - H11*H25[i] * H37[i] * H53[i] *
H72[i] * L - H11*H27[i] * H35[i] * H52[i] * H73[i] * L + H11*H27[i] * H35[i]
] * H53[i] * H72[i] * L + dos*H15[i] * H22*H37[i] * H51[i] * H73[i] * L - dos*
H15[i] * H22*H37[i] * H53[i] * H71[i] * L + H15[i] * H27[i] * H33*H51[i] *
H72[i] * L - H15[i] * H27[i] * H33*H52[i] * H71[i] * L + H15[i] * H33*H36[i]
] * H51[i] * H63[i] * L - H15[i] * H33*H36[i] * H53[i] * H61[i] * L - H16[i] *
H33*H35[i] * H51[i] * H63[i] * L + H16[i] * H33*H35[i] * H53[i] * H61[i] * L -
dos*H17[i] * H22*H35[i] * H51[i] * H73[i] * L + dos*H17[i] * H22*H35[i] *
H53[i] * H71[i] * L - H17[i] * H25[i] * H33*H51[i] * H72[i] * L + H17[i] *
H25[i] * H33*H52[i] * H71[i] * L + dos*H11*H26[i] * H37[i] * H62[i] * H73[i]
] * L - dos*H11*H26[i] * H37[i] * H63[i] * H72[i] * L - dos*H11*H27[i] * H36[i]
] * H62[i] * H73[i] * L + dos*H11*H27[i] * H36[i] * H63[i] * H72[i] * L + H16[i]
] * H22*H37[i] * H61[i] * H73[i] * L - H16[i] * H22*H37[i] * H63[i] * H71[i]
] * L + H16[i] * H27[i] * H33*H61[i] * H72[i] * L - H16[i] * H27[i] * H33*H62[i]
] * H71[i] * L - H17[i] * H22*H36[i] * H61[i] * H73[i] * L + H17[i] * H22*
H36[i] * H63[i] * H71[i] * L - H17[i] * H26[i] * H33*H61[i] * H72[i] * L +
H17[i] * H26[i] * H33*H62[i] * H71[i] * L + H22*H25[i] * H37[i] * H52[i] *
H73[i] * L - H22*H25[i] * H37[i] * H53[i] * H72[i] * L - H22*H27[i] * H35[i]
] * H52[i] * H73[i] * L + H22*H27[i] * H35[i] * H53[i] * H72[i] * L + H25[i] *
H33*H36[i] * H52[i] * H63[i] * L - H25[i] * H33*H36[i] * H53[i] * H62[i] * L -
H26[i] * H33*H35[i] * H52[i] * H63[i] * L + H26[i] * H33*H35[i] * H53[i] *
H62[i] * L);
denominador44 = (H44C - dos*H44*L + L2 - H48[i] * H84[i]);

vectordematrixk(k, vaux, i);
for (l = 0; l < 4; l++)
{
    for (j = 0; j < 4; j++)
    {
        if (l == 3 && j == 3)
        {
            resultado[3][3] = (1.0*numerador[l][j]) / denominador44;
        }
        else
        {
            resultado[l][j] = (1.0*numerador[l][j]) / denominador;
        }
        g[l][j] = resultado[l][j] * (polar(modulo, -escalar(r, vaux))) *
        pesos63[i] + g[l][j];
    }
}
}
}

```

Figura 4.40: Detalle de programación de la primera componente del tensor de Green, matriz 4.25. Para su cálculo se ha desarrollado una función analítica por el Anexo G. Las otras componentes del tensor se omiten por longitud.

```

6217 //Calculo Ebd
6218 void integraenlace1(int tam, double r[3], double devmatriz[3][3], double *k, double *
    pesos63, complex<double>H11, complex<double>H22, complex<double>H33, complex<double>
    H44, complex<double>*H15, complex<double>*H16, complex<double>*H17, complex<double>*
    H25, complex<double>*H26, complex<double>*H27, complex<double>*H35, complex<double>*
    H36, complex<double>*H37, complex<double>*H48, complex<double>*H51, complex<double>*
    H52, complex<double>*H53, complex<double>*H61, complex<double>*H62, complex<double>*
    H63, complex<double>*H71, complex<double>*H72, complex<double>*H73, complex<double>*
    H84)
6219 {
6220     /**
6221     \details Es la primera parte de la funcion que hace la integracion entre la
        Enlace. Para su realizacion se necesita el tensor del hamiltoniano
6222     *de segundo orden en su segunda derivada y las funciones de la transformada real
        de green. Dada las características de esta funcion se usa
6223     *para r01 - Ebsrd10d10 puesto que Ebsrd20d20 y Ebsrd30d30 se hacen por simetria,
        no obstante, siempre puede usarse para los demas terminos previa verificacion.
6224     \param tam Tamaño del numero de puntos de la zona de Brillouin
6225     \param r vector de distancia entre enlaces
6226     \param devmatriz Devolucion de la operacion
6227     \param k Zona de Brillouin
6228     \param pesos63 Pesos de la zona de Brillouin
6229     \param H11 Hamiltoniano de orden 0, Haa
6230     \param H22 Hamiltoniano de orden 0, Haa
6231     \param H33 Hamiltoniano de orden 0, Haa
6232     \param H44 Hamiltoniano de orden 0, Haa
6233     \param H15 Hamiltoniano de orden 0, Hab
6234     \param H16 Hamiltoniano de orden 0, Hab
6235     \param H17 Hamiltoniano de orden 0, Hab
6236     \param H25 Hamiltoniano de orden 0, Hab
6237     \param H26 Hamiltoniano de orden 0, Hab
6238     \param H27 Hamiltoniano de orden 0, Hab
6239     \param H35 Hamiltoniano de orden 0, Hab
6240     \param H36 Hamiltoniano de orden 0, Hab
6241     \param H37 Hamiltoniano de orden 0, Hab
6242     \param H48 Hamiltoniano de orden 0, Hab
6243     \param H51 Hamiltoniano de orden 0, Hba
6244     \param H52 Hamiltoniano de orden 0, Hba
6245     \param H53 Hamiltoniano de orden 0, Hba
6246     \param H61 Hamiltoniano de orden 0, Hba
6247     \param H62 Hamiltoniano de orden 0, Hba
6248     \param H63 Hamiltoniano de orden 0, Hba
6249     \param H71 Hamiltoniano de orden 0, Hba
6250     \param H72 Hamiltoniano de orden 0, Hba
6251     \param H73 Hamiltoniano de orden 0, Hba
6252     \param H84 Hamiltoniano de orden 0, Hba
6253     \return mdevuelta es el array de dimension 3x3 que se devuelve. Se hace por
        referencia.
6254     */
6255
6256     /**Calculo del tensor del hamiltoniano en su segunda derivada*/
6257
6258     /**Vector de posicion r01 negativo (se ejecuta en esta funcion) r01 positivo es
        el (argumento de la funcion). Es preciso para el argumento de la segunda
        derivada del hamiltoniano*/
6259     double rnegativo[3];
6260     escvec(-1, r, rnegativo);
6261
6262     /**Resultado de Habdrdr(1,1) con r01 negativo*/
6263     double mauxa11[3][3];
6264     /**Resultado de Habdrdr(1,2) con r01 negativo*/
6265     double mauxa12[3][3];
6266     /**Resultado de Habdrdr(1,3) con r01 negativo*/
6267     double mauxa13[3][3];
6268     /**Resultado de Habdrdr(1,4) con r01 negativo*/
6269     double mauxa14[3][3];
6270     /**Resultado de Habdrdr(2,1) con r01 negativo*/
6271     double mauxa21[3][3];
6272     /**Resultado de Habdrdr(2,2) con r01 negativo*/

```

Continúa en la siguiente página



```

6273     double mauxa22[3][3];
6274     /**Resultado de Habdrdr(2,3) con r01 negativo*/
6275     double mauxa23[3][3];
6276     /**Resultado de Habdrdr(2,4) con r01 negativo*/
6277     double mauxa24[3][3];
6278     /**Resultado de Habdrdr(3,1) con r01 negativo*/
6279     double mauxa31[3][3];
6280     /**Resultado de Habdrdr(3,2) con r01 negativo*/
6281     double mauxa32[3][3];
6282     /**Resultado de Habdrdr(3,3) con r01 negativo*/
6283     double mauxa33[3][3];
6284     /**Resultado de Habdrdr(3,4) con r01 negativo*/
6285     double mauxa34[3][3];
6286     /**Resultado de Habdrdr(4,1) con r01 negativo*/
6287     double mauxa41[3][3];
6288     /**Resultado de Habdrdr(4,2) con r01 negativo*/
6289     double mauxa42[3][3];
6290     /**Resultado de Habdrdr(4,3) con r01 negativo*/
6291     double mauxa43[3][3];
6292     /**Resultado de Habdrdr(4,4) con r01 negativo*/
6293     double mauxa44[3][3];
6294     /**Resultado de Habdrdr(1,1) con r01 positivo*/
6295     double mauxb11[3][3];
6296     /**Resultado de Habdrdr(1,2) con r01 positivo*/
6297     double mauxb12[3][3];
6298     /**Resultado de Habdrdr(1,3) con r01 positivo*/
6299     double mauxb13[3][3];
6300     /**Resultado de Habdrdr(1,4) con r01 positivo*/
6301     double mauxb14[3][3];
6302     /**Resultado de Habdrdr(2,1) con r01 positivo*/
6303     double mauxb21[3][3];
6304     /**Resultado de Habdrdr(2,2) con r01 positivo*/
6305     double mauxb22[3][3];
6306     /**Resultado de Habdrdr(2,3) con r01 positivo*/
6307     double mauxb23[3][3];
6308     /**Resultado de Habdrdr(2,4) con r01 positivo*/
6309     double mauxb24[3][3];
6310     /**Resultado de Habdrdr(3,1) con r01 positivo*/
6311     double mauxb31[3][3];
6312     /**Resultado de Habdrdr(3,2) con r01 positivo*/
6313     double mauxb32[3][3];
6314     /**Resultado de Habdrdr(3,3) con r01 positivo*/
6315     double mauxb33[3][3];
6316     /**Resultado de Habdrdr(3,4) con r01 positivo*/
6317     double mauxb34[3][3];
6318     /**Resultado de Habdrdr(4,1) con r01 positivo*/
6319     double mauxb41[3][3];
6320     /**Resultado de Habdrdr(4,2) con r01 positivo*/
6321     double mauxb42[3][3];
6322     /**Resultado de Habdrdr(4,3) con r01 positivo*/
6323     double mauxb43[3][3];
6324     /**Resultado de Habdrdr(4,4) con r01 positivo*/
6325     double mauxb44[3][3];
6326
6327     H15drdr(rnegativo, mauxa11);
6328     H16drdr(rnegativo, mauxa12);
6329     H17drdr(rnegativo, mauxa13);
6330     H18drdr(rnegativo, mauxa14);
6331     H25drdr(rnegativo, mauxa21);
6332     H26drdr(rnegativo, mauxa22);
6333     H27drdr(rnegativo, mauxa23);
6334     H28drdr(rnegativo, mauxa24);
6335     H35drdr(rnegativo, mauxa31);
6336     H36drdr(rnegativo, mauxa32);
6337     H37drdr(rnegativo, mauxa33);
6338     H38drdr(rnegativo, mauxa34);
6339     H45drdr(rnegativo, mauxa41);
6340     H46drdr(rnegativo, mauxa42);
6341     H47drdr(rnegativo, mauxa43);

```

Continúa en la siguiente página

```

6342     H48drdr(rnegativo, mauxa44);
6343
6344     H15drdr(r, mauxb11);
6345     H16drdr(r, mauxb12);
6346     H17drdr(r, mauxb13);
6347     H18drdr(r, mauxb14);
6348     H25drdr(r, mauxb21);
6349     H26drdr(r, mauxb22);
6350     H27drdr(r, mauxb23);
6351     H28drdr(r, mauxb24);
6352     H35drdr(r, mauxb31);
6353     H36drdr(r, mauxb32);
6354     H37drdr(r, mauxb33);
6355     H38drdr(r, mauxb34);
6356     H45drdr(r, mauxb41);
6357     H46drdr(r, mauxb42);
6358     H47drdr(r, mauxb43);
6359     H48drdr(r, mauxb44);
6360
6361     /**Calculo de la integral*/
6362
6363     /**Resultado de la integral Gab(1,1)*/
6364     double a11 = 0;
6365     /**Resultado de la integral Gab(1,2)*/
6366     double a12 = 0;
6367     /**Resultado de la integral Gab(1,3)*/
6368     double a13 = 0;
6369     /**Resultado de la integral Gab(1,4)*/
6370     double a14 = 0;
6371     /**Resultado de la integral Gab(2,1)*/
6372     double a21 = 0;
6373     /**Resultado de la integral Gab(2,2)*/
6374     double a22 = 0;
6375     /**Resultado de la integral Gab(2,3)*/
6376     double a23 = 0;
6377     /**Resultado de la integral Gab(2,4)*/
6378     double a24 = 0;
6379     /**Resultado de la integral Gab(3,1)*/
6380     double a31 = 0;
6381     /**Resultado de la integral Gab(3,2)*/
6382     double a32 = 0;
6383     /**Resultado de la integral Gab(3,3)*/
6384     double a33 = 0;
6385     /**Resultado de la integral Gab(3,4)*/
6386     double a34 = 0;
6387     /**Resultado de la integral Gab(4,1)*/
6388     double a41 = 0;
6389     /**Resultado de la integral Gab(4,2)*/
6390     double a42 = 0;
6391     /**Resultado de la integral Gab(4,3)*/
6392     double a43 = 0;
6393     /**Resultado de la integral Gab(4,4)*/
6394     double a44 = 0;
6395     /**Resultado de la integral Gba(1,1)*/
6396     double b11 = 0;
6397     /**Resultado de la integral Gba(1,2)*/
6398     double b12 = 0;
6399     /**Resultado de la integral Gba(1,3)*/
6400     double b13 = 0;
6401     /**Resultado de la integral Gba(1,4)*/
6402     double b14 = 0;
6403     /**Resultado de la integral Gba(2,1)*/
6404     double b21 = 0;
6405     /**Resultado de la integral Gba(2,2)*/
6406     double b22 = 0;
6407     /**Resultado de la integral Gba(2,3)*/
6408     double b23 = 0;
6409     /**Resultado de la integral Gba(2,4)*/
6410     double b24 = 0;

```

Continúa en la siguiente página

```

6411     /**Resultado de la integral Gba(3,1)*/
6412     double b31 = 0;
6413     /**Resultado de la integral Gba(3,2)*/
6414     double b32 = 0;
6415     /**Resultado de la integral Gba(3,3)*/
6416     double b33 = 0;
6417     /**Resultado de la integral Gba(3,4)*/
6418     double b34 = 0;
6419     /**Resultado de la integral Gba(4,1)*/
6420     double b41 = 0;
6421     /**Resultado de la integral Gba(4,2)*/
6422     double b42 = 0;
6423     /**Resultado de la integral Gba(4,3)*/
6424     double b43 = 0;
6425     /**Resultado de la integral Gba(4,4)*/
6426     double b44 = 0;
6427
6428     /**Esta matriz almacenaran las operaciones que se hagan con las funciones de la
6429     transformada real de green. Gab*/
6430     complex<double> gab[4][4];
6431     /**Esta matriz almacenaran las operaciones que se hagan con las funciones de la
6432     transformada real de green. Gba*/
6433     complex<double> gba[4][4];
6434
6435     /**Limite inferior de la integral. Si queremos el infinito numerico usar DBL_MAX
6436     O FLT_MAX con SIGNO NEGATIVO */
6437     complex<double> L(-63, 0.05);
6438     /**Limite superior de la integral*/
6439     double Efermi = 3.71;
6440     /**Paso de la integral*/
6441     double dx = 0.01;
6442
6443     /**La integral se realiza por el metodo de los rectangulos*/
6444     for (; real(L) < Efermi; L = L + dx)
6445     {
6446         Gab(tam, r, gab, k, pesos63, L, H11, H22, H33, H44, H15, H16, H17, H25, H26,
6447         H27, H35, H36, H37, H48, H51, H52, H53, H61, H62, H63, H71, H72, H73, H84);
6448         //Gba se puede calcular
6449         //1 de forma exacta utilizando su funcion
6450         //Gba(tam, rnegativo, gba, k, pesos63, L, H11, H22, H33, H44, H15, H16, H17,
6451         H25, H26, H27, H35, H36, H37, H48, H51, H52, H53, H61, H62, H63, H71, H72,
6452         H73, H84);
6453         //2 de forma aproximada
6454         auxiliarintegraenlace1(gab, gba);
6455         //3 de forma exacta utilizando los componentes iguales de Gab en Gba
6456         //auxiliarintegraenlace2(tam, rnegativo, gab, gba, k, pesos63, L, H11, H22,
6457         H33, H44, H15, H16, H17, H25, H26, H27, H35, H36, H37, H48, H51, H52, H53,
6458         H61, H62, H63, H71, H72, H73, H84);
6459
6460         a11 = imag(gab[0][0])*dx + a11;
6461         a12 = imag(gab[0][1])*dx + a12;
6462         a13 = imag(gab[0][2])*dx + a13;
6463         a14 = imag(gab[0][3])*dx + a14;
6464         a21 = imag(gab[1][0])*dx + a21;
6465         a22 = imag(gab[1][1])*dx + a22;
6466         a23 = imag(gab[1][2])*dx + a23;
6467         a24 = imag(gab[1][3])*dx + a24;
6468         a31 = imag(gab[2][0])*dx + a31;
6469         a32 = imag(gab[2][1])*dx + a32;
6470         a33 = imag(gab[2][2])*dx + a33;
6471         a34 = imag(gab[2][3])*dx + a34;
6472         a41 = imag(gab[3][0])*dx + a41;
6473         a42 = imag(gab[3][1])*dx + a42;
6474         a43 = imag(gab[3][2])*dx + a43;
6475         a44 = imag(gab[3][3])*dx + a44;

```

Continúa en la siguiente página

```

6472     b11 = imag(gba[0][0])*dx + b11;
6473     b12 = imag(gba[0][1])*dx + b12;
6474     b13 = imag(gba[0][2])*dx + b13;
6475     b14 = imag(gba[0][3])*dx + b14;
6476     b21 = imag(gba[1][0])*dx + b21;
6477     b22 = imag(gba[1][1])*dx + b22;
6478     b23 = imag(gba[1][2])*dx + b23;
6479     b24 = imag(gba[1][3])*dx + b24;
6480     b31 = imag(gba[2][0])*dx + b31;
6481     b32 = imag(gba[2][1])*dx + b32;
6482     b33 = imag(gba[2][2])*dx + b33;
6483     b34 = imag(gba[2][3])*dx + b34;
6484     b41 = imag(gba[3][0])*dx + b41;
6485     b42 = imag(gba[3][1])*dx + b42;
6486     b43 = imag(gba[3][2])*dx + b43;
6487     b44 = imag(gba[3][3])*dx + b44;
6488
6489     //cout << L << " con dx" << dx << endl;
6490 }
6491 //cout << " Fuera del bucle" << endl; //Controla la salida del bucle integral
6492
6493 /**Multiplicacion de cada integral por su tensor del hamiltoniano en su segunda
    derivada*/
6494
6495     escmat(a11, mauxa11, mauxa11);
6496     escmat(a12, mauxa21, mauxa21);
6497     escmat(a13, mauxa31, mauxa31);
6498     escmat(a14, mauxa41, mauxa41);
6499     escmat(a21, mauxa12, mauxa12);
6500     escmat(a22, mauxa22, mauxa22);
6501     escmat(a23, mauxa32, mauxa32);
6502     escmat(a24, mauxa42, mauxa42);
6503     escmat(a31, mauxa13, mauxa13);
6504     escmat(a32, mauxa23, mauxa23);
6505     escmat(a33, mauxa33, mauxa33);
6506     escmat(a34, mauxa43, mauxa43);
6507     escmat(a41, mauxa14, mauxa14);
6508     escmat(a42, mauxa24, mauxa24);
6509     escmat(a43, mauxa34, mauxa34);
6510     escmat(a44, mauxa44, mauxa44);
6511
6512     escmat(b11, mauxb11, mauxb11);
6513     escmat(b12, mauxb21, mauxb21);
6514     escmat(b13, mauxb31, mauxb31);
6515     escmat(b14, mauxb41, mauxb41);
6516     escmat(b21, mauxb12, mauxb12);
6517     escmat(b22, mauxb22, mauxb22);
6518     escmat(b23, mauxb32, mauxb32);
6519     escmat(b24, mauxb42, mauxb42);
6520     escmat(b31, mauxb13, mauxb13);
6521     escmat(b32, mauxb23, mauxb23);
6522     escmat(b33, mauxb33, mauxb33);
6523     escmat(b34, mauxb43, mauxb43);
6524     escmat(b41, mauxb14, mauxb14);
6525     escmat(b42, mauxb24, mauxb24);
6526     escmat(b43, mauxb34, mauxb34);
6527     escmat(b44, mauxb44, mauxb44);
6528     /**Suma total de las 32 matrices para devolver el parametro devmatriz*/
6529     int i, j;
6530     for (i = 0; i < 3; i++)
6531     {
6532         for (j = 0; j < 3; j++)
6533         {
6534             devmatriz[i][j] = mauxa11[i][j] + mauxa12[i][j] + mauxa13[i][j] + mauxa14
                [i][j] + mauxa21[i][j] + mauxa22[i][j] + mauxa23[i][j] + mauxa24[i][j] +
                mauxa31[i][j] + mauxa32[i][j] + mauxa33[i][j] + mauxa34[i][j] + mauxa41[i
                ][j] + mauxa42[i][j] + mauxa43[i][j] + mauxa44[i][j] + mauxb11[i][j] +
                mauxb12[i][j] + mauxb13[i][j] + mauxb14[i][j] + mauxb21[i][j] + mauxb22[i
                ][j] + mauxb23[i][j] + mauxb24[i][j] + mauxb31[i][j] + mauxb32[i][j] +
                mauxb33[i][j] + mauxb34[i][j] + mauxb41[i][j] + mauxb42[i][j] + mauxb43[i
                ][j] + mauxb44[i][j];
6535         }
6536     }
6537     escmat(-2 / PI, devmatriz, devmatriz);
6538 }

```

Figura 4.41: Detalle de programación de la segunda derivada de la energía de bandas.

Ecuación 4.26



```

6539 void integraenlace2(int tam, double rhGbbPa[3], double rGbbPa[3], double rhGaabaPab2[
3], double rGaaPa[3], double rGbaPb2[3], double rhGbaPb1[3], double rGbaPb1[3],
double devmatriz[3][3], double *k, double *pesos63, complex<double>H11, complex<
double>H22, complex<double>H33, complex<double>H44, complex<double>*H15, complex<
double>*H16, complex<double>*H17, complex<double>*H25, complex<double>*H26, complex<
double>*H27, complex<double>*H35, complex<double>*H36, complex<double>*H37, complex<
double>*H48, complex<double>*H51, complex<double>*H52, complex<double>*H53, complex<
double>*H61, complex<double>*H62, complex<double>*H63, complex<double>*H71, complex<
double>*H72, complex<double>*H73, complex<double>*H84)
6540 {
6541     /**
6542         \details Es la segunda parte de la funcion que hace la integracion entre la
Eenlace. Para su realizacion se necesita el tensor del hamiltoniano
6543         *de primer orden en su primera derivada y las funciones de la transformada real
de green.
6544         *Esta funcion realiza en el mismo bloque las dos partes A y B que se necesitan
para calcular la segunda derivada de la energia de enlace.
6545         *La parte A se corresponde a Hab-Gbb y Hab-Gaa y la parte B se corresponde a
Hab-Gba1 y Hab-Gba2 . Cada uno de estos tensores reciben unos vectores diferentes
6546         \param tam Tamaño del numero de puntos de la zona de Brillouin
6547         \param rhGbbPa Vector para el hamiltoniano que acompaña a Gbb (parte A)
6548         \param rGbbPa Vector para Gbb (Parte A)
6549         \param rhGaabaPab2 Vector para el hamiltoniano que acompaña a Gaa de la parte A
y a GbaPb2 de la parte B
6550         \param rGaaPa Vector para Gaa (Parte A)
6551         \param rGbaPb2 Vector Gba (parte B). Utiliza a rhGaabaPab2
6552         \param rhGbaPb1 Vector para el hamiltoniano que acompaña a GbaPb1 (parte B)
6553         \param rGbaPb1 Vector Gba (parte B)
6554         \param devmatriz Devolucion de la operacion
6555         \param k Zona de Brillouin
6556         \param pesos63 Pesos de la zona de Brillouin
6557         \param H11 Hamiltoniano de orden 0, Haa
6558         \param H22 Hamiltoniano de orden 0, Haa
6559         \param H33 Hamiltoniano de orden 0, Haa
6560         \param H44 Hamiltoniano de orden 0, Haa
6561         \param H15 Hamiltoniano de orden 0, Hab
6562         \param H16 Hamiltoniano de orden 0, Hab
6563         \param H17 Hamiltoniano de orden 0, Hab
6564         \param H25 Hamiltoniano de orden 0, Hab
6565         \param H26 Hamiltoniano de orden 0, Hab
6566         \param H27 Hamiltoniano de orden 0, Hab
6567         \param H35 Hamiltoniano de orden 0, Hab
6568         \param H36 Hamiltoniano de orden 0, Hab
6569         \param H37 Hamiltoniano de orden 0, Hab
6570         \param H48 Hamiltoniano de orden 0, Hab
6571         \param H51 Hamiltoniano de orden 0, Hba
6572         \param H52 Hamiltoniano de orden 0, Hba
6573         \param H53 Hamiltoniano de orden 0, Hba
6574         \param H61 Hamiltoniano de orden 0, Hba
6575         \param H62 Hamiltoniano de orden 0, Hba
6576         \param H63 Hamiltoniano de orden 0, Hba
6577         \param H71 Hamiltoniano de orden 0, Hba
6578         \param H72 Hamiltoniano de orden 0, Hba
6579         \param H73 Hamiltoniano de orden 0, Hba
6580         \param H84 Hamiltoniano de orden 0, Hba
6581         \return mdevuelta es el array de dimension 3x3 que se devuelve. Se hace por
referencia.
6582         */
6583
6584
6585
6586         /**Resultado de Habdr(1,1) con rhGbbPa*/
6587         double h15GbbPa[3];
6588         /**Resultado de Habdr(1,1) con rhGbbPa*/
6589         double h16GbbPa[3];
6590         /**Resultado de Habdr(1,1) con rhGbbPa*/
6591         double h17GbbPa[3];
6592         /**Resultado de Habdr(1,1) con rhGbbPa*/
6593         double h18GbbPa[3];

```

Continúa en la siguiente página

```

6594     /**Resultado de Habdr(2,1) con rhGbbPa*/
6595     double h25GbbPa[3];
6596     /**Resultado de Habdr(2,2) con rhGbbPa*/
6597     double h26GbbPa[3];
6598     /**Resultado de Habdr(2,3) con rhGbbPa*/
6599     double h27GbbPa[3];
6600     /**Resultado de Habdr(2,4) con rhGbbPa*/
6601     double h28GbbPa[3];
6602     /**Resultado de Habdr(3,1) con rhGbbPa*/
6603     double h35GbbPa[3];
6604     /**Resultado de Habdr(3,2) con rhGbbPa*/
6605     double h36GbbPa[3];
6606     /**Resultado de Habdr(3,3) con rhGbbPa*/
6607     double h37GbbPa[3];
6608     /**Resultado de Habdr(3,4) con rhGbbPa*/
6609     double h38GbbPa[3];
6610     /**Resultado de Habdr(4,1) con rhGbbPa*/
6611     double h45GbbPa[3];
6612     /**Resultado de Habdr(4,2) con rhGbbPa*/
6613     double h46GbbPa[3];
6614     /**Resultado de Habdr(4,3) con rhGbbPa*/
6615     double h47GbbPa[3];
6616     /**Resultado de Habdr(4,4) con rhGbbPa*/
6617     double h48GbbPa[3];
6618     /**Resultado de Habdr(1,1) con rhGaabaPab2*/
6619     double h15GaabaPab[3];
6620     /**Resultado de Habdr(1,2) con rhGaabaPab2*/
6621     double h16GaabaPab[3];
6622     /**Resultado de Habdr(1,3) con rhGaabaPab2*/
6623     double h17GaabaPab[3];
6624     /**Resultado de Habdr(1,4) con rhGaabaPab2*/
6625     double h18GaabaPab[3];
6626     /**Resultado de Habdr(2,1) con rhGaabaPab2*/
6627     double h25GaabaPab[3];
6628     /**Resultado de Habdr(2,2) con rhGaabaPab2*/
6629     double h26GaabaPab[3];
6630     /**Resultado de Habdr(2,3) con rhGaabaPab2*/
6631     double h27GaabaPab[3];
6632     /**Resultado de Habdr(2,4) con rhGaabaPab2*/
6633     double h28GaabaPab[3];
6634     /**Resultado de Habdr(3,1) con rhGaabaPab2*/
6635     double h35GaabaPab[3];
6636     /**Resultado de Habdr(3,2) con rhGaabaPab2*/
6637     double h36GaabaPab[3];
6638     /**Resultado de Habdr(3,3) con rhGaabaPab2*/
6639     double h37GaabaPab[3];
6640     /**Resultado de Habdr(3,4) con rhGaabaPab2*/
6641     double h38GaabaPab[3];
6642     /**Resultado de Habdr(4,1) con rhGaabaPab2*/
6643     double h45GaabaPab[3];
6644     /**Resultado de Habdr(4,2) con rhGaabaPab2*/
6645     double h46GaabaPab[3];
6646     /**Resultado de Habdr(4,3) con rhGaabaPab2*/
6647     double h47GaabaPab[3];
6648     /**Resultado de Habdr(4,4) con rhGaabaPab2*/
6649     double h48GaabaPab[3];
6650     /**Resultado de Habdr(1,1) con rhGbaPb1*/
6651     double h15GbaPb[3];
6652     /**Resultado de Habdr(1,2) con rhGbaPb1*/
6653     double h16GbaPb[3];
6654     /**Resultado de Habdr(1,3) con rhGbaPb1*/
6655     double h17GbaPb[3];
6656     /**Resultado de Habdr(1,4) con rhGbaPb1*/
6657     double h18GbaPb[3];
6658     /**Resultado de Habdr(2,1) con rhGbaPb1*/
6659     double h25GbaPb[3];
6660     /**Resultado de Habdr(2,2) con rhGbaPb1*/
6661     double h26GbaPb[3];
6662     /**Resultado de Habdr(2,3) con rhGbaPb1*/

```

Continúa en la siguiente página

```

6663     double h27GbaPb[3];
6664     /**Resultado de Habdr(2,4) con rhGbaPb1*/
6665     double h28GbaPb[3];
6666     /**Resultado de Habdr(3,1) con rhGbaPb1*/
6667     double h35GbaPb[3];
6668     /**Resultado de Habdr(3,2) con rhGbaPb1*/
6669     double h36GbaPb[3];
6670     /**Resultado de Habdr(3,3) con rhGbaPb1*/
6671     double h37GbaPb[3];
6672     /**Resultado de Habdr(3,4) con rhGbaPb1*/
6673     double h38GbaPb[3];
6674     /**Resultado de Habdr(4,1) con rhGbaPb1*/
6675     double h45GbaPb[3];
6676     /**Resultado de Habdr(4,2) con rhGbaPb1*/
6677     double h46GbaPb[3];
6678     /**Resultado de Habdr(4,3) con rhGbaPb1*/
6679     double h47GbaPb[3];
6680     /**Resultado de Habdr(4,4) con rhGbaPb1*/
6681     double h48GbaPb[3];
6682
6683
6684
6685     H15dr(rhGbbPa, h15GbbPa);
6686     H16dr(rhGbbPa, h16GbbPa);
6687     H17dr(rhGbbPa, h17GbbPa);
6688     H18dr(rhGbbPa, h18GbbPa);
6689     H25dr(rhGbbPa, h25GbbPa);
6690     H26dr(rhGbbPa, h26GbbPa);
6691     H27dr(rhGbbPa, h27GbbPa);
6692     H28dr(rhGbbPa, h28GbbPa);
6693     H35dr(rhGbbPa, h35GbbPa);
6694     H36dr(rhGbbPa, h36GbbPa);
6695     H37dr(rhGbbPa, h37GbbPa);
6696     H38dr(rhGbbPa, h38GbbPa);
6697     H45dr(rhGbbPa, h45GbbPa);
6698     H46dr(rhGbbPa, h46GbbPa);
6699     H47dr(rhGbbPa, h47GbbPa);
6700     H48dr(rhGbbPa, h48GbbPa);
6701     H15dr(rhGaabaPab2, h15GaabaPab);
6702     H16dr(rhGaabaPab2, h16GaabaPab);
6703     H17dr(rhGaabaPab2, h17GaabaPab);
6704     H18dr(rhGaabaPab2, h18GaabaPab);
6705     H25dr(rhGaabaPab2, h25GaabaPab);
6706     H26dr(rhGaabaPab2, h26GaabaPab);
6707     H27dr(rhGaabaPab2, h27GaabaPab);
6708     H28dr(rhGaabaPab2, h28GaabaPab);
6709     H35dr(rhGaabaPab2, h35GaabaPab);
6710     H36dr(rhGaabaPab2, h36GaabaPab);
6711     H37dr(rhGaabaPab2, h37GaabaPab);
6712     H38dr(rhGaabaPab2, h38GaabaPab);
6713     H45dr(rhGaabaPab2, h45GaabaPab);
6714     H46dr(rhGaabaPab2, h46GaabaPab);
6715     H47dr(rhGaabaPab2, h47GaabaPab);
6716     H48dr(rhGaabaPab2, h48GaabaPab);
6717     escvec(-1, h15GaabaPab, h15GaabaPab);
6718     escvec(-1, h16GaabaPab, h16GaabaPab);
6719     escvec(-1, h17GaabaPab, h17GaabaPab);
6720     escvec(-1, h18GaabaPab, h18GaabaPab);
6721     escvec(-1, h25GaabaPab, h25GaabaPab);
6722     escvec(-1, h26GaabaPab, h26GaabaPab);
6723     escvec(-1, h27GaabaPab, h27GaabaPab);
6724     escvec(-1, h28GaabaPab, h28GaabaPab);
6725     escvec(-1, h35GaabaPab, h35GaabaPab);
6726     escvec(-1, h36GaabaPab, h36GaabaPab);
6727     escvec(-1, h37GaabaPab, h37GaabaPab);
6728     escvec(-1, h38GaabaPab, h38GaabaPab);
6729     escvec(-1, h45GaabaPab, h45GaabaPab);
6730     escvec(-1, h46GaabaPab, h46GaabaPab);
6731     escvec(-1, h47GaabaPab, h47GaabaPab);

```

Continúa en la siguiente página

```

6732     escvec(-1, h48GaabaPab, h48GaabaPab);
6733     H15dr(rhGbaPb1, h15GbaPb);
6734     H16dr(rhGbaPb1, h16GbaPb);
6735     H17dr(rhGbaPb1, h17GbaPb);
6736     H18dr(rhGbaPb1, h18GbaPb);
6737     H25dr(rhGbaPb1, h25GbaPb);
6738     H26dr(rhGbaPb1, h26GbaPb);
6739     H27dr(rhGbaPb1, h27GbaPb);
6740     H28dr(rhGbaPb1, h28GbaPb);
6741     H35dr(rhGbaPb1, h35GbaPb);
6742     H36dr(rhGbaPb1, h36GbaPb);
6743     H37dr(rhGbaPb1, h37GbaPb);
6744     H38dr(rhGbaPb1, h38GbaPb);
6745     H45dr(rhGbaPb1, h45GbaPb);
6746     H46dr(rhGbaPb1, h46GbaPb);
6747     H47dr(rhGbaPb1, h47GbaPb);
6748     H48dr(rhGbaPb1, h48GbaPb);
6749     escvec(-1, h15GbaPb, h15GbaPb);
6750     escvec(-1, h16GbaPb, h16GbaPb);
6751     escvec(-1, h17GbaPb, h17GbaPb);
6752     escvec(-1, h18GbaPb, h18GbaPb);
6753     escvec(-1, h25GbaPb, h25GbaPb);
6754     escvec(-1, h26GbaPb, h26GbaPb);
6755     escvec(-1, h27GbaPb, h27GbaPb);
6756     escvec(-1, h28GbaPb, h28GbaPb);
6757     escvec(-1, h35GbaPb, h35GbaPb);
6758     escvec(-1, h36GbaPb, h36GbaPb);
6759     escvec(-1, h37GbaPb, h37GbaPb);
6760     escvec(-1, h38GbaPb, h38GbaPb);
6761     escvec(-1, h45GbaPb, h45GbaPb);
6762     escvec(-1, h46GbaPb, h46GbaPb);
6763     escvec(-1, h47GbaPb, h47GbaPb);
6764     escvec(-1, h48GbaPb, h48GbaPb);
6765
6766     /**Crea el tensor de Hdr para Gbb, cada elemento de esta matriz apunta a un
vector*/
6767     double *HGbbPa[4][4];
6768     /**Crea el tensor de Hdr para Gaa (parte a) y Gba2 (parte B), cada elemento de
esta matriz apunta a un vector*/
6769     double *HGaabaPab[4][4];
6770     /**Crea el tensor Hdr para Gba1 (parte B), cada elemento de esta matriz apunta a
un vector*/
6771     double *HGbaPb[4][4];
6772
6773     HGbbPa[0][0] = h15GbbPa;
6774     HGbbPa[0][1] = h16GbbPa;
6775     HGbbPa[0][2] = h17GbbPa;
6776     HGbbPa[0][3] = h18GbbPa;
6777     HGbbPa[1][0] = h25GbbPa;
6778     HGbbPa[1][1] = h26GbbPa;
6779     HGbbPa[1][2] = h27GbbPa;
6780     HGbbPa[1][3] = h28GbbPa;
6781     HGbbPa[2][0] = h35GbbPa;
6782     HGbbPa[2][1] = h36GbbPa;
6783     HGbbPa[2][2] = h37GbbPa;
6784     HGbbPa[2][3] = h38GbbPa;
6785     HGbbPa[3][0] = h45GbbPa;
6786     HGbbPa[3][1] = h46GbbPa;
6787     HGbbPa[3][2] = h47GbbPa;
6788     HGbbPa[3][3] = h48GbbPa;
6789     HGaabaPab[0][0] = h15GaabaPab;
6790     HGaabaPab[0][1] = h16GaabaPab;
6791     HGaabaPab[0][2] = h17GaabaPab;
6792     HGaabaPab[0][3] = h18GaabaPab;
6793     HGaabaPab[1][0] = h25GaabaPab;
6794     HGaabaPab[1][1] = h26GaabaPab;
6795     HGaabaPab[1][2] = h27GaabaPab;
6796     HGaabaPab[1][3] = h28GaabaPab;
6797     HGaabaPab[2][0] = h35GaabaPab;

```

Continúa en la siguiente página



```

6798     HGaabaPab[2][1] = h36GaabaPab;
6799     HGaabaPab[2][2] = h37GaabaPab;
6800     HGaabaPab[2][3] = h38GaabaPab;
6801     HGaabaPab[3][0] = h45GaabaPab;
6802     HGaabaPab[3][1] = h46GaabaPab;
6803     HGaabaPab[3][2] = h47GaabaPab;
6804     HGaabaPab[3][3] = h48GaabaPab;
6805     HGbaPb[0][0] = h15GbaPb;
6806     HGbaPb[0][1] = h16GbaPb;
6807     HGbaPb[0][2] = h17GbaPb;
6808     HGbaPb[0][3] = h18GbaPb;
6809     HGbaPb[1][0] = h25GbaPb;
6810     HGbaPb[1][1] = h26GbaPb;
6811     HGbaPb[1][2] = h27GbaPb;
6812     HGbaPb[1][3] = h28GbaPb;
6813     HGbaPb[2][0] = h35GbaPb;
6814     HGbaPb[2][1] = h36GbaPb;
6815     HGbaPb[2][2] = h37GbaPb;
6816     HGbaPb[2][3] = h38GbaPb;
6817     HGbaPb[3][0] = h45GbaPb;
6818     HGbaPb[3][1] = h46GbaPb;
6819     HGbaPb[3][2] = h47GbaPb;
6820     HGbaPb[3][3] = h48GbaPb;
6821
6822
6823     //Recorridos de bucle para modulo operaciones
6824     int j, l;
6825     int p = 0;
6826     // Vectores auxiliares para el modulo de operaciones
6827     double v1[3], v2[3], v3[3], v4[3];
6828     double b1[3], b2[3], b3[3], b4[3];
6829     double t1[3], t2[3], t3[3], t4[3];
6830     limpiarvec(v1);
6831     limpiarvec(v2);
6832     limpiarvec(v3);
6833     limpiarvec(v4);
6834     limpiarvec(b1);
6835     limpiarvec(b2);
6836     limpiarvec(b3);
6837     limpiarvec(b4);
6838     limpiarvec(t1);
6839     limpiarvec(t2);
6840     limpiarvec(t3);
6841     limpiarvec(t4);
6842     //Matrices auxiliares para el modulo de operaciones
6843     double m1[3][3], m2[3][3];
6844     limpiarmat(m1);
6845     limpiarmat(m2);
6846
6847     /**Estas matrices almacenaran las operaciones que se hagan con las funciones de
6848     la transformada real de green*/
6849     /**Grealaa para rGaaPa*/
6850     complex<double> gaa[4][4];
6851     /**Grealbb para rGbbPa*/
6852     complex<double> gbb[4][4];
6853     /**Grealba para rGbaPb1*/
6854     complex<double> gbaPb1[4][4];
6855     /**Grealba para rGbaPb2*/
6856     complex<double> gbaPb2[4][4];
6857
6858
6859     //Integral
6860
6861     /**Limite inferior de la integral. Si queremos el infinito numerico usar DBL_MAX
6862     O FLT_MAX con SIGNO NEGATIVO */
6863     complex<double> L(-36, 0.05);
6864     /**Limite superior de la integral*/
6865     double Efermi = 3.71;

```

Continúa en la siguiente página

```

6865     /**Paso de la integral*/
6866     double dx = 0.01;
6867
6868     /**El resultado de la integral por cada iteracion del bucle se guarda en un
        componente de este vector. acum00: Parte A - resultado de la integral -
        componente 00*/
6869     double acum00[16] = { 0 };
6870     /**El resultado de la integral por cada iteracion del bucle se guarda en un
        componente de este vector. acum01: Parte A - resultado de la integral -
        componente 01*/
6871     double acum01[16] = { 0 };
6872     /**El resultado de la integral por cada iteracion del bucle se guarda en un
        componente de este vector. acum02: Parte A - resultado de la integral -
        componente 02*/
6873     double acum02[16] = { 0 };
6874     /**El resultado de la integral por cada iteracion del bucle se guarda en un
        componente de este vector. acum03: Parte A - resultado de la integral -
        componente 03*/
6875     double acum03[16] = { 0 };
6876     /**El resultado de la integral por cada iteracion del bucle se guarda en un
        componente de este vector. acum10: Parte A - resultado de la integral -
        componente 10*/
6877     double acum10[16] = { 0 };
6878     /**El resultado de la integral por cada iteracion del bucle se guarda en un
        componente de este vector. acum11: Parte A - resultado de la integral -
        componente 11*/
6879     double acum11[16] = { 0 };
6880     /**El resultado de la integral por cada iteracion del bucle se guarda en un
        componente de este vector. acum12: Parte A - resultado de la integral -
        componente 12*/
6881     double acum12[16] = { 0 };
6882     /**El resultado de la integral por cada iteracion del bucle se guarda en un
        componente de este vector. acum13: Parte A - resultado de la integral -
        componente 13*/
6883     double acum13[16] = { 0 };
6884     /**El resultado de la integral por cada iteracion del bucle se guarda en un
        componente de este vector. acum20: Parte A - resultado de la integral -
        componente 20*/
6885     double acum20[16] = { 0 };
6886     /**El resultado de la integral por cada iteracion del bucle se guarda en un
        componente de este vector. acum21: Parte A - resultado de la integral -
        componente 21*/
6887     double acum21[16] = { 0 };
6888     /**El resultado de la integral por cada iteracion del bucle se guarda en un
        componente de este vector. acum22: Parte A - resultado de la integral -
        componente 22*/
6889     double acum22[16] = { 0 };
6890     /**El resultado de la integral por cada iteracion del bucle se guarda en un
        componente de este vector. acum23: Parte A - resultado de la integral -
        componente 23*/
6891     double acum23[16] = { 0 };
6892     /**El resultado de la integral por cada iteracion del bucle se guarda en un
        componente de este vector. acum30: Parte A - resultado de la integral -
        componente 30*/
6893     double acum30[16] = { 0 };
6894     /**El resultado de la integral por cada iteracion del bucle se guarda en un
        componente de este vector. acum31: Parte A - resultado de la integral -
        componente 31*/
6895     double acum31[16] = { 0 };
6896     /**El resultado de la integral por cada iteracion del bucle se guarda en un
        componente de este vector. acum32: Parte A - resultado de la integral -
        componente 32*/
6897     double acum32[16] = { 0 };
6898     /**El resultado de la integral por cada iteracion del bucle se guarda en un
        componente de este vector. acum33: Parte A - resultado de la integral -
        componente 33*/
6899     double acum33[16] = { 0 };
6900     /**El resultado de la integral por cada iteracion del bucle se guarda en un
        componente de este vector. bcum00: Parte B - resultado de la integral -

```

Continúa en la siguiente página

```

6901     componente 00*/
6902     double bcum00[16] = { 0 };
6903     /**El resultado de la integral por cada iteracion del bucle se guarda en un
6904     componente de este vector. bcum01: Parte B - resultado de la integral -
        componente 01*/
6905     double bcum01[16] = { 0 };
6906     /**El resultado de la integral por cada iteracion del bucle se guarda en un
        componente de este vector. bcum02: Parte B - resultado de la integral -
        componente 02*/
6907     double bcum02[16] = { 0 };
6908     /**El resultado de la integral por cada iteracion del bucle se guarda en un
        componente de este vector. bcum03: Parte B - resultado de la integral -
        componente 03*/
6909     double bcum03[16] = { 0 };
6910     /**El resultado de la integral por cada iteracion del bucle se guarda en un
        componente de este vector. bcum10: Parte B - resultado de la integral -
        componente 10*/
6911     double bcum10[16] = { 0 };
6912     /**El resultado de la integral por cada iteracion del bucle se guarda en un
        componente de este vector. bcum11: Parte B - resultado de la integral -
        componente 11*/
6913     double bcum11[16] = { 0 };
6914     /**El resultado de la integral por cada iteracion del bucle se guarda en un
        componente de este vector. bcum12: Parte B - resultado de la integral -
        componente 12*/
6915     double bcum12[16] = { 0 };
6916     /**El resultado de la integral por cada iteracion del bucle se guarda en un
        componente de este vector. bcum13: Parte B - resultado de la integral -
        componente 13*/
6917     double bcum13[16] = { 0 };
6918     /**El resultado de la integral por cada iteracion del bucle se guarda en un
        componente de este vector. bcum20: Parte B - resultado de la integral -
        componente 20*/
6919     double bcum20[16] = { 0 };
6920     /**El resultado de la integral por cada iteracion del bucle se guarda en un
        componente de este vector. bcum21: Parte B - resultado de la integral -
        componente 21*/
6921     double bcum21[16] = { 0 };
6922     /**El resultado de la integral por cada iteracion del bucle se guarda en un
        componente de este vector. bcum22: Parte B - resultado de la integral -
        componente 22*/
6923     double bcum22[16] = { 0 };
6924     /**El resultado de la integral por cada iteracion del bucle se guarda en un
        componente de este vector. bcum23: Parte B - resultado de la integral -
        componente 23*/
6925     double bcum23[16] = { 0 };
6926     /**El resultado de la integral por cada iteracion del bucle se guarda en un
        componente de este vector. bcum30: Parte B - resultado de la integral -
        componente 30*/
6927     double bcum30[16] = { 0 };
6928     /**El resultado de la integral por cada iteracion del bucle se guarda en un
        componente de este vector. bcum31: Parte B - resultado de la integral -
        componente 31*/
6929     double bcum31[16] = { 0 };
6930     /**El resultado de la integral por cada iteracion del bucle se guarda en un
        componente de este vector. bcum32: Parte B - resultado de la integral -
        componente 32*/
6931     double bcum32[16] = { 0 };
6932     /**El resultado de la integral por cada iteracion del bucle se guarda en un
        componente de este vector. bcum33: Parte B - resultado de la integral -
        componente 33*/
6933     double bcum33[16] = { 0 };
6934
6935     for (; real(L) < Efermi; L = L + dx)
6936     {
6937         //cout << L << " con dx " << dx << endl;
6938         Gbb(tam, rGbbPa, gbb, k, pesos63, L, H11, H22, H33, H44, H15, H16, H17, H25,

```

Continúa en la siguiente página



```

H26, H27, H35, H36, H37, H48, H51, H52, H53, H61, H62, H63, H71, H72, H73,
H84);
6939 Gaa(tam, rGaaPa, gaa, k, pesos63, L, H11, H22, H33, H44, H15, H16, H17, H25,
H26, H27, H35, H36, H37, H48, H51, H52, H53, H61, H62, H63, H71, H72, H73,
H84);
6940 Gba(tam, rGbaPb1, gbaPb1, k, pesos63, L, H11, H22, H33, H44, H15, H16, H17,
H25, H26, H27, H35, H36, H37, H48, H51, H52, H53, H61, H62, H63, H71, H72,
H73, H84);
6941 Gba(tam, rGbaPb2, gbaPb2, k, pesos63, L, H11, H22, H33, H44, H15, H16, H17,
H25, H26, H27, H35, H36, H37, H48, H51, H52, H53, H61, H62, H63, H71, H72,
H73, H84);
6942
6943 for (l = 0; l < 4; l++)
6944 {
6945     p = l * 4;
6946     //cout << p + 1 << " posicion p" << endl; //Controla la posicion de p
6947     for (j = 0; j < 4; j++, p++)
6948     {
6949
6950         acum00[p] = (imag(gaa[j][0] * gbb[l][0])*dx + acum00[p]);
6951         acum01[p] = (imag(gaa[j][0] * gbb[l][1])*dx + acum01[p]);
6952         acum02[p] = (imag(gaa[j][0] * gbb[l][2])*dx + acum02[p]);
6953         acum03[p] = (imag(gaa[j][0] * gbb[l][3])*dx + acum03[p]);
6954         acum10[p] = (imag(gaa[j][1] * gbb[l][0])*dx + acum10[p]);
6955         acum11[p] = (imag(gaa[j][1] * gbb[l][1])*dx + acum11[p]);
6956         acum12[p] = (imag(gaa[j][1] * gbb[l][2])*dx + acum12[p]);
6957         acum13[p] = (imag(gaa[j][1] * gbb[l][3])*dx + acum13[p]);
6958         acum20[p] = (imag(gaa[j][2] * gbb[l][0])*dx + acum20[p]);
6959         acum21[p] = (imag(gaa[j][2] * gbb[l][1])*dx + acum21[p]);
6960         acum22[p] = (imag(gaa[j][2] * gbb[l][2])*dx + acum22[p]);
6961         acum23[p] = (imag(gaa[j][2] * gbb[l][3])*dx + acum23[p]);
6962         acum30[p] = (imag(gaa[j][3] * gbb[l][0])*dx + acum30[p]);
6963         acum31[p] = (imag(gaa[j][3] * gbb[l][1])*dx + acum31[p]);
6964         acum32[p] = (imag(gaa[j][3] * gbb[l][2])*dx + acum32[p]);
6965         acum33[p] = (imag(gaa[j][3] * gbb[l][3])*dx + acum33[p]);
6966
6967         bcum00[p] = (imag(gbaPb2[j][0] * gbaPb1[l][0])*dx + bcum00[p]);
6968         bcum01[p] = (imag(gbaPb2[j][0] * gbaPb1[l][1])*dx + bcum01[p]);
6969         bcum02[p] = (imag(gbaPb2[j][0] * gbaPb1[l][2])*dx + bcum02[p]);
6970         bcum03[p] = (imag(gbaPb2[j][0] * gbaPb1[l][3])*dx + bcum03[p]);
6971         bcum10[p] = (imag(gbaPb2[j][1] * gbaPb1[l][0])*dx + bcum10[p]);
6972         bcum11[p] = (imag(gbaPb2[j][1] * gbaPb1[l][1])*dx + bcum11[p]);
6973         bcum12[p] = (imag(gbaPb2[j][1] * gbaPb1[l][2])*dx + bcum12[p]);
6974         bcum13[p] = (imag(gbaPb2[j][1] * gbaPb1[l][3])*dx + bcum13[p]);
6975         bcum20[p] = (imag(gbaPb2[j][2] * gbaPb1[l][0])*dx + bcum20[p]);
6976         bcum21[p] = (imag(gbaPb2[j][2] * gbaPb1[l][1])*dx + bcum21[p]);
6977         bcum22[p] = (imag(gbaPb2[j][2] * gbaPb1[l][2])*dx + bcum22[p]);
6978         bcum23[p] = (imag(gbaPb2[j][2] * gbaPb1[l][3])*dx + bcum23[p]);
6979         bcum30[p] = (imag(gbaPb2[j][3] * gbaPb1[l][0])*dx + bcum30[p]);
6980         bcum31[p] = (imag(gbaPb2[j][3] * gbaPb1[l][1])*dx + bcum31[p]);
6981         bcum32[p] = (imag(gbaPb2[j][3] * gbaPb1[l][2])*dx + bcum32[p]);
6982         bcum33[p] = (imag(gbaPb2[j][3] * gbaPb1[l][3])*dx + bcum33[p]);
6983     }
6984 }
6985 }
6986
6987 /**Modulo de operaciones. Se multiplica cada integral por su producto exterior*/
6988
6989 for (p = 0, l = 0; l < 4; l++)
6990 {
6991     //cout << " Inicio del bucle de m" << endl;
6992     for (j = 0; j < 4; j++)
6993     {
6994
6995         v1[0] = HGbbPa[0][j][0];
6996         v1[1] = HGbbPa[0][j][1];
6997         v1[2] = HGbbPa[0][j][2];
6998         v2[0] = HGbbPa[1][j][0];

```

Continúa en la siguiente página

```

7000     v2[1] = HGbbPa[1][j][1];
7001     v2[2] = HGbbPa[1][j][2];
7002     v3[0] = HGbbPa[2][j][0];
7003     v3[1] = HGbbPa[2][j][1];
7004     v3[2] = HGbbPa[2][j][2];
7005     v4[0] = HGbbPa[3][j][0];
7006     v4[1] = HGbbPa[3][j][1];
7007     v4[2] = HGbbPa[3][j][2];
7008
7009     b1[0] = HGaabaPab[0][1][0];
7010     b1[1] = HGaabaPab[0][1][1];
7011     b1[2] = HGaabaPab[0][1][2];
7012     b2[0] = HGaabaPab[1][1][0];
7013     b2[1] = HGaabaPab[1][1][1];
7014     b2[2] = HGaabaPab[1][1][2];
7015     b3[0] = HGaabaPab[2][1][0];
7016     b3[1] = HGaabaPab[2][1][1];
7017     b3[2] = HGaabaPab[2][1][2];
7018     b4[0] = HGaabaPab[3][1][0];
7019     b4[1] = HGaabaPab[3][1][1];
7020     b4[2] = HGaabaPab[3][1][2];
7021
7022     t1[0] = HGbaPb[0][j][0];
7023     t1[1] = HGbaPb[0][j][1];
7024     t1[2] = HGbaPb[0][j][2];
7025     t2[0] = HGbaPb[1][j][0];
7026     t2[1] = HGbaPb[1][j][1];
7027     t2[2] = HGbaPb[1][j][2];
7028     t3[0] = HGbaPb[2][j][0];
7029     t3[1] = HGbaPb[2][j][1];
7030     t3[2] = HGbaPb[2][j][2];
7031     t4[0] = HGbaPb[3][j][0];
7032     t4[1] = HGbaPb[3][j][1];
7033     t4[2] = HGbaPb[3][j][2];
7034
7035     m1[0][0] = acum00[p] * b1[0] * v1[0] + acum01[p] * b1[0] * v2[0] + acum02
[p] * b1[0] * v3[0] + acum03[p] * b1[0] * v4[0] + acum10[p] * b2[0] * v1[
0] + acum11[p] * b2[0] * v2[0] + acum12[p] * b2[0] * v3[0] + acum13[p] *
b2[0] * v4[0] + acum20[p] * b3[0] * v1[0] + acum21[p] * b3[0] * v2[0] +
acum22[p] * b3[0] * v3[0] + acum23[p] * b3[0] * v4[0] + acum30[p] * b4[0]
* v1[0] + acum31[p] * b4[0] * v2[0] + acum32[p] * b4[0] * v3[0] + acum33
[p] * b4[0] * v4[0] + m1[0][0];
7036     m1[0][1] = acum00[p] * b1[1] * v1[0] + acum01[p] * b1[1] * v2[0] + acum02
[p] * b1[1] * v3[0] + acum03[p] * b1[1] * v4[0] + acum10[p] * b2[1] * v1[
0] + acum11[p] * b2[1] * v2[0] + acum12[p] * b2[1] * v3[0] + acum13[p] *
b2[1] * v4[0] + acum20[p] * b3[1] * v1[0] + acum21[p] * b3[1] * v2[0] +
acum22[p] * b3[1] * v3[0] + acum23[p] * b3[1] * v4[0] + acum30[p] * b4[1]
* v1[0] + acum31[p] * b4[1] * v2[0] + acum32[p] * b4[1] * v3[0] + acum33
[p] * b4[1] * v4[0] + m1[0][1];
7037     m1[0][2] = acum00[p] * b1[2] * v1[0] + acum01[p] * b1[2] * v2[0] + acum02
[p] * b1[2] * v3[0] + acum03[p] * b1[2] * v4[0] + acum10[p] * b2[2] * v1[
0] + acum11[p] * b2[2] * v2[0] + acum12[p] * b2[2] * v3[0] + acum13[p] *
b2[2] * v4[0] + acum20[p] * b3[2] * v1[0] + acum21[p] * b3[2] * v2[0] +
acum22[p] * b3[2] * v3[0] + acum23[p] * b3[2] * v4[0] + acum30[p] * b4[2]
* v1[0] + acum31[p] * b4[2] * v2[0] + acum32[p] * b4[2] * v3[0] + acum33
[p] * b4[2] * v4[0] + m1[0][2];
7038     m1[1][0] = acum00[p] * b1[0] * v1[1] + acum01[p] * b1[0] * v2[1] + acum02
[p] * b1[0] * v3[1] + acum03[p] * b1[0] * v4[1] + acum10[p] * b2[0] * v1[
1] + acum11[p] * b2[0] * v2[1] + acum12[p] * b2[0] * v3[1] + acum13[p] *
b2[0] * v4[1] + acum20[p] * b3[0] * v1[1] + acum21[p] * b3[0] * v2[1] +
acum22[p] * b3[0] * v3[1] + acum23[p] * b3[0] * v4[1] + acum30[p] * b4[0]
* v1[1] + acum31[p] * b4[0] * v2[1] + acum32[p] * b4[0] * v3[1] + acum33
[p] * b4[0] * v4[1] + m1[1][0];
7039     m1[1][1] = acum00[p] * b1[1] * v1[1] + acum01[p] * b1[1] * v2[1] + acum02
[p] * b1[1] * v3[1] + acum03[p] * b1[1] * v4[1] + acum10[p] * b2[1] * v1[
1] + acum11[p] * b2[1] * v2[1] + acum12[p] * b2[1] * v3[1] + acum13[p] *
b2[1] * v4[1] + acum20[p] * b3[1] * v1[1] + acum21[p] * b3[1] * v2[1] +
acum22[p] * b3[1] * v3[1] + acum23[p] * b3[1] * v4[1] + acum30[p] * b4[1]
* v1[1] + acum31[p] * b4[1] * v2[1] + acum32[p] * b4[1] * v3[1] + acum33

```

Continúa en la siguiente página

```

7040 [p] * b4[1] * v4[1] + m1[1][1];
m1[1][2] = acum00[p] * b1[2] * v1[1] + acum01[p] * b1[2] * v2[1] + acum02
[p] * b1[2] * v3[1] + acum03[p] * b1[2] * v4[1] + acum10[p] * b2[2] * v1[
1] + acum11[p] * b2[2] * v2[1] + acum12[p] * b2[2] * v3[1] + acum13[p] *
b2[2] * v4[1] + acum20[p] * b3[2] * v1[1] + acum21[p] * b3[2] * v2[1] +
acum22[p] * b3[2] * v3[1] + acum23[p] * b3[2] * v4[1] + acum30[p] * b4[2]
* v1[1] + acum31[p] * b4[2] * v2[1] + acum32[p] * b4[2] * v3[1] + acum33
[p] * b4[2] * v4[1] + m1[1][2];
7041 m1[2][0] = acum00[p] * b1[0] * v1[2] + acum01[p] * b1[0] * v2[2] + acum02
[p] * b1[0] * v3[2] + acum03[p] * b1[0] * v4[2] + acum10[p] * b2[0] * v1[
2] + acum11[p] * b2[0] * v2[2] + acum12[p] * b2[0] * v3[2] + acum13[p] *
b2[0] * v4[2] + acum20[p] * b3[0] * v1[2] + acum21[p] * b3[0] * v2[2] +
acum22[p] * b3[0] * v3[2] + acum23[p] * b3[0] * v4[2] + acum30[p] * b4[0]
* v1[2] + acum31[p] * b4[0] * v2[2] + acum32[p] * b4[0] * v3[2] + acum33
[p] * b4[0] * v4[2] + m1[2][0];
7042 m1[2][1] = acum00[p] * b1[1] * v1[2] + acum01[p] * b1[1] * v2[2] + acum02
[p] * b1[1] * v3[2] + acum03[p] * b1[1] * v4[2] + acum10[p] * b2[1] * v1[
2] + acum11[p] * b2[1] * v2[2] + acum12[p] * b2[1] * v3[2] + acum13[p] *
b2[1] * v4[2] + acum20[p] * b3[1] * v1[2] + acum21[p] * b3[1] * v2[2] +
acum22[p] * b3[1] * v3[2] + acum23[p] * b3[1] * v4[2] + acum30[p] * b4[1]
* v1[2] + acum31[p] * b4[1] * v2[2] + acum32[p] * b4[1] * v3[2] + acum33
[p] * b4[1] * v4[2] + m1[2][1];
7043 m1[2][2] = acum00[p] * b1[2] * v1[2] + acum01[p] * b1[2] * v2[2] + acum02
[p] * b1[2] * v3[2] + acum03[p] * b1[2] * v4[2] + acum10[p] * b2[2] * v1[
2] + acum11[p] * b2[2] * v2[2] + acum12[p] * b2[2] * v3[2] + acum13[p] *
b2[2] * v4[2] + acum20[p] * b3[2] * v1[2] + acum21[p] * b3[2] * v2[2] +
acum22[p] * b3[2] * v3[2] + acum23[p] * b3[2] * v4[2] + acum30[p] * b4[2]
* v1[2] + acum31[p] * b4[2] * v2[2] + acum32[p] * b4[2] * v3[2] + acum33
[p] * b4[2] * v4[2] + m1[2][2];
7044
7045 m2[0][0] = bcum00[p] * b1[0] * t1[0] + bcum01[p] * b1[0] * t2[0] + bcum02
[p] * b1[0] * t3[0] + bcum03[p] * b1[0] * t4[0] + bcum10[p] * b2[0] * t1[
0] + bcum11[p] * b2[0] * t2[0] + bcum12[p] * b2[0] * t3[0] + bcum13[p] *
b2[0] * t4[0] + bcum20[p] * b3[0] * t1[0] + bcum21[p] * b3[0] * t2[0] +
bcum22[p] * b3[0] * t3[0] + bcum23[p] * b3[0] * t4[0] + bcum30[p] * b4[0]
* t1[0] + bcum31[p] * b4[0] * t2[0] + bcum32[p] * b4[0] * t3[0] + bcum33
[p] * b4[0] * t4[0] + m2[0][0];
7046 m2[0][1] = bcum00[p] * b1[1] * t1[0] + bcum01[p] * b1[1] * t2[0] + bcum02
[p] * b1[1] * t3[0] + bcum03[p] * b1[1] * t4[0] + bcum10[p] * b2[1] * t1[
0] + bcum11[p] * b2[1] * t2[0] + bcum12[p] * b2[1] * t3[0] + bcum13[p] *
b2[1] * t4[0] + bcum20[p] * b3[1] * t1[0] + bcum21[p] * b3[1] * t2[0] +
bcum22[p] * b3[1] * t3[0] + bcum23[p] * b3[1] * t4[0] + bcum30[p] * b4[1]
* t1[0] + bcum31[p] * b4[1] * t2[0] + bcum32[p] * b4[1] * t3[0] + bcum33
[p] * b4[1] * t4[0] + m2[0][1];
7047 m2[0][2] = bcum00[p] * b1[2] * t1[0] + bcum01[p] * b1[2] * t2[0] + bcum02
[p] * b1[2] * t3[0] + bcum03[p] * b1[2] * t4[0] + bcum10[p] * b2[2] * t1[
0] + bcum11[p] * b2[2] * t2[0] + bcum12[p] * b2[2] * t3[0] + bcum13[p] *
b2[2] * t4[0] + bcum20[p] * b3[2] * t1[0] + bcum21[p] * b3[2] * t2[0] +
bcum22[p] * b3[2] * t3[0] + bcum23[p] * b3[2] * t4[0] + bcum30[p] * b4[2]
* t1[0] + bcum31[p] * b4[2] * t2[0] + bcum32[p] * b4[2] * t3[0] + bcum33
[p] * b4[2] * t4[0] + m2[0][2];
7048 m2[1][0] = bcum00[p] * b1[0] * t1[1] + bcum01[p] * b1[0] * t2[1] + bcum02
[p] * b1[0] * t3[1] + bcum03[p] * b1[0] * t4[1] + bcum10[p] * b2[0] * t1[
1] + bcum11[p] * b2[0] * t2[1] + bcum12[p] * b2[0] * t3[1] + bcum13[p] *
b2[0] * t4[1] + bcum20[p] * b3[0] * t1[1] + bcum21[p] * b3[0] * t2[1] +
bcum22[p] * b3[0] * t3[1] + bcum23[p] * b3[0] * t4[1] + bcum30[p] * b4[0]
* t1[1] + bcum31[p] * b4[0] * t2[1] + bcum32[p] * b4[0] * t3[1] + bcum33
[p] * b4[0] * t4[1] + m2[1][0];
7049 m2[1][1] = bcum00[p] * b1[1] * t1[1] + bcum01[p] * b1[1] * t2[1] + bcum02
[p] * b1[1] * t3[1] + bcum03[p] * b1[1] * t4[1] + bcum10[p] * b2[1] * t1[
1] + bcum11[p] * b2[1] * t2[1] + bcum12[p] * b2[1] * t3[1] + bcum13[p] *
b2[1] * t4[1] + bcum20[p] * b3[1] * t1[1] + bcum21[p] * b3[1] * t2[1] +
bcum22[p] * b3[1] * t3[1] + bcum23[p] * b3[1] * t4[1] + bcum30[p] * b4[1]
* t1[1] + bcum31[p] * b4[1] * t2[1] + bcum32[p] * b4[1] * t3[1] + bcum33
[p] * b4[1] * t4[1] + m2[1][1];
7050 m2[1][2] = bcum00[p] * b1[2] * t1[1] + bcum01[p] * b1[2] * t2[1] + bcum02
[p] * b1[2] * t3[1] + bcum03[p] * b1[2] * t4[1] + bcum10[p] * b2[2] * t1[
1] + bcum11[p] * b2[2] * t2[1] + bcum12[p] * b2[2] * t3[1] + bcum13[p] *
b2[2] * t4[1] + bcum20[p] * b3[2] * t1[1] + bcum21[p] * b3[2] * t2[1] +

```

Continúa en la siguiente página



```

7051     bcum22[p] * b3[2] * t3[1] + bcum23[p] * b3[2] * t4[1] + bcum30[p] * b4[2]
        * t1[1] + bcum31[p] * b4[2] * t2[1] + bcum32[p] * b4[2] * t3[1] + bcum33
        [p] * b4[2] * t4[1] + m2[1][2];
7052     m2[2][0] = bcum00[p] * b1[0] * t1[2] + bcum01[p] * b1[0] * t2[2] + bcum02
        [p] * b1[0] * t3[2] + bcum03[p] * b1[0] * t4[2] + bcum10[p] * b2[0] * t1[
        2] + bcum11[p] * b2[0] * t2[2] + bcum12[p] * b2[0] * t3[2] + bcum13[p] *
        b2[0] * t4[2] + bcum20[p] * b3[0] * t1[2] + bcum21[p] * b3[0] * t2[2] +
        bcum22[p] * b3[0] * t3[2] + bcum23[p] * b3[0] * t4[2] + bcum30[p] * b4[0]
        * t1[2] + bcum31[p] * b4[0] * t2[2] + bcum32[p] * b4[0] * t3[2] + bcum33
        [p] * b4[0] * t4[2] + m2[2][0];
7053     m2[2][1] = bcum00[p] * b1[1] * t1[2] + bcum01[p] * b1[1] * t2[2] + bcum02
        [p] * b1[1] * t3[2] + bcum03[p] * b1[1] * t4[2] + bcum10[p] * b2[1] * t1[
        2] + bcum11[p] * b2[1] * t2[2] + bcum12[p] * b2[1] * t3[2] + bcum13[p] *
        b2[1] * t4[2] + bcum20[p] * b3[1] * t1[2] + bcum21[p] * b3[1] * t2[2] +
        bcum22[p] * b3[1] * t3[2] + bcum23[p] * b3[1] * t4[2] + bcum30[p] * b4[1]
        * t1[2] + bcum31[p] * b4[1] * t2[2] + bcum32[p] * b4[1] * t3[2] + bcum33
        [p] * b4[1] * t4[2] + m2[2][1];
7054     m2[2][2] = bcum00[p] * b1[2] * t1[2] + bcum01[p] * b1[2] * t2[2] + bcum02
        [p] * b1[2] * t3[2] + bcum03[p] * b1[2] * t4[2] + bcum10[p] * b2[2] * t1[
        2] + bcum11[p] * b2[2] * t2[2] + bcum12[p] * b2[2] * t3[2] + bcum13[p] *
        b2[2] * t4[2] + bcum20[p] * b3[2] * t1[2] + bcum21[p] * b3[2] * t2[2] +
        bcum22[p] * b3[2] * t3[2] + bcum23[p] * b3[2] * t4[2] + bcum30[p] * b4[2]
        * t1[2] + bcum31[p] * b4[2] * t2[2] + bcum32[p] * b4[2] * t3[2] + bcum33
        [p] * b4[2] * t4[2] + m2[2][2];
7055     p++;
7056     //cout << " Fin del bucle de j" << endl;
7057 }
7058 //cout << " Fin del bucle de m" << endl;
7059 }
7060 sumamatriz(m1, m2, devmatriz);
7061 escmat((-4 / PI), devmatriz, devmatriz);
7062 }
    
```

Figura 4.42: Detalle de programación de la segunda derivada de la energía de bandas.  
Ecuación 4.27

```

7087 void auxiliarintegraenlcel(complex<double>a[4][4], complex<double>b[4][4])
7088 {
7089     /**
7090     \details Esta funcion calcula de forma aproximada Gba, utilizando para Gab en
7091     los terminos que son iguales.
7092     \param a Matriz de Green. Corresponde a la primera fila y segunda columna del
7093     tensor. (Gab)
7094     \param b Matriz de Green. Corresponde a la segunda fila y primera columna del
7095     tensor. (Gba). Es la aproximacion que hemos hecho.
7096     \return b es el array de dimension 3x3 que se devuelve. Se hace por referencia.
7097     */
7098     for (int i = 0; i < 4; i++)
7099     {
7100         for (int j = 0; j < 4; j++)
7101         {
7102             b[i][j] = a[i][j];
7103         }
7104     }
7105     for (int i = 1; i < 3; i++)
7106     {
7107         b[0][i] = { -real(a[0][i]), -imag(a[0][i]) };
7108         b[i][0] = { -real(a[i][0]), -imag(a[i][0]) };
7109     }
7110 }
    
```

Figura 4.43: Detalle de programación de la función que calcula los componentes de la transformada de Green más rápido. Es una función aproximada y su uso es opcional.

```

7109
7110 void auxiliarintegraenlace2(int tam, double r[3], complex<double> Gab[4][4],
complex<double> g[4][4], double *k, double *pesos63, complex<double> L,
complex<double> H11, complex<double> H22, complex<double> H33, complex<double> H44,
complex<double> *H15, complex<double> *H16, complex<double> *H17, complex<double>
*H25, complex<double> *H26, complex<double> *H27, complex<double> *H35,
complex<double> *H36, complex<double> *H37, complex<double> *H48, complex<double>
*H51, complex<double> *H52, complex<double> *H53, complex<double> *H61,
complex<double> *H62, complex<double> *H63, complex<double> *H71, complex<double>
*H72, complex<double> *H73, complex<double> *H84)
7111 {
7112     /**
7113     \details Esta funcion calcula de forma exacta Gba, utilizando para Gab en los
terminos que son iguales.
7114     \param tam Tamaño del numero de puntos de la zona de Brillouin
7115     \param Gab Matriz de Green. Corresponde a la primera fila y segunda columna del
tensor.
7116     \param g Devolucion de la operacion, sera el equivalente a la ejecucion de Gba
7117     \param k Zona de Brillouin
7118     \param pesos63 Pesos de la zona de Brillouin
7119     \param L Variable compleja necesaria para las funciones de Green
7120     \param H11 Hamiltoniano de orden 0, Haa
7121     \param H22 Hamiltoniano de orden 0, Haa
7122     \param H33 Hamiltoniano de orden 0, Haa
7123     \param H44 Hamiltoniano de orden 0, Haa
7124     \param H15 Hamiltoniano de orden 0, Hab
7125     \param H16 Hamiltoniano de orden 0, Hab
7126     \param H17 Hamiltoniano de orden 0, Hab
7127     \param H25 Hamiltoniano de orden 0, Hab
7128     \param H26 Hamiltoniano de orden 0, Hab
7129     \param H27 Hamiltoniano de orden 0, Hab
7130     \param H35 Hamiltoniano de orden 0, Hab
7131     \param H36 Hamiltoniano de orden 0, Hab
7132     \param H37 Hamiltoniano de orden 0, Hab
7133     \param H48 Hamiltoniano de orden 0, Hab
7134     \param H51 Hamiltoniano de orden 0, Hba
7135     \param H52 Hamiltoniano de orden 0, Hba
7136     \param H53 Hamiltoniano de orden 0, Hba
7137     \param H61 Hamiltoniano de orden 0, Hba
7138     \param H62 Hamiltoniano de orden 0, Hba
7139     \param H63 Hamiltoniano de orden 0, Hba
7140     \param H71 Hamiltoniano de orden 0, Hba
7141     \param H72 Hamiltoniano de orden 0, Hba
7142     \param H73 Hamiltoniano de orden 0, Hba
7143     \param H84 Hamiltoniano de orden 0, Hba
7144     \return g es el array de dimension 3x3 que se devuelve. Se hace por referencia.
7145     */
7146     int i, j, l;
7147     for (l = 0; l<4; l++)
7148     {
7149         for (j = 0; j < 4; j++)
7150         {
7151             g[l][j] = 0;
7152         }
7153     }
7154     double vaux[3] = { 0,0,0 };
7155     double modulo = 1.0;
7156     complex<double> L2;
7157     complex<double> L3;
7158     complex<double> L4;
7159     complex<double> L5;
7160     complex<double> L6;
7161     complex<double> H11C;
7162     complex<double> H22C;
7163     complex<double> H33C;
7164     complex<double> H44C;
7165     L2 = L*L;
7166     L3 = L*L*L;
7167     L4 = L*L*L*L;

```

Continúa en la siguiente página



```

7168     L5 = L*L*L*L*L;
7169     L6 = L*L*L*L*L*L;
7170     H11C = H11*H11;
7171     H22C = H22*H22;
7172     H33C = H33*H33;
7173     H44C = H44*H44;
7174     double dos = 2.0;
7175     double cuatro = 4.0;
7176     double ocho = 8.0;
7177     complex<double> numerador02, numerador12, numerador20, numerador21;
7178     complex<double> denominador;
7179     complex<double> resultado02, resultado12, resultado20, resultado21;
7180
7181     for (i = 0; i<tam; i++)
7182     {
7183         numerador02 = -(H53[i] * L4 - H11*H53[i] * L3 - dos*H22*H53[i] * L3 -
            H33*H53[i] * L3 + H22C * H53[i] * L2 + H11*H22C * H33*H53[i] + H17[i] * H22C
            * H51[i] * H73[i] - H17[i] * H22C * H53[i] * H71[i] + dos*H11*H22*H53[i] *
            L2 - H11*H22C * H53[i] * L + H11*H33*H53[i] * L2 + dos*H22*H33*H53[i] * L2 -
            H22C * H33*H53[i] * L + H16[i] * H51[i] * H63[i] * L2 - H16[i] * H53[i] *
            H61[i] * L2 + H17[i] * H51[i] * H73[i] * L2 - H17[i] * H53[i] * H71[i] * L2
            + H26[i] * H52[i] * H63[i] * L2 - H26[i] * H53[i] * H62[i] * L2 + H27[i] *
            H52[i] * H73[i] * L2 - H27[i] * H53[i] * H72[i] * L2 + H11*H22*H27[i] *
            H52[i] * H73[i] - H11*H22*H27[i] * H53[i] * H72[i] + H11*H26[i] * H33*H52[i]
            * H63[i] - H11*H26[i] * H33*H53[i] * H62[i] + H16[i] * H22*H33*H51[i] *
            H63[i] - H16[i] * H22*H33*H53[i] * H61[i] + H16[i] * H27[i] * H51[i] *
            H62[i] * H73[i] - H16[i] * H27[i] * H51[i] * H63[i] * H72[i] - H16[i] *
            H27[i] * H52[i] * H61[i] * H73[i] + H16[i] * H27[i] * H52[i] * H63[i] *
            H71[i] + H16[i] * H27[i] * H53[i] * H61[i] * H72[i] - H16[i] * H27[i] *
            H53[i] * H62[i] * H71[i] - H17[i] * H26[i] * H51[i] * H62[i] * H73[i] +
            H17[i] * H26[i] * H51[i] * H63[i] * H72[i] + H17[i] * H26[i] * H52[i] *
            H61[i] * H73[i] - H17[i] * H26[i] * H52[i] * H63[i] * H71[i] - H17[i] *
            H26[i] * H53[i] * H61[i] * H72[i] + H17[i] * H26[i] * H53[i] * H62[i] *
            H71[i] - dos*H11*H22*H33*H53[i] * L - H11*H26[i] * H52[i] * H63[i] * L +
            H11*H26[i] * H53[i] * H62[i] * L - H16[i] * H22*H51[i] * H63[i] * L + H16[i]
            * H22*H53[i] * H61[i] * L - H11*H27[i] * H52[i] * H73[i] * L + H11*H27[i] *
            H53[i] * H72[i] * L - H16[i] * H33*H51[i] * H63[i] * L + H16[i] * H33*H53[i]
            * H61[i] * L - dos*H17[i] * H22*H51[i] * H73[i] * L + dos*H17[i] *
            H22*H53[i] * H71[i] * L - H22*H27[i] * H52[i] * H73[i] * L + H22*H27[i] *
            H53[i] * H72[i] * L - H26[i] * H33*H52[i] * H63[i] * L + H26[i] * H33*H53[i]
            * H62[i] * L);
7184         numerador12 = -(H63[i] * L4 - dos*H11*H63[i] * L3 - H22*H63[i] * L3 -
            H33*H63[i] * L3 + H11C * H63[i] * L2 + H11C * H22*H33*H63[i] + H11C * H27[i]
            * H62[i] * H73[i] - H11C * H27[i] * H63[i] * H72[i] + dos*H11*H22*H63[i] *
            L2 - H11C * H22*H63[i] * L + dos*H11*H33*H63[i] * L2 - H11C * H33*H63[i] * L
            + H22*H33*H63[i] * L2 - H15[i] * H51[i] * H63[i] * L2 + H15[i] * H53[i] *
            H61[i] * L2 - H25[i] * H52[i] * H63[i] * L2 + H25[i] * H53[i] * H62[i] * L2
            + H17[i] * H61[i] * H73[i] * L2 - H17[i] * H63[i] * H71[i] * L2 + H27[i] *
            H62[i] * H73[i] * L2 - H27[i] * H63[i] * H72[i] * L2 + H11*H17[i] *
            H22*H61[i] * H73[i] - H11*H17[i] * H22*H63[i] * H71[i] - H11*H25[i] *
            H33*H52[i] * H63[i] + H11*H25[i] * H33*H53[i] * H62[i] - H15[i] *
            H22*H33*H51[i] * H63[i] + H15[i] * H22*H33*H53[i] * H61[i] - H15[i] * H27[i]
            * H51[i] * H62[i] * H73[i] + H15[i] * H27[i] * H51[i] * H63[i] * H72[i] +
            H15[i] * H27[i] * H52[i] * H61[i] * H73[i] - H15[i] * H27[i] * H52[i] *
            H63[i] * H71[i] - H15[i] * H27[i] * H53[i] * H61[i] * H72[i] + H15[i] *
            H27[i] * H53[i] * H62[i] * H71[i] + H17[i] * H25[i] * H51[i] * H62[i] *
            H73[i] - H17[i] * H25[i] * H51[i] * H63[i] * H72[i] - H17[i] * H25[i] *
            H52[i] * H61[i] * H73[i] + H17[i] * H25[i] * H52[i] * H63[i] * H71[i] +
            H17[i] * H25[i] * H53[i] * H61[i] * H72[i] - H17[i] * H25[i] * H53[i] *
            H62[i] * H71[i] - dos*H11*H22*H33*H63[i] * L + H11*H25[i] * H52[i] * H63[i]
            * L - H11*H25[i] * H53[i] * H62[i] * L + H15[i] * H22*H51[i] * H63[i] * L -
            H15[i] * H22*H53[i] * H61[i] * L - H11*H17[i] * H61[i] * H73[i] * L +
            H11*H17[i] * H63[i] * H71[i] * L + H15[i] * H33*H51[i] * H63[i] * L - H15[i]
            * H33*H53[i] * H61[i] * L - dos*H11*H27[i] * H62[i] * H73[i] * L +
            dos*H11*H27[i] * H63[i] * H72[i] * L - H17[i] * H22*H61[i] * H73[i] * L +
            H17[i] * H22*H63[i] * H71[i] * L + H25[i] * H33*H52[i] * H63[i] * L - H25[i]
            * H33*H53[i] * H62[i] * L);
7185         numerador20 = -(H71[i] * L4 - H11*H71[i] * L3 - dos*H22*H71[i] * L3 -
            H33*H71[i] * L3 + H22C * H71[i] * L2 + H11*H22C * H33*H71[i] + H22C * H35[i]

```

Continúa en la siguiente página

```

* H51[i] * H73[i] - H22C * H35[i] * H53[i] * H71[i] + dos*H11*H22*H71[i] *
L2 - H11*H22C * H71[i] * L + H11*H33*H71[i] * L2 + dos*H22*H33*H71[i] * L2 -
H22C * H33*H71[i] * L + H25[i] * H51[i] * H72[i] * L2 - H25[i] * H52[i] *
H71[i] * L2 + H26[i] * H61[i] * H72[i] * L2 - H26[i] * H62[i] * H71[i] * L2
+ H35[i] * H51[i] * H73[i] * L2 - H35[i] * H53[i] * H71[i] * L2 + H36[i] *
H61[i] * H73[i] * L2 - H36[i] * H63[i] * H71[i] * L2 + H11*H22*H36[i] *
H61[i] * H73[i] - H11*H22*H36[i] * H63[i] * H71[i] + H11*H26[i] * H33*H61[i]
* H72[i] - H11*H26[i] * H33*H62[i] * H71[i] + H22*H25[i] * H33*H51[i] *
H72[i] - H22*H25[i] * H33*H52[i] * H71[i] + H25[i] * H36[i] * H51[i] *
H62[i] * H73[i] - H25[i] * H36[i] * H51[i] * H63[i] * H72[i] - H25[i] *
H36[i] * H52[i] * H61[i] * H73[i] + H25[i] * H36[i] * H52[i] * H63[i] *
H71[i] + H25[i] * H36[i] * H53[i] * H61[i] * H72[i] - H25[i] * H36[i] *
H53[i] * H62[i] * H71[i] - H26[i] * H35[i] * H51[i] * H62[i] * H73[i] +
H26[i] * H35[i] * H51[i] * H63[i] * H72[i] + H26[i] * H35[i] * H52[i] *
H61[i] * H73[i] - H26[i] * H35[i] * H52[i] * H63[i] * H71[i] - H26[i] *
H35[i] * H53[i] * H61[i] * H72[i] + H26[i] * H35[i] * H53[i] * H62[i] *
H71[i] - dos*H11*H22*H33*H71[i] * L - H11*H26[i] * H61[i] * H72[i] * L +
H11*H26[i] * H62[i] * H71[i] * L - H22*H25[i] * H51[i] * H72[i] * L +
H22*H25[i] * H52[i] * H71[i] * L - H11*H36[i] * H61[i] * H73[i] * L +
H11*H36[i] * H63[i] * H71[i] * L - dos*H22*H35[i] * H51[i] * H73[i] * L +
dos*H22*H35[i] * H53[i] * H71[i] * L - H25[i] * H33*H51[i] * H72[i] * L +
H25[i] * H33*H52[i] * H71[i] * L - H22*H36[i] * H61[i] * H73[i] * L +
H22*H36[i] * H63[i] * H71[i] * L - H26[i] * H33*H61[i] * H72[i] * L + H26[i]
* H33*H62[i] * H71[i] * L);
7186
numerador21 = -(H72[i] * L4 - dos*H11*H72[i] * L3 - H22*H72[i] * L3 -
H33*H72[i] * L3 + H11C * H72[i] * L2 + H11C * H22*H33*H72[i] + H11C * H36[i]
* H62[i] * H73[i] - H11C * H36[i] * H63[i] * H72[i] + dos*H11*H22*H72[i] *
L2 - H11C * H22*H72[i] * L + dos*H11*H33*H72[i] * L2 - H11C * H33*H72[i] * L
+ H22*H33*H72[i] * L2 - H15[i] * H51[i] * H72[i] * L2 + H15[i] * H52[i] *
H71[i] * L2 - H16[i] * H61[i] * H72[i] * L2 + H16[i] * H62[i] * H71[i] * L2
+ H35[i] * H52[i] * H73[i] * L2 - H35[i] * H53[i] * H72[i] * L2 + H36[i] *
H62[i] * H73[i] * L2 - H36[i] * H63[i] * H72[i] * L2 - H11*H16[i] *
H33*H61[i] * H72[i] + H11*H16[i] * H33*H62[i] * H71[i] + H11*H22*H35[i] *
H52[i] * H73[i] - H11*H22*H35[i] * H53[i] * H72[i] - H15[i] * H22*H33*H51[i]
* H72[i] + H15[i] * H22*H33*H52[i] * H71[i] - H15[i] * H36[i] * H51[i] *
H62[i] * H73[i] + H15[i] * H36[i] * H51[i] * H63[i] * H72[i] + H15[i] *
H36[i] * H52[i] * H61[i] * H73[i] - H15[i] * H36[i] * H52[i] * H63[i] *
H71[i] - H15[i] * H36[i] * H53[i] * H61[i] * H72[i] + H15[i] * H36[i] *
H53[i] * H62[i] * H71[i] + H16[i] * H35[i] * H51[i] * H62[i] * H73[i] -
H16[i] * H35[i] * H51[i] * H63[i] * H72[i] - H16[i] * H35[i] * H52[i] *
H61[i] * H73[i] + H16[i] * H35[i] * H52[i] * H63[i] * H71[i] + H16[i] *
H35[i] * H53[i] * H61[i] * H72[i] - H16[i] * H35[i] * H53[i] * H62[i] *
H71[i] - dos*H11*H22*H33*H72[i] * L + H11*H16[i] * H61[i] * H72[i] * L -
H11*H16[i] * H62[i] * H71[i] * L + H15[i] * H22*H51[i] * H72[i] * L - H15[i]
* H22*H52[i] * H71[i] * L - H11*H35[i] * H52[i] * H73[i] * L + H11*H35[i] *
H53[i] * H72[i] * L + H15[i] * H33*H51[i] * H72[i] * L - H15[i] * H33*H52[i]
* H71[i] * L - dos*H11*H36[i] * H62[i] * H73[i] * L + dos*H11*H36[i] *
H63[i] * H72[i] * L + H16[i] * H33*H61[i] * H72[i] * L - H16[i] * H33*H62[i]
* H71[i] * L - H22*H35[i] * H52[i] * H73[i] * L + H22*H35[i] * H53[i] *
H72[i] * L);
7187
7188
7189
denominador = (dos*H11*L5 + dos*H22*L5 + dos*H33*L5 - L6 - H11C * L4 - H22C
* L4 - H33C * L4 - H11C * H22C * H33C - H11C * H22C * L2 - H11C * H33C * L2
- H22C * H33C * L2 - cuatro*H11*H22*L4 - cuatro*H11*H33*L4 -
cuatro*H22*H33*L4 + H15[i] * H51[i] * L4 + H16[i] * H61[i] * L4 + H25[i] *
H52[i] * L4 + H17[i] * H71[i] * L4 + H26[i] * H62[i] * L4 + H35[i] * H53[i]
* L4 + H27[i] * H72[i] * L4 + H36[i] * H63[i] * L4 + H37[i] * H73[i] * L4 +
dos*H11*H22C * L3 + dos*H11C * H22*L3 + dos*H11*H33C * L3 + dos*H11C *
H33*L3 + dos*H22*H33C * L3 + dos*H22C * H33*L3 + H15[i] * H22C * H33C *
H51[i] + H11C * H26[i] * H33C * H62[i] + H11C * H22C * H37[i] * H73[i] -
cuatro*H11*H22*H33C * L2 - cuatro*H11*H22C * H33*L2 + dos*H11*H22C * H33C *
L - cuatro*H11C * H22*H33*L2 + dos*H11C * H22*H33C * L + dos*H11C * H22C *
H33*L + H15[i] * H22C * H51[i] * L2 + H15[i] * H33C * H51[i] * L2 + H11C *
H26[i] * H62[i] * L2 + H16[i] * H33C * H61[i] * L2 + H17[i] * H22C * H71[i]
* L2 + H25[i] * H33C * H52[i] * L2 + H11C * H27[i] * H72[i] * L2 + H11C *
H36[i] * H63[i] * L2 + H22C * H35[i] * H53[i] * L2 + H26[i] * H33C * H62[i]
* L2 + H11C * H37[i] * H73[i] * L2 + H22C * H37[i] * H73[i] * L2 +
ocho*H11*H22*H33*L3 - H11*H16[i] * H61[i] * L3 - H11*H25[i] * H52[i] * L3 -

```

Continúa en la siguiente página



```

dos*H15[i] * H22*H51[i] * L3 - H11*H17[i] * H71[i] * L3 - dos*H11*H26[i] *
H62[i] * L3 - H11*H35[i] * H53[i] * L3 - dos*H15[i] * H33*H51[i] * L3 -
H16[i] * H22*H61[i] * L3 - H22*H25[i] * H52[i] * L3 - dos*H11*H27[i] *
H72[i] * L3 - dos*H11*H36[i] * H63[i] * L3 - dos*H16[i] * H33*H61[i] * L3 -
dos*H17[i] * H22*H71[i] * L3 - dos*H22*H35[i] * H53[i] * L3 - dos*H25[i] *
H33*H52[i] * L3 - dos*H11*H37[i] * H73[i] * L3 - H17[i] * H33*H71[i] * L3 -
H22*H27[i] * H72[i] * L3 - H22*H36[i] * H63[i] * L3 - dos*H26[i] *
H33*H62[i] * L3 - H33*H35[i] * H53[i] * L3 - dos*H22*H37[i] * H73[i] * L3 -
H27[i] * H33*H72[i] * L3 - H33*H36[i] * H63[i] * L3 + H11*H16[i] * H22*H33C
* H61[i] + H11*H22*H25[i] * H33C * H52[i] + H11*H17[i] * H22C * H33*H71[i] +
H11*H22C * H33*H35[i] * H53[i] + H11C * H22*H27[i] * H33*H72[i] + H11C *
H22*H33*H36[i] * H63[i] - H15[i] * H26[i] * H33C * H51[i] * H62[i] + H15[i]
* H26[i] * H33C * H52[i] * H61[i] + H16[i] * H25[i] * H33C * H51[i] * H62[i]
- H16[i] * H25[i] * H33C * H52[i] * H61[i] - H15[i] * H22C * H37[i] * H51[i]
* H73[i] + H15[i] * H22C * H37[i] * H53[i] * H71[i] + H17[i] * H22C * H35[i]
* H51[i] * H73[i] - H17[i] * H22C * H35[i] * H53[i] * H71[i] - H11C * H26[i]
* H37[i] * H62[i] * H73[i] + H11C * H26[i] * H37[i] * H63[i] * H72[i] + H11C
* H27[i] * H36[i] * H62[i] * H73[i] - H11C * H27[i] * H36[i] * H63[i] *
H72[i] + H11*H16[i] * H22*H61[i] * L2 + H11*H22*H25[i] * H52[i] * L2 +
dos*H11*H16[i] * H33*H61[i] * L2 - H11*H16[i] * H33C * H61[i] * L +
dos*H11*H17[i] * H22*H71[i] * L2 - H11*H17[i] * H22C * H71[i] * L +
dos*H11*H22*H35[i] * H53[i] * L2 + dos*H11*H25[i] * H33*H52[i] * L2 -
H11*H25[i] * H33C * H52[i] * L - H11*H22C * H35[i] * H53[i] * L +
cuatro*H15[i] * H22*H33*H51[i] * L2 - dos*H15[i] * H22*H33C * H51[i] * L -
dos*H15[i] * H22C * H33*H51[i] * L + H11*H17[i] * H33*H71[i] * L2 +
dos*H11*H22*H27[i] * H72[i] * L2 + dos*H11*H22*H36[i] * H63[i] * L2 +
cuatro*H11*H26[i] * H33*H62[i] * L2 - dos*H11*H26[i] * H33C * H62[i] * L +
H11*H33*H35[i] * H53[i] * L2 + dos*H16[i] * H22*H33*H61[i] * L2 - H16[i] *
H22*H33C * H61[i] * L + dos*H22*H25[i] * H33*H52[i] * L2 - H22*H25[i] * H33C
* H52[i] * L - H11C * H22*H27[i] * H72[i] * L - H11C * H22*H36[i] * H63[i] *
L - dos*H11C * H26[i] * H33*H62[i] * L + cuatro*H11*H22*H37[i] * H73[i] * L2
+ dos*H11*H27[i] * H33*H72[i] * L2 + dos*H11*H33*H36[i] * H63[i] * L2 -
dos*H11*H22C * H37[i] * H73[i] * L + dos*H17[i] * H22*H33*H71[i] * L2 -
H17[i] * H22C * H33*H71[i] * L + dos*H22*H33*H35[i] * H53[i] * L2 - dos*H11C
* H22*H37[i] * H73[i] * L - H11C * H27[i] * H33*H72[i] * L - H11C *
H33*H36[i] * H63[i] * L - H22C * H33*H35[i] * H53[i] * L - H15[i] * H26[i] *
H51[i] * H62[i] * L2 + H15[i] * H26[i] * H52[i] * H61[i] * L2 + H16[i] *
H25[i] * H51[i] * H62[i] * L2 - H16[i] * H25[i] * H52[i] * H61[i] * L2 +
H22*H27[i] * H33*H72[i] * L2 + H22*H33*H36[i] * H63[i] * L2 - H15[i] *
H27[i] * H51[i] * H72[i] * L2 + H15[i] * H27[i] * H52[i] * H71[i] * L2 -
H15[i] * H36[i] * H51[i] * H63[i] * L2 + H15[i] * H36[i] * H53[i] * H61[i] *
L2 + H16[i] * H35[i] * H51[i] * H63[i] * L2 - H16[i] * H35[i] * H53[i] *
H61[i] * L2 + H17[i] * H25[i] * H51[i] * H72[i] * L2 - H17[i] * H25[i] *
H52[i] * H71[i] * L2 - H15[i] * H37[i] * H51[i] * H73[i] * L2 + H15[i] *
H37[i] * H53[i] * H71[i] * L2 - H16[i] * H27[i] * H61[i] * H72[i] * L2 +
H16[i] * H27[i] * H62[i] * H71[i] * L2 + H17[i] * H26[i] * H61[i] * H72[i] *
L2 - H17[i] * H26[i] * H62[i] * H71[i] * L2 + H17[i] * H35[i] * H51[i] *
H73[i] * L2 - H17[i] * H35[i] * H53[i] * H71[i] * L2 - H25[i] * H36[i] *
H52[i] * H63[i] * L2 + H25[i] * H36[i] * H53[i] * H62[i] * L2 + H26[i] *
H35[i] * H52[i] * H63[i] * L2 - H26[i] * H35[i] * H53[i] * H62[i] * L2 -
H16[i] * H37[i] * H61[i] * H73[i] * L2 + H16[i] * H37[i] * H63[i] * H71[i] *
L2 + H17[i] * H36[i] * H61[i] * H73[i] * L2 - H17[i] * H36[i] * H63[i] *
H71[i] * L2 - H25[i] * H37[i] * H52[i] * H73[i] * L2 + H25[i] * H37[i] *
H53[i] * H72[i] * L2 + H27[i] * H35[i] * H52[i] * H73[i] * L2 - H27[i] *
H35[i] * H53[i] * H72[i] * L2 - H26[i] * H37[i] * H62[i] * H73[i] * L2 +
H26[i] * H37[i] * H63[i] * H72[i] * L2 + H27[i] * H36[i] * H62[i] * H73[i] *
L2 - H27[i] * H36[i] * H63[i] * H72[i] * L2 - H11*H16[i] * H22*H37[i] *
H61[i] * H73[i] + H11*H16[i] * H22*H37[i] * H63[i] * H71[i] - H11*H16[i] *
H27[i] * H33*H61[i] * H72[i] + H11*H16[i] * H27[i] * H33*H62[i] * H71[i] +
H11*H17[i] * H22*H36[i] * H61[i] * H73[i] - H11*H17[i] * H22*H36[i] * H63[i]
* H71[i] + H11*H17[i] * H26[i] * H33*H61[i] * H72[i] - H11*H17[i] * H26[i] *
H33*H62[i] * H71[i] - H11*H22*H25[i] * H37[i] * H52[i] * H73[i] +
H11*H22*H25[i] * H37[i] * H53[i] * H72[i] + H11*H22*H27[i] * H35[i] * H52[i]
* H73[i] - H11*H22*H27[i] * H35[i] * H53[i] * H72[i] - H11*H25[i] *
H33*H36[i] * H52[i] * H63[i] + H11*H25[i] * H33*H36[i] * H53[i] * H62[i] +
H11*H26[i] * H33*H35[i] * H52[i] * H63[i] - H11*H26[i] * H33*H35[i] * H53[i]
* H62[i] - H15[i] * H22*H27[i] * H33*H51[i] * H72[i] + H15[i] * H22*H27[i] *
H33*H52[i] * H71[i] - H15[i] * H22*H33*H36[i] * H51[i] * H63[i] + H15[i] *
H22*H33*H36[i] * H53[i] * H61[i] + H16[i] * H22*H33*H35[i] * H51[i] * H63[i]

```

Continúa en la siguiente página

```

H27[i] * H35[i] * H52[i] * H61[i] * H73[i] + H16[i] * H27[i] * H35[i] *
H52[i] * H63[i] * H71[i] + H16[i] * H27[i] * H35[i] * H53[i] * H61[i] *
H72[i] - H16[i] * H27[i] * H35[i] * H53[i] * H62[i] * H71[i] + H17[i] *
H25[i] * H36[i] * H51[i] * H62[i] * H73[i] - H17[i] * H25[i] * H36[i] *
H51[i] * H63[i] * H72[i] - H17[i] * H25[i] * H36[i] * H52[i] * H61[i] *
H73[i] + H17[i] * H25[i] * H36[i] * H52[i] * H63[i] * H71[i] + H17[i] *
H25[i] * H36[i] * H53[i] * H61[i] * H72[i] - H17[i] * H25[i] * H36[i] *
H53[i] * H62[i] * H71[i] - H17[i] * H26[i] * H35[i] * H51[i] * H62[i] *
H73[i] + H17[i] * H26[i] * H35[i] * H51[i] * H63[i] * H72[i] + H17[i] *
H26[i] * H35[i] * H52[i] * H61[i] * H73[i] - H17[i] * H26[i] * H35[i] *
H52[i] * H63[i] * H71[i] - H17[i] * H26[i] * H35[i] * H53[i] * H61[i] *
H72[i] + H17[i] * H26[i] * H35[i] * H53[i] * H62[i] * H71[i] -
dos*H11*H16[i] * H22*H33*H61[i] * L - dos*H11*H22*H25[i] * H33*H52[i] * L -
dos*H11*H17[i] * H22*H33*H71[i] * L - dos*H11*H22*H33*H35[i] * H53[i] * L -
dos*H11*H22*H27[i] * H33*H72[i] * L - dos*H11*H22*H33*H36[i] * H63[i] * L +
H11*H16[i] * H27[i] * H61[i] * H72[i] * L - H11*H16[i] * H27[i] * H62[i] *
H71[i] * L - H11*H17[i] * H26[i] * H61[i] * H72[i] * L + H11*H17[i] * H26[i] *
H62[i] * H71[i] * L + H11*H25[i] * H36[i] * H52[i] * H63[i] * L -
H11*H25[i] * H36[i] * H53[i] * H62[i] * L - H11*H26[i] * H35[i] * H52[i] *
H63[i] * L + H11*H26[i] * H35[i] * H53[i] * H62[i] * L + H15[i] * H22*H27[i] *
H51[i] * H72[i] * L - H15[i] * H22*H27[i] * H52[i] * H71[i] * L + H15[i] *
H22*H36[i] * H51[i] * H63[i] * L - H15[i] * H22*H36[i] * H53[i] * H61[i] * L
+ dos*H15[i] * H26[i] * H33*H51[i] * H62[i] * L - dos*H15[i] * H26[i] *
H33*H52[i] * H61[i] * L - H16[i] * H22*H35[i] * H51[i] * H63[i] * L + H16[i] *
H22*H35[i] * H53[i] * H61[i] * L - dos*H16[i] * H25[i] * H33*H51[i] *
H62[i] * L + dos*H16[i] * H25[i] * H33*H52[i] * H61[i] * L - H17[i] *
H22*H25[i] * H51[i] * H72[i] * L + H17[i] * H22*H25[i] * H52[i] * H71[i] * L
+ H11*H16[i] * H37[i] * H61[i] * H73[i] * L - H11*H16[i] * H37[i] * H63[i] *
H71[i] * L - H11*H17[i] * H36[i] * H61[i] * H73[i] * L + H11*H17[i] * H36[i] *
H63[i] * H71[i] * L + H11*H25[i] * H37[i] * H52[i] * H73[i] * L -
H11*H25[i] * H37[i] * H53[i] * H72[i] * L - H11*H27[i] * H35[i] * H52[i] *
H73[i] * L + H11*H27[i] * H35[i] * H53[i] * H72[i] * L + dos*H15[i] *
H22*H37[i] * H51[i] * H73[i] * L - dos*H15[i] * H22*H37[i] * H53[i] * H71[i] *
L + H15[i] * H27[i] * H33*H51[i] * H72[i] * L - H15[i] * H27[i] *
H33*H52[i] * H71[i] * L + H15[i] * H33*H36[i] * H51[i] * H63[i] * L - H15[i] *
H33*H36[i] * H53[i] * H61[i] * L - H16[i] * H33*H35[i] * H51[i] * H63[i] *
L + H16[i] * H33*H35[i] * H53[i] * H61[i] * L - dos*H17[i] * H22*H35[i] *
H51[i] * H73[i] * L + dos*H17[i] * H22*H35[i] * H53[i] * H71[i] * L - H17[i] *
H25[i] * H33*H51[i] * H72[i] * L + H17[i] * H25[i] * H33*H52[i] * H71[i] *
L + dos*H11*H26[i] * H37[i] * H62[i] * H73[i] * L - dos*H11*H26[i] * H37[i] *
H63[i] * H72[i] * L - dos*H11*H27[i] * H36[i] * H62[i] * H73[i] * L +
dos*H11*H27[i] * H36[i] * H63[i] * H72[i] * L + H16[i] * H22*H37[i] * H61[i] *
H73[i] * L - H16[i] * H22*H37[i] * H63[i] * H71[i] * L + H16[i] * H27[i] *
H33*H61[i] * H72[i] * L - H16[i] * H27[i] * H33*H62[i] * H71[i] * L - H17[i] *
H22*H36[i] * H61[i] * H73[i] * L + H17[i] * H22*H36[i] * H63[i] * H71[i] *
L - H17[i] * H26[i] * H33*H61[i] * H72[i] * L + H17[i] * H26[i] * H33*H62[i] *
H71[i] * L + H22*H25[i] * H37[i] * H52[i] * H73[i] * L - H22*H25[i] *
H37[i] * H53[i] * H72[i] * L - H22*H27[i] * H35[i] * H52[i] * H73[i] * L +
H22*H27[i] * H35[i] * H53[i] * H72[i] * L + H25[i] * H33*H36[i] * H52[i] *
H63[i] * L - H25[i] * H33*H36[i] * H53[i] * H62[i] * L - H26[i] * H33*H35[i] *
H52[i] * H63[i] * L + H26[i] * H33*H35[i] * H53[i] * H62[i] * L);

7190
7191 vectordematrizk(k, vaux, i);
7192
7193 resultado02 = (1.0*numerador02) / denominador;
7194 resultado12 = (1.0*numerador12) / denominador;
7195 resultado20 = (1.0*numerador20) / denominador;
7196 resultado21 = (1.0*numerador21) / denominador;
7197
7198 g[0][2] = resultado02 * (polar(modulo, -escalar(r, vaux)))*pesos63[i] +
g[0][2];
7199 g[1][2] = resultado12 * (polar(modulo, -escalar(r, vaux)))*pesos63[i] +
g[1][2];
7200 g[2][0] = resultado20 * (polar(modulo, -escalar(r, vaux)))*pesos63[i] +
g[2][0];
7201 g[2][1] = resultado21 * (polar(modulo, -escalar(r, vaux)))*pesos63[i] +
g[2][1];
7202
7203 g[0][0] = Gab[0][0];
7204 g[0][1] = { -real(Gab[0][1]), -imag(Gab[0][1]) };
7205 g[0][3] = Gab[0][3];
7206
7207 g[1][0] = { -real(Gab[1][0]), -imag(Gab[1][0]) };
7208 g[1][1] = Gab[1][1];
7209 g[1][3] = Gab[1][3];
7210
7211 g[2][2] = Gab[2][2];
7212 g[2][3] = Gab[2][3];
7213
7214 g[3][0] = Gab[3][0];
7215 g[3][1] = Gab[3][1];
7216 g[3][2] = Gab[3][2];
7217 g[3][3] = Gab[3][3];
7218 }

```

Figura 4.44: Detalle de programación de la función que calcula los componentes de la transformada de Green más rápida. Es una función exacta y su uso es opcional.

## 5.- Análisis numérico del TB en C++

Previamente en el capítulo cuatro hemos presentado la creación del código para la parte lineal de TB en C++, sin embargo, toda resolución numérica computacional está sujeta a la precisión numérica de sus algoritmos. En este capítulo analizaremos la precisión de los resultados dependiendo de la estabilidad numérica, ajustaremos los resultados de nuestro programa con un TB lineal escrito en el lenguaje Mathematica y analizaremos la convergencia de los resultados al variar el número de puntos de la Zona de Brillouin.

### 5.1.- Tipos de datos en C++

El lenguaje de programación C y C++ comparten los mismos tipos de datos fundamentales (salvo bool que es exclusivo para C++):

**Tabla 5.1:** Tipos de datos en C++

Tipo de dato	Descripción	Número de bits
char	Caracteres	8
Wchar_t	Caracteres (a partir de 1998)	16
int	Entero	32
float	Número en coma flotante	32
double	Número en coma flotante	64
bool	Booleanos	8
Estos tipos de datos pueden variar con los modificadores: short, long, signed, unsigned, etc.		

Nuestro programa utiliza en exclusiva los tipos *double* e *int*. La revisión 11 de C++ incluye el espacio de nombres “complex” y permite utilizar números complejos usando la etiqueta *std::complex < double >* con ello podemos utilizar todos los números enteros, racionales, irracionales y complejos necesarios para el correcto funcionamiento del programa con una precisión adecuada.

Uno de los problemas que se origina con el cálculo numérico computacional es la multiplicación, división y longitud decimal si se compara con un operador humano. La operación más simple y significativa de lo anterior puede ser la siguiente

$$\text{Operación} = \frac{1}{3}x3 - 1 \quad 5.1$$

Un humano sabe que el resultado correcto es cero. Computacionalmente es diferente, el ordenador haría la primera operación dando a ello a un número racional periódico (esto implica pérdida de precisión), después multiplicaría ese número por tres y finalmente resta la unidad. El resultado será un número aproximado, pero no el resultado, es decir, el resultado posee inestabilidad numérica.

Nuestro código tiene pérdidas de precisión e inestabilidad numérica:

-La pérdida de precisión puede verse en cualquier operación de la librería Math, en una operación (principalmente las multiplicaciones y divisiones) cuyo resultado sea un número racional periódico o irracional, por ejemplo, al calcular las matrices de giro, al hacer el producto tensorial, etc.

-La inestabilidad numérica puede apreciarse en el cálculo del número de puntos de la ZB donde se necesita que un número decimal se incremente al entero siguiente. Utilizando el ejemplo anterior:

$$\frac{1}{3}x_3 = 1 \xrightarrow{\text{Siguiete numero entero}} 2$$

Por lo anteriormente mencionado el código haría:

$$\frac{1}{3}x_3 = 0.\hat{9} \xrightarrow{\text{Siguiete numero entero}} 1$$

Para solucionar estos problemas se realizó un código que resta dos números decimales y si son muy próximos entonces ambos números son iguales. Obsérvese que el criterio para determinar que un número es el mismo es que la diferencia entre ambos sea de  $10^{-11}$

```

3428     for (l = 0, b = 0; b < crea3; b++)
3429     {
3430         if ((ceil(number[b]) - number[b]) < 0.00000000001) //Asignacion de 0.999=1,
3431             //problemas de inestabilidad numerica
3432             {
3433                 auxil = ceil(number[b]);
3434             }
3435             else
3436             {
3437                 auxil = number[b];
3438             }
3439             for (i = 0; i < auxil; i++)
3440             {
3441                 escvec((i + 1), VEC, auxl);
3442                 for (j = 0; j < 2; j++)
3443                 {
3444                     puntos[i + 1][j] = ini[b][j] + auxl[j]; //ini depende de n y j
3445                     puntos[i + 1][2] = 0;
3446                 }
3447             }
3448             l = i + 1;
3449         }
3450         return((crea4 + crea3) * 12);
3451     }

```

**Figura 5.1:** Ejemplo de código donde existe inestabilidad numérica. Este fragmento está presente en la función *tamano* y *kapeso*

-Ambos casos, inestabilidad y pérdida de precisión, están presentes de forma significativa en el cálculo de la transformada de Green (recuérdese que para su cálculo se precisa el número de puntos de la ZB y todas las operaciones que dan lugar a la TBH). La precisión se puede ver fácilmente si comparamos el resultado del código C++ con su homólogo en Mathematica (Figuras 5.2 y 5.3).



<code>g11[r05]</code>	<code>g12[r05]</code>	<code>g13[r05]</code>	<code>g14[r05]</code>
$-0.0011629 - 1.15705 \times 10^{-18} i$	$-0.00485294 + 2.97309 \times 10^{-19} i$	$-0.002561 + 2.51992 \times 10^{-19} i$	0
<code>g21[r05]</code>	<code>g22[r05]</code>	<code>g23[r05]</code>	<code>g24[r05]</code>
$0.000208576 + 8.72444 \times 10^{-20} i$	$0.00297584 + 1.89735 \times 10^{-19} i$	$0.00212463 - 9.14796 \times 10^{-19} i$	0
<code>g31[r05]</code>	<code>g32[r05]</code>	<code>g33[r05]</code>	<code>g34[r05]</code>
$-0.00548327 + 1.1922 \times 10^{-18} i$	$-0.00813226 - 1.12147 \times 10^{-18} i$	$-0.000492665 + 8.06375 \times 10^{-19} i$	0
<code>g41[r05]</code>	<code>g42[r05]</code>	<code>g43[r05]</code>	<code>g44[r05]</code>
0	0	0	$-0.0330249 + 1.73733 \times 10^{-15} i$

**Figura 5.2:** Resolución de la transformada al espacio real de Green para la primera componente del tensor en Mathematica siendo su entrada  $L = 5$  y situado en  $r_{05}$ .

```
Dejando el Cero numerico de la ZB. Se ve el efecto que tiene en la transformada
de Green
Vector ZB fila 64 de 756
6.93889e-18 0.0946166 0

<-0.0011629,2.42251e-19> <-0.00485294,-2.93073e-19> <-0.002561,-1.22904e-18> <0,
0>
<0.000208576,-1.31375e-18> <0.00297584,-2.55465e-18> <0.00212463,-1.34509e-18> <
0,0>
<-0.00548327,1.23455e-18> <-0.00813226,-1.10792e-18> <-0.000492665,-1.74828e-18>
<0,0>
<0,0> <0,0> <0,0> <-0.0330249,-4.68028e-15>
```

**Figura 5.3:** Resolución de la transformada al espacio real de Green para la primera componente del tensor en C++ siendo su entrada  $L = 5$  y situado en  $r_{05}$ .

Las operaciones entre los dos programas son equivalentes. Los resultados son iguales en la parte real, pero difieren en la precisión de la parte imaginaria además se puede constatar que hay ceros numéricos en la parte imaginaria. Si actuamos e intentamos limitar el origen para su posterior eliminación operativa se comprueba que el problema está en el cálculo de los vectores para los puntos en la ZB. Eliminando posibles ceros numéricos en el vector de la ZB queda:

```
Quitando el Cero numerico de la ZB. Se ve el efecto que tiene en la transformada
de Green
Vector ZB fila 64 de 756
0 0.0946166 0

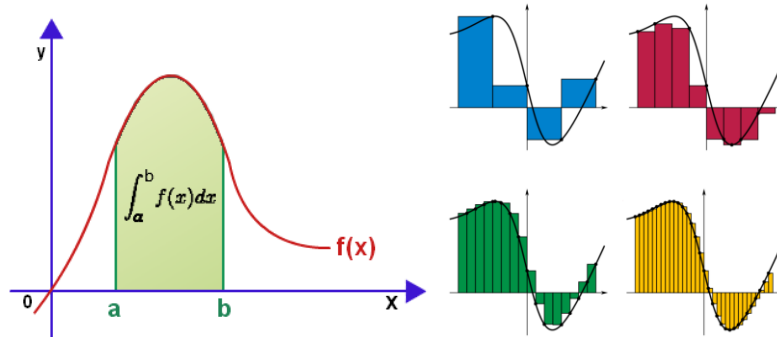
<-0.0131402,-0.0015434> <-0.00438814,0.00412043> <0.000359367,0.00133365> <0,0>
<-0.000520319,0.00287452> <-0.0102639,-0.00370014> <0.00301571,0.000716579> <0,0>
<-0.00248436,-0.00199603> <-0.0046866,-0.00103526> <-0.0139457,0.00126049> <0,0>
<0,0> <0,0> <0,0> <-0.0322317,0.00434172>
```

**Figura 5.4:** Resolución de la transformada al espacio real de Green para la primera componente del tensor en C++ siendo su entrada  $L = 5$  y situado en  $r_{05}$ . El argumento de entrada  $k$  no posee un número que sea inferior a  $10^{-12}$ .

Se observa que eliminando los ceros numéricos de los vectores de la ZB el resultado difiere considerablemente en la parte imaginaria y en menor medida en la real, por tanto, no se han eliminado los ceros numéricos de los vectores asociados a cada punto en la ZB, puesto que entonces sería imposible calibrar la precisión del programa en C++ utilizando como referencia Mathematica.

## 5.2.- Integrales numéricas

Se recuerda que la realización de una integral numérica es una suma infinita de áreas infinitesimales sobre la curva de la función.



**Figura 5.5:** A la izquierda resolución de una integral definida y a la derecha resolución de una integral definida utilizando la suma de Riehmán, obsérvese que a menor infinitésimo o paso de integral menor es el error que se comete.

Existen varios métodos para resolver numéricamente una integral. El método empleado en este trabajo es la suma de Riehmán y el algoritmo de la regla del rectángulo, que es un método clásico de resolución de integrales numéricas.

Para realizar la función *integraenlace1* e *integraenlace2* que están en la ecuación 4.20 se necesita hacer una integral definida como:

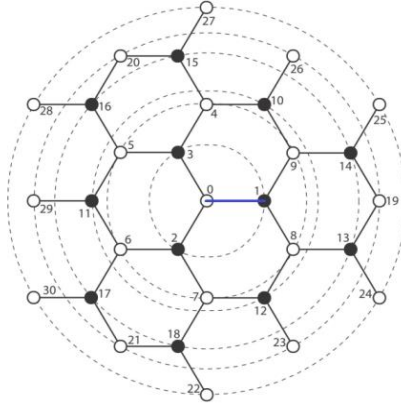
$$\int_{-\infty}^a f(x)dx \quad 5.2$$

Esta integral necesita precisar tres particularidades numéricas. La primera es que el integrando tiene asíntotas en el menos infinito y que precisa de un número imaginario tal y como se explicó en el capítulo cuatro; la segunda es un límite de integración que está abierto y hay que acotarlo a un valor finito que equivalga a infinito, y por último que el paso de la integral sea un compromiso entre resultados numéricos aceptables y un tiempo de computación comedido.

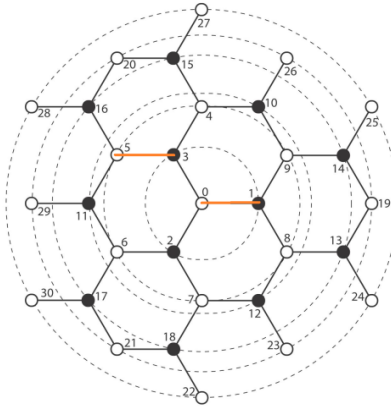
Primero se calcularán varios resultados finitos en Mathematica y con esos resultados podremos analizar cuán lejos estamos del resultado en el infinito, posteriormente analizaremos varias resoluciones del código C++ y se comparará con su resolución en Mathematica. Finalmente tomaremos una decisión de cuántas cifras decimales queremos y qué coste computacional debemos asumir.

Se evaluarán un ejemplo (el único disponible) de *integraenlace1* y dos de *integraenlace2*, uno de ellos será un enlace paralelo y otro será un enlace a 120° respecto a la referencia.

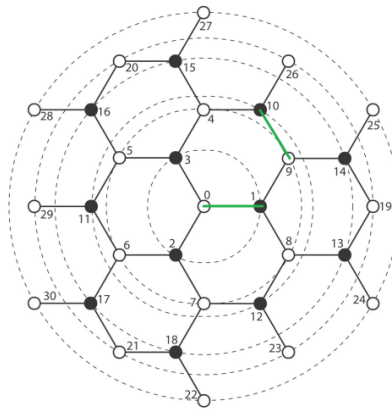




**Figura 5.6:** Visualización del enlace que evaluaremos para la función *integraenlace1* corresponde a  $E_{srd10d10}$  (Tablas 5.2 a 5.8)



**Figura 5.7:** Visualización del enlace que evaluaremos para la función *integraenlace2* corresponde a  $E_{d10d35}$  (Tablas 5.9 a 5.15)



**Figura 5.8:** Visualización del enlace que evaluaremos para la función *integraenlace2* corresponde a  $E_{d10d10p9}$  (Tablas 5.16 a 5.22)

**Tabla 5.2:** Resultados de Mathematica de la diagonal principal para la función *integraenlace1* variando el límite de integración inferior

Mathematica	$E_{srd10d10}(1,1)$	$E_{srd10d10}(2,2)$	$E_{srd10d10}(3,3)$
Infinito	-71.8777	56.0189	62.9873
20	-65.7426	52.7048	59.7238
21	-68.835	54.3985	61.3813
22	-71.4529	55.7795	62.7502
23	-71.749	55.9356	62.9055
24	-71.7806	55.9539	62.9235
25	-71.798	55.9645	62.9339
26	-71.8097	55.9719	62.9411
27	-71.8183	55.9774	62.9465
28	-71.8251	55.9818	62.9508
29	-71.8305	55.9854	62.9543
30	-71.835	55.9884	62.9572
31	-71.8388	55.991	62.9598
32	-71.842	55.9932	62.9619
33	-71.8448	55.9951	62.9638
34	-71.8473	55.9968	62.9655
35	-71.8494	55.9983	62.967
40	-71.8572	56.0038	62.9724
45	-71.8621	56.0073	62.9758
50	-71.8653	56.0097	62.9781
55	-71.8676	56.0114	62.9798
56	-71.868	56.0116	62.9801
60	-71.8693	56.0126	62.981
62	-71.8699	56.013	62.9815
63	-71.8701	56.0132	62.9816
65	-71.8706	56.0136	62.982
70	-71.8716	56.0143	62.9827
80	-71.8731	56.0154	62.9838
90	-71.8741	56.0162	62.9846
100	-71.8748	56.0167	62.9851
200	-71.8769	56.0184	62.9867
201	-71.877	56.0184	62.9867
210	-71.877	56.0184	62.9868
215	-71.8771	56.0184	62.9868
220	-71.8771	56.0185	62.9868

**Tabla 5.3:** Resultados de Mathematica y C++ para la función *integraenlace1* con el mismo límite de integración  $-30$  y diferentes pasos de la integral

Límite inferior 30	$E_{srd10d10}(1,1)$	$E_{srd10d10}(2,2)$	$E_{srd10d10}(3,3)$
dx=0.1	-71.88795373	56.01591124	63.06849026
dx=0.05	-71.82003181	55.97830905	62.94967153
dx=0.01	-71.83505342	55.98843012	62.95727665
Mathematica	-71.835	55.9884	62.9572

**Tabla 5.4:** Tabla de errores relativos en tanto por ciento del resultado entre Mathematica y C++ para la tabla 5.3:

Límite inferior 30	$E_{srd10d10}(1,1)$	$E_{srd10d10}(2,2)$	$E_{srd10d10}(3,3)$
dx=0.1	-0.0737	-0.0491	-0.1768
dx=0.05	0.0208	0.0180	0.0120
dx=0.01	-0.0001	-0.0001	-0.0001

**Tabla 5.5:** Resultados de Mathematica y C++ para la función *integraenlace1* con el mismo límite de integración  $-70$  y diferentes pasos de la integral

Límite inferior 70	$E_{srd10d10}(1,1)$	$E_{srd10d10}(2,2)$	$E_{srd10d10}(3,3)$
dx=0.1	-71.92436333	56.04170586	63.09385421
dx=0.05	-71.85653912	56.00416922	62.97509964
dx=0.01	-71.87159652	56.01431632	62.98272802
Mathematica	-71.8716	56.0143	62.9827

**Tabla 5.6:** Tabla de errores relativos en tanto por ciento del resultado entre Mathematica y C++ para la tabla 5.5:

Límite inferior 70	$E_{srd10d10}(1,1)$	$E_{srd10d10}(2,2)$	$E_{srd10d10}(3,3)$
dx=0.1	-0.07341	-0.04893	-0.17648
dx=0.05	0.02096	0.01809	0.01207
dx=0.01	0.000005	-0.00003	-0.00004

**Tabla 5.7:** Resultados de Mathematica y C++ para la función *integraenlace1* con el mismo límite de integración  $-205$  y diferentes pasos de la integral

Límite inferior 205	$E_{srd10d10}(1,1)$	$E_{srd10d10}(2,2)$	$E_{srd10d10}(3,3)$
dx=0.1	-71.92972661	56.04575705	63.09786838
dx=0.05	-71.86190672	56.00822364	62.97911700
dx=0.01	-71.87696758	56.01837332	62.98674794
Mathematica	-71.877	56.0184	62.9868

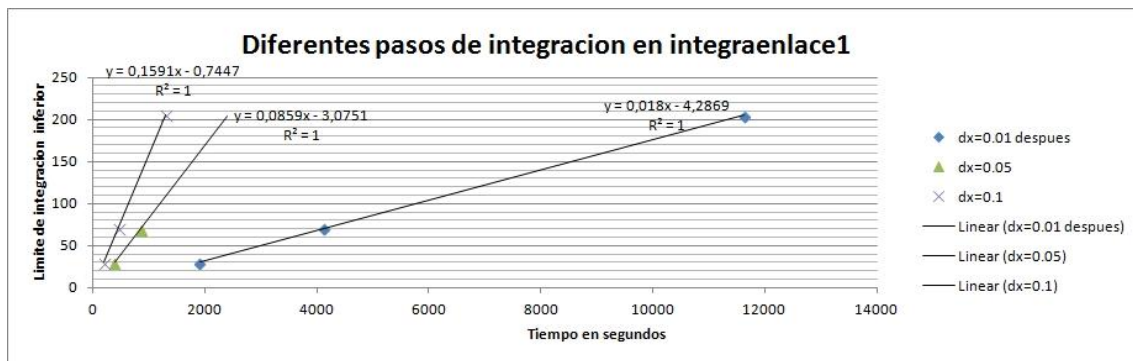
**Tabla 5.8:** Tabla de errores relativos en tanto por ciento del resultado entre Mathematica y C++ para la tabla 5.7:

Límite inferior 205	$E_{srd10d10}(1,1)$	$E_{srd10d10}(2,2)$	$E_{srd10d10}(3,3)$
dx=0.1	-0.07336	-0.04884	-0.17634
dx=0.05	0.02100	0.01817	0.01220
dx=0.01	0.00005	0.00005	0.00008

**Conclusiones:** Se observa que la asíntota de menos infinito empieza a encontrarse (Tabla 5.2) alrededor de un límite inferior de -22, esto supone que incrementos del límite inferior no producen grandes efectos sobre el resultado. En el límite 40 se encuentra el primer decimal común para toda la diagonal, el segundo decimal se encuentra alrededor del límite 63 y el tercero se encuentra en 201.

Respecto al programa en C++ dependiendo del paso de la integral se obtienen diferentes tiempos de computación así un pequeño paso supondrá una cantidad de operaciones mayor para llegar al mismo resultado, por ejemplo un paso de  $dx = 0.01$  supondrá 100 operaciones para llegar a la unidad mientras que  $dx = 0.1$  equivaldrá a ejecutar 10 operaciones.

El resultado de las tablas 5.3, 5.5 y 5.7 para  $dx = 0.01$  es el único que consigue ajustar *plenamente* el resultado de Mathematica con la ejecución de C++ por otra parte  $dx = 0.05$  es otro buen candidato para la resolución del problema a costa de menor precisión. Si comparamos esto mismo con las tablas de errores 5.4, 5.6 y 5.8 el error es prácticamente inexistente para  $dx = 0.01 \xrightarrow{\text{Error}} \approx 0.00005\%$  y ligeramente superior para  $dx = 0.05 \xrightarrow{\text{Error}} \approx 0.015\%$ .



**Figura 5.9:** Gráfica que representa el coste computacional variando el límite inferior de la integral y el paso

Para tomar la decisión de qué paso y límite escoger vamos a comparar el tiempo de resolución usando las ecuaciones de la figura 5.9.

$$y = 0.0859x - 3.0751 \quad (dx = 0.05) \quad ||| \quad y = 0.018x - 4.2869 \quad (dx = 0.01) \quad 5.3$$

$$\int_{040} : 0501.46s \leftrightarrow 08.36mins \quad ||| \quad 02460.38s \leftrightarrow 41.01 mins \quad 5.4$$

$$\int_{063} : 0769.21s \leftrightarrow 12.82mins \quad ||| \quad 03738.16s \leftrightarrow 62.30 mins \quad 5.5$$

$$\int_{201} : 2375.73s \leftrightarrow 39.56mins \quad ||| \quad 11404.83s \leftrightarrow 190.08 mins \quad 5.6$$

Finalmente se recuerda que la resolución de esta función se ejecuta una vez en el programa ya que se emplea simetría para calcular los otros dos enlaces de corto alcance y debido a la sección 3 de este capítulo donde se compararán resultados al variar la ZB, se resuelve que debe tener una precisión alta  $dx = 0.01$  y dos decimales para ello el límite inferior será -63.

**Tabla 5.9:** Resultados de Mathematica de la diagonal principal para la función *integraenlace2* variando el límite de integración inferior

Mathematica	$E_{d10d35}(1,1)$	$E_{d10d35}(2,2)$	$E_{d10d35}(3,3)$
Infinito	-0.310334	0.118217	-0.156273
20	-0.869126	0.141586	-0.174729
21	1.92371	0.131025	-0.167053
22	0.655242	0.119702	-0.157512
23	-0.294116	0.11372	-0.15638
24	-0.306251	0.11829	-0.156319
25	-0.308863	0.118259	-0.156296
26	-0.30971	0.118243	-0.156285
27	-0.310043	0.118234	-0.156279
28	-0.31019	0.118229	-0.156276
29	-0.310259	0.118226	-0.156274
30	-0.310293	0.118223	-0.156273
31	-0.310311	0.118222	-0.156272
32	-0.31032	0.118221	-0.156271
33	-0.310324	0.11822	-0.156271
34	-0.310327	0.11822	-0.156271
35	-0.310328	0.118219	-0.156271
36	-0.310328	0.118219	-0.156271
37	-0.310328	0.118219	-0.156271
38	-0.310328	0.118219	-0.156271
39	-0.310328	0.118219	-0.156271
40	-0.310328	0.118218	-0.156271
41	-0.310328	0.118218	-0.156271
42	-0.310328	0.118218	-0.156271
49	-0.310328	0.118218	-0.156272
50	-0.310328	0.118218	-0.156272
51	-0.310328	0.118218	-0.156272
52	-0.310328	0.118218	-0.156272
53	-0.310328	0.118218	-0.156272
54	-0.310328	0.118218	-0.156272
55	-0.310328	0.118218	-0.156272
59	-0.310329	0.118218	-0.156272
60	-0.310329	0.118218	-0.156272
61	-0.310329	0.118218	-0.156272
62	-0.310329	0.118218	-0.156272
63	-0.310329	0.118218	-0.156272
64	-0.31033	0.118218	-0.156272
65	-0.31033	0.118218	-0.156272
70	-0.31033	0.118218	-0.156273

**Tabla 5.10:** Resultados de Mathematica y C++ de la diagonal principal para la función *integraenlace2* con el mismo límite de integración  $-10$  y diferentes pasos de la integral

Límite inferior 10	$E_{d10d35}(1,1)$	$E_{d10d35}(2,2)$	$E_{d10d35}(3,3)$
dx=0.1	0.446771447	-0.380180578	-0.034739621
dx=0.05	0.688380699	-0.493058943	-0.033212537
dx=0.01	0.624153650	-0.499741693	-0.032587680
Mathematica	0.607473	-0.500018	-0.0325118

**Tabla 5.11:** Tabla de errores relativos en tanto por ciento del resultado entre Mathematica y C++ para la tabla 5.10:

Límite inferior 10	$E_{d10d35}(1,1)$	$E_{d10d35}(2,2)$	$E_{d10d35}(3,3)$
dx=0.1	26.4541	23.9666	-6.8523
dx=0.05	-13.3187	1.3918	-2.1553
dx=0.01	-2.7459	0.0553	-0.2334

**Tabla 5.12:** Resultados de Mathematica y C++ de la diagonal principal para la función *integraenlace2* con el mismo límite de integración  $-30$  y diferentes pasos de la integral

Límite inferior 30	$E_{d10d35}(1,1)$	$E_{d10d35}(2,2)$	$E_{d10d35}(3,3)$
dx=0.1	-0.809381767	0.207993892	-0.158553902
dx=0.05	-0.097435425	0.120267529	-0.156552218
dx=0.01	-0.310293526	0.118223261	-0.156269768
Mathematica	-0.310293	0.118223	-0.15627

**Tabla 5.13:** Tabla de errores relativos en tanto por ciento del resultado entre Mathematica y C++ para la tabla 5.12:

Límite inferior 30	$E_{d10d35}(1,1)$	$E_{d10d35}(2,2)$	$E_{d10d35}(3,3)$
dx=0.1	-160.8444	-75.9335	-1.4596
dx=0.05	68.5989	-1.7294	-0.1787
dx=0.01	-0.0002	-0.0002	0.0021

**Tabla 5.14:** Resultados de Mathematica y C++ de la diagonal principal para la función *integraenlace2* con el mismo límite de integración  $-60$  y diferentes pasos de la integral

Límite inferior 60	$E_{d10d35}(1,1)$	$E_{d10d35}(2,2)$	$E_{d10d35}(3,3)$
dx=0.1	-0.809416408	0.207988248	-0.158553596
dx=0.05	-0.097470653	0.120261842	-0.156551887
dx=0.01	-0.310329564	0.118217788	-0.156275071
Mathematica	-0.310329	0.118218	-0.156272

**Tabla 5.15:** Tabla de errores relativos en tanto por ciento del resultado entre Mathematica y C++ para la tabla 5.14:

Límite inferior 60	$E_{d10d35}(1,1)$	$E_{d10d35}(2,2)$	$E_{d10d35}(3,3)$
dx=0.1	-160.8253	-75.9362	-1.4600
dx=0.05	68.5912	-1.7289	-0.1791
dx=0.01	-0.0002	0.0002	-0.0020

**Tabla 5.16:** Resultados de Mathematica de la diagonal principal para la función *integraenlace2* variando el límite de integración inferior

Mathematica	$E_{d10d10p9}(1,1)$	$E_{d10d10p9}(2,2)$	$E_{d10d10p9}(3,3)$
Infinito	0.461331	-0.164122	0.297087
20	0.123914	0.221014	0.276321
21	-1.12794	0.0412072	0.285792
22	-0.068123	-0.142047	0.295792
23	0.450062	-0.162	0.296938
24	0.458087	-0.16315	0.29701
25	0.460013	-0.163577	0.29704
26	0.460703	-0.163783	0.297055
27	0.461002	-0.163897	0.297064
28	0.461148	-0.163966	0.29707
29	0.461226	-0.164009	0.297074
30	0.461269	-0.164038	0.297077
31	0.461294	-0.164059	0.297079
32	0.46131	-0.164073	0.297081
33	0.461319	-0.164083	0.297082
34	0.461325	-0.164091	0.297083
35	0.461329	-0.164097	0.297083
36	0.461331	-0.164101	0.297084
37	0.461332	-0.164105	0.297084
38	0.461333	-0.164108	0.297085
39	0.461334	-0.16411	0.297085
40	0.461334	-0.164112	0.297085
41	0.461334	-0.164113	0.297085
42	0.461334	-0.164114	0.297086
49	0.461333	-0.164119	0.297086
50	0.461333	-0.164119	0.297086
51	0.461333	-0.164119	0.297088
52	0.461333	-0.164119	0.297086
53	0.461332	-0.16412	0.297086
54	0.461332	-0.16412	0.297086
55	0.461332	-0.16412	0.297086
59	0.461332	-0.16412	0.297087
60	0.461332	-0.164121	0.297087
61	0.461332	-0.164121	0.297087
62	0.461332	-0.164121	0.297087
63	0.461332	-0.164121	0.297087
64	0.461331	-0.164121	0.297087
65	0.461331	-0.164121	0.297087
70	0.461331	-0.164121	0.297087

**Tabla 5.17:** Resultados de Mathematica y C++ de la diagonal principal para la función *integraenlace2* con el mismo límite de integración  $-10$  y diferentes pasos de la integral

Límite inferior 10	$E_{d10d10p9}(1,1)$	$E_{d10d10p9}(2,2)$	$E_{d10d10p9}(3,3)$
dx=0.1	2.085121752	0.155856886	0.355784547
dx=0.05	2.300035573	0.285739369	0.357354615
dx=0.01	2.362618331	0.297387918	0.357280588
Mathematica	2.37148	0.300113	0.357356

**Tabla 5.18:** Tabla de errores relativos en tanto por ciento del resultado entre Mathematica y C++ para la tabla 5.17:

Límite inferior 10	$E_{d10d10p9}(1,1)$	$E_{d10d10p9}(2,2)$	$E_{d10d10p9}(3,3)$
dx=0.1	12.0751	48.0673	0.4397
dx=0.05	3.0127	4.7894	0.0004
dx=0.01	0.3737	0.9080	0.0211

**Tabla 5.19:** Resultados de Mathematica y C++ de la diagonal principal para la función *integraenlace2* con el mismo límite de integración  $-10$  y diferentes pasos de la integral

Límite inferior 30	$E_{d10d10p9}(1,1)$	$E_{d10d10p9}(2,2)$	$E_{d10d10p9}(3,3)$
dx=0.1	1.052289302	-0.093601866	0.295450455
dx=0.05	0.413358785	-0.157390836	0.297441859
dx=0.01	0.461268157	-0.164039814	0.297090518
Mathematica	0.461269	-0.164038	0.297077

**Tabla 5.20:** Tabla de errores relativos en tanto por ciento del resultado entre Mathematica y C++ para la tabla 5.19:

Límite inferior 30	$E_{d10d10p9}(1,1)$	$E_{d10d10p9}(2,2)$	$E_{d10d10p9}(3,3)$
dx=0.1	-128.1292	42.9389	0.5475
dx=0.05	10.3866	4.0522	-0.1228
dx=0.01	0.0002	-0.0011	-0.0046

**Tabla 5.21:** Resultados de Mathematica y C++ de la diagonal principal para la función *integraenlace2* con el mismo límite de integración  $-10$  y diferentes pasos de la integral

Límite inferior 60	$E_{d10d10p9}(1,1)$	$E_{d10d10p9}(2,2)$	$E_{d10d10p9}(3,3)$
dx=0.1	1.052350329	-0.093682783	0.295459906
dx=0.05	0.413420616	-0.157472343	0.297451368
dx=0.01	0.461332757	-0.164119258	0.297072954
Mathematica	0.461332	-0.164121	0.297087

**Tabla 5.22:** Tabla de errores relativos en tanto por ciento del resultado entre Mathematica y C++ para la tabla 5.21:

Límite inferior 10	$E_{d10d10p9}(1,1)$	$E_{d10d10p9}(2,2)$	$E_{d10d10p9}(3,3)$
dx=0.1	-128.1113	42.9185	0.5477
dx=0.05	10.3854	4.0511	-0.1226
dx=0.01	-0.0002	0.0011	0.0047



**Conclusiones:** Se observa que alrededor del límite inferior -23, ambos enlaces empiezan a converger al resultado real (tablas 5.9 y 5.16), esto supone que incrementos del límite inferior no produzcan grandes efectos sobre el resultado. La convergencia en estas funciones es más elevada sea cual sea el argumento debido principalmente a su construcción. Simplificando las operaciones la función *integraenlace1* equivaldría a:

$$\int f(x)dx \leftarrow f(x) = \frac{a}{x} \quad 5.7$$

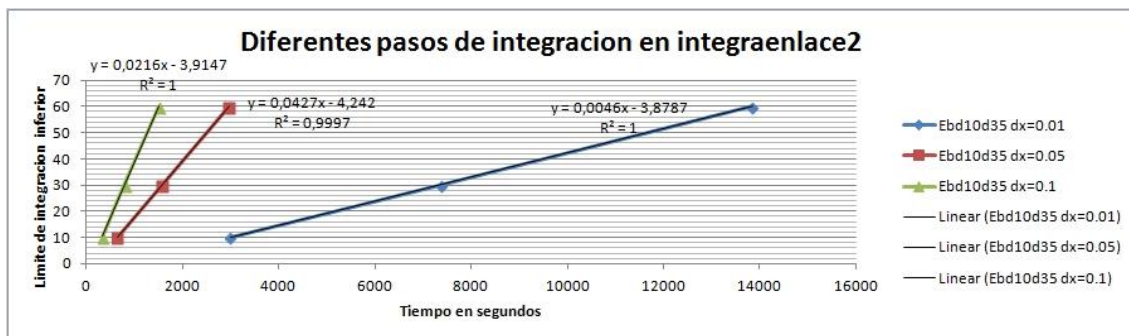
Mientras que la función *integraenlace2* sería:

$$\int f(x) \cdot g(x)dx \leftarrow f(x) = \frac{a}{x} ; g(x) = \frac{b}{x} \quad 5.8$$

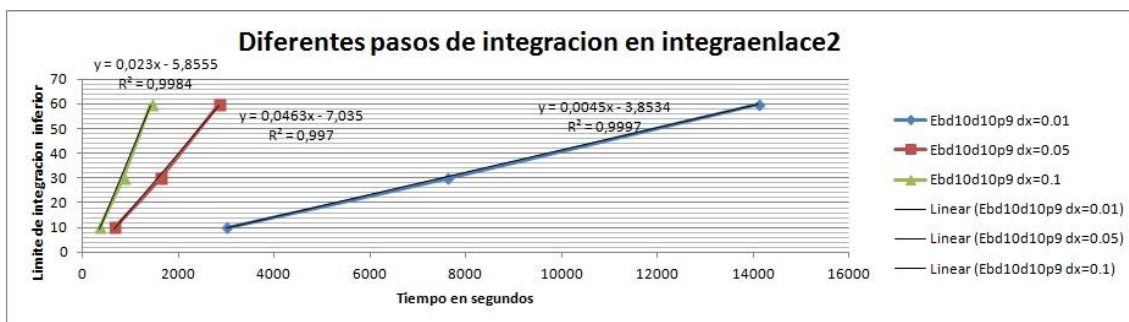
Siendo *a* y *b* parámetros cualquiera, la convergencia es más rápida por el denominador.

Hay que destacar que esta multiplicación de funciones produce que sea intolerable un paso de integral más grande a  $dx = 0.01$  porque entonces la integral no puede seguir la evolución del producto de funciones dando un resultado con errores muy abultados en ambos casos (véase tablas de errores para ambos enlaces: 5.11, 5.13, 5.15, 5.18, 5.20 y 5.22). El error generado con el paso pequeño tiene un orden de magnitud en tanto por ciento de 0.001%

Para tomar la decisión de qué límite escoger vamos a comparar el tiempo de resolución usando las ecuaciones de la figura 5.10 y 5.11



**Figura 5.10:** Gráfica que representa el coste computacional dado un límite inferior de la integral. Casos realizados para  $E_{bd10d35}$



**Figura 5.11:** Gráfica que representa el coste computacional dado un límite inferior de la integral. Casos realizados para  $E_{bd10d10p9}$

Realizando unas operaciones análogas a *integraenlace1* pero adaptadas a estos dos enlaces en *integraenlace2*. Obtenemos las siguientes tablas.

**Tabla 5.23:** Tabla para  $E_{d10d35}$  entre Mathematica (Referencia en infinito) y C++ que muestra el coste computacional para alcanzar diferentes decimales de precisión

Decimal	Límite $E_{d10d35}$	$E_{d10d35}(1,1)$	$E_{d10d35}(2,2)$	$E_{d10d35}(3,3)$	Tiempo (min)
$\infty$	$\infty$	-0.310334	0.118217	-0.156273	
1	24	-0.306251	0.11829	-0.156319	101.01
2	27	-0.310043	0.118234	-0.156279	111.88
3	28	-0.310043	0.118234	-0.156279	115.50
4	31	-0.310311	0.118222	-0.156272	126.37
5	64	-0.310330	0.118218	-0.156272	245.94

**Tabla 5.24:** Tabla para  $E_{d10d10p9}$  entre Mathematica (Referencia en infinito) y C++ que muestra el coste computacional para alcanzar diferentes decimales de precisión

Decimal	Límite $E_{d10d10p9}$	$E_{d10d10p9}(1,1)$	$E_{d10d10p9}(2,2)$	$E_{d10d10p9}(3,3)$	Tiempo (min)
$\infty$	$\infty$	0.461331	-0.164122	0.297087	
1	23	0.450062	-0.162	0.296938	99.46
2	25	0.460013	-0.163577	0.29704	106.86
3	29	0.461226	-0.164009	0.297074	121.68
4	36	0.461331	-0.164101	0.297084	147.61
5	53	0.461332	-0.16412	0.297086	210.57

Existen multitud de criterios a la hora de elegir cuál puede ser el límite utilizando un criterio de precisión decimal, por ejemplo podría hacerse la media entre los dos límites inferiores que hemos obtenido o calcular otro enlace "para desempatar" pero en ese caso tendríamos el problema de saber dónde estaría el límite de enlaces puesto que son infinitos o incluso si nos limitáramos hasta los terceros vecinos la cantidad ingente de datos haría muy difícil su análisis, por ese motivo se eligieron enlaces a cero y a ciento veinte grados que son las únicas geometrías existentes.

En este caso hemos decidido usar un criterio del límite basado en un decimal de referencia (Mathematica) al peor caso posible para estos dos enlaces de referencia frente al resto, obsérvese que esta problemática no existe en *integraenlace1* ya que se usa simetría.

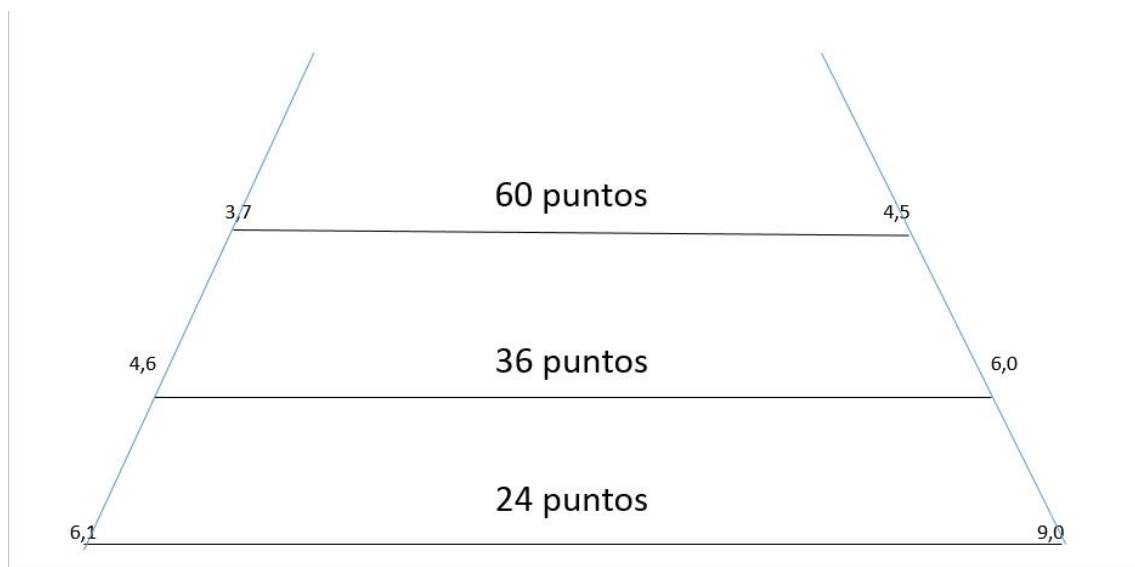
Otro criterio diferente al de ajuste por decimales (extensible para *integraenlace1*) podría ser emplear una tolerancia basada en el error ó al resultado respecto al infinito de Mathematica.

Independientemente no existe un criterio único y completamente válido. Finalmente se resume que el criterio obtenido para *integraenlace2* sea un límite inferior de  $-36$  y un infinitésimo (paso de la integral)  $dx = 0.01$ .

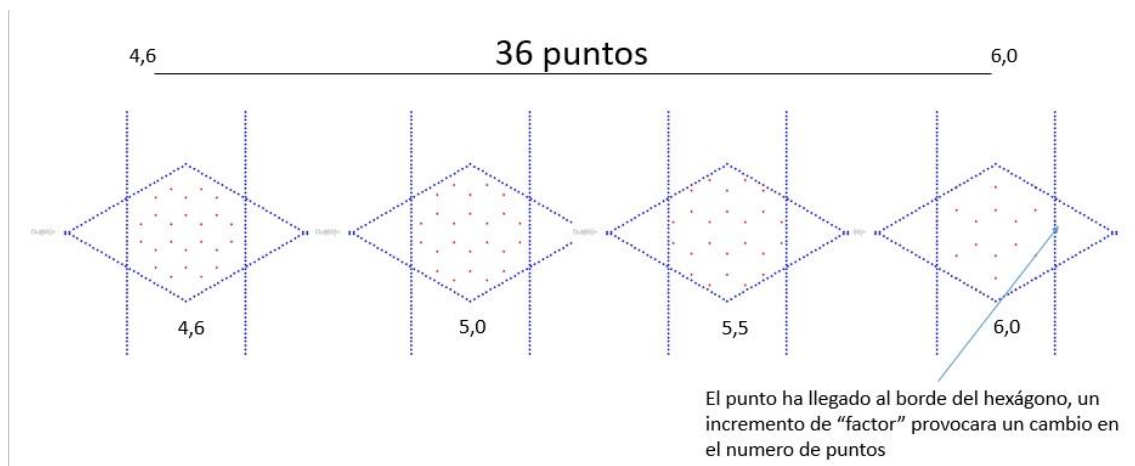
### 5.3.- Análisis de la convergencia de resultados al variar el número de puntos de la ZB.

Finalmente y para concluir este trabajo fin de grado, vamos a analizar la sensibilidad de resultados al variar la zona de Brillouin para ello modificaremos el término *factor* incluido en la macros del programa (*#define*) que tiene los siguientes efectos en el programa:

1. Número de puntos de la ZB. A menor factor la cantidad de puntos aumenta y viceversa.
2. Localización de los puntos en la primera zona de Brillouin.



**Figura 5.12:** Número de puntos de la ZB variando factor.



**Figura 5.13:** Situación espacial de los puntos dependiendo del término “factor”. Los puntos más interiores son al principio del intervalo y los más alejados están al final.

Un hecho que se observa trabajando con “factor”, única variable existente en este subcapítulo, es que mantener un incremento o decremento constante, forma una pirámide (figura 5.12). Esto supone un problema en la cima de la pirámide donde existirán algunos rangos de puntos que no podrán recogerse si se mantiene el mismo incremento o decremento *sine die*.

Para solventar esta problemática se realiza un tanteo en los bordes del intervalo de todos los puntos aumentando el número de decimales y calculando cuál sería el número de puntos a la derecha e izquierda de ese valor. Si el resultado es el mismo entonces no hay una zona de puntos en el interior, por el contrario, si la hubiera se deberá de aumentar el número de decimales entre ambos y calcular los puntos en esa nueva zona, ejemplificando esta operación:

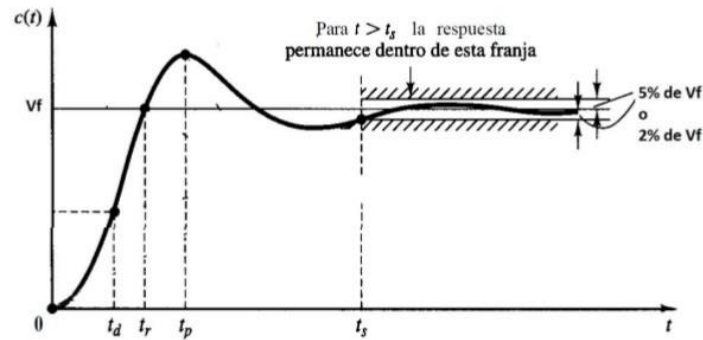
**Tabla 5.25:** Evolución del número de puntos al decrementar la variable haciendo la operación anterior

Número de puntos	Factor
360	1.5
360	1.4
420	1.3
480	1.28
480	1.26
480	1.24
480	1.22
540	1.20
540	1.18
540	1.16
540	1.14
612	1.12
612	1.10
612	1.08
612	1.06
684	1.04
684	1.02
756	1.00

Es importante que una vez que se incrementa el número de decimales, no se debe volver al estado anterior porque la solución es piramidal y al hacer esto implicará tener el riesgo de perder zonas de puntos.

Concluyendo, las anotaciones sobre la variable en el caso de que haya un decimal, su incremento será decima a décima. Al aumentar a dos decimales el incremento será igual al número de decimales presentes, esto es de dos a dos centésimas y así sucesivamente.

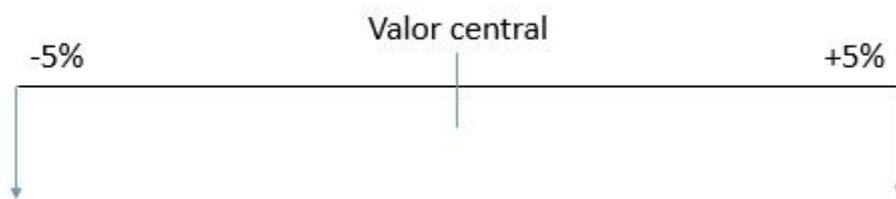
Respecto a la convergencia, objetivo real de este epígrafe, se ha necesitado construir un criterio para saber cuándo la alcanza. Inspirándose en la mecánica vibratoria (Respuesta de sistemas subamortiguados) o en el control automático (Respuesta de sistemas de segundo orden) asumiremos la convergencia cuando se alcance una banda y la solución no la abandone jamás.



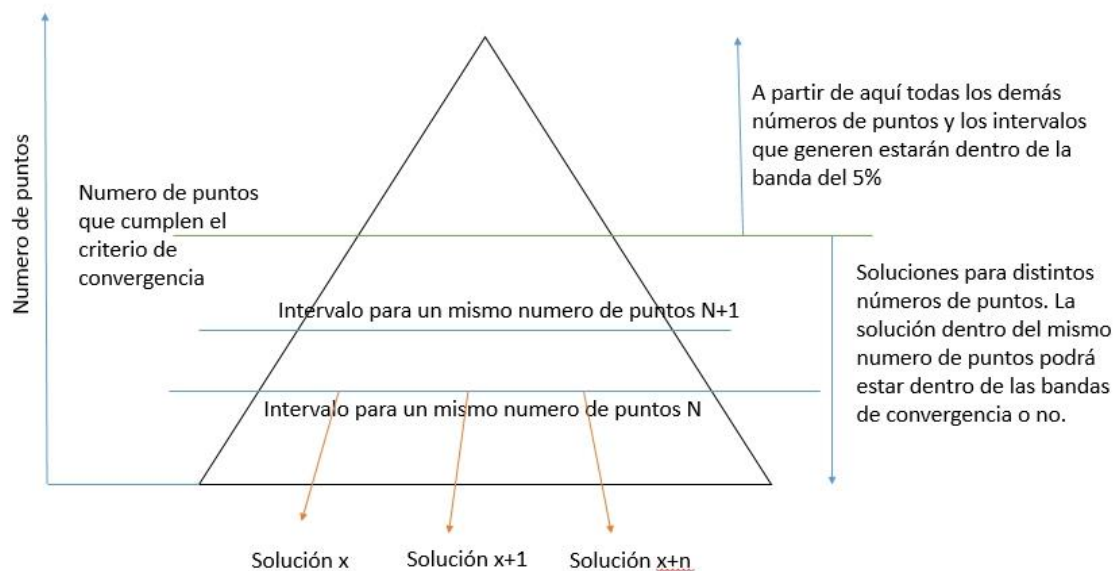
**Figura 5.14:** Respuesta de un sistema de segundo orden o subamortiguado.

Estos criterios para los miembros no nulos serán:

1. Tres componentes de la solución de la matriz no excederán el 5% en los bordes desde el centro del intervalo.
2. Dos componentes de la solución de la matriz no excederán el 20% en los bordes desde el centro del intervalo.



**Figura 5.15:** La solución no podrá exceder el 5% de su valor central en los extremos del intervalo para tres componentes de la matriz.



**Figura 5.16:** Distintos números de puntos y las soluciones que se generan en el intervalo. Si se alcanza la convergencia en un intervalo se cumplirá en todos los demás números de puntos en cualquier zona de su intervalo sucesivos arriba de la pirámide. Esto se justifica en el Anexo H

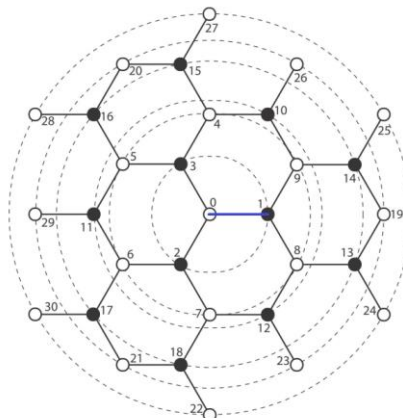
El valor de la variable aumentará solo un decimal adicional para buscar los límites inferior y superior del criterio convergente. Este criterio evita caer en el relativismo de igual forma que solo se analizan dos enlaces frente a los infinitos enlaces que hay en una red de grafeno.

**Tabla 5.26:** Ejemplo de la aplicación de la convergencia para la variable, posteriormente hay que ejecutar la solución para saber si debemos continuar aumentando el número de puntos. Se observa que factor tiene dos decimales luego para buscar el límite inferior y superior hay que aumentar a tres decimales.

Nº de puntos	Rango de Factor en la pirámide	Tanteo de extremo convergente inferior	Tanteo de extremo convergente superior
2964	0.48	0.474	0.486
2808	0.49-0.50	0.487	0.500
2684	0.51	0.501	0.514

El Anexo H contiene una muestra de un Excel generado que resume la aplicación de todo el capítulo. Por un lado, calcula la solución a diferentes valores de la variable tanto en el programa de C++ como de Mathematica para posteriormente calcular el error relativo. La resolución es acorde a la precisión demandada en el análisis de sensibilidad de la integral.

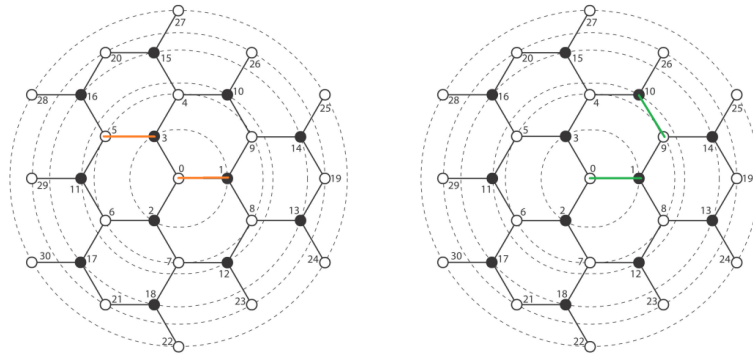
Al hacer este análisis se vio de inmediato que la función *integraenlace1* tiene de por sí el criterio convergente que hemos demandado, por lo que no tiene sentido analizar las pequeñas diferencias de valor que se alcanzan.



**Figura 5.17:** Visualización del enlace para la función *integraenlace1* corresponde a  $E_{srd10d10}$

Los resultados del criterio convergente por lo dicho anteriormente, tienen que ser calculados para *integraenlace2* y en sus dos enlaces seleccionados.





**Figura 5.18:** Visualización de los enlaces que evaluaremos y estudiaremos su convergencia, corresponden a *integraenlace2*. A la izquierda  $E_{d10d35}$  y a la derecha  $E_{d10d10p9}$

Este análisis es integro en Mathematica y sus conclusiones y cálculos fueron procesados en un Excel, figuras 5.19 y 5.20.

El centro del intervalo de la variable se ha calculado de dos formas: La primera es analítica, que es calcular el valor de “factor” a la mitad entre los dos extremos para después ejecutar el programa en esos tres puntos. La segunda es inferir el resultado por la continuidad de las funciones de cada componente de la matriz, es decir, calcular dos puntos que son los extremos.

Los términos  $a_{13}$ ,  $a_{23}$ ,  $a_{31}$  y  $a_{32}$  de la matriz son nulos y por ese motivo no se han representado.

Las conclusiones a las que se llegan son:

- $E_{d10d35}$  alcanza la convergencia en la imagen mostrada en 2664 puntos por los dos métodos del cálculo del centro del intervalo.
- $E_{d10d10p9}$  alcanza la convergencia en 2964 puntos con el método de inferir el centro al ser las funciones continuas y en 3120 puntos por los dos métodos del cálculo del centro del intervalo.

#### Conclusión:

- Basándonos en calcular tres puntos, dos extremos y la media en el centro:  $E_{d10d35}$  alcanza la convergencia en 2664 puntos,  $E_{d10d10p9}$  lo alcanza en 3120 puntos.
- Basándonos en el cálculo de dos puntos e inferir el centro:  $E_{d10d35}$  alcanza la convergencia en 2664 puntos,  $E_{d10d10p9}$  lo alcanza en 2964 puntos

La diferencia entre la forma del cálculo del centro si nos basamos en el relativismo de que son números irracionales y que siempre habrá un error en el cálculo del centro al no saber de forma correcta los extremos nos hace pensar que sea mejor basarnos en la continuidad de las funciones y por tanto la convergencia se alcanza en los 2964 puntos.

Por tanto, suponiendo que están recogidos todo el universo de muestras se concluye que la convergencia se alcanza en el caso más desfavorable y esta es en  $E_{d10d10p9}$  con 2964 puntos.

Ebd10d35											
		Resultados					Tolerancia				
		a11	a12	a21	a22	a33	a11	a12	a21	a22	a33
2664 puntos											
0,501	Limite inferior	-0,301774	-0,01731	-0,01731	0,194173	-0,27969	0,62	0,92	0,92	14,16	18,21
Calculo	Centro	-0,303655	-0,01747	-0,01747	0,170095	-0,23661	0,00	0,00	0,00	0,00	0,00
0,514	Limite superior	-0,305535	-0,01763	-0,01763	0,146017	-0,19353	0,62	0,92	0,92	14,16	18,21
0,501	Limite inferior	-0,301774	-0,01731	-0,01731	0,194173	-0,27969	0,18	1,46	1,46	13,70	19,62
0,5075	Centro	-0,301222	-0,01757	-0,01757	0,170773	-0,23382	0,00	0,00	0,00	0,00	0,00
0,514	Limite superior	-0,305535	-0,01763	-0,01763	0,146017	-0,19353	1,43	0,36	0,36	14,50	17,23
2808 puntos											
0,487	Limite inferior	-0,301755	-0,01729	-0,01729	0,195142	-0,28181	0,49	0,96	0,96	14,51	18,69
CALC	Centro	-0,303242	-0,01746	-0,01746	0,170408	-0,23743	0,00	0,00	0,00	0,00	0,00
0,500	Limite superior	-0,304728	-0,01763	-0,01763	0,145674	-0,19305	0,49	0,96	0,96	14,51	18,69
0,487	Limite inferior	-0,301755	-0,01729	-0,01729	0,195142	-0,28181	0,31	1,54	1,54	14,03	20,18
0,4935	Centro	-0,300837	-0,01757	-0,01757	0,171127	-0,23448	0,00	0,00	0,00	0,00	0,00
0,500	Limite superior	-0,304728	-0,01763	-0,01763	0,145674	-0,19305	1,29	0,37	0,37	14,87	17,67
2964 puntos											
0,474	Limite inferior	-0,302722	-0,01728	-0,01728	0,19443	-0,28009	0,61	0,95	0,95	13,71	17,74
CALC	Centro	-0,304577	-0,01744	-0,01744	0,170991	-0,23789	0,00	0,00	0,00	0,00	0,00
0,486	Limite superior	-0,306432	-0,01761	-0,01761	0,147551	-0,19569	0,61	0,95	0,95	13,71	17,74
0,474	Limite inferior	-0,302722	-0,01728	-0,01728	0,19443	-0,28009	0,15	1,48	1,48	13,28	19,07
0,480	Centro	-0,302272	-0,01753	-0,01753	0,171641	-0,23523	0,00	0,00	0,00	0,00	0,00
0,486	Limite superior	-0,306432	-0,01761	-0,01761	0,147551	-0,19569	1,38	0,41	0,41	14,04	16,81
3120 puntos											
0,462	Limite inferior	-0,301766	-0,01731	-0,01731	0,193993	-0,2793	0,45	0,91	0,91	12,80	16,67
CALC	Centro	-0,303145	-0,01747	-0,01747	0,171986	-0,23939	0,00	0,00	0,00	0,00	0,00
0,473	Limite superior	-0,304523	-0,01763	-0,01763	0,149979	-0,19949	0,45	0,91	0,91	12,80	16,67
0,462	Limite inferior	-0,301766	-0,01731	-0,01731	0,193993	-0,2793	0,22	1,38	1,38	12,42	17,83
0,4675	Centro	-0,30111	-0,01755	-0,01755	0,172565	-0,23704	0,00	0,00	0,00	0,00	0,00
0,473	Limite superior	-0,304523	-0,01763	-0,01763	0,149979	-0,19949	1,13	0,44	0,44	13,09	15,84

Figura 5.19: Calculo de Mathematica en distintos puntos en los intervalos extremos y su posterior análisis de la convergencia para  $E_{d10d35}$ .

Ebd10d10p9											
Convergencia		Resultados					Tolerancia				
		a11	a12	a21	a22	a33	a11	a12	a21	a22	a33
2664 puntos											
0,501	Limite inferior	0,404751	-0,829	-0,12899	-0,14834	0,3457	4,44	5,91	9,35	3,17	5,04
Calculo	Centro	0,423569	-0,88102	-0,11796	-0,15319	0,329112	0,00	0,00	0,00	0,00	0,00
0,514	Limite superior	0,442387	-0,93305	-0,10693	-0,15804	0,312524	4,44	5,91	9,35	3,17	5,04
0,501	Limite inferior	0,404751	-0,829	-0,12899	-0,14834	0,3457	4,47	5,89	9,44	2,99	5,23
0,5075	Centro	0,423701	-0,88085	-0,11786	-0,15291	0,328518	0,00	0,00	0,00	0,00	0,00
0,514	Limite superior	0,442387	-0,93305	-0,10693	-0,15804	0,312524	4,41	5,93	9,28	3,36	4,87
2808 puntos											
0,487	Limite inferior	0,403923	-0,82677	-0,12947	-0,14816	0,346484	4,54	6,05	9,60	3,25	5,18
CALC	Centro	0,423122	-0,87999	-0,11812	-0,15314	0,329422	0,00	0,00	0,00	0,00	0,00
0,500	Limite superior	0,442321	-0,93321	-0,10678	-0,15812	0,312359	4,54	6,05	9,60	3,25	5,18
0,487	Limite inferior	0,403923	-0,82677	-0,12947	-0,14816	0,346484	4,59	6,04	9,69	3,06	5,38
0,4935	Centro	0,42335	-0,87996	-0,11802	-0,15284	0,328793	0,00	0,00	0,00	0,00	0,00
0,500	Limite superior	0,442321	-0,93321	-0,10678	-0,15812	0,312359	4,48	6,05	9,53	3,46	5,00
2964 puntos											
0,474	Limite inferior	0,403976	-0,82744	-0,12905	-0,14826	0,345608	4,37	5,79	9,10	3,08	4,93
CALC	Centro	0,422428	-0,87834	-0,11828	-0,15297	0,329376	0,00	0,00	0,00	0,00	0,00
0,486	Limite superior	0,44088	-0,92924	-0,10752	-0,15769	0,313143	4,37	5,79	9,10	3,08	4,93
0,474	Limite inferior	0,403976	-0,82744	-0,12905	-0,14826	0,345608	4,39	5,78	9,18	2,91	5,11
0,480	Centro	0,422545	-0,87816	-0,1182	-0,1527	0,328806	0,00	0,00	0,00	0,00	0,00
0,486	Limite superior	0,44088	-0,92924	-0,10752	-0,15769	0,313143	4,34	5,82	9,03	3,27	4,76
3120 puntos											
0,462	Limite inferior	0,404883	-0,82937	-0,1289	-0,14837	0,345548	4,09	5,44	8,53	2,89	4,63
CALC	Centro	0,422158	-0,87707	-0,11876	-0,15279	0,330247	0,00	0,00	0,00	0,00	0,00
0,473	Limite superior	0,439432	-0,92478	-0,10863	-0,1572	0,314946	4,09	5,44	8,53	2,89	4,63
0,462	Limite inferior	0,404883	-0,82937	-0,1289	-0,14837	0,345548	4,12	5,42	8,61	2,73	4,79
0,4675	Centro	0,422275	-0,87694	-0,11868	-0,15255	0,329746	0,00	0,00	0,00	0,00	0,00
0,473	Limite superior	0,439432	-0,92478	-0,10863	-0,1572	0,314946	4,06	5,46	8,47	3,05	4,49

Figura 5.20: Calculo de Mathematica en distintos puntos en los intervalos extremos y su posterior análisis de la convergencia para  $E_{d10d10p9}$ .

## 6.- Conclusiones y trabajos futuros

### 1.1.- Conclusiones

En este trabajo se ha escrito la linealización del potencial interatómico Tight Binding en lenguaje C++ para la red del grafeno, para posteriormente calcular las segundas derivadas de la energía que es conseguir un modelo de constantes de fuerzas. Todo este proceso se ha realizado comparando y verificando los resultados de otro código equivalente escrito en lenguaje Mathematica.

En una segunda etapa del trabajo, se ha calculado la convergencia de los resultados al modificar el número de puntos de la Zona de Brillouin y como se esperaba un gran número de puntos en esta zona aumenta sensiblemente la precisión del modelo.

### 6.2.- Trabajos futuros

Los trabajos futuros que se pueden realizar si se decide seguir la implementación numérica del potencial interatómico Tight Binding aplicado al grafeno en C++ son:

1. Paralelizar las partes del programa que son susceptible de mejora de tiempos, esto es sin ninguna duda el cálculo de las funciones de cada componente del tensor de la transformada al espacio real de Green y las funciones que aplican el modelo de fuerzas, en especial las integrales numéricas.
2. Mejorar el proceso de integración haciendo una integral numérica con precisión variable dejando atrás el método de Riemann con el método de los rectángulos constantes.
3. Si se desea se puede estilizar el código actual usando la recomendación de la comunidad C++ donde solo se utilizan espacios de memoria contiguos, eliminando los arrays de dos dimensiones. No aplicará mejoras de rendimiento.
4. Seguir trabajando el código para añadirle la capacidad de añadir defectos lineales esto es añadir la teoría discreta de dislocaciones, ya que podremos conocer las variaciones energéticas que introducen estos defectos  $E = \beta^T (\hat{\Psi} - \hat{\Psi} Q_1^* \cdot \hat{\Phi}^{-1} Q_1^T \hat{\Psi}) \beta$
5. Puede realizarse un estudio sobre la Zona de Brillouin más exhaustivamente ya que una buena colocación de los puntos de esta zona incluso siendo pocos puntos consigue mejores resultados que muchos puntos, pero mal colocados. Esto permitirá también bajar los tiempos de computación considerablemente.



# Anexo A: Funciones matemáticas

Funciones matemáticas imprescindibles, usadas en todo el programa.

```
1511 //Funciones Matematicas
1512 void mostrarvect(double Q[3])
1513 {
1514     /**
1515     \return No devuelve ni modifica nada
1516     */
1517     int i;
1518     for (i = 0; i < 3; i++)
1519     {
1520         cout << Q[i] << " ";
1521     }
1522     cout << endl;
1523 }
1524 void mostrarmatr(double Q[3][3])
1525 {
1526     /**
1527     \return No devuelve ni modifica nada
1528     */
1529     int i, j;
1530     for (i = 0; i < 3; i++)
1531     {
1532         for (j = 0; j < 3; j++)
1533         {
1534             cout << Q[i][j] << " ";
1535         }
1536         cout << endl;
1537     }
1538 }
1539 void mostrarGxx(complex<double>A[4][4])
1540 {
1541     /**
1542     \return No devuelve ni modifica nada
1543     */
1544     for (int i = 0; i < 4; i++)
1545     {
1546         for (int j = 0; j < 4; j++)
1547         {
1548             cout << A[i][j] << " ";
1549         }
1550         cout << endl;
1551     }
1552 }
1553 void limpiarvec(double r[3])
1554 {
1555     /**
1556     \details v=0
1557     \param r Matriz que se inicializa o limpia a 0
1558     \return r es el array de dimension 3x3 que se devuelve. Se hace por referencia.
1559     */
1560     int i;
1561     for (i = 0; i<3; i++)
1562     {
1563         r[i] = 0;
1564     }
1565 }
1566 void limpiarmat(double MatA[3][3])
1567 {
1568     /**
1569     \details A=0
1570     \param MatA Matriz que se inicializa o limpia a 0
1571     \return MatA es el array de dimension 3x3 que se devuelve. Se hace por referencia.
1572     */
1573     int i, j;
1574     for (i = 0; i < 3; i++)
1575     {
1576         for (j = 0; j < 3; j++)
1577         {
1578             MatA[i][j] = 0;
1579         }
```

```

1580     }
1581 }
1582 void giro(double MatA[3][3], double grados)
1583 {
1584     /**
1585     \details A(theta) A es la matriz girada respecto al sistema de referencia A(0°)
1586     \param MatA Matriz de rotacion
1587     \param grados Grados que se quiere girar. Se debe introducir en grados. NO en
1588             radianes
1589     \return MatA es el array de dimension 3x3 que se devuelve. Se hace por referencia.
1590     */
1591     double alphasrad = grados*PI / 180;
1592     limpiarmat(MatA);
1593     MatA[0][0] = cos(alphasrad);
1594     MatA[0][1] = -sin(alphasrad);
1595     MatA[1][0] = sin(alphasrad);
1596     MatA[1][1] = cos(alphasrad);
1597     MatA[2][2] = 1;
1598 }
1599 void transpuesta(double MatA[3][3], double MatB[3][3])
1600 {
1601     /**
1602     \details Transpone la matriz B=Transpuesta[A]
1603     \param MatA Matriz original
1604     \param MatB Matriz transpuesta
1605     \return MatB es el array de dimension 3x3 que se devuelve. Se hace por referencia.
1606     */
1607     int i;
1608     int j;
1609     for (i = 0; i<3; i++)
1610     {
1611         for (j = 0; j<3; j++)
1612         {
1613             MatB[j][i] = MatA[i][j];
1614         }
1615     }
1616 }
1617 void matrizvector(double MatA[3][3], double vec[3], double vecdevuelta[3])
1618 {
1619     /**
1620     \details Vec(3x1)=M(3x3)*V(3x1) Multiplica una matriz 3x3 y un vector 3
1621     \param MatA Matriz 3x3
1622     \param vec Vector 3x1
1623     \param vecdevuelta Devolucion de la multiplicacion
1624     \return vecdevuelta es el array de dimension 3 que se devuelve. Se hace por
1625             referencia.
1626     */
1627     double aa, bb, cc, dd, ee, ff, gg, hh, ii;
1628     aa = MatA[0][0] * vec[0];
1629     bb = MatA[0][1] * vec[1];
1630     cc = MatA[0][2] * vec[2];
1631     dd = MatA[1][0] * vec[0];
1632     ee = MatA[1][1] * vec[1];
1633     ff = MatA[1][2] * vec[2];
1634     gg = MatA[2][0] * vec[0];
1635     hh = MatA[2][1] * vec[1];
1636     ii = MatA[2][2] * vec[2];
1637     vecdevuelta[0] = aa + bb + cc;
1638     vecdevuelta[1] = dd + ee + ff;
1639     vecdevuelta[2] = gg + hh + ii;
1640 }
1641 void multmatriz(double MatA[3][3], double MatB[3][3], double MatC[3][3])
1642 {
1643     /**
1644     \details C=A*B Es el producto de dos matrices
1645     Atencion: Esta funcion se utiliza "trimultmatriz" y NO es la multiplicacion de
1646             terminos componente a componente.
1647     \param MatA Primer termino de la multiplicacion

```



```

1712     for (i = 0; i<3; i++)
1713     {
1714         for (j = 0; j<3; j++)
1715         {
1716             MatD[i][j] = MatA[i][j] + MatB[i][j] + MatC[i][j];
1717         }
1718     }
1719 }
1720 void escmat(double E, double M[3][3], double matvuelta[3][3])
1721 {
1722     /**
1723     \details Mat=E*M
1724     \param E Numero por el cual queremos multiplicar nuestra matriz
1725     \param r Matriz que ha de ser multiplicada
1726     \return El array "matvuelta" que es una matriz de tamaño 3x3. Se devuelve por
1727     referencia.
1728     */
1729     int i, j;
1730     for (i = 0; i < 3; i++)
1731     {
1732         for (j = 0; j < 3; j++)
1733         {
1734             matvuelta[i][j] = E*M[i][j];
1735         }
1736     }
1737 void escvec(double E, double r[3], double vecvuelta[3])
1738 {
1739     /**
1740     \details Vec=E*V
1741     \param E Numero por el cual queremos multiplicar nuestro vector
1742     \param r Vector que ha de ser multiplicado
1743     \return El array "vecvuelta" que es un vector de tamaño 3. Se devuelve por
1744     referencia.
1745     */
1746     int i;
1747     for (i = 0; i < 3; i++)
1748     {
1749         vecvuelta[i] = r[i] * E;
1750     }
1751 double normal(double r[3])
1752 {
1753     /**
1754     \details Utiliza la libreria Math
1755     \param r Vector
1756     \return Un numero que es el modulo del vector
1757     */
1758     double norm;
1759     norm = sqrt(r[0] * r[0] + r[1] * r[1] + r[2] * r[2]);
1760     return(norm);
1761 }
1762 double escalar(double x[3], double y[3])
1763 {
1764     /**
1765     \details Realiza la operacion de producto escalar de dos vectores de dimension
1766     3. En mathematica es x.y siendo x e y vectores
1767     \param x Primer termino del producto exterior
1768     \param y Segundo termino del producto exterior
1769     \return Un numero
1770     */
1771     double aux = 0;
1772     int i;
1773     for (i = 0; i < 3; i++)
1774     {
1775         aux = x[i] * y[i] + aux;
1776     }
1777     return (aux);
1778 }

```

```
1778 void outer(double v1[3], double v2[3], double mat[3][3])
1779 {
1780     /**
1781     \details Realiza la operacion de producto tensorial de dos vectores de dimension
1782     3. Esta operacion es anticonmutativa por lo que depende del orden de entrada de
1783     cada uno de los vectores
1784     \param v1 Primer termino del producto exterior
1785     \param v2 Segundo termino del producto exterior
1786     \return El array "mat" que es una matriz 3x3 que se devuelve por referencia
1787     */
1788     int i, j;
1789     for (i = 0; i < 3; i++)
1790     {
1791         for (j = 0; j < 3; j++)
1792         {
1793             mat[i][j] = v1[i] * v2[j];
1794         }
1795     }
1796 }
1797 void sumavector(double v1[3], double v2[3], double v3[3])
1798 {
1799     /**
1800     \details Realiza la operacion v1+v2=v3
1801     \return El array v3, por referencia
1802     */
1803     int i;
1804     for (i = 0; i < 3; i++)
1805     {
1806         v3[i] = v1[i] + v2[i];
1807     }
1808 }
1809 void restavector(double v1[3], double v2[3], double v3[3])
1810 {
1811     /**
1812     \details Realiza la operacion v1-v2=v3
1813     \return El array v3, por referencia
1814     */
1815     int i;
1816     for (i = 0; i < 3; i++)
1817     {
1818         v3[i] = v1[i] - v2[i];
1819     }
1820 }
1821 }
```

## Anexo B: Derivadas de las distancias interatómicas

Funciones necesarias para la distancia interatómica necesarias para el cálculo del potencial interatómico.

$$\frac{\partial r_q}{\partial \mathbf{r}_q} = \frac{\mathbf{r}_q}{r_q} \quad B.1$$

$$\frac{\partial^2 r_q}{\partial^2 \mathbf{r}_q} = \frac{1}{r_q} \mathbb{I} - \frac{1}{r_q^3} \cdot \mathbf{r}_q \otimes \mathbf{r}_q \quad B.2$$

```
1823 void rijdr(double r[3], double rdevuelta[3])
1824 {
1825     /**
1826     \details r=rij/normal. Utiliza la funcion normal(r). La derivada de la posicion
    es un vector
1827     \param r vector de distancia entre atomos
1828     \param rdevuelta Devolucion de la operacion
1829     \return rdevuelta es el array de dimension 3 que se devuelve. Se hace por
    referencia.
1830     */
1831     double norm;
1832     norm = normal(r);
1833     int i;
1834     for (i = 0; i<3; i++)
1835     {
1836         rdevuelta[i] = (1.0*r[i]) / norm;
1837     }
1838 }
```

Figura B.1: Derivada de la posición.

```
1839 void rijdrdr(double r[3], double mdevuelta[3][3])
1840 {
1841     /**
1842     \details Utiliza la funciones limpiarmat, normal, outer, escmat y sumamatriz. La
    segunda derivada de la posicion es una matriz
1843     \param r vector de distancia entre atomos
1844     \param mdevuelta Devolucion de la operacion
1845     \return mdevuelta es el array de dimension 3x3 que se devuelve. Se hace por
    referencia.
1846     */
1847     int i;
1848     double aux1;
1849     double aux2;
1850     double mlt[3][3] = { 0 };
1851     double maux[3][3] = { 0 };
1852     double m2t[3][3] = { 0 };
1853
1854     aux1 = 1.0 / normal(r);
1855     for (i = 0; i<3; i++)
1856     {
1857         mlt[i][i] = aux1;
1858     }
1859     aux2 = -1.0 / (normal(r)*normal(r)*normal(r));
1860     outer(r, r, maux);
1861     escmat(aux2, maux, m2t);
1862     sumamatriz(mlt, m2t, mdevuelta);
1863
1864 }
```

Figura B.2: Segunda derivada de la posición.

```

1865 void rijmldr(double r[3], double rdevuelta[3])
1866 {
1867     /**
1868     \details r=rij^-1/normal. Utiliza la funcion normal(r) y rijdr(r). La derivada
de la posicion es un vector
1869 \param r vector de distancia entre atomos
1870 \param rdevuelta Devolucion de la operacion
1871 \return rdevuelta es el array de dimension 3 que se devuelve. Se hace por
referencia.
1872 */
1873 double norm;
1874 double normalcuad;
1875 int i;
1876 double vectijdr[3];
1877
1878 norm = normal(r);
1879 normalcuad = -1.0 / (norm*norm);
1880 rijdr(r, vectijdr);
1881 for (i = 0; i<3; i++)
1882 {
1883     rdevuelta[i] = vectijdr[i] * normalcuad;
1884 }
1885 }

```

**Figura B.3:** Derivada de la posición a la menos una.

```

1886 void rijmldrdr(double r[3], double mdevuelta[3][3])
1887 {
1888     /**
1889     \details Utiliza la funciones normal(r), rijdr(r), rijdrdr, outer,
escmat,sumamatriz. La segunda derivada de la posicion es una matriz
1890 \param r vector de distancia entre atomos
1891 \param mdevuelta Devolucion de la operacion
1892 \return mdevuelta es el array de dimension 3x3 que se devuelve. Se hace por
referencia.
1893 */
1894 double norm;
1895 double vectijdr[3];
1896 double m1[3][3];
1897 double aux1;
1898 double mlt[3][3];
1899 double m2[3][3];
1900 double aux2;
1901 double m2t[3][3];
1902
1903 norm = normal(r);
1904 rijdr(r, vectijdr);
1905 outer(vectijdr, vectijdr, m1);
1906 aux1 = 2.0 / (norm*norm*norm);
1907 escmat(aux1, m1, mlt);
1908
1909 rijdrdr(r, m2);
1910 aux2 = -1.0 / (norm*norm);
1911 escmat(aux2, m2, m2t);
1912
1913 sumamatriz(mlt, m2t, mdevuelta);
1914 }

```

**Figura B.4:** Segunda derivada de la posición a la menos una.

## Anexo C: Derivadas de la función $\phi(r)$

Funciones necesarias para:

- El cálculo de la energía de repulsión.
- Las constantes de fuerzas donde tenga contribución del termino de repulsión.

$$\frac{\partial \phi(r_q)}{\partial r_q} = \phi(r_q) \cdot m \cdot \frac{\partial r_q}{\partial r_q} \cdot \left[ \frac{-1}{r_q} - m_c \cdot \left( \frac{r_q}{d_c} \right)^{m_c-1} \cdot \frac{1}{d_c} \right] \quad C.1$$

```
1929 void phiiidr(double r[3], double rdevuelta[3])
1930 {
1931     /**
1932     \details Utiliza la funcion phii, normal, rijmldr, escvec, rijdr, restavector.
           La derivada de la posicion es un vector. Los argumentos que recibe provienen de
           los primeros principios.
1933     \param r vector de distancia entre atomos
1934     \param rdevuelta Devolucion de la operacion
1935     \return rdevuelta es el array de dimension 3 que se devuelve. Se hace por
           referencia.
1936     */
1937     double fij;
1938     double erreijdr[3];
1939     double erreijmldr[3];
1940     double aux1;
1941     double rlt[3];
1942     double aux2;
1943     double r2t[3];
1944
1945     fij = phii(r);
1946     aux1 = m*normal(r);
1947     rijmldr(r, erreijmldr);
1948     escvec(fij*aux1, erreijmldr, rlt);
1949
1950     rijdr(r, erreijdr);
1951     aux2 = fij*(m*mc*(1.0 / dc)*pow((normal(r) / dc), (mc - 1.0)));
1952     escvec(aux2, erreijdr, r2t);
1953
1954     restavector(rlt, r2t, rdevuelta);
1955 }
```

**Figura C.1:** Primera derivada de la función  $\phi(r)$

$$\frac{\partial^2 \phi(r_q)}{\partial^2 \mathbf{r}_q} = m \cdot \left[ \frac{-1}{r_q} - m_c \cdot \frac{r_q^{m_c-1}}{d_c^{m_c}} \right] \cdot \left[ \phi(r_q) \cdot \frac{\partial^2 r_q}{\partial^2 \mathbf{r}_q} + \frac{\partial r_q}{\partial \mathbf{r}_q} \otimes \frac{\partial \phi(r_q)}{\partial r_q} \right] + \left[ 1 - m_c \cdot (m_c - 1) \left( \frac{r_q}{d_c} \right)^{m_c} \right] \cdot \left[ m \cdot \phi(r_q) \cdot \frac{1}{r_q^2} \cdot \frac{\partial r_q}{\partial \mathbf{r}_q} \otimes \frac{\partial r_q}{\partial \mathbf{r}_q} \right] \quad C.2$$

```

1956 void phiijdrdr(double r[3], double mdevuelta[3][3])
1957 {
1958     /**
1959     \details Utiliza la funciones rijdr, rijmldr, rijdrdr, rijmldrdr, phiij,
1960     phiijdr, normal, escvec, escmat, outer. La libreria Math
1961     *La segunda derivada de la posicion es una matriz. Los argumentos que recibe
1962     provienen de los primeros principios
1963     \param r vector de distancia entre atomos
1964     \param mdevuelta Devolucion de la operacion
1965     \return mdevuelta es el array de dimension 3x3 que se devuelve. Se hace por
1966     referencia.
1967     */
1968     double erreijdr[3];
1969     rijdr(r, erreijdr);
1970     double erreijmldr[3];
1971     rijmldr(r, erreijmldr);
1972     double erreijdrdr[3][3];
1973     rijdrdr(r, erreijdrdr);
1974     double erreijmldrdr[3][3];
1975     rijmldrdr(r, erreijmldrdr);
1976     double fijdr[3];
1977     phiijdr(r, fijdr);
1978
1979     double aux1;
1980     double aux2;
1981     double r1t[3];
1982     double r2t[3];
1983     double rt[3];
1984     double m1t[3][3];
1985     double m2t[3][3];
1986     double m3t[3][3];
1987     double m4t[3][3];
1988     double m5t[3][3];
1989     double maux[3][3];
1990     // parte 1
1991     aux1 = m*normal(r);
1992     aux2 = -m*mc*(1.0 / dc)*pow((normal(r) / dc), (mc - 1.0));
1993     escvec(aux1, erreijmldr, r1t);
1994     escvec(aux2, erreijdr, r2t);
1995     sumavector(r1t, r2t, rt);
1996     outer(rt, fijdr, m1t);
1997     // parte2
1998     outer(erreijmldr, erreijdr, m2t);
1999     escmat(phiij(r)*m, m2t, m2t);
2000     // parte3
2001     escmat(aux1*phiij(r), erreijmldrdr, m3t);
2002     // parte4
2003     outer(erreijdr, erreijdr, m4t);
2004     aux1 = -phiij(r)*m*mc*(mc - 1.0)*pow((normal(r) / dc), (mc - 2.0))*pow(1.0 / dc,
2005     2.0);
2006     escmat(aux1, m4t, m4t);
2007     // parte5
2008     aux1 = -phiij(r)*m*mc*pow((normal(r) / dc), mc - 1)*(1.0 / dc);
2009     escmat(aux1, erreijdrdr, m5t);
2010     // Suma de las 5 partes que componen la operacion
2011     trisumamatriz(m1t, m2t, m3t, m4t, m5t, mdevuelta);
2012     trisumamatriz(maux, m4t, m5t, mdevuelta);
2013 }

```

**Figura C.2:** Segunda derivada de la función  $\phi(r)$



## Anexo D: Derivadas de la función $S(r)$

Funciones necesarias para el cálculo de la TBH.

$$\frac{\partial S(r_q)}{\partial r_q} = S(r_q) \cdot n \frac{\partial r_q}{\partial r_q} \cdot \left[ \frac{-1}{r_q} - n_c \cdot \left( \frac{r_q}{r_c} \right)^{n_c-1} \cdot \frac{1}{r_c} \right] \quad D.1$$

```
2068 void fsdr(double r[3], double rdevuelta[3])
2069 {
2070     /**
2071     \details Utiliza la funcion fs, rijdr, rijmlr, escvec, sumavector. La derivada
de la posicion es un vector. Los argumentos que recibe provienen de los primeros
principios.
2072 \param r vector de distancia entre atomos
2073 \param rdevuelta Devolucion de la operacion
2074 \return rdevuelta es el array de dimension 3 que se devuelve. Se hace por
referencia.
2075 */
2076     double s;
2077     s = fs(r);
2078     double erreijdr[3];
2079     rijdr(r, erreijdr);
2080     double erreijmlr[3];
2081     rijmlr(r, erreijmlr);
2082
2083     double aux1 = s*n*normal(r);
2084     double aux2 = -s*n*nc*(1.0 / rc)*pow((normal(r) / rc), (nc - 1.0));
2085     double vaux1[3];
2086     escvec(aux1, erreijmlr, vaux1);
2087     double vaux2[3];
2088     escvec(aux2, erreijdr, vaux2);
2089     sumavector(vaux1, vaux2, rdevuelta);
2090 }
```

**Figura D.1:** Primera derivada de la función  $S(r)$

$$\frac{\partial^2 S(r_q)}{\partial^2 r_q} = n \cdot \left[ \frac{-1}{r_q} - n_c \cdot \frac{r_q^{n_c-1}}{r_c^{n_c}} \right] \cdot \left[ S(r_q) \cdot \frac{\partial^2 r_q}{\partial^2 r_q} + \frac{\partial r_q}{\partial r_q} \otimes \frac{\partial S(r_q)}{\partial r_q} \right] \cdot \left[ 1 - n_c \cdot (n_c - 1) \left( \frac{r_q}{r_c} \right)^{n_c} \right] \cdot \left[ -n \cdot S(r_q) \cdot \frac{1}{r_q^2} \cdot \frac{\partial r_q}{\partial r_q} \otimes \frac{\partial r_q}{\partial r_q} \right] \quad D.2$$

```

2092 void fsdrdr(double r[3], double mdevuelta[3][3])
2093 {
2094     /**
2095     \details Utiliza la funciones rijmldr, rijdr, fs, fsdr, rijmldrdr, rijdrdr,
2096     escvec, normal, restavector, outer y escmat. La libreria Math
2097     *La segunda derivada de la posicion es una matriz. Los argumentos que recibe
2098     provienen de los primeros principios
2099     \param r vector de distancia entre atomos
2100     \param mdevuelta Devolucion de la operacion
2101     \return mdevuelta es el array de dimension 3x3 que se devuelve. Se hace por
2102     referencia.
2103     */
2104     double erreijmldr[3];
2105     rijmldr(r, erreijmldr);
2106     double erreijdr[3];
2107     rijdr(r, erreijdr);
2108     double sdr[3];
2109     fsdr(r, sdr);
2110     double erreijmldrdr[3][3];
2111     rijmldrdr(r, erreijmldrdr);
2112     double erreijdrdr[3][3];
2113     rijdrdr(r, erreijdrdr);
2114
2115     double vaux1[3], vaux2[3], vaux3[3];
2116     double m1[3][3], m2[3][3], m3[3][3], m4[3][3], m5[3][3], maux[3][3];
2117     // parte 1
2118     escvec(n*normal(r), erreijmldr, vaux1);
2119     escvec(n*nc*(1.0 / rc)*pow(normal(r) / rc, nc - 1.0), erreijdr, vaux2);
2120     restavector(vaux1, vaux2, vaux3);
2121     outer(vaux3, sdr, m1);
2122     // parte 2
2123     outer(erreijmldr, erreijdr, m2);
2124     escmat(fs(r)*n, m2, m2);
2125     // parte 3
2126     escmat(n*normal(r)*fs(r), erreijmldrdr, m3);
2127     // parte 4
2128     outer(erreijdr, erreijdr, m4);
2129     escmat(-fs(r)*n*nc*(nc - 1.0)*pow(normal(r) / rc, nc - 2.0) * (1.0 / (rc*rc)), m4, m4);
2130     // parte 5
2131     escmat(-fs(r)*n*nc*pow(normal(r) / rc, nc - 1.0)*(1.0 / rc), erreijdrdr, m5);
2132     //Suma de las 5 partes que componen la operacion
2133     trisumamatriz(m1, m2, m3, maux);
2134     trisumamatriz(maux, m4, m5, mdevuelta);
2135 }

```

Figura D.2: Segunda derivada de la función  $S(r)$

# Anexo E: Derivadas de los cosenos directores

Funciones necesarias para el cálculo de la TBH.

$$d_x = \frac{\mathbf{r}_{ij} \cdot \mathbf{x}}{r_{ij}} \quad E.1$$

$$\frac{\partial d_x(r_q)}{\partial \mathbf{r}_q} = \frac{\mathbf{x}}{r_q} - (\mathbf{x} \cdot \mathbf{r}_q) \cdot \frac{\mathbf{r}_q}{r_q^3} \quad E.2$$

$$\frac{\partial^2 d_x(r_q)}{\partial^2 \mathbf{r}_q} = \frac{-1}{r_q^3} \cdot \left[ \mathbf{x} \otimes \mathbf{r}_q + \mathbf{r}_q \otimes \mathbf{x} + \|\cdot\| \cdot (\mathbf{r}_q \cdot \mathbf{x}) - \frac{3}{r_q^2} \cdot (\mathbf{r}_q \cdot \mathbf{x}) \cdot (\mathbf{r}_q \otimes \mathbf{r}_q) \right] \quad E.3$$

```

2273 double lx(double r[3])
2274 {
2275     /**
2276     \details dx=x*r/|r|
2277     \param r vector de distancia entre atomos
2278     \return Un numero de doble precision.
2279     */
2280     double x[3] = { 1.0,0,0 };
2281     return(escalar(r, x) / normal(r));
2282 }
2283 void lxdx(double r[3], double vuelta[3])
2284 {
2285     /**
2286     \details Utiliza la funcion escalar, normal, escvec y restavector . La derivada
2287     de la posicion es un vector.
2288     \param r vector de distancia entre atomos
2289     \param vuelta Devolucion de la operacion
2290     \return vuelta es el array de dimension 3 que se devuelve. Se hace por referencia.
2291     */
2292     double x[3] = { 1.0,0,0 };
2293     double vaux1[3], vaux2[3];
2294     escvec(1.0 / normal(r), x, vaux1);
2295     escvec(escalar(r, x) / (normal(r)*normal(r)*normal(r)), r, vaux2);
2296     restavector(vaux1, vaux2, vuelta);
2297 }
2298 void lxdrdr(double r[3], double mdevuelta[3][3])
2299 {
2300     /**
2301     \details Utiliza la funcion escalar, outer, normal, escmat, sumamatriz y
2302     trisumamatriz . La segunda derivada de la posicion es una matriz.
2303     \param r vector de distancia entre atomos
2304     \param vuelta Devolucion de la operacion
2305     \return vuelta es el array de dimension 3x3 que se devuelve. Se hace por
2306     referencia.
2307     */
2308     double x[3] = { 1.0,0,0 };
2309     int i;
2310     double k;
2311     double aux1[3][3], aux2[3][3], aux4[3][3];
2312     double aux3[3][3] = { { 1.0,0,0 }, { 0,1.0,0 }, { 0,0,1.0 } };
2313     k = -1.0 / (normal(r)*normal(r)*normal(r));
2314     outer(x, r, aux1);
2315     escmat(k, aux1, aux1);
2316     outer(r, x, aux2);
2317     escmat(k, aux2, aux2);
2318     for (i = 0; i < 3; i = i + 1)
2319     {
2320         aux3[i][i] = k*escalar(r, x);
2321     }
2322     outer(r, r, aux4);
2323     escmat(k*(-3.0 * escalar(r, x)*(1.0 / (normal(r)*normal(r)))), aux4, aux4);
2324     //Suma de las 4 partes que componen la operacion
2325     trisumamatriz(aux1, aux2, aux3, aux1);
2326     sumamatriz(aux1, aux4, mdevuelta);
2327 }

```

Figura E.1: Programación del coseno director  $d_x$

Otros cosenos directores estarán en los ejes “y” y “z”, aplicándose las mismas ecuaciones, pero cambiando los vectores cartesianos puede sacarse de forma trivial su código.

Además las ecuaciones teóricas de la TBH de 4.13 o sus derivadas que están en el Anexo F necesitan códigos adicionales (Figuras E.2 y E.3) estableciéndose otro corolario para los otros ejes.

```

2429 double lx2(double r[3])
2430 {
2431     /**
2432     \details dx*dx (2 veces lx al cuadrado). Utiliza la funcion lx.
2433     \param r vector de distancia entre atomos
2434     \return Un numero de doble precision.
2435     */
2436     return(lx(r)*lx(r));
2437 }
2438 void lx2dr(double r[3], double vuelta[3])
2439 {
2440     /**
2441     \details Utiliza la funcion lx, lxdr y escvec. La derivada de la posicion es un
2442     vector.
2443     \param r vector de distancia entre atomos
2444     \param vuelta Devolucion de la operacion
2445     \return vuelta es el array de dimension 3 que se devuelve. Se hace por referencia.
2446     */
2447     double eleldr[3];
2448     lxdr(r, eleldr);
2449     escvec(2 * lx(r), eleldr, vuelta);
2450 }
2451 void lx2drdr(double r[3], double vuelta[3][3])
2452 {
2453     /**
2454     \details Utiliza la funcion lxdr, lxdrdr, outer, escmat y sumamatriz. La segunda
2455     derivada de la posicion es una matriz.
2456     \param r vector de distancia entre atomos
2457     \param vuelta Devolucion de la operacion
2458     \return vuelta es el array de dimension 3x3 que se devuelve. Se hace por
2459     referencia.
2460     */
2461     double m1[3][3];
2462     double m2[3][3];
2463     double eleldr[3];
2464     lxdrdr(r, m1);
2465     escmat(2 * lx(r), m1, m1);
2466     lxdr(r, eleldr);
2467     outer(eleldr, eleldr, m2);
2468     escmat(2, m2, m2);
2469     //Suma de las 2 partes que componen la operacion
2470     sumamatriz(m1, m2, vuelta);
2471 }

```

**Figura E.2:** Programación del coseno director  $d_x^2$

```

2656 double lxly(double r[3])
2657 {
2658     /**
2659     \details dy*dx. Utiliza la funcion ly y lx.
2660     \param r vector de distancia entre atomos
2661     \return Un numero de doble precision.
2662     */
2663     return(ly(r)*lx(r));
2664 }
2665 void lxlydr(double r[3], double vuelta[3])
2666 {
2667     /**
2668     \details Utiliza la funcion ly, lydr, lx, lxdr, escvec y sumavector. La derivada
2669     de la posicion es un vector.
2670     \param r vector de distancia entre atomos
2671     \param vuelta Devolucion de la operacion
2672     \return vuelta es el array de dimension 3 que se devuelve. Se hace por referencia.
2673     */
2674     double eleldr[3];
2675     double eleydr[3];
2676     lxdr(r, eleldr);
2677     lydr(r, eleydr);
2678     escvec(ly(r), eleldr, eleydr);
2679     escvec(lx(r), eleydr, eleydr);
2680     sumavector(eleldr, eleydr, vuelta);
2681 }
2682 void lxlydrdr(double r[3], double vuelta[3][3])
2683 {
2684     /**
2685     \details Utiliza la funcion ly, lydr, lydrdr, lx, lxdr, lxdrdr, outer, escmat,
2686     trisumamatriz y sumamatriz. La segunda derivada de la posicion es una matriz.
2687     \param r vector de distancia entre atomos
2688     \param vuelta Devolucion de la operacion
2689     \return vuelta es el array de dimension 3x3 que se devuelve. Se hace por
2690     referencia.
2691     */
2692     double eleldrdr[3][3];
2693     double m2[3][3];
2694     double eleydrdr[3][3];
2695     double m4[3][3];
2696     double eleldr[3];
2697     double eleydr[3];
2698
2699     lydr(r, eleydr);
2700     lxdr(r, eleldr);
2701     lxdrdr(r, eleldrdr);
2702     lydrdr(r, eleydrdr);
2703     escmat(ly(r), eleldrdr, eleydrdr);
2704     outer(eleldr, eleydr, m2);
2705     escmat(lx(r), eleydrdr, eleydrdr);
2706     outer(eleydr, eleldr, m4);
2707     //Suma de las 4 partes que componen la operacion
2708     trisumamatriz(eleldrdr, m2, eleydrdr, m2);
2709     sumamatriz(m2, m4, vuelta);
2710 }

```

**Figura E.3:** Programación de los cosenos directores de  $d_x \cdot d_y$





## Anexo F: Derivadas de las funciones de salto y de la TBH.

El tensor del hamiltoniano tiene la estructura siguiente:

$$\mathbf{H}(\mathbf{k}) = \begin{pmatrix} \mathbf{H} \begin{pmatrix} \mathbf{k} \\ 11 \end{pmatrix} & \mathbf{H} \begin{pmatrix} \mathbf{k} \\ 12 \end{pmatrix} \\ \mathbf{H} \begin{pmatrix} \mathbf{k} \\ 21 \end{pmatrix} & \mathbf{H} \begin{pmatrix} \mathbf{k} \\ 22 \end{pmatrix} \end{pmatrix} \xleftrightarrow{\text{Es equivalente}} \mathbf{H}(\mathbf{k}) = \begin{pmatrix} \mathbf{H}_{i\alpha,j\beta}^{i=j} & \mathbf{H}_{i\alpha,j\beta}^{i \neq j} \\ \mathbf{H}_{i\alpha,j\beta}^{i \neq j} & \mathbf{H}_{i\alpha,j\beta}^{i=j} \end{pmatrix}$$

El tensor de la diagonal secundaria tiene las siguientes componentes. La diferencia entre  $\mathbf{H}_{12}(\mathbf{k})$  y  $\mathbf{H}_{21}(\mathbf{k})$  es que uno es la conjugada del otro. No aplica para la primera y segunda derivada dado que sus componentes son reales

$$\mathbf{H}_{i\alpha,j\beta}^{i \neq j} = \begin{pmatrix} h_{is,js} & h_{is,jp_x} & h_{is,jp_y} & h_{is,jp_z} \\ h_{ip_x,js} & h_{ip_x,jp_x} & h_{ip_x,jp_y} & h_{ip_x,jp_z} \\ h_{ip_y,js} & h_{ip_y,jp_x} & h_{ip_y,jp_y} & h_{ip_y,jp_z} \\ h_{ip_z,js} & h_{ip_z,jp_x} & h_{ip_z,jp_y} & h_{ip_z,jp_z} \end{pmatrix}$$

Las filas son las letras A, B, C, D y los números son las columnas. La fuente principal de estas ecuaciones puede encontrarse en

Mendez, J.P. Ariza, M.P. *Harmonic model of graphene based on a tight binding interatomic potential*. Appendix A, B. (2016) Journal of the Mechanics and Physics of Solids 93

### A.1

$$h_{is,js}(r_q) = V_{ss\sigma} \cdot S(r_q)$$

$$\frac{\partial h_{is,js}(r_q)}{\partial r_q} = V_{ss\sigma} \cdot \frac{\partial S(r_q)}{\partial r_q}$$

$$\frac{\partial^2 h_{is,js}(r_q)}{\partial^2 r_q} = V_{ss\sigma} \cdot \frac{\partial^2 S(r_q)}{\partial^2 r_q}$$

### A.2

$$h_{is,jp_x}(r_q) = V_{sp\sigma} \cdot d_x(r_q) \cdot S(r_q)$$

$$\frac{\partial h_{is,jp_x}(r_q)}{\partial r_q} = V_{sp\sigma} \cdot \left[ d_x(r_q) \cdot \frac{\partial S(r_q)}{\partial r_q} + S(r_q) \cdot \frac{\partial d_x(r_q)}{\partial r_q} \right]$$

$$\frac{\partial^2 h_{is,jp_x}(r_q)}{\partial^2 r_q} = V_{sp\sigma} \cdot \left[ d_x(r_q) \cdot \frac{\partial^2 S(r_q)}{\partial^2 r_q} + S(r_q) \frac{\partial^2 d_x(r_q)}{\partial^2 r_q} + \frac{\partial S(r_q)}{\partial r_q} \otimes \frac{\partial d_x(r_q)}{\partial r_q} + \frac{\partial d_x(r_q)}{\partial r_q} \otimes \frac{\partial S(r_q)}{\partial r_q} \right]$$

A.3

$$\begin{aligned}
 h_{is,jpy}(r_q) &= V_{sp\sigma} \cdot d_y(r_q) \cdot S(r_q) \\
 \frac{\partial h_{is,jpy}(r_q)}{\partial \mathbf{r}_q} &= V_{sp\sigma} \cdot \left[ d_y(r_q) \cdot \frac{\partial S(r_q)}{\partial \mathbf{r}_q} + S(r_q) \cdot \frac{\partial d_y(r_q)}{\partial \mathbf{r}_q} \right] \\
 \frac{\partial^2 h_{is,jpy}(r_q)}{\partial^2 \mathbf{r}_q} &= V_{sp\sigma} \cdot \left[ d_y(r_q) \cdot \frac{\partial^2 S(r_q)}{\partial^2 \mathbf{r}_q} + S(r_q) \cdot \frac{\partial^2 d_y(r_q)}{\partial^2 \mathbf{r}_q} + \frac{\partial S(r_q)}{\partial \mathbf{r}_q} \otimes \frac{\partial d_y(r_q)}{\partial \mathbf{r}_q} + \frac{\partial d_y(r_q)}{\partial \mathbf{r}_q} \otimes \frac{\partial S(r_q)}{\partial \mathbf{r}_q} \right]
 \end{aligned}$$

A.4

$$\begin{aligned}
 h_{is,jpz}(r_q) &= V_{sp\sigma} \cdot d_z(r_q) \cdot S(r_q) \\
 \frac{\partial h_{is,jpz}(r_q)}{\partial \mathbf{r}_q} &= V_{sp\sigma} \cdot \left[ d_z(r_q) \cdot \frac{\partial S(r_q)}{\partial \mathbf{r}_q} + S(r_q) \cdot \frac{\partial d_z(r_q)}{\partial \mathbf{r}_q} \right] \\
 \frac{\partial^2 h_{is,jpz}(r_q)}{\partial^2 \mathbf{r}_q} &= V_{sp\sigma} \cdot \left[ d_z(r_q) \cdot \frac{\partial^2 S(r_q)}{\partial^2 \mathbf{r}_q} + S(r_q) \cdot \frac{\partial^2 d_z(r_q)}{\partial^2 \mathbf{r}_q} + \frac{\partial S(r_q)}{\partial \mathbf{r}_q} \otimes \frac{\partial d_z(r_q)}{\partial \mathbf{r}_q} + \frac{\partial d_z(r_q)}{\partial \mathbf{r}_q} \otimes \frac{\partial S(r_q)}{\partial \mathbf{r}_q} \right]
 \end{aligned}$$

B.2

$$\begin{aligned}
 h_{ipx,jpx}(r_q) &= V_{pp\sigma} \cdot d_x(r_q)^2 \cdot S(r_q) + V_{pp\pi} \cdot d_y(r_q)^2 \cdot S(r_q) \\
 \frac{\partial h_{ipx,jpx}(r_q)}{\partial \mathbf{r}_q} &= V_{pp\sigma} \cdot \left[ d_x(r_q)^2 \cdot \frac{\partial S(r_q)}{\partial \mathbf{r}_q} + 2 \cdot d_x(r_q) \cdot \frac{\partial d_x(r_q)}{\partial \mathbf{r}_q} \cdot S(r_q) \right] + V_{pp\pi} \cdot \left[ d_y(r_q)^2 \cdot \frac{\partial S(r_q)}{\partial \mathbf{r}_q} + 2 \cdot d_y(r_q) \cdot \frac{\partial d_y(r_q)}{\partial \mathbf{r}_q} \cdot S(r_q) \right] \\
 \frac{\partial^2 h_{ipx,jpx}(r_q)}{\partial^2 \mathbf{r}_q} &= V_{pp\sigma} \cdot \left[ d_x(r_q)^2 \cdot \frac{\partial^2 S(r_q)}{\partial^2 \mathbf{r}_q} + 2 \cdot d_x(r_q) \cdot \left( \frac{\partial d_x(r_q)}{\partial \mathbf{r}_q} \otimes \frac{\partial S(r_q)}{\partial \mathbf{r}_q} + \frac{\partial S(r_q)}{\partial \mathbf{r}_q} \otimes \frac{\partial d_x(r_q)}{\partial \mathbf{r}_q} \right) \right. \\
 &\quad \left. + 2 \cdot S(r_q) \cdot \left( \frac{\partial d_x(r_q)}{\partial \mathbf{r}_q} \otimes \frac{\partial d_x(r_q)}{\partial \mathbf{r}_q} + d_x(r_q) \cdot \frac{\partial^2 d_x(r_q)}{\partial^2 \mathbf{r}_q} \right) \right] + V_{pp\pi} \cdot \left[ d_y(r_q)^2 \cdot \frac{\partial^2 S(r_q)}{\partial^2 \mathbf{r}_q} \right. \\
 &\quad \left. + 2 \cdot d_y(r_q) \cdot \left( \frac{\partial d_y(r_q)}{\partial \mathbf{r}_q} \otimes \frac{\partial S(r_q)}{\partial \mathbf{r}_q} + \frac{\partial S(r_q)}{\partial \mathbf{r}_q} \otimes \frac{\partial d_y(r_q)}{\partial \mathbf{r}_q} \right) + 2 \cdot S(r_q) \cdot \left( \frac{\partial d_y(r_q)}{\partial \mathbf{r}_q} \otimes \frac{\partial d_y(r_q)}{\partial \mathbf{r}_q} + d_y(r_q) \cdot \frac{\partial^2 d_y(r_q)}{\partial^2 \mathbf{r}_q} \right) \right]
 \end{aligned}$$

B.3

$$\begin{aligned}
 h_{ipx,jpy}(r_q) &= (V_{pp\sigma} - V_{pp\pi}) \cdot S(r_q) \cdot d_x(r_q) \cdot d_y(r_q) \\
 \frac{\partial h_{ipx,jpy}(r_q)}{\partial \mathbf{r}_q} &= (V_{pp\sigma} - V_{pp\pi}) \cdot \left[ \frac{\partial S(r_q)}{\partial \mathbf{r}_q} \cdot d_x(r_q) \cdot d_y(r_q) + S(r_q) \cdot \left( d_y(r_q) \cdot \frac{\partial d_x(r_q)}{\partial \mathbf{r}_q} + d_x(r_q) \cdot \frac{\partial d_y(r_q)}{\partial \mathbf{r}_q} \right) \right] \\
 \frac{\partial^2 h_{ipx,jpy}(r_q)}{\partial^2 \mathbf{r}_q} &= (V_{pp\sigma} - V_{pp\pi}) \cdot \left[ \frac{\partial^2 S(r_q)}{\partial^2 \mathbf{r}_q} \cdot d_x(r_q) \cdot d_y(r_q) + \frac{\partial S(r_q)}{\partial \mathbf{r}_q} \otimes \left[ d_x(r_q) \cdot \frac{\partial d_y(r_q)}{\partial \mathbf{r}_q} + d_y(r_q) \cdot \frac{\partial d_x(r_q)}{\partial \mathbf{r}_q} \right] \right. \\
 &\quad \left. + \left[ d_x(r_q) \cdot \frac{\partial d_y(r_q)}{\partial \mathbf{r}_q} + d_y(r_q) \cdot \frac{\partial d_x(r_q)}{\partial \mathbf{r}_q} \right] \otimes \frac{\partial S(r_q)}{\partial \mathbf{r}_q} \right. \\
 &\quad \left. + S(r_q) \cdot \left[ d_y(r_q) \cdot \frac{\partial^2 d_x(r_q)}{\partial^2 \mathbf{r}_q} + \frac{\partial d_x(r_q)}{\partial \mathbf{r}_q} \otimes \frac{\partial d_y(r_q)}{\partial \mathbf{r}_q} + \frac{\partial d_y(r_q)}{\partial \mathbf{r}_q} \otimes \frac{\partial d_x(r_q)}{\partial \mathbf{r}_q} + d_x(r_q) \cdot \frac{\partial^2 d_y(r_q)}{\partial^2 \mathbf{r}_q} \right] \right]
 \end{aligned}$$

B.4

$$h_{ip_x, jp_z}(r_q) = (V_{pp\sigma} - V_{pp\pi}) \cdot S(r_q) \cdot d_x(r_q) \cdot d_z(r_q)$$

$$\begin{aligned} \frac{\partial h_{ip_x, jp_z}(r_q)}{\partial \mathbf{r}_q} &= (V_{pp\sigma} - V_{pp\pi}) \cdot \left[ \frac{\partial S(r_q)}{\partial \mathbf{r}_q} \cdot d_x(r_q) \cdot d_z(r_q) + S(r_q) \cdot \left( d_z(r_q) \cdot \frac{\partial d_x(r_q)}{\partial \mathbf{r}_q} + d_x(r_q) \cdot \frac{\partial d_z(r_q)}{\partial \mathbf{r}_q} \right) \right] \\ \frac{\partial^2 h_{ip_x, jp_z}(r_q)}{\partial^2 \mathbf{r}_q} &= (V_{pp\sigma} - V_{pp\pi}) \cdot \left[ \frac{\partial^2 S(r_q)}{\partial^2 \mathbf{r}_q} \cdot d_x(r_q) \cdot d_z(r_q) + \frac{\partial S(r_q)}{\partial \mathbf{r}_q} \otimes \left[ d_x(r_q) \cdot \frac{\partial d_z(r_q)}{\partial \mathbf{r}_q} + d_z(r_q) \cdot \frac{\partial d_x(r_q)}{\partial \mathbf{r}_q} \right] \right. \\ &\quad + \left[ d_x(r_q) \cdot \frac{\partial d_z(r_q)}{\partial \mathbf{r}_q} + d_z(r_q) \cdot \frac{\partial d_x(r_q)}{\partial \mathbf{r}_q} \right] \otimes \frac{\partial S(r_q)}{\partial \mathbf{r}_q} \\ &\quad \left. + S(r_q) \cdot \left[ d_z(r_q) \cdot \frac{\partial^2 d_x(r_q)}{\partial^2 \mathbf{r}_q} + \frac{\partial d_x(r_q)}{\partial \mathbf{r}_q} \otimes \frac{\partial d_z(r_q)}{\partial \mathbf{r}_q} + \frac{\partial d_z(r_q)}{\partial \mathbf{r}_q} \otimes \frac{\partial d_x(r_q)}{\partial \mathbf{r}_q} + d_x(r_q) \cdot \frac{\partial^2 d_z(r_q)}{\partial^2 \mathbf{r}_q} \right] \right] \end{aligned}$$

C.3

$$h_{ip_y, jp_y}(r_q) = V_{pp\sigma} \cdot d_y(r_q)^2 \cdot S(r_q) + V_{pp\pi} \cdot d_x(r_q)^2 \cdot S(r_q)$$

$$\frac{\partial h_{ip_y, jp_y}(r_q)}{\partial \mathbf{r}_q} = V_{pp\sigma} \cdot \left[ d_y(r_q)^2 \cdot \frac{\partial S(r_q)}{\partial \mathbf{r}_q} + 2 \cdot d_y(r_q) \cdot \frac{\partial d_y(r_q)}{\partial \mathbf{r}_q} \cdot S(r_q) \right] + V_{pp\pi} \cdot \left[ d_x(r_q)^2 \cdot \frac{\partial S(r_q)}{\partial \mathbf{r}_q} + 2 \cdot d_x(r_q) \cdot \frac{\partial d_x(r_q)}{\partial \mathbf{r}_q} \cdot S(r_q) \right]$$

$$\begin{aligned} \frac{\partial^2 h_{ip_y, jp_y}(r_q)}{\partial^2 \mathbf{r}_q} &= V_{pp\sigma} \cdot \left[ d_y(r_q)^2 \cdot \frac{\partial^2 S(r_q)}{\partial^2 \mathbf{r}_q} + 2 \cdot d_y(r_q) \cdot \left[ \frac{\partial d_y(r_q)}{\partial \mathbf{r}_q} \otimes \frac{\partial S(r_q)}{\partial \mathbf{r}_q} + \frac{\partial S(r_q)}{\partial \mathbf{r}_q} \otimes \frac{\partial d_y(r_q)}{\partial \mathbf{r}_q} \right] \right. \\ &\quad \left. + 2 \cdot S(r_q) \cdot \left[ \frac{\partial d_y(r_q)}{\partial \mathbf{r}_q} \otimes \frac{\partial d_y(r_q)}{\partial \mathbf{r}_q} + d_y(r_q) \cdot \frac{\partial^2 d_y(r_q)}{\partial^2 \mathbf{r}_q} \right] \right] \\ &\quad + V_{pp\pi} \cdot \left[ d_x(r_q)^2 \cdot \frac{\partial^2 S(r_q)}{\partial^2 \mathbf{r}_q} + 2 \cdot d_x(r_q) \cdot \left[ \frac{\partial d_x(r_q)}{\partial \mathbf{r}_q} \otimes \frac{\partial S(r_q)}{\partial \mathbf{r}_q} + \frac{\partial S(r_q)}{\partial \mathbf{r}_q} \otimes \frac{\partial d_x(r_q)}{\partial \mathbf{r}_q} \right] \right. \\ &\quad \left. + 2 \cdot S(r_q) \cdot \left[ \frac{\partial d_x(r_q)}{\partial \mathbf{r}_q} \otimes \frac{\partial d_x(r_q)}{\partial \mathbf{r}_q} + d_x(r_q) \cdot \frac{\partial^2 d_x(r_q)}{\partial^2 \mathbf{r}_q} \right] \right] \end{aligned}$$

C.4

$$h_{ip_y, jp_z}(r_q) = (V_{pp\sigma} - V_{pp\pi}) \cdot S(r_q) \cdot d_y(r_q) \cdot d_z(r_q)$$

$$\frac{\partial h_{ip_y, jp_z}(r_q)}{\partial \mathbf{r}_q} = (V_{pp\sigma} - V_{pp\pi}) \cdot \left[ \frac{\partial S(r_q)}{\partial \mathbf{r}_q} \cdot d_y(r_q) \cdot d_z(r_q) + S(r_q) \cdot \left[ d_z(r_q) \cdot \frac{\partial d_y(r_q)}{\partial \mathbf{r}_q} + d_y(r_q) \cdot \frac{\partial d_z(r_q)}{\partial \mathbf{r}_q} \right] \right]$$

$$\begin{aligned} \frac{\partial^2 h_{ip_y, jp_z}(r_q)}{\partial^2 \mathbf{r}_q} &= (V_{pp\sigma} - V_{pp\pi}) \cdot \left[ \frac{\partial^2 S(r_q)}{\partial^2 \mathbf{r}_q} \cdot d_y(r_q) \cdot d_z(r_q) + \frac{\partial S(r_q)}{\partial \mathbf{r}_q} \otimes \left[ d_y(r_q) \cdot \frac{\partial d_z(r_q)}{\partial \mathbf{r}_q} + d_z(r_q) \cdot \frac{\partial d_y(r_q)}{\partial \mathbf{r}_q} \right] \right. \\ &\quad + \left[ d_y(r_q) \cdot \frac{\partial d_z(r_q)}{\partial \mathbf{r}_q} + d_z(r_q) \cdot \frac{\partial d_y(r_q)}{\partial \mathbf{r}_q} \right] \otimes \frac{\partial S(r_q)}{\partial \mathbf{r}_q} \\ &\quad \left. + S(r_q) \cdot \left[ d_z(r_q) \cdot \frac{\partial^2 d_y(r_q)}{\partial^2 \mathbf{r}_q} + \frac{\partial d_y(r_q)}{\partial \mathbf{r}_q} \otimes \frac{\partial d_z(r_q)}{\partial \mathbf{r}_q} + \frac{\partial d_z(r_q)}{\partial \mathbf{r}_q} \otimes \frac{\partial d_y(r_q)}{\partial \mathbf{r}_q} + d_y(r_q) \cdot \frac{\partial^2 d_z(r_q)}{\partial^2 \mathbf{r}_q} \right] \right] \end{aligned}$$

D.4

$$\begin{aligned}
 h_{ip_z, jp_z}(r_q) &= V_{pp\pi} \cdot S(r_q) \\
 \frac{\partial h_{ip_z, jp_z}(r_q)}{\partial \mathbf{r}_q} &= V_{pp\pi} \cdot \frac{\partial S(r_q)}{\partial \mathbf{r}_q} \\
 \frac{\partial^2 h_{ip_z, jp_z}(r_q)}{\partial^2 \mathbf{r}_q} &= V_{pp\pi} \cdot \frac{\partial^2 S(r_q)}{\partial^2 \mathbf{r}_q}
 \end{aligned}$$

El código que generan estas ecuaciones:

```

2134 double hssigma(double r[3])
2135 {
2136     /**
2137     \details Esta funciones son necesarias para calcular la matriz TBH.
2138     *Dependen de los orbitales atomicos. Para su calculo se emplea V(ab) han sido
2139     definidos en las macros vssigma,... y la S(rij) que en este programa se conoce
2140     como fs(r)
2141     \param r vector de distancia entre atomos
2142     \return Un numero de doble precision.
2143     */
2144     return(vssigma*fs(r));
2145 }
2146 void hssigmadr(double r[3], double rdevuelta[3])
2147 {
2148     /**
2149     \details Utiliza la funcion fsdr y escvec . La derivada de la posicion es un
2150     vector.
2151     \param r vector de distancia entre atomos
2152     \param rdevuelta Devolucion de la operacion
2153     \return rdevuelta es el array de dimension 3 que se devuelve. Se hace por
2154     referencia.
2155     */
2156     double a[3];
2157     fsdr(r, a);
2158     escvec(vssigma, a, rdevuelta);
2159 }
2160 void hssigmadrdr(double r[3], double mdevuelta[3][3])
2161 {
2162     /**
2163     \details Utiliza la funcion fsdrdr y escmat . La segunda derivada de la posicion
2164     es una matriz.
2165     \param r vector de distancia entre atomos
2166     \param mdevuelta Devolucion de la operacion
2167     \return mdevuelta es el array de dimension 3x3 que se devuelve. Se hace por
2168     referencia.
2169     */
2170     double a[3][3];
2171     fsdrdr(r, a);
2172     escmat(vssigma, a, mdevuelta);
2173 }
2174 double hppsigma(double r[3])
2175 {
2176     /**
2177     \details Esta funciones son necesarias para calcular la matriz TBH.
2178     *Dependen de los orbitales atomicos. Para su calculo se emplea V(ab) han sido
2179     definidos en las macros vssigma,... y la S(rij) que en este programa se conoce
2180     como fs(r)
2181     \param r vector de distancia entre atomos
2182     \return Un numero de doble precision.
2183     */
2184     return(vppsigma*fs(r));
2185 }
2186 void hppsigmadr(double r[3], double rdevuelta[3])
2187 {
2188     /**
2189     \details Utiliza la funcion fsdr y escvec . La derivada de la posicion es un
2190     vector.
2191     \param r vector de distancia entre atomos
2192     \param rdevuelta Devolucion de la operacion
2193     \return rdevuelta es el array de dimension 3 que se devuelve. Se hace por
2194     referencia.
2195     */
2196     double a[3];
2197     fsdr(r, a);
2198     escvec(vppsigma, a, rdevuelta);
2199 }

```

```

2193 void hppsigmadrdr(double r[3], double mdevuelta[3][3])
2194 {
2195     /**
2196     \details Utiliza la funcion fsdrdr y escmat . La segunda derivada de la posicion
                es una matriz.
2197     \param r vector de distancia entre atomos
2198     \param mdevuelta Devolucion de la operacion
2199     \return mdevuelta es el array de dimension 3x3 que se devuelve. Se hace por
                referencia.
                */
2200     double a[3][3];
2201     fsdrdr(r, a);
2202     escmat(vppsigma, a, mdevuelta);
2203 }
2204 double hpsigma(double r[3])
2205 {
2206     /**
2207     \details Esta funciones son necesarias para calcular la matriz TBH.
2208     *Dependen de los orbitales atomicos. Para su calculo se emplea V(ab) han sido
2209     definidos en las macros vssigma,... y la S(rij) que en este programa se conoce
                como fs(r)
2210     \param r vector de distancia entre atomos
2211     \return Un numero de doble precision.
                */
2212     return(vpsigma*fs(r));
2213 }
2214 void hpsigmadr(double r[3], double rdevuelta[3])
2215 {
2216     /**
2217     \details Utiliza la funcion fsdr y escvec . La derivada de la posicion es un
                vector.
2218     \param r vector de distancia entre atomos
2219     \param rdevuelta Devolucion de la operacion
2220     \return rdevuelta es el array de dimension 3 que se devuelve. Se hace por
                referencia.
                */
2221     double a[3];
2222     fsdr(r, a);
2223     escvec(vpsigma, a, rdevuelta);
2224 }
2225 void hpsigmadrdr(double r[3], double mdevuelta[3][3])
2226 {
2227     /**
2228     \details Utiliza la funcion fsdrdr y escmat . La segunda derivada de la posicion
                es una matriz.
2229     \param r vector de distancia entre atomos
2230     \param mdevuelta Devolucion de la operacion
2231     \return mdevuelta es el array de dimension 3x3 que se devuelve. Se hace por
                referencia.
                */
2232     double a[3][3];
2233     fsdrdr(r, a);
2234     escmat(vppsigma, a, mdevuelta);
2235 }
2236 double hpppi(double r[3])
2237 {
2238     /**
2239     \details Esta funciones son necesarias para calcular la matriz TBH.
2240     *Dependen de los orbitales atomicos. Para su calculo se emplea V(ab) han sido
2241     definidos en las macros vssigma,... y la S(rij) que en este programa se conoce
                como fs(r)
2242     \param r vector de distancia entre atomos
2243     \return Un numero de doble precision.
                */
2244     return(vpppi*fs(r));
2245 }
2246 void hpppidr(double r[3], double rdevuelta[3])
2247 {
2248     /**
2249     \details Utiliza la funcion fsdr y escvec . La derivada de la posicion es un
                vector.
2250     \param r vector de distancia entre atomos
2251     \param rdevuelta Devolucion de la operacion
2252     \return rdevuelta es el array de dimension 3 que se devuelve. Se hace por
                referencia.
                */

```

```

2252     \details Utiliza la funcion fsdr y escvec . La derivada de la posicion es un
2253     vector.
2254     \param r vector de distancia entre atomos
2255     \param rdevuelta Devolucion de la operacion
2256     \return rdevuelta es el array de dimension 3 que se devuelve. Se hace por
2257     referencia.
2258     */
2259     double a[3];
2260     fsdr(r, a);
2261     escvec(vpppi, a, rdevuelta);
2262 }
2263 void hpppidrdr(double r[3], double mdevuelta[3][3])
2264 {
2265     /**
2266     \details Utiliza la funcion fsdrdr y escmat . La segunda derivada de la posicion
2267     es una matriz.
2268     \param r vector de distancia entre atomos
2269     \param mdevuelta Devolucion de la operacion
2270     \return mdevuelta es el array de dimension 3x3 que se devuelve. Se hace por
2271     referencia.
2272     */
2273     double a[3][3];
2274     fsdrdr(r, a);
2275     escmat(vpppi, a, mdevuelta);
2276 }

```



## Primeras derivadas del hamiltoniano.

```

2723 void H15dr(double r[3], double rdevuelta[3])
2724 {
2725     /**
2726     \details Utiliza la funcion hsssigmadr. La derivada de la posicion es un vector.
2727     \param r vector de distancia entre atomos
2728     \param rdevuelta Devolucion de la operacion
2729     \return rdevuelta es el array de dimension 3 que se devuelve. Se hace por
2730     referencia.
2731     */
2732     hsssigmadr(r, rdevuelta);
2733 }
2734 void H16dr(double r[3], double rdevuelta[3])
2735 {
2736     /**
2737     \details Utiliza la funcion hspsigmadr, hspsigma, lx, lxdr, sumavector. La
2738     derivada de la posicion es un vector.
2739     \param r vector de distancia entre atomos
2740     \param rdevuelta Devolucion de la operacion
2741     \return rdevuelta es el array de dimension 3 que se devuelve. Se hace por
2742     referencia.
2743     */
2744     double a[3];
2745     double b[3];
2746     hspsigmadr(r, a);
2747     lxdr(r, b);
2748     escvec(lx(r), a, a);
2749     escvec(hspsigma(r), b, b);
2750     sumavector(a, b, rdevuelta);
2751 }
2752 void H17dr(double r[3], double rdevuelta[3])
2753 {
2754     /**
2755     \details Utiliza la funcion hspsigmadr, hspsigma, ly, lydr, sumavector. La
2756     derivada de la posicion es un vector.
2757     \param r vector de distancia entre atomos
2758     \param rdevuelta Devolucion de la operacion
2759     \return rdevuelta es el array de dimension 3 que se devuelve. Se hace por
2760     referencia.
2761     */
2762     double a[3];
2763     double b[3];
2764     hspsigmadr(r, a);
2765     lydr(r, b);
2766     escvec(ly(r), a, a);
2767     escvec(hspsigma(r), b, b);
2768     sumavector(a, b, rdevuelta);
2769 }
2770 void H18dr(double r[3], double rdevuelta[3])
2771 {
2772     /**
2773     \details Utiliza la funcion hspsigmadr, hspsigma, lz, lzdr, sumavector. La
2774     derivada de la posicion es un vector.
2775     \param r vector de distancia entre atomos
2776     \param rdevuelta Devolucion de la operacion
2777     \return rdevuelta es el array de dimension 3 que se devuelve. Se hace por
2778     referencia.
2779     */
2780     double a[3];
2781     double b[3];
2782     hspsigmadr(r, a);
2783     lzdr(r, b);
2784     escvec(lz(r), a, a);
2785     escvec(hspsigma(r), b, b);
2786     sumavector(a, b, rdevuelta);
2787 }
2788 void H25dr(double r[3], double rdevuelta[3])
2789 {
2790     /**
2791     \details Utiliza la funcion H16dr y escvec. La derivada de la posicion es un

```

```

vector.
2785 \param r vector de distancia entre atomos
2786 \param rdevuelta Devolucion de la operacion
2787 \return rdevuelta es el array de dimension 3 que se devuelve. Se hace por
referencia.
2788 */
2789 H16dr(r, rdevuelta);
2790 escvec(-1, rdevuelta, rdevuelta);
2791 }
2792 void H26dr(double r[3], double rdevuelta[3])
2793 {
2794     /**
2795     \details Utiliza la funcion hppsigmadr, escvec, lx2dr, lx2, hppsigma, hpppi,
hpppidr. La derivada de la posicion es un vector.
2796     \param r vector de distancia entre atomos
2797     \param rdevuelta Devolucion de la operacion
2798     \return rdevuelta es el array de dimension 3 que se devuelve. Se hace por
referencia.
2799     */
2800     int i;
2801     double r1[3], r2[3], r3[3], r4[3], raux[3];
2802     hppsigmadr(r, r1);
2803     escvec(lx2(r), r1, r1);
2804     lx2dr(r, r2);
2805     escvec(hppsigma(r), r2, raux);
2806     escvec(-hpppi(r), r2, r4);
2807     hpppidr(r, r3);
2808     escvec((1 - lx2(r)), r3, r3);
2809     for (i = 0; i < 3; i++)
2810     {
2811         rdevuelta[i] = r1[i] + raux[i] + r3[i] + r4[i];
2812     }
2813 }
2814 void H27dr(double r[3], double rdevuelta[3])
2815 {
2816     /**
2817     \details Utiliza la funcion hppsigmadr, hpppidr, lxlydr, restavector, escvec,
sumavector, lxly, hppsigma y hpppi. La derivada de la posicion es un vector.
2818     \param r vector de distancia entre atomos
2819     \param rdevuelta Devolucion de la operacion
2820     \return rdevuelta es el array de dimension 3 que se devuelve. Se hace por
referencia.
2821     */
2822     double r1[3], r2[3], r3[3];
2823     hppsigmadr(r, r1);
2824     hpppidr(r, r2);
2825     lxlydr(r, r3);
2826     restavector(r1, r2, r2);
2827     escvec(lxly(r), r2, r2);
2828     escvec(hppsigma(r) - hpppi(r), r3, r3);
2829     sumavector(r2, r3, rdevuelta);
2830 }
2831 void H28dr(double r[3], double rdevuelta[3])
2832 {
2833     /**
2834     \details Utiliza la funcion hppsigmadr, hpppidr, lzlxdr, restavector, escvec,
sumavector, lzlx, hppsigma y hpppi. La derivada de la posicion es un vector.
2835     \param r vector de distancia entre atomos
2836     \param rdevuelta Devolucion de la operacion
2837     \return rdevuelta es el array de dimension 3 que se devuelve. Se hace por
referencia.
2838     */
2839     double r1[3], r2[3], r3[3];
2840     hppsigmadr(r, r1);
2841     hpppidr(r, r2);
2842     lzlxdr(r, r3);
2843     restavector(r1, r2, r2);
2844     escvec(lzlx(r), r2, r2);
2845     escvec(hppsigma(r) - hpppi(r), r3, r3);

```

```

2846     sumavector(r2, r3, rdevuelta);
2847 }
2848 void H35dr(double r[3], double rdevuelta[3])
2849 {
2850     /**
2851     \details Utiliza la funcion H16dr y escvec. La derivada de la posicion es un
vector.
2852     \param r vector de distancia entre atomos
2853     \param rdevuelta Devolucion de la operacion
2854     \return rdevuelta es el array de dimension 3 que se devuelve. Se hace por
referencia.
2855     */
2856     H17dr(r, rdevuelta);
2857     escvec(-1, rdevuelta, rdevuelta);
2858 }
2859 void H36dr(double r[3], double rdevuelta[3])
2860 {
2861     /**
2862     \details Utiliza la funcion H16dr y escvec. La derivada de la posicion es un
vector.
2863     \param r vector de distancia entre atomos
2864     \param rdevuelta Devolucion de la operacion
2865     \return rdevuelta es el array de dimension 3 que se devuelve. Se hace por
referencia.
2866     */
2867     H27dr(r, rdevuelta);
2868 }
2869 void H37dr(double r[3], double rdevuelta[3])
2870 {
2871     /**
2872     \details Utiliza la funcion hppsigma, hpppi, hpppidr, hppsigmadr, escvec, ly2 y
ly2dr. La derivada de la posicion es un vector.
2873     \param r vector de distancia entre atomos
2874     \param rdevuelta Devolucion de la operacion
2875     \return rdevuelta es el array de dimension 3 que se devuelve. Se hace por
referencia.
2876     */
2877     int i;
2878     double r1[3], r2[3], r3[3], r4[3], raux[3];
2879     hppsigmadr(r, r1);
2880     escvec(ly2(r), r1, r1);
2881     ly2dr(r, r2);
2882     escvec(hppsigma(r), r2, raux);
2883     escvec(-hpppi(r), r2, r4);
2884     hpppidr(r, r3);
2885     escvec((1 - ly2(r)), r3, r3);
2886     for (i = 0; i < 3; i++)
2887     {
2888         rdevuelta[i] = r1[i] + raux[i] + r3[i] + r4[i];
2889     }
2890 }
2891 void H38dr(double r[3], double rdevuelta[3])
2892 {
2893     /**
2894     \details Utiliza la funcion hppsigmadr, hpppidr, lzlydr, restavector, escvec,
sumavector, lzly, hppsigma. La derivada de la posicion es un vector.
2895     \param r vector de distancia entre atomos
2896     \param rdevuelta Devolucion de la operacion
2897     \return rdevuelta es el array de dimension 3 que se devuelve. Se hace por
referencia.
2898     */
2899     double r1[3], r2[3], r3[3];
2900     hppsigmadr(r, r1);
2901     hpppidr(r, r2);
2902     lzlydr(r, r3);
2903     restavector(r1, r2, r2);
2904     escvec(lzly(r), r2, r2);
2905     escvec(hppsigma(r) - hpppi(r), r3, r3);
2906     sumavector(r2, r3, rdevuelta);

```

```

2907 }
2908 void H45dr(double r[3], double rdevuelta[3])
2909 {
2910     /**
2911     \details Utiliza la funcion H18dr y escvec. La derivada de la posicion es un
2912     vector.
2913     \param r vector de distancia entre atomos
2914     \param rdevuelta Devolucion de la operacion
2915     \return rdevuelta es el array de dimension 3 que se devuelve. Se hace por
2916     referencia.
2917     */
2918     H18dr(r, rdevuelta);
2919     escvec(-1, rdevuelta, rdevuelta);
2920 }
2921 void H46dr(double r[3], double rdevuelta[3])
2922 {
2923     /**
2924     \details Utiliza la funcion H28dr. La derivada de la posicion es un vector.
2925     \param r vector de distancia entre atomos
2926     \param rdevuelta Devolucion de la operacion
2927     \return rdevuelta es el array de dimension 3 que se devuelve. Se hace por
2928     referencia.
2929     */
2930     H28dr(r, rdevuelta);
2931 }
2932 void H47dr(double r[3], double rdevuelta[3])
2933 {
2934     /**
2935     \details Utiliza la funcion H38dr. La derivada de la posicion es un vector.
2936     \param r vector de distancia entre atomos
2937     \param rdevuelta Devolucion de la operacion
2938     \return rdevuelta es el array de dimension 3 que se devuelve. Se hace por
2939     referencia.
2940     */
2941     H38dr(r, rdevuelta);
2942 }
2943 void H48dr(double r[3], double rdevuelta[3])
2944 {
2945     /**
2946     \details Utiliza la funcion hppsigmadr, hpppidr, lz2dr, hpppidr, restavector,
2947     escvec, lz2, hppsigma, trisumamatriz. La derivada de la posicion es un vector.
2948     \param r vector de distancia entre atomos
2949     \param rdevuelta Devolucion de la operacion
2950     \return rdevuelta es el array de dimension 3 que se devuelve. Se hace por
2951     referencia.
2952     */
2953     double r1[3], r2[3], r3[3], r4[3];
2954     hppsigmadr(r, r1);
2955     hpppidr(r, r2);
2956     lz2dr(r, r3);
2957     hpppidr(r, r4);
2958     restavector(r1, r2, r2);
2959     escvec(lz2(r), r2, r2);
2960     escvec(hppsigma(r) - hpppi(r), r3, r3);
2961     //Suma de las 3 partes que componen la operacion
2962     for (int i = 0; i < 3; i++)
2963     {
2964         rdevuelta[i] = r4[i] + r2[i] + r3[i];
2965     }
2966 }

```

## Segundas derivadas del hamiltoniano

```

2975 void H15drdr(double r[3], double mdevuelta[3][3])
2976 {
2977     /**
2978     \details Utiliza la funcion hsssigmadrdr. La segunda derivada de la posicion es
una matriz.
2979     \param r vector de distancia entre atomos
2980     \param mdevuelta Devolucion de la operacion
2981     \return mdevuelta es el array de dimension 3x3 que se devuelve. Se hace por
referencia.
2982     */
2983     hsssigmadrdr(r, mdevuelta);
2984 }
2985 void H16drdr(double r[3], double mdevuelta[3][3])
2986 {
2987     /**
2988     \details Utiliza la funcion hspsigmadrdr, hspsigmadr, lx, lxdr, lxdrdr, outer,
escmat, hpsigma. La segunda derivada de la posicion es una matriz.
2989     \param r vector de distancia entre atomos
2990     \param mdevuelta Devolucion de la operacion
2991     \return mdevuelta es el array de dimension 3x3 que se devuelve. Se hace por
referencia.
2992     */
2993     double v1[3], v2[3];
2994     double m1[3][3], m2[3][3], m3[3][3], m4[3][3];
2995     hspsigmadrdr(r, m1);
2996     hspsigmadr(r, v1);
2997     lxdr(r, v2);
2998     lxdrdr(r, m4);
2999     escmat(lx(r), m1, m1);
3000     outer(v1, v2, m2);
3001     outer(v2, v1, m3);
3002     escmat(hspsigma(r), m4, m4);
3003     //Suma de las 4 partes que componen la operacion
3004     int i, j;
3005     for (i = 0; i < 3; i++)
3006     {
3007         for (j = 0; j < 3; j++)
3008         {
3009             mdevuelta[i][j] = m1[i][j] + m2[i][j] + m3[i][j] + m4[i][j];
3010         }
3011     }
3012 }
3013 void H17drdr(double r[3], double mdevuelta[3][3])
3014 {
3015     /**
3016     \details Utiliza la funcion hspsigmadrdr, hspsigmadr, ly, lydr, lydrdr, outer,
escmat, hpsigma. La segunda derivada de la posicion es una matriz.
3017     \param r vector de distancia entre atomos
3018     \param mdevuelta Devolucion de la operacion
3019     \return mdevuelta es el array de dimension 3x3 que se devuelve. Se hace por
referencia.
3020     */
3021     double v1[3], v2[3];
3022     double m1[3][3], m2[3][3], m3[3][3], m4[3][3];
3023     hspsigmadrdr(r, m1);
3024     hspsigmadr(r, v1);
3025     lydr(r, v2);
3026     lydrdr(r, m4);
3027     escmat(ly(r), m1, m1);
3028     outer(v1, v2, m2);
3029     outer(v2, v1, m3);
3030     escmat(hspsigma(r), m4, m4);
3031     //Suma de las 4 partes que componen la operacion
3032     int i, j;
3033     for (i = 0; i < 3; i++)
3034     {
3035         for (j = 0; j < 3; j++)
3036         {
3037             mdevuelta[i][j] = m1[i][j] + m2[i][j] + m3[i][j] + m4[i][j];

```

```

3038     }
3039 }
3040 }
3041 void H18drdr(double r[3], double mdevuelta[3][3])
3042 {
3043     /**
3044     \details Utiliza la funcion hpsigmadrdr, hpsigmadr, lz, lzdr, lzdrdr, outer,
3045     escmat, hpsigma. La segunda derivada de la posicion es una matriz.
3046     \param r vector de distancia entre atomos
3047     \param mdevuelta Devolucion de la operacion
3048     \return mdevuelta es el array de dimension 3x3 que se devuelve. Se hace por
3049     referencia.
3050     */
3051     double v1[3], v2[3];
3052     double m1[3][3], m2[3][3], m3[3][3], m4[3][3];
3053     hpsigmadrdr(r, m1);
3054     hpsigmadr(r, v1);
3055     lzdr(r, v2);
3056     lzdrdr(r, m4);
3057     escmat(lz(r), m1, m1);
3058     outer(v1, v2, m2);
3059     outer(v2, v1, m3);
3060     escmat(hpsigma(r), m4, m4);
3061     //Suma de las 4 partes que componen la operacion
3062     int i, j;
3063     for (i = 0; i < 3; i++)
3064     {
3065         for (j = 0; j < 3; j++)
3066         {
3067             mdevuelta[i][j] = m1[i][j] + m2[i][j] + m3[i][j] + m4[i][j];
3068         }
3069     }
3070 }
3071 void H25drdr(double r[3], double mdevuelta[3][3])
3072 {
3073     /**
3074     \details Utiliza la funcion H16drdr y escmat. La segunda derivada de la posicion
3075     es una matriz.
3076     \param r vector de distancia entre atomos
3077     \param mdevuelta Devolucion de la operacion
3078     \return mdevuelta es el array de dimension 3x3 que se devuelve. Se hace por
3079     referencia.
3080     */
3081     H16drdr(r, mdevuelta);
3082     escmat(-1, mdevuelta, mdevuelta);
3083 }
3084 void H26drdr(double r[3], double mdevuelta[3][3])
3085 {
3086     /**
3087     \details Utiliza la funcion hppsigmadrdr, lx2drdr, hpppidrdr, lx2drdr,
3088     hppsigmadr, lx2dr, hpppidr, lx2, hppsigma, hpppi, escmat, outer y escvec. La
3089     segunda derivada de la posicion es una matriz.
3090     \param r vector de distancia entre atomos
3091     \param mdevuelta Devolucion de la operacion
3092     \return mdevuelta es el array de dimension 3x3 que se devuelve. Se hace por
3093     referencia.
3094     */
3095     double v1[3], v2[3], v3[3];
3096     double m1[3][3], m2[3][3], m3[3][3], m4[3][3], m5[3][3], m6[3][3], m7[3][3], m8[3][3];
3097     int i, j;
3098     hppsigmadrdr(r, m1);
3099     lx2drdr(r, m3);
3100     hpppidrdr(r, m5);
3101     lx2drdr(r, m8);
3102     hppsigmadr(r, v1);
3103     lx2dr(r, v2);

```

```

3099     hpppidr(r, v3);
3100
3101     escmat(lx2(r), m1, m1);
3102     outer(v1, v2, m2);
3103     escmat(hppsigma(r), m3, m3);
3104     outer(v2, v1, m4);
3105     escmat(1 - lx2(r), m5, m5);
3106     escvec(-1, v2, v2);
3107     outer(v3, v2, m6);
3108     outer(v2, v3, m7);
3109     escmat(-hpppi(r), m8, m8);
3110     //Suma de las 8 partes que componen la operacion
3111     for (i = 0; i < 3; i++)
3112     {
3113         for (j = 0; j < 3; j++)
3114         {
3115             mdevuelta[i][j] = m1[i][j] + m2[i][j] + m3[i][j] + m4[i][j] + m5[i][j] +
3116             m6[i][j] + m7[i][j] + m8[i][j];
3117         }
3118     }
3119 void H27drdr(double r[3], double mdevuelta[3][3])
3120 {
3121     /**
3122     \details Utiliza la funcion hppsigmadrdr, hpppidrdr, escmat, sumamatriz, lxly,
3123     hppsigmadr, hpppidr, escvec, sumavector, lxlydr, outer, lxlydrdr, hppsigma y
3124     hpppi. La segunda derivada de la posicion es una matriz.
3125     \param r vector de distancia entre atomos
3126     \param mdevuelta Devolucion de la operacion
3127     \return mdevuelta es el array de dimension 3x3 que se devuelve. Se hace por
3128     referencia.
3129     */
3130     double v1[3], v2[3], vaux[3];
3131     double m1[3][3], m2[3][3], m3[3][3], m4[3][3], maux[3][3];
3132
3133     hppsigmadrdr(r, m1);
3134     hpppidrdr(r, maux);
3135     escmat(-1, maux, maux);
3136     sumamatriz(m1, maux, m1);
3137     escmat(lxly(r), m1, m1);
3138
3139     hppsigmadr(r, v1);
3140     hpppidr(r, vaux);
3141     escvec(-1, vaux, vaux);
3142     sumavector(v1, vaux, v1);
3143     lxlydr(r, v2);
3144     outer(v1, v2, m2);
3145     outer(v2, v1, m3);
3146
3147     lxlydrdr(r, m4);
3148     escmat(hppsigma(r) - hpppi(r), m4, m4);
3149     //Suma de las 4 partes que componen la operacion
3150     int i, j;
3151     for (i = 0; i < 3; i++)
3152     {
3153         for (j = 0; j < 3; j++)
3154         {
3155             mdevuelta[i][j] = m1[i][j] + m2[i][j] + m3[i][j] + m4[i][j];
3156         }
3157     }
3158 }
3159 void H28drdr(double r[3], double mdevuelta[3][3])
3160 {
3161     /**
3162     \details Utiliza la funcion hppsigmadrdr, hpppidrdr, escmat, sumamatriz, lzlx,
3163     hppsigmadr, hpppidr, escvec, sumavector, lzlxdr, outer, lzlxdrdr, hppsigma y
3164     hpppi. La segunda derivada de la posicion es una matriz.
3165     \param r vector de distancia entre atomos
3166     \param mdevuelta Devolucion de la operacion

```



```

3162     \return mdevuelta es el array de dimension 3x3 que se devuelve. Se hace por
3163     referencia.
3164     */
3165     double v1[3], v2[3], vaux[3];
3166     double m1[3][3], m2[3][3], m3[3][3], m4[3][3],iaux[3][3];
3167
3168     hppsigmadrdr(r, m1);
3169     hpppidrdr(r,iaux);
3170     escmat(-1,iaux,iaux);
3171     sumamatriz(m1,iaux,m1);
3172     escmat(lzlx(r), m1, m1);
3173
3174     hppsigmadr(r, v1);
3175     hpppidr(r,iaux);
3176     escvec(-1,iaux,iaux);
3177     sumavector(v1,iaux,v1);
3178     lzlxdr(r, v2);
3179     outer(v1, v2, m2);
3180     outer(v2, v1, m3);
3181
3182     lzlxdrdr(r, m4);
3183     escmat(hppsigma(r) - hpppi(r), m4, m4);
3184     //Suma de las 4 partes que componen la operacion
3185     int i, j;
3186     for (i = 0; i < 3; i++)
3187     {
3188         for (j = 0; j < 3; j++)
3189         {
3190             mdevuelta[i][j] = m1[i][j] + m2[i][j] + m3[i][j] + m4[i][j];
3191         }
3192     }
3193 void H35drdr(double r[3], double mdevuelta[3][3])
3194 {
3195     /**
3196     \details Utiliza la funcion H17drdr y escmat. La segunda derivada de la posicion
3197     es una matriz.
3198     \param r vector de distancia entre atomos
3199     \param mdevuelta Devolucion de la operacion
3200     \return mdevuelta es el array de dimension 3x3 que se devuelve. Se hace por
3201     referencia.
3202     */
3203     H17drdr(r, mdevuelta);
3204     escmat(-1, mdevuelta, mdevuelta);
3205 }
3206 void H36drdr(double r[3], double mdevuelta[3][3])
3207 {
3208     /**
3209     \details Utiliza la funcion H27drdr. La segunda derivada de la posicion es una
3210     matriz.
3211     \param r vector de distancia entre atomos
3212     \param mdevuelta Devolucion de la operacion
3213     \return mdevuelta es el array de dimension 3x3 que se devuelve. Se hace por
3214     referencia.
3215     */
3216     H27drdr(r, mdevuelta);
3217 }
3218 void H37drdr(double r[3], double mdevuelta[3][3])
3219 {
3220     /**
3221     \details Utiliza la funcion hppsigmadrdr, ly2drdr, hpppidrdr, ly2drdr,
3222     hppsigmadr, ly2dr, hpppidr, ly2, hppsigma, hpppi, escmat, outer y escvec. La
3223     segunda derivada de la posicion es una matriz.
3224     \param r vector de distancia entre atomos
3225     \param mdevuelta Devolucion de la operacion
3226     \return mdevuelta es el array de dimension 3x3 que se devuelve. Se hace por
3227     referencia.
3228     */
3229     double v1[3], v2[3], v3[3];

```

```

3223     double m1[3][3], m2[3][3], m3[3][3], m4[3][3], m5[3][3], m6[3][3], m7[3][3], m8[3
3224     ] [3];
3225     int i, j;
3226     hppsigmadrdr(r, m1);
3227     ly2drdr(r, m3);
3228     hpppidrdr(r, m5);
3229     ly2drdr(r, m8);
3230
3231     hppsigmadr(r, v1);
3232     ly2dr(r, v2);
3233     hpppidr(r, v3);
3234
3235     escmat(ly2(r), m1, m1);
3236     outer(v1, v2, m2);
3237     escmat(hppsigma(r), m3, m3);
3238     outer(v2, v1, m4);
3239     escmat(1 - ly2(r), m5, m5);
3240     escvec(-1, v2, v2);
3241     outer(v3, v2, m6);
3242     outer(v2, v3, m7);
3243     escmat(-hpppi(r), m8, m8);
3244     //Suma de las 8 partes que componen la operacion
3245     for (i = 0; i < 3; i++)
3246     {
3247         for (j = 0; j < 3; j++)
3248         {
3249             mdevuelta[i][j] = m1[i][j] + m2[i][j] + m3[i][j] + m4[i][j] + m5[i][j] +
3250             m6[i][j] + m7[i][j] + m8[i][j];
3251         }
3252     }
3253 void H38drdr(double r[3], double mdevuelta[3][3])
3254 {
3255     /**
3256     \details Utiliza la funcion hppsigmadrdr, hpppidrdr, escmat, sumamatriz, lzly,
3257     hppsigmadr, hpppidr, escvec, sumavector, lzlydr, outer, lzlydrdr, hppsigma y
3258     hpppi. La segunda derivada de la posicion es una matriz.
3259     \param r vector de distancia entre atomos
3260     \param mdevuelta Devolucion de la operacion
3261     \return mdevuelta es el array de dimension 3x3 que se devuelve. Se hace por
3262     referencia.
3263     */
3264     double v1[3], v2[3], vaux[3];
3265     double m1[3][3], m2[3][3], m3[3][3], m4[3][3], maux[3][3];
3266
3267     hppsigmadrdr(r, m1);
3268     hpppidrdr(r, maux);
3269     escmat(-1, maux, maux);
3270     sumamatriz(m1, maux, m1);
3271     escmat(lzly(r), m1, m1);
3272
3273     hppsigmadr(r, v1);
3274     hpppidr(r, vaux);
3275     escvec(-1, vaux, vaux);
3276     sumavector(v1, vaux, v1);
3277     lzlydr(r, v2);
3278     outer(v1, v2, m2);
3279     outer(v2, v1, m3);
3280
3281     lzlydrdr(r, m4);
3282     escmat(hppsigma(r) - hpppi(r), m4, m4);
3283     //Suma de las 4 partes que componen la operacion
3284     int i, j;
3285     for (i = 0; i < 3; i++)
3286     {
3287         for (j = 0; j < 3; j++)
3288         {
3289             mdevuelta[i][j] = m1[i][j] + m2[i][j] + m3[i][j] + m4[i][j];

```

```

3287     }
3288 }
3289 }
3290 void H45drdr(double r[3], double mdevuelta[3][3])
3291 {
3292     /**
3293     \details Utiliza la funcion H18drdr y escmat. La segunda derivada de la posicion
3294     es una matriz.
3295     \param r vector de distancia entre atomos
3296     \param mdevuelta Devolucion de la operacion
3297     \return mdevuelta es el array de dimension 3x3 que se devuelve. Se hace por
3298     referencia.
3299     */
3300     H18drdr(r, mdevuelta);
3301     escmat(-1, mdevuelta, mdevuelta);
3302 }
3303 void H46drdr(double r[3], double mdevuelta[3][3])
3304 {
3305     /**
3306     \details Utiliza la funcion H28drdr. La segunda derivada de la posicion es una
3307     matriz.
3308     \param r vector de distancia entre atomos
3309     \param mdevuelta Devolucion de la operacion
3310     \return mdevuelta es el array de dimension 3x3 que se devuelve. Se hace por
3311     referencia.
3312     */
3313     H28drdr(r, mdevuelta);
3314 }
3315 void H47drdr(double r[3], double mdevuelta[3][3])
3316 {
3317     /**
3318     \details Utiliza la funcion H38drdr. La segunda derivada de la posicion es una
3319     matriz.
3320     \param r vector de distancia entre atomos
3321     \param mdevuelta Devolucion de la operacion
3322     \return mdevuelta es el array de dimension 3x3 que se devuelve. Se hace por
3323     referencia.
3324     */
3325     H38drdr(r, mdevuelta);
3326 }
3327 void H48drdr(double r[3], double mdevuelta[3][3])
3328 {
3329     /**
3330     \details Utiliza la funcion hpppidrdr, hppsigmadrdr, hpppidrdr, escmat,
3331     sumamatriz, lz2, hppsigmadr, hpppidr, escvec, sumavector, lz2dr, outer, lz2drdr,
3332     hppsigma y hpppi. La segunda derivada de la posicion es una matriz.
3333     \param r vector de distancia entre atomos
3334     \param mdevuelta Devolucion de la operacion
3335     \return mdevuelta es el array de dimension 3x3 que se devuelve. Se hace por
3336     referencia.
3337     */
3338     double v1[3], v2[3], vaux[3];
3339     double m1[3][3], m2[3][3], m3[3][3], m4[3][3], maux[3][3], m5[3][3];
3340     hpppidrdr(r, m5);
3341     hppsigmadrdr(r, m1);
3342     hpppidrdr(r, maux);
3343     escmat(-1, maux, maux);
3344     sumamatriz(m1, maux, m1);
3345     escmat(lz2(r), m1, m1);
3346     hppsigmadr(r, v1);
3347     hpppidr(r, vaux);
3348     escvec(-1, vaux, vaux);
3349     sumavector(v1, vaux, v1);
3350     lz2dr(r, v2);
3351     outer(v1, v2, m2);
3352     outer(v2, v1, m3);

```

```
3347
3348     lz2drdr(r, m4);
3349     escmat(hppsiga(r) - hppi(r), m4, m4);
3350     //Suma de las 5 partes que componen la operacion
3351     int i, j;
3352     for (i = 0; i < 3; i++)
3353     {
3354         for (j = 0; j < 3; j++)
3355         {
3356             mdevuelta[i][j] = m1[i][j] + m2[i][j] + m3[i][j] + m4[i][j] + m5[i][j];
3357         }
3358     }
3359 }
```

## Anexo G: Script de Matlab para calcular las funciones analíticas de Green

```
1 clear
2 clc
3 syms L
4 syms H11 H12zix H13zix H14zix H15zix H16zix H17zix H18zix
5 syms H21zix H22 H23zix H24zix H25zix H26zix H27zix H28zix
6 syms H31zix H32zix H33 H34zix H35zix H36zix H37zix H38zix
7 syms H41zix H42zix H43zix H44 H45zix H46zix H47zix H48zix
8 syms H51zix H52zix H53zix H54zix
9 syms H61zix H62zix H63zix H64zix
10 syms H71zix H72zix H73zix H74zix
11 syms H81zix H82zix H83zix H84zix
12
13 H12zix=0
14 H13zix=0
15 H14zix=0
16 H21zix=0
17 H23zix=0
18 H24zix=0
19 H31zix=0
20 H32zix=0
21 H34zix=0
22 H41zix=0
23 H42zix=0
24 H43zix=0
25
26 H18zix=0
27 H28zix=0
28 H38zix=0
29 H45zix=0
30 H46zix=0
31 H47zix=0
32
33 H54zix=0
34 H64zix=0
35 H74zix=0
36 H81zix=0
37 H82zix=0
38 H83zix=0
39
40 A=eye(8)*L
41 B=[H11, H12zix, H13zix, H14zix, H15zix, H16zix, H17zix, H18zix; H21zix, H22, ↵
H23zix, H24zix, H25zix, H26zix, H27zix, H28zix; H31zix, H32zix, H33, H34zix, H35zix, ↵
H36zix, H37zix, H38zix; H41zix, H42zix, H43zix, H44, H45zix, H46zix, H47zix, H48zix; ↵
H51zix, H52zix, H53zix, H54zix, H11, H12zix, H13zix, H14zix; H61zix, H62zix, H63zix, ↵
H64zix, H21zix, H22, H23zix, H24zix; H71zix, H72zix, H73zix, H74zix, H31zix, H32zix, ↵
H33, H34zix; H81zix, H82zix, H83zix, H84zix, H41zix, H42zix, H43zix, H44]
42 C=A-B
43 D=(inv(C));
44
45 for(i=1:8)
46 for(j=1:8)
47     disp( sprintf( 'G(%d,%d)',i,j ) )
48     D(i,j)
49 end
50 end
```

La salida de Matlab será los 64 componentes de la matriz de Green  $G_{8 \times 8}$ , por ejemplo para la última componente de la matriz  $G(8,8)$

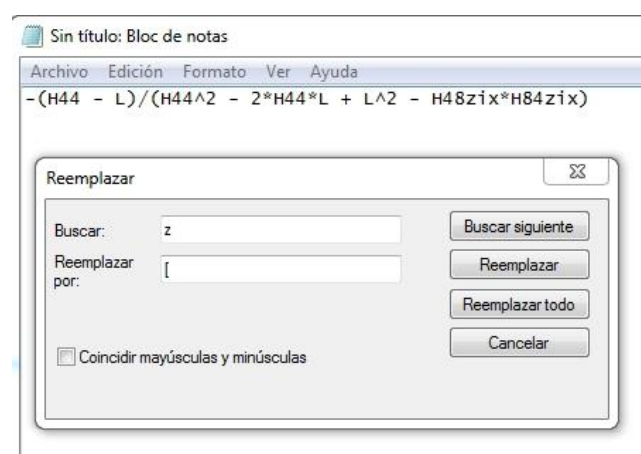
```
G(8,8)

ans =

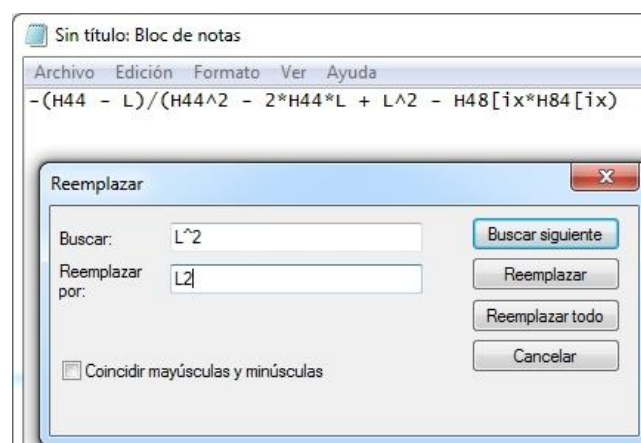
-(H44 - L)/(H44^2 - 2*H44*L + L^2 - H48zix*H84zix)
```

**Figura G.1:** Salida de Matlab

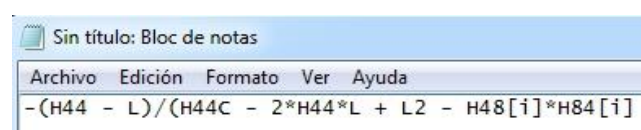
Finalmente podemos usar un editor de texto plano y remplazar los términos "z" y "x" por "[" y "]" También para quitar los términos que estén elevados a alguna potencia



**Figura G.2:** Edición de la salida de  $G(8,8)$  se sustituye la "z" por "[" para añadirlo formateado correctamente al lenguaje de programación C++



**Figura G.3:** Edición de la salida de  $G(8,8)$  se sustituye la "L^2" por "L2" para añadir a C++ la mejora del rendimiento al hacer por bucle menos operaciones



**Figura G.4:** Después de hacer todas las modificaciones.

## Anexo H: Resultados numéricos

Aquí están los resultados numéricos calculados en Mathematica y C++. Se ha calculado el error entre ambas soluciones considerándose el resultado de Mathematica el correcto. No están presentes los términos nulos del cálculo de las constantes de fuerzas para los tres tipos de enlaces.

$$\begin{pmatrix} a_{11} & a_{12} & a_{13} = 0 \\ a_{21} & a_{22} & a_{23} = 0 \\ a_{31} = 0 & a_{32} = 0 & a_{33} \end{pmatrix}$$



Ptos		C++					Matematica					Error relativo en porcentaje entre C++ y Matematica, Matematica se considera la referencia				
		Ebrsd10d10														
factor	C++	a11	a12	a21	a22	a33	a11	a12	a21	a22	a33	a11	a12	a21	a22	a33
0.5	2808	-71.9112	0.0000	0.0000	55.8772	63.1415	-71.9187	0.0000	0.0000	55.8829	63.1471	-0.01	0.00	0.00	-0.01	-0.01
0.51	2684	-71.9370	0.0000	0.0000	55.7942	63.2409	-71.9446	0.0000	0.0000	55.7999	63.2466	-0.01	0.00	0.00	-0.01	-0.01
0.52	2520	-71.9641	0.0000	0.0000	55.7019	63.3478	-71.9717	0.0000	0.0000	55.7076	63.3534	-0.01	0.00	0.00	-0.01	-0.01
0.53	2376	-72.0019	0.0000	0.0000	55.5860	63.4906	-72.0095	0.0000	0.0000	55.5916	63.4963	-0.01	0.00	0.00	-0.01	-0.01
0.54		-71.9402	0.0000	0.0000	55.7856	63.2523	-71.9477	0.0000	0.0000	55.7913	63.2580	-0.01	0.00	0.00	-0.01	-0.01
0.55	2244	-71.9794	0.0000	0.0000	55.6586	63.4039	-71.9870	0.0000	0.0000	55.6643	63.4096	-0.01	0.00	0.00	-0.01	-0.01
0.56		-71.9199	0.0000	0.0000	55.8484	63.1755	-71.9275	0.0000	0.0000	55.8541	63.1811	-0.01	0.00	0.00	-0.01	-0.01
0.57	2112	-71.9608	0.0000	0.0000	55.7114	63.3356	-71.9684	0.0000	0.0000	55.7171	63.3413	-0.01	0.00	0.00	-0.01	-0.01
0.58		-71.9035	0.0000	0.0000	55.8929	63.1164	-71.9111	0.0000	0.0000	55.8986	63.1220	-0.01	0.00	0.00	-0.01	-0.01
0.59	1980	-71.9577	0.0000	0.0000	55.7299	63.3196	-71.9653	0.0000	0.0000	55.7356	63.3253	-0.01	0.00	0.00	-0.01	-0.01
0.6		-71.9026	0.0000	0.0000	55.9049	63.1086	-71.9102	0.0000	0.0000	55.9106	63.1142	-0.01	0.00	0.00	-0.01	-0.01
0.62	1860	-71.9040	0.0000	0.0000	55.8989	63.1144	-71.9115	0.0000	0.0000	55.9046	63.1200	-0.01	0.00	0.00	-0.01	-0.01
0.64	1740	-71.9081	0.0000	0.0000	55.8768	63.1347	-71.9157	0.0000	0.0000	55.8825	63.1403	-0.01	0.00	0.00	-0.01	-0.01
0.66	1620	-71.9298	0.0000	0.0000	55.8197	63.2121	-71.9374	0.0000	0.0000	55.8254	63.2178	-0.01	0.00	0.00	-0.01	-0.01
0.68	1512	-71.9531	0.0000	0.0000	55.7439	63.3020	-71.9607	0.0000	0.0000	55.7496	63.3077	-0.01	0.00	0.00	-0.01	-0.01
0.7	1404	-71.9787	0.0000	0.0000	55.6508	63.4062	-71.9863	0.0000	0.0000	55.6565	63.4118	-0.01	0.00	0.00	-0.01	-0.01
0.72		-71.8858	0.0000	0.0000	55.9449	63.0506	-71.8934	0.0000	0.0000	55.9506	63.0562	-0.01	0.00	0.00	-0.01	-0.01
0.74	1296	-71.9339	0.0000	0.0000	55.8079	63.2272	-71.9415	0.0000	0.0000	55.8135	63.2329	-0.01	0.00	0.00	-0.01	-0.01
0.76	1200	-71.9830	0.0000	0.0000	55.6483	63.4169	-71.9906	0.0000	0.0000	55.6540	63.4226	-0.01	0.00	0.00	-0.01	-0.01
0.78		-71.8971	0.0000	0.0000	55.9203	63.0883	-71.9047	0.0000	0.0000	55.9260	63.0939	-0.01	0.00	0.00	-0.01	-0.01
0.8	1104	-71.9496	0.0000	0.0000	55.7416	63.2952	-71.9571	0.0000	0.0000	55.7473	63.3009	-0.01	0.00	0.00	-0.01	-0.01
0.82	1008	-72.0270	0.0000	0.0000	55.5069	63.5864	-72.0346	0.0000	0.0000	55.5125	63.5921	-0.01	0.00	0.00	-0.01	-0.01
0.84		-71.9473	0.0000	0.0000	55.7668	63.2779	-71.9549	0.0000	0.0000	55.7725	63.2835	-0.01	0.00	0.00	-0.01	-0.01
0.86	924	-72.0265	0.0000	0.0000	55.5062	63.5855	-72.0341	0.0000	0.0000	55.5119	63.5911	-0.01	0.00	0.00	-0.01	-0.01
0.88		-71.9501	0.0000	0.0000	55.7543	63.2901	-71.9577	0.0000	0.0000	55.7599	63.2957	-0.01	0.00	0.00	-0.01	-0.01
0.9		-71.8762	0.0000	0.0000	55.9855	63.0087	-71.8838	0.0000	0.0000	55.9913	63.0144	-0.01	0.00	0.00	-0.01	-0.01
0.92	840	-71.9587	0.0000	0.0000	55.7088	63.3322	-71.9663	0.0000	0.0000	55.7145	63.3378	-0.01	0.00	0.00	-0.01	-0.01
0.94		-71.8872	0.0000	0.0000	55.9321	63.0600	-71.8948	0.0000	0.0000	55.9378	63.0656	-0.01	0.00	0.00	-0.01	-0.01
0.96	756	-72.0038	0.0000	0.0000	55.5865	63.4947	-72.0114	0.0000	0.0000	55.5922	63.5003	-0.01	0.00	0.00	-0.01	-0.01
0.98		-71.9357	0.0000	0.0000	55.8066	63.2319	-71.9433	0.0000	0.0000	55.8123	63.2376	-0.01	0.00	0.00	-0.01	-0.01
1		-71.8701	0.0000	0.0000	56.0132	62.9816	-71.8777	0.0000	0.0000	56.0189	62.9873	-0.01	0.00	0.00	-0.01	-0.01
1.02	684	-71.9860	0.0000	0.0000	55.6402	63.4276	-71.9944	0.0000	0.0000	55.6458	63.4333	-0.02	0.00	0.00	-0.01	-0.01
1.04		-71.9213	0.0000	0.0000	55.8451	63.1799	-71.9288	0.0000	0.0000	55.8508	63.1856	-0.01	0.00	0.00	-0.01	-0.01
1.06	612	-72.0408	0.0000	0.0000	55.4363	63.6526	-72.0484	0.0000	0.0000	55.4419	63.6583	-0.01	0.00	0.00	-0.01	-0.01
1.08		-71.9781	0.0000	0.0000	55.6411	63.4096	-71.9857	0.0000	0.0000	55.6468	63.4153	-0.01	0.00	0.00	-0.01	-0.01
1.1		-71.9165	0.0000	0.0000	55.8348	63.1743	-71.9240	0.0000	0.0000	55.8405	63.1799	-0.01	0.00	0.00	-0.01	-0.01
1.12		-71.8569	0.0000	0.0000	56.0178	62.9489	-71.8645	0.0000	0.0000	56.0235	62.9546	-0.01	0.00	0.00	-0.01	-0.01
1.14	540	-72.0225	0.0000	0.0000	55.5294	63.5652	-72.0301	0.0000	0.0000	55.5351	63.5709	-0.01	0.00	0.00	-0.01	-0.01
1.16		-71.9649	0.0000	0.0000	55.7177	63.3421	-71.9725	0.0000	0.0000	55.7234	63.3478	-0.01	0.00	0.00	-0.01	-0.01
1.18		-71.9088	0.0000	0.0000	55.8964	63.1269	-71.9165	0.0000	0.0000	55.9022	63.1326	-0.01	0.00	0.00	-0.01	-0.01
1.2		-71.8548	0.0000	0.0000	56.0659	62.9211	-71.8624	0.0000	0.0000	56.0716	62.9268	-0.01	0.00	0.00	-0.01	-0.01
1.22	480	-72.0171	0.0000	0.0000	55.5400	63.5475	-72.0247	0.0000	0.0000	55.5456	63.5532	-0.01	0.00	0.00	-0.01	-0.01
1.24		-71.9627	0.0000	0.0000	55.7155	63.3377	-71.9703	0.0000	0.0000	55.7212	63.3434	-0.01	0.00	0.00	-0.01	-0.01
1.26		-71.9092	0.0000	0.0000	55.8825	63.1340	-71.9168	0.0000	0.0000	55.8882	63.1396	-0.01	0.00	0.00	-0.01	-0.01
1.28		-71.8571	0.0000	0.0000	56.0412	62.9377	-71.8647	0.0000	0.0000	56.0469	62.9433	-0.01	0.00	0.00	-0.01	-0.01
1.3	420	-72.0244	0.0000	0.0000	55.4818	63.5932	-72.0320	0.0000	0.0000	55.4875	63.5989	-0.01	0.00	0.00	-0.01	-0.01
1.4	360	-72.0579	0.0000	0.0000	55.4190	63.7000	-72.0655	0.0000	0.0000	55.4247	63.7057	-0.01	0.00	0.00	-0.01	-0.01
1.5		-71.8331	0.0000	0.0000	56.1432	62.8343	-71.8407	0.0000	0.0000	56.1489	62.8400	-0.01	0.00	0.00	-0.01	-0.01
1.6	312	-71.8863	0.0000	0.0000	55.9503	63.0483	-71.8939	0.0000	0.0000	55.9560	63.0540	-0.01	0.00	0.00	-0.01	-0.01
1.7	264	-71.9564	0.0000	0.0000	55.6805	63.3412	-71.9640	0.0000	0.0000	55.6862	63.3468	-0.01	0.00	0.00	-0.01	-0.01
1.8		-71.7639	0.0000	0.0000	56.2536	62.6212	-71.7714	0.0000	0.0000	56.2593	62.6268	-0.01	0.00	0.00	-0.01	-0.01
1.9	216	-71.9642	0.0000	0.0000	55.7521	63.3241	-71.9717	0.0000	0.0000	55.7578	63.3298	-0.01	0.00	0.00	-0.01	-0.01
2		-71.8008	0.0000	0.0000	56.2680	62.7006	-71.8084	0.0000	0.0000	56.2737	62.7062	-0.01	0.00	0.00	-0.01	-0.01
2.1	180	-71.9921	0.0000	0.0000	55.6229	63.4488	-71.9997	0.0000	0.0000	55.6286	63.4545	-0.01	0.00	0.00	-0.01	-0.01
2.2		-71.8317	0.0000	0.0000	56.1000	62.8490	-71.8393	0.0000	0.0000	56.1057	62.8547	-0.01	0.00	0.00	-0.01	-0.01
2.3	144	-7														

4,2		-71.6003	0,0000	0,0000	56.4120	62.1849	-71.6078	0,0000	0,0000	56.4178	62.1905	-0,01	0,00	0,00	-0,01	-0,01
4,3		-71.5039	0,0000	0,0000	56.6148	61.8631	-71.5114	0,0000	0,0000	56.6206	61.8687	-0,01	0,00	0,00	-0,01	-0,01
4,4		-71.4130	0,0000	0,0000	56.7993	61.5623	-71.4205	0,0000	0,0000	56.8051	61.5679	-0,01	0,00	0,00	-0,01	-0,01
4,5		-71.3367	0,0000	0,0000	56.9706	61.3019	-71.3442	0,0000	0,0000	56.9765	61.3076	-0,01	0,00	0,00	-0,01	-0,01
4,6		-72.4873	0,0000	0,0000	54.2189	65.2355	-72.4950	0,0000	0,0000	54.2244	65.2412	-0,01	0,00	0,00	-0,01	-0,01
4,7		-72.4343	0,0000	0,0000	54.5073	64.9742	-72.4420	0,0000	0,0000	54.5129	64.9799	-0,01	0,00	0,00	-0,01	-0,01
4,8		-72.3790	0,0000	0,0000	54.7820	64.7144	-72.3867	0,0000	0,0000	54.7875	64.7201	-0,01	0,00	0,00	-0,01	-0,01
4,9		-72.3219	0,0000	0,0000	55.0429	64.4573	-72.3295	0,0000	0,0000	55.0484	64.4630	-0,01	0,00	0,00	-0,01	-0,01
5		-72.2636	0,0000	0,0000	55.2902	64.2041	-72.2712	0,0000	0,0000	55.2958	64.2098	-0,01	0,00	0,00	-0,01	-0,01
5,1		-72.2046	0,0000	0,0000	55.5241	63.9561	-72.2122	0,0000	0,0000	55.5297	63.9617	-0,01	0,00	0,00	-0,01	-0,01
5,2		-72.1457	0,0000	0,0000	55.7448	63.7148	-72.1533	0,0000	0,0000	55.7505	63.7204	-0,01	0,00	0,00	-0,01	-0,01
5,3	36	-72.0876	0,0000	0,0000	55.9527	63.4818	-72.0952	0,0000	0,0000	55.9584	63.4874	-0,01	0,00	0,00	-0,01	-0,01
5,4		-72.0311	0,0000	0,0000	56.1480	63.2588	-72.0387	0,0000	0,0000	56.1537	63.2644	-0,01	0,00	0,00	-0,01	-0,01
5,5		-71.9772	0,0000	0,0000	56.3312	63.0476	-71.9847	0,0000	0,0000	56.3369	63.0533	-0,01	0,00	0,00	-0,01	-0,01
5,6		-71.9265	0,0000	0,0000	56.5026	62.8501	-71.9340	0,0000	0,0000	56.5083	62.8557	-0,01	0,00	0,00	-0,01	-0,01
5,7		-71.8800	0,0000	0,0000	56.6626	62.6679	-71.8875	0,0000	0,0000	56.6683	62.6735	-0,01	0,00	0,00	-0,01	-0,01
5,8		-71.8383	0,0000	0,0000	56.8116	62.5025	-71.8099	0,0000	0,0000	55.9526	62.8826	0,04	0,00	0,00	1,54	-0,60
5,9		-71.8022	0,0000	0,0000	56.9500	62.3554	-71.8097	0,0000	0,0000	56.9557	62.3611	-0,01	0,00	0,00	-0,01	-0,01
6		-71.7720	0,0000	0,0000	57.0779	62.2275	-71.7795	0,0000	0,0000	57.0837	62.2331	-0,01	0,00	0,00	-0,01	-0,01
6,1		-72.4072	0,0000	0,0000	53.4481	65.5178	-72.4149	0,0000	0,0000	53.4536	65.5235	-0,01	0,00	0,00	-0,01	-0,01
6,2		-72.3639	0,0000	0,0000	53.6778	65.3100	-72.3716	0,0000	0,0000	53.6833	65.3157	-0,01	0,00	0,00	-0,01	-0,01
6,3		-72.3183	0,0000	0,0000	53.9010	65.1000	-72.3260	0,0000	0,0000	53.9065	65.1058	-0,01	0,00	0,00	-0,01	-0,01
6,4		-72.2705	0,0000	0,0000	54.1175	64.8882	-72.2782	0,0000	0,0000	54.1230	64.8939	-0,01	0,00	0,00	-0,01	-0,01
6,5		-72.2205	0,0000	0,0000	54.3274	64.6745	-72.2282	0,0000	0,0000	54.3330	64.6802	-0,01	0,00	0,00	-0,01	-0,01
6,6		-72.1684	0,0000	0,0000	54.5308	64.4590	-72.1761	0,0000	0,0000	54.5363	64.4647	-0,01	0,00	0,00	-0,01	-0,01
6,7		-72.1143	0,0000	0,0000	54.7275	64.2419	-72.1219	0,0000	0,0000	54.7331	64.2476	-0,01	0,00	0,00	-0,01	-0,01
6,8		-72.0582	0,0000	0,0000	54.9177	64.0233	-72.0658	0,0000	0,0000	54.9233	64.0290	-0,01	0,00	0,00	-0,01	-0,01
6,9		-72.0002	0,0000	0,0000	55.1014	63.8033	-72.0082	0,0000	0,0000	55.1073	63.8092	-0,01	0,00	0,00	-0,01	-0,01
7		-71.9403	0,0000	0,0000	55.2787	63.5819	-71.9479	0,0000	0,0000	55.2843	63.5876	-0,01	0,00	0,00	-0,01	-0,01
7,1		-71.8787	0,0000	0,0000	55.4495	63.3594	-71.8863	0,0000	0,0000	55.4551	63.3651	-0,01	0,00	0,00	-0,01	-0,01
7,2		-71.8155	0,0000	0,0000	55.6139	63.1359	-71.8231	0,0000	0,0000	55.6196	63.1416	-0,01	0,00	0,00	-0,01	-0,01
7,3		-71.7507	0,0000	0,0000	55.7721	62.9114	-71.7583	0,0000	0,0000	55.7777	62.9171	-0,01	0,00	0,00	-0,01	-0,01
7,4		-71.6844	0,0000	0,0000	55.9240	62.6861	-71.6920	0,0000	0,0000	55.9297	62.6918	-0,01	0,00	0,00	-0,01	-0,01
7,5		-71.6167	0,0000	0,0000	56.0698	62.4601	-71.6242	0,0000	0,0000	56.0755	62.4658	-0,01	0,00	0,00	-0,01	-0,01
7,6	24	-71.5476	0,0000	0,0000	56.2095	62.2336	-71.5552	0,0000	0,0000	56.2152	62.2392	-0,01	0,00	0,00	-0,01	-0,01
7,7		-71.4773	0,0000	0,0000	56.3433	62.0066	-71.4849	0,0000	0,0000	56.3490	62.0123	-0,01	0,00	0,00	-0,01	-0,01
7,8		-71.4059	0,0000	0,0000	56.4712	61.7793	-71.4135	0,0000	0,0000	56.4769	61.7850	-0,01	0,00	0,00	-0,01	-0,01
7,9		-71.3334	0,0000	0,0000	56.5933	61.5519	-71.3410	0,0000	0,0000	56.5991	61.5575	-0,01	0,00	0,00	-0,01	-0,01
8		-71.2600	0,0000	0,0000	56.7098	61.3244	-71.2675	0,0000	0,0000	56.7156	61.3300	-0,01	0,00	0,00	-0,01	-0,01
8,1		-71.1857	0,0000	0,0000	56.8208	61.0970	-71.1932	0,0000	0,0000	56.8266	61.1026	-0,01	0,00	0,00	-0,01	-0,01
8,2		-71.1106	0,0000	0,0000	56.9264	60.8698	-71.1181	0,0000	0,0000	56.9323	60.8754	-0,01	0,00	0,00	-0,01	-0,01
8,3		-71.0348	0,0000	0,0000	57.0267	60.6430	-71.0423	0,0000	0,0000	57.0326	60.6486	-0,01	0,00	0,00	-0,01	-0,01
8,4		-70.9584	0,0000	0,0000	57.1219	60.4166	-70.9659	0,0000	0,0000	57.1278	60.4222	-0,01	0,00	0,00	-0,01	-0,01
8,5		-70.8816	0,0000	0,0000	57.2121	60.1909	-70.8891	0,0000	0,0000	57.2180	60.1965	-0,01	0,00	0,00	-0,01	-0,01
8,6		-70.8043	0,0000	0,0000	57.2974	59.9659	-70.8118	0,0000	0,0000	57.3033	59.9716	-0,01	0,00	0,00	-0,01	-0,01
8,7		-70.7268	0,0000	0,0000	57.3781	59.7421	-70.7343	0,0000	0,0000	57.3840	59.7477	-0,01	0,00	0,00	-0,01	-0,01
8,8		-70.6494	0,0000	0,0000	57.4543	59.5198	-70.6569	0,0000	0,0000	57.4602	59.5254	-0,01	0,00	0,00	-0,01	-0,01
8,9		-70.5734	0,0000	0,0000	57.5269	59.3023	-70.5810	0,0000	0,0000	57.5329	59.3080	-0,01	0,00	0,00	-0,01	-0,01
9		-70.5209	0,0000	0,0000	57.6074	59.1374	-70.5284	0,0000	0,0000	57.6133	59.1430	-0,01	0,00	0,00	-0,01	-0,01
9,1		-72.9556	0,0000	0,0000	54.5512	66.1460	-72.9633	0,0000	0,0000	54.5566	66.1517	-0,01	0,00	0,00	-0,01	-0,01
9,2		-72.9403	0,0000	0,0000	54.7510	66.0158	-72.9479	0,0000	0,0000	54.7565	66.0215	-0,01	0,00	0,00	-0,01	-0,01
9,3		-72.9237	0,0000	0,0000	54.9481	65.8844	-72.9314	0,0000	0,0000	54.9536	65.8901	-0,01	0,00	0,00	-0,01	-0,01
9,4		-72.9059	0,0000	0,0000	55.1424	65.7517	-72.9136	0,0000	0,0000	55.1479	65.7574	-0,01	0,00	0,00	-0,01	-0,01
9,5		-72.8869	0,0000	0,0000	55.3338	65.6179	-72.8946	0,0000	0,0000	55.3394	65.6236	-0,01	0,00	0,00	-0,01	-0,01
9,6	12	-72.8667	0,0000	0,0000	55.5224	65.4828	-72.8743	0,0000	0,0000	55.5280	65.4885	-0,01	0,00	0,00	-0,01	-0,01
9,7		-72.8452	0,0000	0,0000	55.7081	65.3465	-72.8529	0,0000	0,0000	55.7136	65.3522	-0,01	0,00	0,00	-0,01	-0,01
9,8		-72.8225	0,0000	0,0000	55.8908	65.2090	-72.8302	0,0000	0,0000	55.8964	65.2147	-0,01	0,00	0,00	-0,01	-0,01
9,9		-72.7986	0,0000	0,0000	56.0706	65.0703	-72.8062	0,0000	0,0000	56.0762	65.0760	-0,01	0,00	0,00	-0,01	-0,01
10		-72.7735	0,0000	0,0000	56.2474	64.9305	-72.7811	0,0000	0,0000	56.2530	64.9362	-0,01	0,00	0,00	-0,01	-0,01

Ptos		C++					Mathematica (Desde menos infinito)					Error relativo en porcentaje entre C++ y Mathematica, Mathematica se considera la referencia				
factor	C++	Ebd10d35					Ebd10d35									
		a11	a12	a21	a22	a33	a11	a12	a21	a22	a33	a11	a12	a21	a22	a33
0.5	2808	-0.3047	-0.0176	-0.0176	0.1457	-0.1930	-0.3047	-0.0176	-0.0176	0.1457	-0.1931	0.00	0.01	0.01	0.00	0.00
0.51	2684	-0.3023	-0.0176	-0.0176	0.1614	-0.2177	-0.3023	-0.0176	-0.0176	0.1614	-0.2177	0.00	0.02	0.02	0.00	0.00
0.52	2520	-0.3021	-0.0175	-0.0175	0.1778	-0.2464	-0.3021	-0.0175	-0.0175	0.1777	-0.2464	-0.01	0.03	0.03	0.00	0.00
0.53	2376	-0.3020	-0.0173	-0.0173	0.1972	-0.2863	-0.3020	-0.0173	-0.0173	0.1972	-0.2863	-0.01	0.05	0.05	0.00	0.00
0.54		-0.3014	-0.0176	-0.0176	0.1630	-0.2204	-0.3014	-0.0176	-0.0176	0.1630	-0.2204	0.00	0.02	0.02	0.00	0.00
0.55	2244	-0.3010	-0.0174	-0.0174	0.1853	-0.2613	-0.3010	-0.0174	-0.0174	0.1853	-0.2613	-0.01	0.04	0.04	0.00	0.00
0.56		-0.3044	-0.0176	-0.0176	0.1512	-0.2014	-0.3044	-0.0176	-0.0176	0.1512	-0.2014	0.00	0.01	0.01	0.00	0.00
0.57	2112	-0.3024	-0.0175	-0.0175	0.1761	-0.2433	-0.3024	-0.0175	-0.0175	0.1761	-0.2433	-0.01	0.03	0.03	0.00	0.00
0.58		-0.3086	-0.0176	-0.0176	0.1423	-0.1879	-0.3086	-0.0176	-0.0176	0.1423	-0.1879	0.00	0.01	0.01	0.00	0.00
0.59	1980	-0.3005	-0.0176	-0.0176	0.1731	-0.2380	-0.3005	-0.0176	-0.0176	0.1731	-0.2380	-0.01	0.03	0.03	0.00	0.00
0.6		-0.3057	-0.0176	-0.0176	0.1402	-0.1852	-0.3057	-0.0176	-0.0176	0.1402	-0.1852	0.00	0.01	0.01	0.00	0.00
0.62	1860	-0.3071	-0.0176	-0.0176	0.1414	-0.1867	-0.3071	-0.0176	-0.0176	0.1414	-0.1868	0.00	0.01	0.01	0.00	-0.01
0.64	1740	-0.3082	-0.0176	-0.0176	0.1454	-0.1924	-0.3082	-0.0176	-0.0176	0.1454	-0.1924	0.00	0.01	0.01	0.00	0.00
0.66	1620	-0.3019	-0.0176	-0.0176	0.1567	-0.2101	-0.3019	-0.0176	-0.0176	0.1567	-0.2101	0.00	0.02	0.02	0.00	0.00
0.68	1512	-0.3012	-0.0176	-0.0176	0.1706	-0.2335	-0.3012	-0.0176	-0.0176	0.1706	-0.2335	-0.01	0.03	0.03	0.00	0.00
0.7	1404	-0.3029	-0.0174	-0.0174	0.1863	-0.2630	-0.3030	-0.0174	-0.0174	0.1863	-0.2630	-0.01	0.04	0.04	0.00	0.00
0.72		-0.3136	-0.0175	-0.0175	0.1318	-0.1732	-0.3136	-0.0175	-0.0175	0.1318	-0.1732	-0.01	0.00	0.00	0.00	-0.01
0.74	1296	-0.3012	-0.0176	-0.0176	0.1590	-0.2138	-0.3012	-0.0176	-0.0176	0.1590	-0.2138	0.00	0.02	0.02	0.00	0.00
0.76	1200	-0.3010	-0.0174	-0.0174	0.1871	-0.2649	-0.3010	-0.0174	-0.0174	0.1871	-0.2649	-0.01	0.04	0.04	0.00	0.00
0.78		-0.3093	-0.0176	-0.0176	0.1371	-0.1807	-0.3094	-0.0176	-0.0176	0.1371	-0.1807	0.00	0.00	0.00	0.00	-0.01
0.8	1104	-0.3040	-0.0175	-0.0175	0.1706	-0.2331	-0.3040	-0.0175	-0.0175	0.1706	-0.2331	-0.01	0.03	0.03	0.00	0.00
0.82	1008	-0.3042	-0.0170	-0.0170	0.2094	-0.3150	-0.3043	-0.0170	-0.0170	0.2094	-0.3150	-0.02	0.06	0.06	0.00	0.00
0.84		-0.3000	-0.0176	-0.0176	0.1666	-0.2266	-0.3000	-0.0176	-0.0176	0.1666	-0.2266	0.00	0.02	0.02	0.00	0.00
0.86	924	-0.3048	-0.0170	-0.0170	0.2095	-0.3150	-0.3048	-0.0170	-0.0170	0.2095	-0.3150	-0.02	0.06	0.06	0.00	0.00
0.88		-0.3014	-0.0176	-0.0176	0.1687	-0.2302	-0.3014	-0.0176	-0.0176	0.1687	-0.2302	0.00	0.03	0.03	0.00	0.00
0.9		-0.3158	-0.0176	-0.0176	0.1238	-0.1629	-0.3159	-0.0176	-0.0176	0.1238	-0.1630	-0.01	0.00	0.00	0.00	-0.01
0.92	840	-0.3043	-0.0174	-0.0174	0.1762	-0.2433	-0.3043	-0.0174	-0.0174	0.1762	-0.2433	-0.01	0.03	0.03	0.00	0.00
0.94		-0.3153	-0.0175	-0.0175	0.1341	-0.1761	-0.3153	-0.0175	-0.0175	0.1341	-0.1761	0.00	0.00	0.00	0.00	-0.01
0.96	756	-0.3010	-0.0173	-0.0173	0.1973	-0.2867	-0.3010	-0.0173	-0.0173	0.1973	-0.2867	-0.01	0.05	0.05	0.00	0.00
0.98		-0.3000	-0.0176	-0.0176	0.1593	-0.2145	-0.3000	-0.0176	-0.0176	0.1593	-0.2145	0.00	0.02	0.02	0.00	0.00
1		-0.3103	-0.0175	-0.0175	0.1182	-0.1563	-0.3103	-0.0175	-0.0175	0.1182	-0.1563	0.00	-0.01	-0.01	0.00	0.00
1.02	684	-0.3011	-0.0174	-0.0174	0.1885	-0.2678	-0.3011	-0.0174	-0.0174	0.1885	-0.2678	-0.01	0.04	0.04	0.00	0.00
1.04		-0.3046	-0.0177	-0.0177	0.1519	-0.2024	-0.3046	-0.0177	-0.0177	0.1519	-0.2024	0.00	0.01	0.01	0.00	0.00
1.06	612	-0.3116	-0.0166	-0.0166	0.2190	-0.3389	-0.3117	-0.0166	-0.0166	0.2190	-0.3389	-0.03	0.07	0.07	0.00	0.00
1.08		-0.3054	-0.0173	-0.0173	0.1876	-0.2653	-0.3054	-0.0173	-0.0173	0.1876	-0.2653	-0.01	0.04	0.04	0.00	0.00
1.1		-0.3094	-0.0175	-0.0175	0.1530	-0.2036	-0.3094	-0.0175	-0.0175	0.1530	-0.2036	0.00	0.01	0.01	0.00	0.00
1.12		-0.3289	-0.0174	-0.0174	0.1160	-0.1528	-0.3289	-0.0174	-0.0174	0.1160	-0.1528	-0.01	-0.01	-0.01	0.00	-0.02
1.14	540	-0.3025	-0.0171	-0.0171	0.2062	-0.3075	-0.3025	-0.0171	-0.0171	0.2062	-0.3075	-0.02	0.06	0.06	0.00	0.00
1.16		-0.2980	-0.0176	-0.0176	0.1755	-0.2428	-0.2980	-0.0176	-0.0176	0.1755	-0.2428	-0.01	0.03	0.03	0.00	0.00
1.18		-0.3015	-0.0177	-0.0177	0.1422	-0.1883	-0.3015	-0.0177	-0.0177	0.1422	-0.1884	0.00	0.01	0.01	0.00	-0.01
1.2		-0.3128	-0.0174	-0.0174	0.1070	-0.1432	-0.3128	-0.0174	-0.0174	0.1070	-0.1432	0.00	-0.02	-0.02	0.00	0.00
1.22	480	-0.3037	-0.0172	-0.0172	0.2045	-0.3030	-0.3037	-0.0172	-0.0172	0.2045	-0.3030	-0.02	0.06	0.06	0.00	0.00
1.24		-0.3011	-0.0176	-0.0176	0.1757	-0.2428	-0.3011	-0.0176	-0.0176	0.1757	-0.2428	-0.01	0.03	0.03	0.00	0.00
1.26		-0.3073	-0.0177	-0.0177	0.1446	-0.1914	-0.3073	-0.0177	-0.0177	0.1446	-0.1914	0.00	0.01	0.01	0.00	0.00
1.28		-0.3295	-0.0175	-0.0175	0.1119	-0.1482	-0.3295	-0.0175	-0.0175	0.1119	-0.1483	-0.01	-0.01	-0.01	0.00	-0.02
1.3	420	-0.3113	-0.0167	-0.0167	0.2122	-0.3209	-0.3114	-0.0167	-0.0167	0.2122	-0.3209	-0.02	0.06	0.06	0.00	0.00
1.4	360	-0.3077	-0.0167	-0.0167	0.2224	-0.3496	-0.3078	-0.0167	-0.0167	0.2224	-0.3496	-0.03	0.07	0.07	0.00	0.00
1.5	312	-0.3166	-0.0173	-0.0173	0.0901	-0.1253	-0.3166	-0.0173	-0.0173	0.0901	-0.1253	-0.01	-0.03	-0.03	0.00	-0.01
1.6		-0.3145	-0.0177	-0.0177	0.1310	-0.1721	-0.3145	-0.0177	-0.0177	0.1310	-0.1721	0.00	0.00	0.00	0.00	0.00
1.7	264	-0.3112	-0.0172	-0.0172	0.1801	-0.2495	-0.3112	-0.0172	-0.0172	0.1801	-0.2495	-0.01	0.03	0.03	0.00	0.00
1.8		-0.4221	-0.0166	-0.0166	0.0603	-0.0964	-0.4226	-0.0166	-0.0166	0.0603	-0.0965	-0.12	-0.05	-0.05	0.01	-0.14
1.9	216	-0.2916	-0.0177	-0.0177	0.1703	-0.2344	-0.2916	-0.0177	-0.0177	0.1703	-0.2344	-0.01	0.03	0.03	0.00	0.00
2		-0.3223	-0.0168	-0.0168	0.0617	-0.0995	-0.3223	-0.0168	-0.0168	0.0617	-0.0996	-0.01	-0.04	-0.04	0.01	-0.01
2.1	180	-0.3039	-0.0175	-0.0175	0.1915	-0.2740	-0.3039	-0.0175	-0.0175	0.1915	-0.2740	-0.01	0.04	0.04	0.00	0.00
2.2		-0.3456	-0.0175	-0.0175	0.0984	-0.1323	-0.3456	-0.0175	-0.0175	0.0984	-0.1323	0.00	-0.02	-0.02	0.00	-0.01
2.3	144	-0.3325	-0.0155	-0.0155	0.2302	-0.3686	-0.3327	-0.0155	-0.0155	0.2302	-0.3686	-0.03	0.08	0.08	0.00	0.00
2.4		-0.3240	-0.0171	-0.0171	0.1561	-0.2066	-0.3240	-0.0171	-0.0171	0.1561	-0.2066	0.00	0.02	0.02	0.00	0.00
2.5		-0														

4,3		-0,5870	-0,0134	-0,0134	-0,0535	-0,0380	-0,5872	-0,0134	-0,0134	-0,0536	-0,0380	-0,03	-0,13	-0,13	-0,05	-0,17
4,4		-0,8865	-0,0122	-0,0122	-0,1134	-0,0265	-0,8867	-0,0122	-0,0122	-0,1134	-0,0267	-0,02	-0,18	-0,18	-0,04	-0,65
4,5		-2,4381	-0,0107	-0,0107	-0,1713	-0,0260	-2,4517	-0,0107	-0,0107	-0,1714	-0,0276	-0,55	-0,24	-0,24	-0,03	-5,87
4,6		-0,4829	-0,0121	-0,0121	0,3078	-1,0398	-0,4838	-0,0120	-0,0120	0,3077	-1,0399	-0,19	0,39	0,39	0,04	-0,01
4,7		-0,4243	-0,0160	-0,0160	0,3065	-0,8697	-0,4250	-0,0160	-0,0160	0,3064	-0,8698	-0,16	0,26	0,26	0,03	-0,01
4,8		-0,3701	-0,0191	-0,0191	0,2968	-0,7202	-0,3705	-0,0191	-0,0191	0,2967	-0,7203	-0,12	0,18	0,18	0,02	0,00
4,9		-0,3203	-0,0214	-0,0214	0,2797	-0,5894	-0,3206	-0,0214	-0,0214	0,2796	-0,5895	-0,09	0,14	0,14	0,01	0,00
5		-0,2752	-0,0229	-0,0229	0,2560	-0,4755	-0,2753	-0,0229	-0,0229	0,2559	-0,4755	-0,06	0,10	0,10	0,01	0,00
5,1		-0,2350	-0,0236	-0,0236	0,2267	-0,3767	-0,2351	-0,0236	-0,0236	0,2267	-0,3767	-0,04	0,07	0,07	0,00	0,00
5,2		-0,2003	-0,0237	-0,0237	0,1929	-0,2913	-0,2004	-0,0237	-0,0237	0,1929	-0,2913	-0,01	0,05	0,05	0,00	0,00
5,3	36	-0,1717	-0,0232	-0,0232	0,1555	-0,2181	-0,1717	-0,0232	-0,0232	0,1555	-0,2181	0,00	0,03	0,03	0,00	0,00
5,4		-0,1497	-0,0222	-0,0222	0,1156	-0,1558	-0,1497	-0,0222	-0,0222	0,1156	-0,1558	0,00	0,00	0,00	0,00	0,00
5,5		-0,1353	-0,0208	-0,0208	0,0742	-0,1034	-0,1353	-0,0208	-0,0208	0,0742	-0,1034	-0,02	-0,02	-0,02	0,01	-0,01
5,6		-0,1293	-0,0191	-0,0191	0,0322	-0,0603	-0,1294	-0,0191	-0,0191	0,0321	-0,0603	-0,04	-0,05	-0,05	0,03	-0,03
5,7		-0,1326	-0,0171	-0,0171	-0,0096	-0,0259	-0,1327	-0,0171	-0,0171	-0,0096	-0,0260	-0,08	-0,09	-0,09	-0,18	-0,09
5,8		-0,1458	-0,0149	-0,0149	-0,0501	-0,0001	-0,1460	-0,0150	-0,0150	-0,0501	-0,0001	-0,11	-0,13	-0,13	-0,05	-25,05
5,9		-0,1693	-0,0127	-0,0127	-0,0887	0,0174	-0,1696	-0,0127	-0,0127	-0,0887	0,0173	-0,13	-0,18	-0,18	-0,04	0,25
6		-0,2031	-0,0105	-0,0105	-0,1247	0,0267	-0,2033	-0,0105	-0,0105	-0,1247	0,0266	-0,14	-0,25	-0,25	-0,03	0,20
6,1		-0,7978	0,0467	0,0467	0,2329	-1,3841	-0,7995	0,0467	0,0467	0,2327	-1,3843	-0,21	-0,06	-0,06	0,08	-0,01
6,2		-0,7619	0,0430	0,0430	0,2508	-1,2239	-0,7633	0,0431	0,0431	0,2506	-1,2240	-0,18	-0,05	-0,05	0,06	-0,01
6,3		-0,7291	0,0396	0,0396	0,2642	-1,0776	-0,7302	0,0396	0,0396	0,2640	-1,0777	-0,16	-0,05	-0,05	0,05	-0,01
6,4		-0,6995	0,0362	0,0362	0,2733	-0,9447	-0,7004	0,0363	0,0363	0,2732	-0,9448	-0,13	-0,05	-0,05	0,04	-0,01
6,5		-0,6733	0,0331	0,0331	0,2784	-0,8246	-0,6740	0,0331	0,0331	0,2783	-0,8247	-0,11	-0,04	-0,04	0,03	-0,01
6,6		-0,6507	0,0300	0,0300	0,2796	-0,7168	-0,6513	0,0301	0,0301	0,2796	-0,7169	-0,08	-0,04	-0,04	0,02	-0,01
6,7		-0,6319	0,0272	0,0272	0,2773	-0,6206	-0,6323	0,0272	0,0272	0,2772	-0,6207	-0,06	-0,03	-0,03	0,02	-0,01
6,8		-0,6172	0,0245	0,0245	0,2715	-0,5356	-0,6174	0,0245	0,0245	0,2715	-0,5356	-0,05	-0,02	-0,02	0,01	0,00
6,9		-0,6068	0,0219	0,0219	0,2626	-0,4610	-0,6070	0,0219	0,0219	0,2626	-0,4610	-0,03	-0,01	-0,01	0,01	0,00
7		-0,6011	0,0194	0,0194	0,2508	-0,3964	-0,6012	0,0194	0,0194	0,2508	-0,3964	-0,02	0,00	0,00	0,00	0,00
7,1		-0,6005	0,0171	0,0171	0,2364	-0,3412	-0,6006	0,0171	0,0171	0,2364	-0,3412	-0,01	0,01	0,01	0,00	0,00
7,2		-0,6056	0,0149	0,0149	0,2195	-0,2950	-0,6057	0,0149	0,0149	0,2195	-0,2950	0,00	0,03	0,03	0,00	0,00
7,3		-0,6170	0,0127	0,0127	0,2005	-0,2571	-0,6170	0,0127	0,0127	0,2005	-0,2571	0,00	0,05	0,05	0,00	0,00
7,4		-0,6355	0,0107	0,0107	0,1795	-0,2270	-0,6355	0,0107	0,0107	0,1795	-0,2270	0,00	0,07	0,07	0,00	0,00
7,5		-0,6621	0,0088	0,0088	0,1567	-0,2044	-0,6621	0,0088	0,0088	0,1567	-0,2044	0,00	0,11	0,11	0,00	0,00
7,6	24	-0,6980	0,0069	0,0069	0,1325	-0,1887	-0,6980	0,0069	0,0069	0,1325	-0,1888	-0,01	0,16	0,16	0,01	-0,01
7,7		-0,7449	0,0051	0,0051	0,1069	-0,1795	-0,7450	0,0051	0,0051	0,1069	-0,1796	-0,01	0,25	0,25	0,01	-0,01
7,8		-0,8051	0,0034	0,0034	0,0802	-0,1764	-0,8052	0,0034	0,0034	0,0802	-0,1765	-0,02	0,42	0,42	0,03	-0,02
7,9		-0,8815	0,0018	0,0018	0,0525	-0,1790	-0,8817	0,0018	0,0018	0,0525	-0,1790	-0,02	0,87	0,87	0,06	-0,02
8		-0,9784	0,0002	0,0002	0,0240	-0,1868	-0,9787	0,0002	0,0002	0,0240	-0,1869	-0,03	8,93	8,93	0,16	-0,03
8,1		-1,1018	-0,0013	-0,0013	-0,0051	-0,1996	-1,1021	-0,0013	-0,0013	-0,0052	-0,1996	-0,03	-1,33	-1,33	-0,94	-0,04
8,2		-1,2608	-0,0027	-0,0027	-0,0348	-0,2169	-1,2612	-0,0028	-0,0028	-0,0348	-0,2170	-0,03	-0,67	-0,67	-0,17	-0,04
8,3		-1,4694	-0,0041	-0,0041	-0,0648	-0,2385	-1,4699	-0,0041	-0,0041	-0,0649	-0,2386	-0,03	-0,47	-0,47	-0,11	-0,05
8,4		-1,7513	-0,0054	-0,0054	-0,0951	-0,2640	-1,7518	-0,0054	-0,0054	-0,0952	-0,2641	-0,03	-0,38	-0,38	-0,09	-0,06
8,5		-2,1486	-0,0066	-0,0066	-0,1257	-0,2931	-2,1492	-0,0066	-0,0066	-0,1258	-0,2933	-0,03	-0,32	-0,32	-0,08	-0,07
8,6		-2,7453	-0,0077	-0,0077	-0,1564	-0,3257	-2,7460	-0,0077	-0,0077	-0,1565	-0,3259	-0,03	-0,29	-0,29	-0,07	-0,09
8,7		-3,7345	-0,0087	-0,0087	-0,1871	-0,3613	-3,7352	-0,0087	-0,0087	-0,1872	-0,3617	-0,02	-0,26	-0,26	-0,06	-0,12
8,8		-5,6746	-0,0096	-0,0096	-0,2179	-0,3995	-5,6745	-0,0096	-0,0096	-0,2180	-0,4003	0,00	-0,25	-0,25	-0,06	-0,21
8,9		-10,8838	-0,0103	-0,0103	-0,2486	-0,4390	-10,8794	-0,0103	-0,0103	-0,2487	-0,4416	0,04	-0,24	-0,24	-0,06	-0,57
9		-23,7995	-0,0109	-0,0109	-0,2793	-0,4747	-23,9623	-0,0110	-0,0110	-0,2794	-0,4836	-0,68	-0,23	-0,23	-0,06	-1,83
9,1		-1,5333	0,1430	0,1430	0,2186	-1,2711	-1,5344	0,1430	0,1430	0,2184	-1,2713	-0,07	-0,02	-0,02	0,07	-0,01
9,2		-1,5102	0,1370	0,1370	0,2413	-1,1611	-1,5111	0,1370	0,1370	0,2412	-1,1612	-0,06	-0,02	-0,02	0,05	-0,01
9,3		-1,4886	0,1310	0,1310	0,2606	-1,0593	-1,4893	0,1310	0,1310	0,2605	-1,0594	-0,05	-0,02	-0,02	0,04	-0,01
9,4		-1,4686	0,1250	0,1250	0,2764	-0,9658	-1,4692	0,1250	0,1250	0,2763	-0,9658	-0,04	-0,02	-0,02	0,03	-0,01
9,5	12	-1,4502	0,1190	0,1190	0,2886	-0,8802	-1,4507	0,1190	0,1190	0,2885	-0,8802	-0,03	-0,01	-0,01	0,02	-0,01
9,6		-1,4336	0,1130	0,1130	0,2973	-0,8025	-1,4338	0,1131	0,1131	0,2973	-0,8025	-0,02	-0,01	-0,01	0,02	-0,01
9,7		-1,4185	0,1071	0,1071	0,3025	-0,7324	-1,4187	0,1071	0,1071	0,3025	-0,7324	-0,01	-0,01	-0,01	0,01	0,00
9,8		-1,4052	0,1012	0,1012	0,3042	-0,6699	-1,4053	0,1012	0,1012	0,3041	-0,6699	-0,01	-0,01	-0,01	0,01	0,00
9,9		-1,3936	0,0954	0,0954	0,3024	-0,6147	-1,3937	0,0954	0,0954	0,3023	-0,6147	0,00	0,00	0,00	0,01	0,00
10		-1,3838	0,0897	0,0897	0,2971	-0,5667	-1,3838	0,0897	0,0897	0,2970	-0,5667	0,00	0,00	0,00	0,00	0,00

Ptos		C++					Matematica					Error relativo en porcentaje entre C++ y Matematica, Matematica se considera la referencia				
factor	C++	Ebd10d10p9					Ebd10d10p9									
		a11	a12	a21	a22	a33	a11	a12	a21	a22	a33	a11	a12	a21	a22	a33
0.5	2808	0.4423	-0.9332	-0.1068	-0.1581	0.3124	0.4423	-0.9332	-0.1068	-0.1581	0.3124	0.00	-0.01	0.00	-0.01	0.00
0.51	2684	0.4309	-0.9008	-0.1136	-0.1548	0.3222	0.4309	-0.9009	-0.1136	-0.1548	0.3222	0.00	-0.01	0.00	-0.01	0.01
0.52	2520	0.4176	-0.8646	-0.1210	-0.1515	0.3331	0.4176	-0.8647	-0.1210	-0.1515	0.3331	-0.01	-0.01	0.00	-0.01	0.00
0.53	2376	0.4022	-0.8220	-0.1305	-0.1478	0.3481	0.4022	-0.8221	-0.1305	-0.1478	0.3481	-0.01	-0.01	0.00	-0.01	0.00
0.54		0.4295	-0.8972	-0.1144	-0.1545	0.3234	0.4296	-0.8972	-0.1144	-0.1545	0.3234	0.00	-0.01	0.00	-0.01	0.00
0.55	2244	0.4121	-0.8489	-0.1247	-0.1500	0.3390	0.4121	-0.8490	-0.1247	-0.1500	0.3389	-0.01	-0.01	0.00	-0.01	0.00
0.56	2112	0.4386	-0.9224	-0.1092	-0.1569	0.3158	0.4387	-0.9225	-0.1092	-0.1569	0.3157	0.00	-0.01	0.00	-0.01	0.01
0.57		0.4189	-0.8682	-0.1202	-0.1518	0.3318	0.4189	-0.8683	-0.1202	-0.1518	0.3318	-0.01	-0.01	0.00	-0.01	0.00
0.58	1980	0.4447	-0.9400	-0.1053	-0.1588	0.3099	0.4447	-0.9401	-0.1053	-0.1588	0.3099	0.00	-0.01	0.00	-0.01	0.02
0.59		0.4219	-0.8758	-0.1189	-0.1524	0.3302	0.4219	-0.8759	-0.1189	-0.1524	0.3302	-0.01	-0.01	0.00	-0.01	0.00
0.6	1860	0.4462	-0.9442	-0.1045	-0.1593	0.3092	0.4462	-0.9442	-0.1045	-0.1593	0.3092	0.00	-0.01	0.00	-0.01	0.00
0.62		0.4460	-0.9429	-0.1050	-0.1590	0.3098	0.4460	-0.9430	-0.1050	-0.1590	0.3097	0.00	-0.01	0.00	-0.01	0.02
0.64	1740	0.4424	-0.9336	-0.1066	-0.1581	0.3117	0.4424	-0.9337	-0.1066	-0.1581	0.3116	0.00	-0.01	0.00	-0.01	0.02
0.66	1620	0.4343	-0.9105	-0.1116	-0.1558	0.3193	0.4343	-0.9105	-0.1116	-0.1558	0.3193	0.00	-0.01	0.00	-0.01	0.00
0.68	1512	0.4240	-0.8815	-0.1178	-0.1529	0.3284	0.4240	-0.8815	-0.1178	-0.1530	0.3284	-0.01	-0.01	0.00	-0.01	0.00
0.7	1404	0.4102	-0.8449	-0.1250	-0.1498	0.3391	0.4103	-0.8450	-0.1250	-0.1498	0.3391	-0.01	-0.01	0.00	-0.01	0.00
0.72		0.4525	-0.9619	-0.1008	-0.1611	0.3036	0.4525	-0.9619	-0.1008	-0.1611	0.3035	0.00	-0.01	0.00	-0.01	0.03
0.74	1296	0.4327	-0.9059	-0.1126	-0.1553	0.3208	0.4327	-0.9059	-0.1126	-0.1553	0.3208	0.00	-0.01	0.00	-0.01	0.00
0.76	1200	0.4108	-0.8453	-0.1255	-0.1497	0.3403	0.4108	-0.8454	-0.1255	-0.1497	0.3403	-0.01	-0.01	0.00	-0.01	0.00
0.78		0.4496	-0.9526	-0.1032	-0.1599	0.3073	0.4496	-0.9526	-0.1032	-0.1600	0.3073	0.00	-0.01	0.00	-0.01	0.03
0.8	1104	0.4227	-0.8793	-0.1176	-0.1529	0.3276	0.4227	-0.8794	-0.1176	-0.1529	0.3276	-0.01	-0.01	0.00	-0.01	0.00
0.82	1008	0.3917	-0.7938	-0.1368	-0.1456	0.3585	0.3918	-0.7939	-0.1368	-0.1456	0.3585	-0.01	-0.01	0.00	-0.01	0.00
0.84		0.4271	-0.8900	-0.1160	-0.1538	0.3259	0.4271	-0.8901	-0.1160	-0.1538	0.3259	-0.01	-0.01	0.00	-0.01	0.00
0.86	924	0.3916	-0.7935	-0.1368	-0.1456	0.3585	0.3916	-0.7936	-0.1368	-0.1456	0.3585	-0.01	-0.01	0.00	-0.01	0.00
0.88		0.4256	-0.8857	-0.1170	-0.1533	0.3272	0.4256	-0.8858	-0.1170	-0.1533	0.3272	-0.01	-0.01	0.00	-0.01	0.00
0.9		0.4599	-0.9810	-0.0977	-0.1629	0.2998	0.4599	-0.9811	-0.0977	-0.1629	0.2997	0.00	-0.01	0.00	-0.01	0.04
0.92	840	0.4178	-0.8662	-0.1202	-0.1517	0.3314	0.4178	-0.8663	-0.1202	-0.1517	0.3314	-0.01	-0.01	0.00	-0.01	0.00
0.94		0.4508	-0.9571	-0.1017	-0.1605	0.3044	0.4508	-0.9572	-0.1017	-0.1605	0.3044	0.00	0.00	0.00	-0.01	0.02
0.96	756	0.4026	-0.8227	-0.1306	-0.1478	0.3485	0.4026	-0.8228	-0.1306	-0.1478	0.3485	-0.01	-0.01	0.00	-0.01	0.00
0.98		0.4327	-0.9055	-0.1128	-0.1552	0.3213	0.4327	-0.9056	-0.1128	-0.1553	0.3213	0.00	-0.01	0.00	-0.01	0.00
1		0.4613	-0.9878	-0.0955	-0.1641	0.2971	0.4613	-0.9878	-0.0955	-0.1641	0.2971	0.00	0.00	0.00	-0.01	0.00
1.02	684	0.4099	-0.8425	-0.1263	-0.1494	0.3415	0.4099	-0.8426	-0.1263	-0.1495	0.3415	-0.01	-0.01	0.00	-0.01	0.00
1.04		0.4388	-0.9221	-0.1095	-0.1568	0.3163	0.4388	-0.9222	-0.1095	-0.1568	0.3162	0.00	-0.01	0.00	-0.01	0.01
1.06	612	0.3797	-0.7650	-0.1417	-0.1437	0.3658	0.3798	-0.7651	-0.1417	-0.1437	0.3658	-0.01	-0.01	0.00	-0.01	0.00
1.08		0.4078	-0.8396	-0.1255	-0.1494	0.3394	0.4078	-0.8396	-0.1255	-0.1494	0.3394	-0.01	-0.01	0.00	-0.01	0.00
1.1		0.4356	-0.9157	-0.1097	-0.1564	0.3154	0.4356	-0.9157	-0.1097	-0.1564	0.3154	0.00	-0.01	0.00	-0.01	0.01
1.12		0.4654	-0.9967	-0.0943	-0.1645	0.2940	0.4654	-0.9968	-0.0942	-0.1645	0.2938	0.00	-0.01	0.00	-0.01	0.05
1.14	540	0.3951	-0.8024	-0.1352	-0.1462	0.3562	0.3952	-0.8025	-0.1352	-0.1462	0.3562	-0.01	-0.01	0.00	-0.01	0.00
1.16		0.4207	-0.8718	-0.1201	-0.1520	0.3325	0.4207	-0.8719	-0.1201	-0.1520	0.3325	-0.01	-0.01	0.00	-0.01	0.00
1.18		0.4453	-0.9411	-0.1054	-0.1589	0.3110	0.4453	-0.9411	-0.1054	-0.1589	0.3109	0.00	-0.01	0.00	-0.01	0.00
1.2		0.4687	-1.0094	-0.0911	-0.1666	0.2915	0.4687	-1.0094	-0.0911	-0.1666	0.2915	0.00	0.00	0.00	-0.01	0.00
1.22	480	0.3963	-0.8059	-0.1343	-0.1465	0.3544	0.3964	-0.8060	-0.1343	-0.1465	0.3544	-0.01	-0.01	0.00	-0.01	0.00
1.24		0.4205	-0.8713	-0.1202	-0.1520	0.3322	0.4205	-0.8714	-0.1202	-0.1520	0.3322	-0.01	-0.01	0.00	-0.01	0.00
1.26		0.4447	-0.9381	-0.1064	-0.1584	0.3118	0.4447	-0.9381	-0.1064	-0.1584	0.3118	0.00	-0.01	0.00	-0.01	0.01
1.28		0.4723	-1.0118	-0.0930	-0.1655	0.2934	0.4723	-1.0118	-0.0930	-0.1656	0.2932	0.00	-0.01	0.00	-0.01	0.06
1.3	420	0.3847	-0.7791	-0.1379	-0.1448	0.3591	0.3847	-0.7792	-0.1379	-0.1448	0.3591	-0.01	-0.01	0.00	-0.01	0.00
1.4	360	0.3810	-0.7643	-0.1440	-0.1435	0.3711	0.3810	-0.7645	-0.1440	-0.1435	0.3711	-0.02	-0.01	0.00	0.00	0.00
1.5	312	0.4796	-1.0414	-0.0846	-0.1705	0.2836	0.4796	-1.0414	-0.0846	-0.1705	0.2836	0.00	0.00	0.00	-0.01	0.00
1.6		0.4559	-0.9683	-0.1008	-0.1613	0.3038	0.4559	-0.9684	-0.1008	-0.1613	0.3037	0.00	0.00	0.00	-0.01	0.01
1.7		0.4100	-0.8497	-0.1215	-0.1507	0.3320	0.4101	-0.8498	-0.1215	-0.1507	0.3320	-0.01	-0.01	0.00	-0.01	0.00
1.8	264	0.5253	-1.1444	-0.0726	-0.1774	0.2647	0.5255	-1.1448	-0.0726	-0.1774	0.2642	-0.04	-0.04	0.00	-0.01	0.19
1.9	216	0.4278	-0.8882	-0.1179	-0.1531	0.3306	0.4278	-0.8883	-0.1179	-0.1531	0.3306	-0.01	-0.01	0.00	-0.01	0.00
2		0.4975	-1.0945	-0.0741	-0.1772	0.2719	0.4975	-1.0945	-0.0741	-0.1772	0.2719	0.00	0.00	0.00	-0.01	0.00
2.1	180	0.4079	-0.8366	-0.1280	-0.1490	0.3441	0.4079	-0.8367	-0.1280	-0.1491	0.3441	-0.01	-0.01	0.00	-0.01	0.00
2.2		0.4849	-1.0440	-0.0880	-0.1686	0.2858	0.4849	-1.0440	-0.0880	-0.1687	0.2858	0.00	0.00	0.00	-0.01	0.02
2.3	144	0.3557	-0.7134	-0.1471	-0.1412	0.3733	0.3557	-0.7135	-0.1471	-0.1412	0.3733	-0.02	-0.02	0.00	0.00	0.00
2.4		0.4222	-0.8903	-0.1098	-0.1552	0.3122	0.4222	-0.8904	-0.1098	-0.1553						

4,3		0.5765	-1.3345	-0.0244	-0.2080	0.1936	0.5765	-1.3345	-0.0244	-0.2080	0.1935	0.01	0.00	-0.07	-0.02	0.03
4,4		0.7205	-1.6321	-0.0054	-0.2249	0.1729	0.7204	-1.6320	-0.0054	-0.2250	0.1726	0.01	0.01	-0.47	-0.02	0.16
4,5		1.4794	-2.9932	0.0119	-0.2418	0.1595	1.4860	-3.0045	0.0119	-0.2418	0.1562	-0.44	-0.38	0.30	-0.02	2.08
4,6		0.2878	-0.5372	-0.2407	-0.1613	0.5798	0.2881	-0.5375	-0.2408	-0.1613	0.5798	-0.08	-0.06	-0.03	0.02	0.00
4,7		0.3262	-0.6097	-0.2243	-0.1553	0.5396	0.3264	-0.6100	-0.2243	-0.1553	0.5395	-0.06	-0.04	-0.02	0.01	0.00
4,8		0.3644	-0.6865	-0.2076	-0.1518	0.5029	0.3645	-0.6867	-0.2076	-0.1518	0.5029	-0.04	-0.03	-0.01	0.01	0.00
4,9		0.4025	-0.7672	-0.1907	-0.1505	0.4696	0.4026	-0.7674	-0.1907	-0.1505	0.4696	-0.03	-0.02	-0.01	0.01	0.00
5		0.4405	-0.8513	-0.1739	-0.1513	0.4395	0.4406	-0.8514	-0.1739	-0.1513	0.4395	-0.02	-0.01	0.00	0.00	0.00
5,1		0.4783	-0.9381	-0.1571	-0.1540	0.4125	0.4784	-0.9382	-0.1571	-0.1540	0.4125	-0.01	-0.01	0.00	0.00	0.00
5,2		0.5155	-1.0267	-0.1405	-0.1584	0.3883	0.5156	-1.0267	-0.1405	-0.1584	0.3883	-0.01	-0.01	0.00	0.00	0.00
5,3	36	0.5518	-1.1158	-0.1243	-0.1642	0.3669	0.5518	-1.1159	-0.1243	-0.1642	0.3669	0.00	0.00	0.00	0.00	0.00
5,4		0.5866	-1.2040	-0.1085	-0.1712	0.3481	0.5866	-1.2040	-0.1085	-0.1712	0.3481	0.00	0.00	0.00	-0.01	0.00
5,5		0.6191	-1.2895	-0.0932	-0.1792	0.3316	0.6191	-1.2895	-0.0932	-0.1793	0.3316	0.00	0.00	0.00	-0.01	0.00
5,6		0.6484	-1.3702	-0.0786	-0.1881	0.3172	0.6484	-1.3702	-0.0786	-0.1881	0.3172	0.00	0.00	0.00	-0.01	0.00
5,7		0.6736	-1.4441	-0.0646	-0.1974	0.3049	0.6735	-1.4441	-0.0646	-0.1975	0.3049	0.00	0.00	-0.01	-0.01	0.00
5,8		0.6937	-1.5090	-0.0513	-0.2072	0.2942	0.6936	-1.5089	-0.0514	-0.2072	0.2942	0.00	0.00	-0.03	-0.01	0.00
5,9		0.7079	-1.5630	-0.0390	-0.2170	0.2852	0.7078	-1.5629	-0.0390	-0.2171	0.2852	0.01	0.00	-0.05	-0.01	0.00
6		0.7155	-1.6048	-0.0275	-0.2268	0.2775	0.7155	-1.6047	-0.0275	-0.2268	0.2775	0.01	0.00	-0.09	-0.01	0.00
6,1		0.0337	-0.0701	-0.2649	-0.1597	0.6640	0.0341	-0.0707	-0.2650	-0.1597	0.6640	-1.19	-0.77	-0.05	0.02	0.00
6,2		0.0501	-0.0996	-0.2520	-0.1529	0.6245	0.0504	-0.1001	-0.2521	-0.1529	0.6245	-0.71	-0.48	-0.04	0.01	0.00
6,3		0.0658	-0.1311	-0.2386	-0.1477	0.5867	0.0661	-0.1315	-0.2387	-0.1477	0.5867	-0.47	-0.33	-0.03	0.01	0.00
6,4		0.0810	-0.1648	-0.2248	-0.1440	0.5505	0.0812	-0.1651	-0.2249	-0.1439	0.5505	-0.33	-0.23	-0.03	0.01	0.00
6,5		0.0957	-0.2006	-0.2106	-0.1417	0.5158	0.0959	-0.2010	-0.2107	-0.1417	0.5158	-0.24	-0.17	-0.02	0.00	0.00
6,6		0.1101	-0.2388	-0.1961	-0.1410	0.4826	0.1103	-0.2391	-0.1961	-0.1410	0.4826	-0.17	-0.12	-0.02	0.00	0.00
6,7		0.1244	-0.2794	-0.1813	-0.1416	0.4508	0.1245	-0.2797	-0.1813	-0.1416	0.4508	-0.13	-0.09	-0.01	0.00	0.00
6,8		0.1386	-0.3225	-0.1662	-0.1436	0.4204	0.1387	-0.3227	-0.1662	-0.1436	0.4203	-0.09	-0.07	-0.01	-0.01	0.00
6,9		0.1529	-0.3682	-0.1510	-0.1469	0.3912	0.1530	-0.3684	-0.1510	-0.1469	0.3912	-0.07	-0.05	-0.01	-0.01	0.00
7		0.1675	-0.4167	-0.1356	-0.1514	0.3633	0.1676	-0.4169	-0.1356	-0.1514	0.3633	-0.05	-0.04	0.00	-0.01	0.00
7,1		0.1827	-0.4683	-0.1201	-0.1570	0.3365	0.1828	-0.4684	-0.1201	-0.1570	0.3365	-0.03	-0.03	0.00	-0.01	0.00
7,2		0.1987	-0.5232	-0.1046	-0.1637	0.3109	0.1988	-0.5233	-0.1046	-0.1638	0.3109	-0.02	-0.02	0.00	-0.02	0.00
7,3		0.2159	-0.5818	-0.0891	-0.1714	0.2864	0.2159	-0.5819	-0.0891	-0.1715	0.2864	-0.01	-0.02	0.00	-0.02	0.00
7,4		0.2347	-0.6447	-0.0737	-0.1801	0.2630	0.2347	-0.6448	-0.0737	-0.1801	0.2630	0.00	-0.01	0.00	-0.02	0.00
7,5		0.2555	-0.7125	-0.0583	-0.1895	0.2406	0.2555	-0.7125	-0.0583	-0.1896	0.2406	0.00	-0.01	0.00	-0.02	0.00
7,6	24	0.2790	-0.7861	-0.0431	-0.1997	0.2191	0.2790	-0.7862	-0.0431	-0.1998	0.2191	0.01	0.00	-0.01	-0.02	0.00
7,7		0.3061	-0.8669	-0.0281	-0.2106	0.1986	0.3061	-0.8669	-0.0281	-0.2106	0.1986	0.01	0.00	-0.03	-0.02	0.00
7,8		0.3378	-0.9564	-0.0133	-0.2220	0.1790	0.3378	-0.9564	-0.0133	-0.2221	0.1790	0.01	0.00	-0.09	-0.02	0.01
7,9		0.3757	-1.0571	0.0012	-0.2339	0.1603	0.3757	-1.0571	0.0012	-0.2340	0.1603	0.01	0.00	1.38	-0.02	0.01
8		0.4218	-1.1725	0.0155	-0.2462	0.1424	0.4218	-1.1725	0.0154	-0.2463	0.1424	0.01	0.00	0.15	-0.02	0.02
8,1		0.4791	-1.3075	0.0293	-0.2588	0.1254	0.4791	-1.3075	0.0293	-0.2589	0.1253	0.01	0.00	0.10	-0.02	0.03
8,2		0.5522	-1.4697	0.0428	-0.2716	0.1091	0.5521	-1.4697	0.0428	-0.2717	0.1091	0.01	0.00	0.08	-0.02	0.05
8,3		0.6480	-1.6713	0.0659	-0.2846	0.0937	0.6480	-1.6712	0.0659	-0.2846	0.0936	0.01	0.00	0.08	-0.02	0.08
8,4		0.7784	-1.9322	0.0685	-0.2976	0.0789	0.7783	-1.9322	0.0685	-0.2977	0.0788	0.01	0.00	0.07	-0.02	0.14
8,5		0.9643	-2.2890	0.0807	-0.3106	0.0650	0.9643	-2.2890	0.0806	-0.3107	0.0648	0.01	0.00	0.07	-0.02	0.26
8,6		1.2478	-2.8141	0.0924	-0.3236	0.0518	1.2477	-2.8140	0.0923	-0.3236	0.0515	0.01	0.00	0.07	-0.02	0.54
8,7		1.7254	-3.6745	0.1035	-0.3364	0.0393	1.7252	-3.6743	0.1034	-0.3364	0.0388	0.01	0.01	0.07	-0.02	1.31
8,8		2.6762	-5.3538	0.1141	-0.3489	0.0280	2.6757	-5.3529	0.1140	-0.3490	0.0268	0.02	0.02	0.07	-0.02	4.24
8,9		5.2600	-9.8605	0.1242	-0.3613	0.0194	5.2572	-9.8557	0.1241	-0.3613	0.0157	0.05	0.05	0.07	-0.02	23.71
9		11.7011	-21.0470	0.1336	-0.3733	0.0220	11.7819	-21.1869	0.1335	-0.3733	0.0085	-0.69	-0.66	0.08	-0.02	158.66
9,1		0.1413	-0.3786	-0.3427	-0.2752	0.7200	0.1415	-0.3788	-0.3428	-0.2751	0.7200	-0.17	-0.07	-0.03	0.01	0.00
9,2		0.1574	-0.4020	-0.3318	-0.2663	0.6964	0.1576	-0.4023	-0.3428	-0.2663	0.6964	-0.14	-0.06	-3.21	0.01	0.00
9,3		0.1728	-0.4263	-0.3204	-0.2583	0.6736	0.1730	-0.4265	-0.3205	-0.2583	0.6736	-0.11	-0.05	-0.02	0.01	0.00
9,4		0.1875	-0.4515	-0.3086	-0.2513	0.6518	0.1877	-0.4517	-0.3086	-0.2513	0.6518	-0.08	-0.04	-0.02	0.01	0.00
9,5		0.2015	-0.4776	-0.2963	-0.2453	0.6308	0.2017	-0.4778	-0.2963	-0.2452	0.6308	-0.06	-0.03	-0.01	0.01	0.00
9,6	12	0.2149	-0.5047	-0.2835	-0.2402	0.6107	0.2150	-0.5048	-0.2836	-0.2402	0.6107	-0.05	-0.02	-0.01	0.01	0.00
9,7		0.2276	-0.5327	-0.2704	-0.2361	0.5913	0.2276	-0.5328	-0.2704	-0.2361	0.5913	-0.04	-0.02	-0.01	0.01	0.00
9,8		0.2396	-0.5618	-0.2568	-0.2330	0.5727	0.2396	-0.5618	-0.2568	-0.2330	0.5727	-0.03	-0.01	-0.01	0.01	0.00
9,9		0.2510	-0.5918	-0.2429	-0.2310	0.5548	0.2510	-0.5919	-0.2429	-0.2309	0.5548	-0.02	-0.01	0.00	0.01	0.00
10		0.2617	-0.6230	-0.2286	-0.2299	0.5376	0.2618	-0.6230	-0.2286	-0.2299	0.5376	-0.01	0.00	0.00	0.01	0.00





# Bibliografía

- [1.1] Arca Cebrián, F. *Modelo de constantes de fuerzas interatómicas para el grafeno a partir del potencial LCBOPII* paginas 1-3 (2016)
- [1.2] González-Herrero, H. Gómez-Rodríguez, J.M. Mallet, P. Moaied, M. Palacios, J.J. Salgado, C. Ugeda, M.M. Veuillen, J. Yndurain, F. Brihuega, I. *Atomic-scale control of graphene magnetism by using hydrogen atoms* (2016)
- [1.3] Fundación Telefónica. *Oxido de grafeno: El más desconocido de la familia del carbono* [En línea] <https://nanotecnologia.fundaciontelefonica.com/2016/08/24/oxido-de-grafeno-el-mas-desconocido-de-la-familia-del-carbono/>
- [1.4] Lanphere, J. Walker, S. Bolster, C. *Stability and Transport of Graphene Oxide Nanoparticles in Groundwater and Surface Water* (2014)
- [1.5] Mendez Granado, J.P. *Harmonic/Non Harmonic model of graphene and its structural defects based on a tight binding interatomic potential* (2015) Chapter 2 pp 13-15.
- [2.1] Méndez Granado, J.P. *Harmonic/Non Harmonic model of graphene and its structural defects based on a tight binding interatomic potential*. Chapter 3 pp 45-51 (2015)
- [2.2] Ariza, M.P, Ortiz, M. *Discrete crystal elasticity and discrete dislocations in crystals*. pp 185-186 (2005) Archive for Rational Mechanics and Analysis Vol. 178
- [2.3] Zhigilei, L. *Introduction to atomistic Simulations* [En línea] <http://people.virginia.edu/~lz2n/mse627/notes/Potentials.pdf>
- [2.4] Pascuet, M.I. Fernandez, J.R, Monti, A.M, Pasioanot, R.C. Simonelli, G. *Interatomic potentials for materials of nuclear interest* (2007)
- [2.5] Ercolessi et al. *Glue potentials* (1986)
- [3.1] Ariza, M.P, Ortiz, M. *Discrete crystal elasticity and discrete dislocations in crystal*. Chapter 4 (2005)
- [3.2] Briosó Diez, C. *Modelo Discreto del Movimiento de Dislocaciones en Grafeno*. Capítulo 3 (2014)
- [4.1] Mendez Granado, J.P. *Harmonic/Non Harmonic model of graphene and its structural defects based on a tight binding interatomic potential* (2015)
- [4.2] Montes Martos, J.M. Gómez Cuevas, F. Cintas Físico, J. *Ciencia e Ingeniería de los materiales*. Capítulo 17. (2014) ISBN: 8428330174
- [4.3] Londoño, S. [En línea] [https://prezi.com/cs\\_\\_ghxebyf/zonas-de-brillouin/](https://prezi.com/cs__ghxebyf/zonas-de-brillouin/)